الجمهورية الجزائرية الديمقراطية الشعبية RÉPUBLIQUE ALGÉRIENNE DÉMOCRATIQUE ET POPULAIRE

وزارة التعليم العالي والبحث العلمي Ministère de l'enseignement supérieur et de la recherche scientifique



البليدة 1 – جامعة سعد دحلب 1 Université Saad Dahleb Blida

> كلية التكنولوجيا Faculté De Technologie قسم الهندسة المدنية Département de Génie Civil مذكرة نهاية التخرج

MEMOIRE DE PROJET DE FIN D'ETUDE

Pour l'obtention du diplôme master en Génie Civil

Option: Construction métallique et mixtes

THÈME

ETUDE D'UN CENTRE COMMERCIAL (R+9+ SOUS-SOL) EN CHARPENTE METALLIQUE

Etudié et réaliser par

DOUKMANE Yacine & ZENAF Oussama

Devant le jury composé de :

Mme . BEREDIAF
 Mr. BENYAHIA
 U. Saad Dahleb-Blida Examinateur
 Mr. AZZAZ. A
 U. Saad Dahleb-Blida Promoteur
 Mr. DERBAL. I
 U. Saad Dahleb-Blida Co-promoteur

Blida, Juin 2025

Remerciements

Nous remercions tout d'abord le bon Dieu, le tout puissant de nous avoir armé de force et de courage pour mener à terme ce projet.

Tout d'abord, Nous remercions tout particulièrement nos promoteurs, **Monsieur AZZAZ Abdessamed** et **Monsieur DERBAL Ismail**, pour leur encadrement précieux, leur disponibilité constante et leurs conseils avisés. Leur rigueur scientifique et leur soutien ont été des atouts indispensables à la bonne conduite de cette étude.

Nos remerciements s'étendent également à l'ensemble du corps enseignant de la spécialité **Master 2 Construction Métallique et Mixte**, ainsi qu'à tous les professeurs du département de **Génie Civil** pour la qualité de la formation qu'ils nous ont dispensée tout au long de notre cursus universitaire.

Nous souhaitons exprimer notre reconnaissance à l'ingénieur et développeur **HARZALLAH Mahdi** pour sa collaboration précieuse et son expertise dans le développement de l'application "Cutting-Optimization Pro", qui constitue une contribution significative à ce projet.

Enfin, nous n'oublions pas de remercier les membres du jury pour l'honneur qu'ils nous font en acceptant d'évaluer notre travail.

Dédicace

Au terme de ce long parcours, semé d'efforts et de persévérance, je dédie ce modeste travail...

À la personne la plus chère à mon cœur, **ma Mère**, Toi qui a été ma source de force et de courage. Tes prières, ton amour et ton soutien inconditionnel ont été la lumière qui a guidé mes pas. Aucune dédicace ne saurait exprimer l'amour et la reconnaissance que je te porte. Que ce travail soit le reflet de tes immenses sacrifices.

À toute ma chère et grande famille **HADJADJA**, pour votre soutien et vos encouragements constants.

À mon frère **MOUNIR**, pour sa présence et son appui fraternel.

À mes trésors, la prunelle de mes yeux, mes enfants **ROFAIDA** et **DJAKO**. Vous êtes ma plus grande fierté et la raison de tous mes efforts. Puisse ce travail vous inspirer à toujours persévérer et à croire en vos rêves.

À mon binôme et ami, **YACINE**, Pour ta patience, ta collaboration et ton esprit d'équipe tout au long de ce projet. Cette réussite est le fruit de notre effort commun.

À mes proches et amis fidèles, **mahdi**, **rayane** et **fares**, et **fouad** Pour les moments partagés, le soutien moral et une amitié sincère qui m'est précieuse.

À mes collègues, **fatima** et **wissam** , Pour l'ambiance de travail, l'entraide et les encouragements mutuels.

À tous ceux qui, de près ou de loin, ont contribué à la réussite de ce projet.

Oussama

Dédicace

Au nom d'Allah, le tout miséricordieux, Le très miséricordieux.

Je dédie ce modeste travail à :

Ma mère qui a œuvré pour ma réussite, par son amour, son soutien, son affection, tous les sacrifices consentis et ses précieux conseils, pour toute son assistance et sa présence dans ma vie.

À Mes chères sœurs, qui ont toujours été à mes côtés et m'ont soutenue toute ma vie

À ma grande famille.

À mes amis.

À tous ceux qui sont proches de mon cœur.

Et je n'oublie pas mon binôme, ZENAF OUSSAMA pour son soutien moral, sa patience et sa compréhension tout au long de ce projet.

DOUKMANE Yacine.

Résumé

Ce projet de fin d'études consiste à étudier d'un centre commercial en charpente métallique composée de rez-de-chaussée + 9étages + sous-sols.

Le projet sera réalisé à Blida dans la commune de boulverd des 20 mètres classés dans la zone sismique VI selon le RPA99 version 2024.

Le projet est élaboré par plusieurs étapes, on a effectué la descente de charge pour le pré dimensionnement des éléments porteurs, une étude dynamique en zone sismique selon le RPA99 2024, l'analyse sismique de la structure a été réalisée par logiciel du calcul ETABS structural analysis 2018, la vérification des éléments, puis des assemblages de la structure selon le CCM 97 et enfin l'étude de l'infrastructure.

Mots clés: Charpente métallique, plancher mixtes, séisme, assemblage.

Abstract

This final year project consists of studying a commercial center with a steel structure comprising a ground floor, nine upper floors, and basements.

The project will be carried out in Blida, in the municipality of *Boulevard des 20 Mètres*, classified as seismic zone I according to RPA99 version 2024.

The project was developed in several stages. We carried out the load descent for the preliminary sizing of the load-bearing elements, a dynamic study in a seismic zone according to RPA99 2024, and seismic analysis of the structure using the structural analysis software **ETABS 2018**. This was followed by verification of the structural elements, then the joints/assemblies according to **CCM 97**, and finally, the study of the infrastructure.

Keywords: Steel structure, composite floors, earthquake, connections.

ملخص

يتعلق مشروع نهاية الدراسة هذا بدراسة مركز تجاري بهيكل معدني مكوّن من طابق أرضي + 9 طوابق + طوابق + طوابق + طوابق مدني مكوّن من طابق أرض.

سيُنفذ المشروع في مدينة البليدة، في بلدية شارع 20 مترًا، المصنفة ضمن المنطقة الزلزالية السادسة وفقًا لـ RPA99 نسخة 2024.

تم إعداد المشروع عبر عدة مراحل؛ حيث تم إجراء تنزيل الأحمال للقيام بالتصميم المبدئي للعناصر الحاملة، ودراسة ديناميكية في منطقة زلزالية وفقًا لـ RPA99 نسخة 2024، تم إجراء التحليل الزلزالي للهيكل باستخدام برنامج ETABS للتحليل الإنشائي 2018، والتحقق من العناصر، ثم تجميعات الهيكل وفقًا لـ CCM 97، وأخيرًا دراسة البنية التحتية.

الكلمات المفتاحية: هيكل معدني، أرضيات مختلطة، زلزال، تجميعات.

Sommaire

| Remerciements | |
|--------------------------------------------------------------|---|
| Dédicace | |
| Résumé | |
| Abstract | |
| ملخص | |
| Liste des Figures | |
| Liste des Tableaux | |
| Liste des Symboles | |
| Introduction Générale | Ĺ |
| Chapitre I : Présentation de l'ouvrage | |
| I.1 Introduction | 3 |
| I.2 Présentation de l'ouvrage | 3 |
| I.2.1 Caractéristiques géométriques du projet | 1 |
| I.2.2 Localisation et données concernant le site | 5 |
| I.2.3 Présentation architecturale | 5 |
| I.2.4 Présentation structurale |) |
| I.3 Règlements techniques | 2 |
| I.4 Caractéristiques mécaniques des matériaux | 2 |
| I.4.1 Acier | 2 |
| I.4.2 Béton | 3 |
| Chapitre II : Pré dimensionnement des éléments résistants | |
| II.1 Introduction | 5 |
| II.2 Les planchers | 5 |
| II.3 Méthode de calcul | 5 |
| II.3.1 Phase de construction | 5 |
| II.3.2 Phase finale | 5 |
| II.3.3 Largueur de la dalle collaborant (Largueur Effective) | 7 |
| II.4 Estimation des charges des planchers | 7 |
| II.4.1 Plancher terrasse inaccessible | 7 |
| II.4.2 Plancher courant | 3 |
| II.5 Pré dimensionnement des Solives | 3 |

| II.5.1 C | Calcul des solives de planchers terrasse | 19 |
|-------------|----------------------------------------------------------|----|
| II.5.2 V | Vérification solive plancher courant | 24 |
| II.5.3 C | Calcul des connecteurs | 27 |
| II.6 Pré | dimensionnement des poutres principales | 28 |
| II.6.1 F | Poutre principale du plancher terrasse | 28 |
| II.6.2 F | Poutre principale du plancher courant | 33 |
| II.6.3 C | Calcul des connecteurs | 40 |
| II.7 Pré | dimensionnement des poutres secondaire | 41 |
| II.8 Pré | dimensionnement des poteaux | 42 |
| II.8.1 F | Principe de calcul | 43 |
| II.8.2 F | Prédimensionnement de poteau central (le plus sollicité) | 44 |
| Chapitre II | I : Predimensionnement des elements secondaires | |
| III.1 L'a | crotère | 50 |
| III.1.1 | Introduction | 50 |
| III.1.2 | Evaluation des Charges | 51 |
| III.1.3 | Calcul des Efforts | 51 |
| III.1.4 | Ferraillage de L'acrotère | 52 |
| III.1.5 | Vérification de la Section d'Acier | 53 |
| III.1.6 | Armatures de Répartitions | 53 |
| III.1.7 | Vérification à L'ELS | 54 |
| III.1.8 | Vérification de l'Effort Tranchant | 56 |
| III.2 Etu | de des escaliers | 57 |
| III.2.1 | Introduction | 57 |
| III.2.2 | Pré dimensionnement de l'escalier | 58 |
| III.3 Dir | mensionnement des supports de marches | 59 |
| III.3.1 | Dimensionnement des limons | 60 |
| III.3.2 | Dimensionnement de la poutre palière | 63 |
| III.4 Co | nclusion | 64 |
| Chapitre IV | : Etude dynamique et sismique | |
| IV.1 Intr | oduction | 66 |
| IV.2 Mé | thode de calcul | 67 |
| IV.3 Che | oix de la méthode de calcul | 67 |
| IV.3.1 | La méthode statique équivalente | 67 |
| IV.3.2 | Méthodes dynamiques | 68 |
| | | |

| IV.3.3 Méthode d'analyse modale spectrale | 68 |
|--------------------------------------------------------------|-----|
| IV.4 Calcul de la force sismique totale | 71 |
| Modélisation | 72 |
| IV.4.1 Estimation de la période fondamentale de la structure | 72 |
| IV.4.2 Calcul de la force sismique totale | 73 |
| IV.4.3 Résultante des forces sismiques de calcul | 73 |
| IV.5 Vérification de la structure | 80 |
| IV.5.1 Vérification des déplacements inter étages | 80 |
| IV.5.2 Justification vis-à-vis de l'effet P-Δ. | 80 |
| IV.6 Conclusion | 83 |
| Chapitre V : Vérification des éléments de l'ossature | |
| V.1 Introduction | 85 |
| V.2 Vérification de la stabilité | 86 |
| V.2.1 Vérification de la poutre principale | 86 |
| V.2.2 Vérification des poteaux | 90 |
| V.3 Vérification des contreventements | 96 |
| V.3.1 Généralités | 96 |
| V.3.2 Dimensionnement des contreventements | 97 |
| V.3.3 Vérifications a la compression | 97 |
| V.3.4 Vérification à la traction | 98 |
| V.4 Conclusion | 98 |
| Chapitre VI : Etude et conception des assemblages | |
| VI.1 Introduction | 100 |
| VI.2 Types d'assemblages utilisés dans notre projet | 101 |
| VI.2.1 l'assemblage poteau-poutre | 101 |
| VI.2.2 Assemblage poutre HEB650 –solive IPE330 | 117 |
| VI.2.3 Assemblages poteau — poteau | 120 |
| VI.2.4 Assemblages pied de poteau | 125 |
| VI.2.5 Assemblage de contreventement en v | 128 |
| VI.3 Conclusion | 130 |
| Chapitre VII : Etude des fondations | |
| VII.1 Introduction | 132 |
| VII.2 Choix du type de fondations | 132 |
| VII.3 Calcul des fondations | 132 |

| VII.3.1 | Semelles isolées | 132 |
|--------------|---------------------------------------------------------|-----|
| VII.3.2 | Semelles filantes | 133 |
| VII.3.3 | Semelles filantes croisées | 135 |
| VII.3.4 | Radier générale | 137 |
| VII.3.5 | Ferraillage des nervures | 146 |
| VII.3.6 | Armature de peau | 149 |
| VII.3.7 | Schéma de ferraillage des nervures | 150 |
| VII.4 Voi | le périphérique | 151 |
| VII.4.1 | Introduction | 151 |
| VII.4.2 | Pré dimensionnement | 151 |
| VII.4.3 | Evaluation des charges | 151 |
| VII.4.4 | Effort dans la dalle | 152 |
| VII.4.5 | Ferraillage de la dalle | 153 |
| VII.4.6 | Condition exigée par les RPA/version 2024 | 154 |
| VII.4.7 | Condition de non fragilité | 154 |
| VII.4.8 | Vérification de l'effort tranchant | 155 |
| VII.4.9 | Vérification à L'ELS | 155 |
| VII.4.10 | Schéma de feraillage du voile péripherique | 156 |
| Chapitre VI | II: Contribution – Développement d'une Application pour | |
| l'Optimisati | on de Découpe de Profilés en Acier | |
| VIII.1 Intr | oduction | 159 |
| VIII.2 Pré | sentation de l'Application "Cutting-Optimization Pro" | 159 |
| VIII.2.1 | Fonctionnalités Clés | 159 |
| VIII.2.2 | Technologies et Interface Utilisateur | 160 |
| VIII.3 Ava | antages et Impact sur le Terrain | 161 |
| VIII.4 Eva | luation fonctionnelle de l'Application | 161 |
| VIII.5 Cor | nclusion | 162 |
| Conclusion | générale | 163 |
| Références l | bibliographiques | |
| Annexes | | |

Liste des Figures

| Figure I. 1: Photo 3d. | 4 |
|--------------------------------------------------------------------|----|
| Figure I. 2: COUP A-A. | 5 |
| Figure I. 3: Vue en plan sous-sol. | 6 |
| Figure I. 4: Vue en plan etages courant. | 7 |
| Figure I. 5: Vue en plan terrasse. | 8 |
| Figure I. 6: Coupe du plancher collaborant. | 9 |
| Figure I. 7: Conception d'un plancher collaborant. | 10 |
| Figure I. 8: Bac d'acier type Hi Bond 55. | 10 |
| Figure I. 9: Goujon soudée | 11 |
| Figure I. 10: Escalier en charpente métallique. | 12 |
| Figure II. 1: Schéma des composants de plancher mixte | 17 |
| Figure II. 2: Schéma des solives. | 18 |
| Figure II. 3: IPE 240. | 19 |
| Figure II. 4: Largeur effective de la dalle | 27 |
| Figure II. 5: Schéma statique de poutre principale. | 29 |
| Figure II. 6: Largeur effective de la dalle | 40 |
| Figure II. 7: Poteaux HEA, HEB, HEM | 42 |
| Figure II. 8: Poteau central. | 43 |
| Figure III. 1: Dimension de l'acrotère. | 50 |
| Figure III. 2: Diagrammes des efforts à l'ELU. | 52 |
| Figure III. 3 : schema de Ferraillage de l'acrotère. | 56 |
| Figure III. 4: Type 1 d'escalier. | 57 |
| Figure III. 5: Type 2 d'escalier. | 57 |
| Figure III. 6: Vue en plan de l'escalier. | 58 |
| Figure III. 7: Disposition des cornières. | 59 |
| Figure III. 8: Charge applique sur limon. | 60 |
| Figure IV. 1: Spectres de réponse élastique de type 1 et de type 2 | 69 |
| Figure IV. 2: Structure auto stable | 74 |
| Figure IV. 3: La déformée pour les modes du modèle initial | 75 |

| Figure IV. 4: La déformée pour les modes du modèle intermédiaire | 77 |
|------------------------------------------------------------------------------------|-----|
| Figure IV. 5: Structure avec palées triangulées en V. | 78 |
| Figure IV. 6: La déformée pour les modes du modèle finale. | 79 |
| Figure V 1. sahámas de la poutre principale de corente | 96 |
| Figure V. 1: schémas de la poutre principale de corante. | |
| Figure V. 2: Schémas de la poutre principale, de terasse. | |
| Figure V. 3: La rigidité des poteaux. | |
| Figure V. 4: Contreventement en V. | 97 |
| Figure VI. 2: Assemblage poteau – poutre | 102 |
| Figure VI. 1: Assemblage soudé poutre- platine. | 103 |
| Figure VI. 3: Assemblage soudé poutre- platine. | 111 |
| Figure VI. 4: Assemblage poteau – poutre | 112 |
| Figure VI. 5: Assemblage poteau – poutre | 116 |
| Figure VI. 6: Contrainte èquivalente. | 116 |
| Figure VI. 7: Distribution des boulons sur la platine d'extrémité | 117 |
| Figure VI. 8: 3d de lassemblage. | 123 |
| Figure VI. 9: Distribution des boulons. | 123 |
| Figure VI. 10: Verfication globale de lassemblage. | 124 |
| Figure VI. 11: Contrainte équivalente. | 125 |
| Figure VI. 12: 3d de l'assemblage pied de poteau | 126 |
| Figure VI. 13: Contrainte equivalente. | 127 |
| Figure VI. 14: L'attache de la diagonale tube 360*360*25 – HEB650 | 128 |
| | |
| Figure VII. 1: Semelle isolée sous poteau. | |
| Figure VII. 2: Pourcentage de la charge pour chaque nervure dans un poteau central | 135 |
| Figure VII. 3: Pourcentage de la charge pour chaque nervure dans un poteau de rive | 135 |
| Figure VII. 4: Pourcentage de la charge pour chaque nervure dans un poteau central | 136 |
| Figure VII. 5: Disposition des nervures par rapport au radier et aux poteaux | 137 |
| Figure VII. 6: Contraintes sous le radier | 142 |
| Figure VII. 7: Ferraillage de la dalle | 149 |
| Figure VII. 8: Ferraillage des nervures sens y-y. | 150 |
| Figure VII. 9: Ferraillage des nervures sens x-x. | 150 |
| Figure VII. 10: Poussées des terres. | 152 |
| Figure VII. 11: Ferraillage du voile péripherique en travée (sens x-x) | 156 |

| Figure VII. 12: Ferraillage du voile péripherique en travée (sens y-y) | 156 |
|----------------------------------------------------------------------------|-------------|
| Figure VII. 13: Ferraillage du voile péripherique en appuis (sens x-x); (s | ens y-y)157 |
| Figure VIII. 1: Optimisation de coupe des profilè. | 161 |
| Figure VIII. 2: Interface de saisie des profils dans cutting optimizer pro | 162 |

Liste des Tableaux

| Tableau I. 1: Valeurs nominales de fy et fu pour les profilés | |
|-----------------------------------------------------------------------------------|-------------------|
| Tableau I. 2: Caractéristiques mécaniques | 13 |
| Tableau II. 1: Charge permanente terrasse inaccessible | 17 |
| Tableau II. 2: Charge permanente Plancher courant | 18 |
| Tableau II. 3: Caractéristiques du profilé IPE 240 | 19 |
| Tableau II. 4: Tableau de la flèche | 21 |
| Tableau II. 5: Caractéristique du profilé IPE 450 | 29 |
| Tableau II. 6: Caractéristique du profilé IPE 500 | 35 |
| Tableau II. 7: Poutre secondaire des planchers terrasse | 42 |
| Tableau II. 8: Poutre secondaire des planchers courant | 42 |
| Tableau II. 9: La loi de dégression | 44 |
| Tableau II. 10: La descente des charges (les poteaux centraux) | 45 |
| Tableau II. 11: Les sections et les profilés des poteaux centraux | 46 |
| Tableau II. 12: Vérification au flambement de 9éme étage jusqu'à RDC | 48 |
| Tableau II. 13: Choix final des profilés | 48 |
| Tableau III. 1: Charges permanentes du Volée | 61 |
| Tableau III. 2: Charges permanentes du Palier | 61 |
| Tableau IV. 1: Valeurs des paramètres décrivant les spectres de réponse él | lastique de type1 |
| C (Zones IV, V et VI) | 69 |
| Tableau IV. 2: Valeurs de ξ (%) | 69 |
| Tableau IV. 3: Valeurs du coefficient de comportement, R | 70 |
| Tableau IV. 4: Valeurs des Pondérations Pq | 71 |
| Tableau IV. 5: Valeurs des périodes et des facteurs de participation massiqu | ue modale intiale |
| | 75 |
| Tableau IV. 6: Vérification des déplacements inter étage suivant l'axe X-X | X76 |
| Tableau IV. 7: Valeurs des périodes et des facteurs de participation m | nassique Modèle |
| intermédiaire | 77 |

| Tableau IV. 8: Valeurs des périodes et des facteurs de participation massique mod | ale finale |
|------------------------------------------------------------------------------------------------|------------|
| | 79 |
| Tableau IV. 9: Vérification des déplacements inter étage suivant l'axe X-X | 80 |
| Tableau IV. 10: Vérification des déplacements inter étage suivant l'axe Y-Y | 80 |
| Tableau IV. 11: Justifications vis-à-vis de l'effet P-Δ suivant les axes X-X | 82 |
| Tableau IV. 12: Justifications vis-à-vis de l'effet P-Δ suivant les axes Y-Y | 82 |
| Tableau IV. 13: Profilés finaux adoptés | 83 |
| Tableau V. 1: Caractéristique géométrique et mécanique de HEB 650 | 86 |
| Tableau V. 2: Caractéristique géométrique et mécanique de IPE450 | 88 |
| Tableau V. 3: Caractéristique géométrique et mécanique de IPE 330 | 89 |
| Tableau V. 4: Vérification au flambement par flexion pour N ^{max} | 95 |
| Tableau V. 5: Vérification au flambement par flexion pour M _y ^{max} | 95 |
| Tableau V. 6: Vérification au flambement par flexion pour M _z ^{max} | 96 |
| Tableau VI. 1: Caractéristiques des boulons | 100 |
| Tableau VI. 2: Caractéristiques géométriques des profilés | 102 |
| Tableau VI. 3: Caractéristiques géométriques des profilés | 110 |
| Tableau VI. 4: Les caractéristiques du profilé (HEB650 – IPE 330) | 117 |
| Tableau VI. 5: Les caractéristiques du profilé (HEB1000) | 120 |
| Tableau VI. 6: Caractéristiques des boulons | 128 |
| Tableau VI. 7: Caractéristique des profilés assemblés | 128 |
| Tableau VI. 8: Coordonnées géométriques | 128 |
| Tableau VII. 1: Sections des semelles filantes continues sens y-y | 134 |
| Tableau VII. 2: Sections des semelles filantes continues sens x-x | 134 |
| Tableau VII. 3: Section des semelles filante sens x-x | 136 |
| Tableau VII. 4: Section des semelles filante sens y-y | 136 |
| Tableau VII. 5: Contraintes sous le radier à l'ELU | 142 |
| Tableau VII. 6: Vérification des contraintes à l'ELS | 143 |
| Tableau VII. 7: Calcul des moments à l'ELU | 144 |
| Tableau VII. 8: Calcul des moments à l'ELS | 145 |
| Tableau VII. 9: Ferraillage de panneau le plus sollicité du radier | 145 |
| Tableau VII. 10: Vérification des contraintes | 146 |

| Tableau VII. 11: Ferraillage des nervures suivant x-x | 146 |
|------------------------------------------------------------------|-----|
| Tableau VII. 12: Ferraillage des nervures suivant y-y | 147 |
| Tableau VII. 13: Vérification des contraintes | 147 |
| Tableau VII. 14: Espacement des armatures transversales | 148 |
| Tableau VII. 15: Choix des armatures transversales | 148 |
| Tableau VII. 16: Ferraillage de la dalle pleine | 154 |
| Tableau VII. 17: Vérification des contraintes à l'ELS | 156 |
| Tableau VIII. 1: Rècapitulatif du calcul des profils mètalliques | 161 |

Liste des Symboles

A : Coefficient d'accélération de zone.

 A_s : Aire d'une section d'acier.

 φ : Angle de frottement.

Q: Charge d'exploitation.

 γ_s : Coefficient de sécurité dans l'acier.

 γ_b : Coefficient de sécurité dans le béton.

 σ_s : Contrainte de traction de l'acier.

 $\sigma_{\it bc}$: Contrainte de compression du béton.

 σ_s : Contrainte de traction admissible de l'acier.

 \mathfrak{S}_{bc} : Contrainte de compression admissible du béton.

 τ_{u} : Contrainte ultime de cisaillement.

 τ : Contrainte tangentielle.

β : Coefficient de pondération.

 σ_{sol} : Contrainte du sol.

 σ_m : Contrainte moyenne.

G: Charge permanente.

 ξ : Déformation relative.

 V_0 : Effort tranchant a la base.

E.L.U: Etat limite ultime.

E.L.S: Etat limite service

 N_u : Effort normal pondéré aux états limites ultime.

 T_u : Effort tranchant ultime.

T: Période.

 S_t : Espacement.

 λ : Elancement.

F: Force concentrée.

f: Flèche.

f_{adm}: Flèche admissible.

L: Longueur ou portée.

 L_f : Longueur de flambement.

 F_e : Limite d'élasticité de l'acier.

 M_u : Moment à l'état limite ultime.

 M_{ser} : Moment à l'état limite de service.

 M_t : Moment en travée.

 M_a : Moment sur appuis.

 M_0 : Moment en travée d'une poutre reposant sur deux appuis libres, Moment a la base.

I: Moment d'inertie.

M: Moment, Masse.

E_{ij}: Module d'élasticité instantané.

E_{vi}: Module d'élasticité différé.

E_s: Module d'élasticité de l'acier.

f_{c28}: Résistance caractéristique à la compression du béton à 28 jours d'age.

f₁₂₈: Résistance caractéristique à la traction du béton à 28 jours d'age.

 F_{cj} : Résistance caractéristique à la compression du béton à j jours d'age.

K : Coefficient de raideur de sol.

δ ek: Déplacement dû aux forces sismiques (y compris l'effet de torsion).

E: Module d'élasticité longitudinale de l'acier (E = 210 000 MPa).

F_p: Effort de précontrainte dans les boulons.

M: Moment sollicitant, en générale.

Mel: Moment élastique.

M_{pl}: Moment plastique.

M_R: Moment résistant.

N_{pl} Effort normal de plastification.

f_u: Contrainte de rupture d'une pièce.

f_{ub}: Contrainte de rupture d'un boulon.

f_v: Limite d'élasticité d'une pièce.

K : Coefficient d'encastrement ou de rigidité poteau/ poutre.

 k_s : Coefficient de dimension des trous de perçage pour boulon.

k_v Coefficient de flambement –flexion.

m: Nombre de plans de cisaillement ou de frottement.

n: Nombre de boulons.

 β_M : Facteur de moment uniforme équivalent (flambement).

 β_w : Facteur de corrélation (soudure).

ε: Coefficient de réduction élastique de l'acier.

η: Facteur de distribution de rigidité (flambement).

 λ : Elancement.

 λ_k : Elancement eulérien.

λ: Elancement réduit.

 λ_{LT} : Elancement de déversement.

μ: Coefficient de frottement.

χ: Coefficient de réduction de flambement.

 χ_{LT} : Coefficient de réduction de déversement.

A_{net}: Section nette d'une pièce.

A_s : Section résistant de la tige d'un boulon en fond de filet.

It: Moment d'inertie de torsion.

I_y: Moment d'inertie de flexion maximale.

I_z: Moment d'inertie de flexion minimale.

W_{eff}: Module de résistance efficace.

W_{el}: Module de résistance élastique.

W_{pl}: Module de résistance plastique.

b: Largeur d'une semelle de poutre.

D: Diamètre nominale des tiges des boulons

d₀: Diamètre de perçage des trous de boulonnage.

i : Rayon de giration d'une section.

l : Largeur d'une poutre.

t : Epaisseur d'une pièce ou d'une tôle.

t_f: Epaisseur d'une semelle de poutre.

t_w: Epaisseur d'une âme de poutre.

 v_s : Distance de la fibre extrême supérieur à l'axe neutre d'une section.

 v_i : Distance de la fibre extrême inférieur à l'axe neutre d'une section.

α : Angle en général.

 γ_{Mb} Résistance des boulons au cisaillement.

 γ_{Mb} Résistance des boulons au à la traction.

 F_v : Résistance des boulons au cisaillement par plan de cisaillement.

F_B: Résistance à la pression diamétrale des pièces assemblées.

F_T: Résistance des boulons en traction.

 α : Facteur d'imperfection (flambement).

 β_{MLT} : Facteur de moment uniforme équivalent pour le déversement.

 $F_{y}: \qquad \text{Limite d'élasticit\'e}.$

Introduction Générale

Pour n'importe quel projet de construction, différents procédés de conception et de calculs sont utilisés, selon des normes et des codes qui doivent être respectés.

Le but des études en génie civil est de concevoir et construire des ouvrages capables de résister aux multiples phénomènes notamment les séismes, le vent et les incendies constituent le plus grand danger qui menace plusieurs régions du monde aussi bien dans les vies que dans les biens.

Le présent travail s'inscrit dans cette démarche, et consiste à faire une étude et une conception d'un hôtel (RDC et 9 étages avec s/sol) en charpente métallique, qui implanté à la wilaya de BLIDA.

Notre projet est structuré suivant les chapitres suivants :

- ler chapitre : on présente des Introductions aux structures métalliques, et la construction mixte, et ce chapitre comprend la Présentation complète de l'ouvrage, la définition des différents éléments et le choix des Matériaux à utiliser aussi que les règlements techniques.
- 2éme chapitre : sera un pré dimensionnement des éléments de la structure, tels que les planchers, poteaux, poutres de bâtiment.
- 3éme chapitre : l'objective de ce chapitre, est étudiée les element secondaire de la structure (lesclier, acrotere).
- 4éme chapitre : comporte l'étude dynamique en zone sismique, qui va être faite en introduisant un spectre de réponse au logiciel ETABS structural analysis 2018 pour déterminer les efforts dans les éléments.
- 5éme chapitre : porte sur la vérification au flambement et déversement de l'ossature en charpente métallique.
- 6éme chapitre : consacre à la conception et l'étude des assemblages des différents éléments poteau- poutre et aussi poteau- poteau.
- 7 éme chapitre : consacré à l'étude des fondations.
- 8 éme chapitre : le dernier chapitre consacré à contribution Développement d'une Application pour l'Optimisation de Découpe de Profilés en Aciersera Et enfin on termine notre travail par une conclusion générale qui résume l'essentiel de notre travail.

I.1 Introduction

L'étude architecturale d'un projet de bâtiment se base sur les aspects fonctionnels, structuraux et formels de ce dernier, l'ingénieur en génie civil doit élaborer ses études en tenant Compte des paramètres suivants :

- L'usage de la structure
- La résistance
- Les exigences esthétiques de l'architecte.
- L'aspect économique.

Cette étude comptera deux parties fondamentales :

- La conception des éléments : tel que les poteaux, les poutres, les planchers les fondations, ainsi que le calcul des éléments secondaires (les escaliers...).
- L'étude dynamique de la structure : cette dernière permet d'évoluer le comportement de la structure en cas de séisme.

L'objectif de ce chapitre est de présenter la liste des données du bâtiment analysé, concernant le type de structure, les éléments, la géométrie et les propriétés des matériaux.

I.2 Présentation de l'ouvrage

Notre projet de fin d'études consiste à dimensionner et à étudier d'un *centre comercial* « R+9+ sous-sol » en charpente métallique. Il est implanté à la wilaya d'Blida qui est classée comme zone de forte sismicité (zone VI) selon les (RPA version 2024).

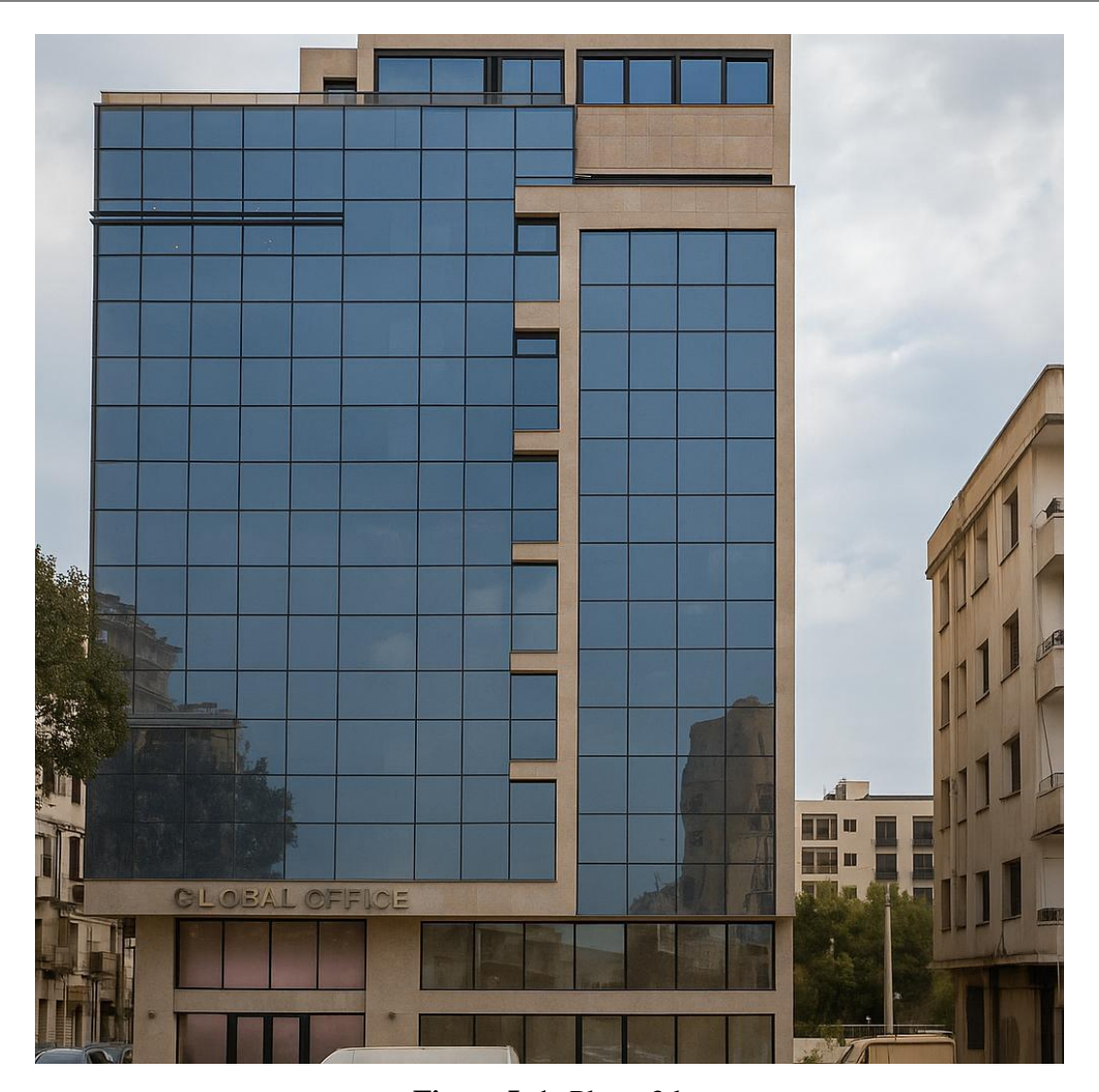


Figure I. 1: Photo 3d.

I.2.1 Caractéristiques géométriques du projet

Suivant la vue en plan, les dimensions de la structure sont :

| • | Longueur totale | 49,8m |
|---|----------------------------|--------|
| • | Largeur totale | 24m |
| • | Hauteur de s/sol | 4 m |
| • | Hauteur du rez-de –chaussé | 4,08m |
| • | Hauteur des étages | 4,08 m |
| • | Hauteur totale du bâtiment | 40,8m |

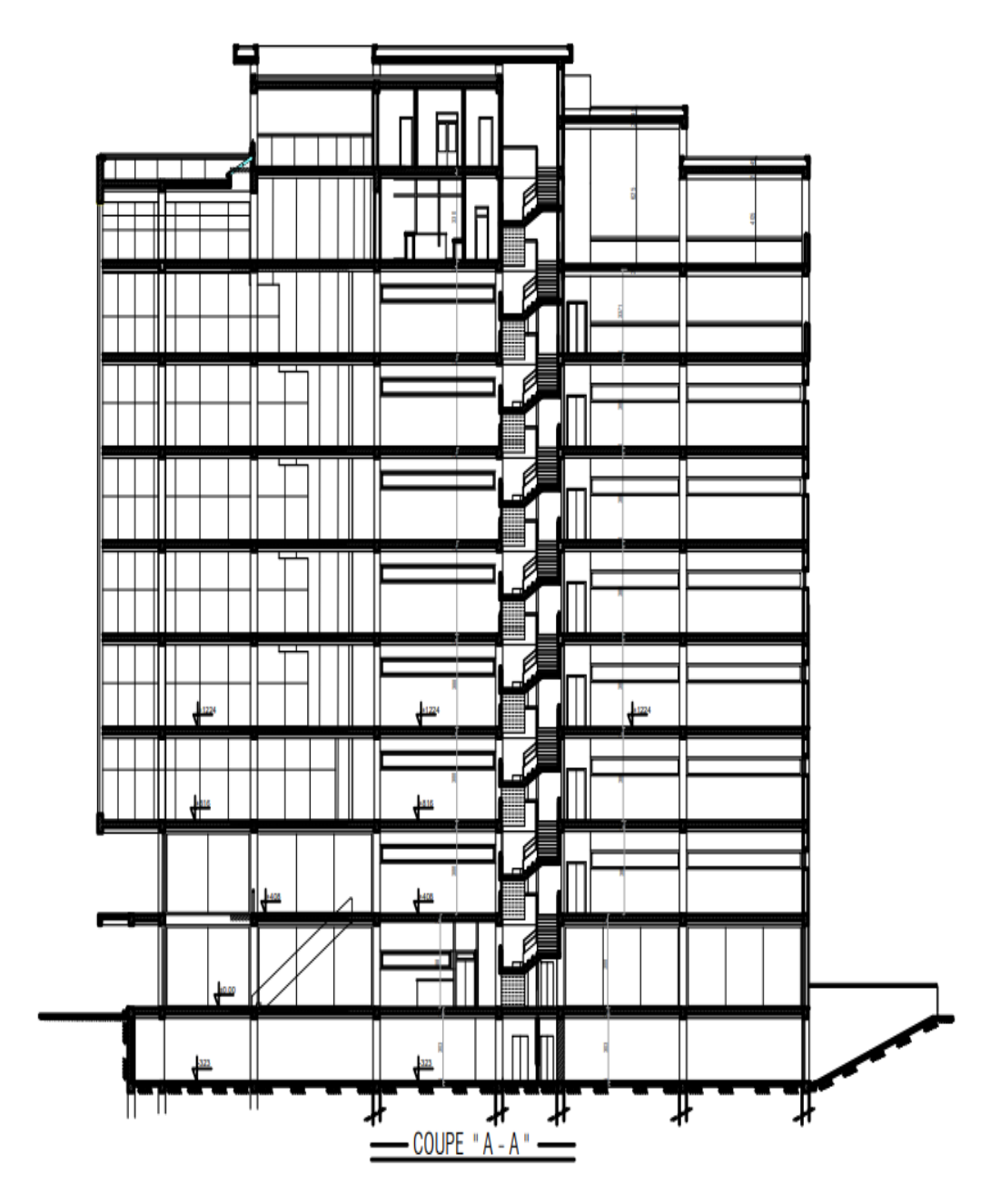


Figure I. 2: COUP A-A.

I.2.2 Localisation et données concernant le site

- Le bâtiment est implanté au niveau de la willaya de Blida ville de Blida dont :
- La contrainte admissible du sol est de 2,25 bars.
- Le site est classé dans la catégorie (S3), (site meuble).
- La zone sismique VI.
- Altitude = 260 m.

I.2.3 Présentation architecturale



Figure I. 3: Vue en plan sous-sol.

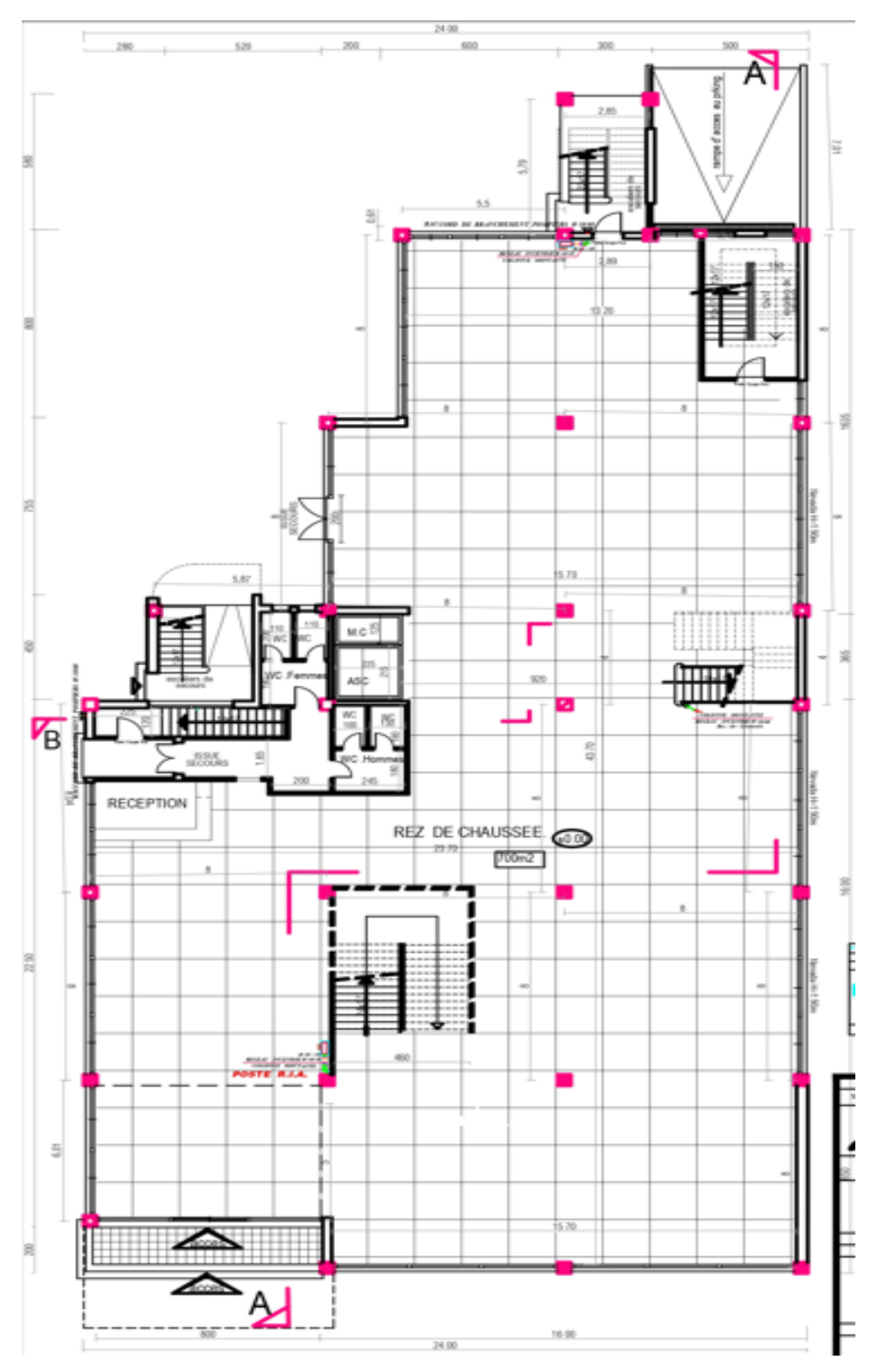
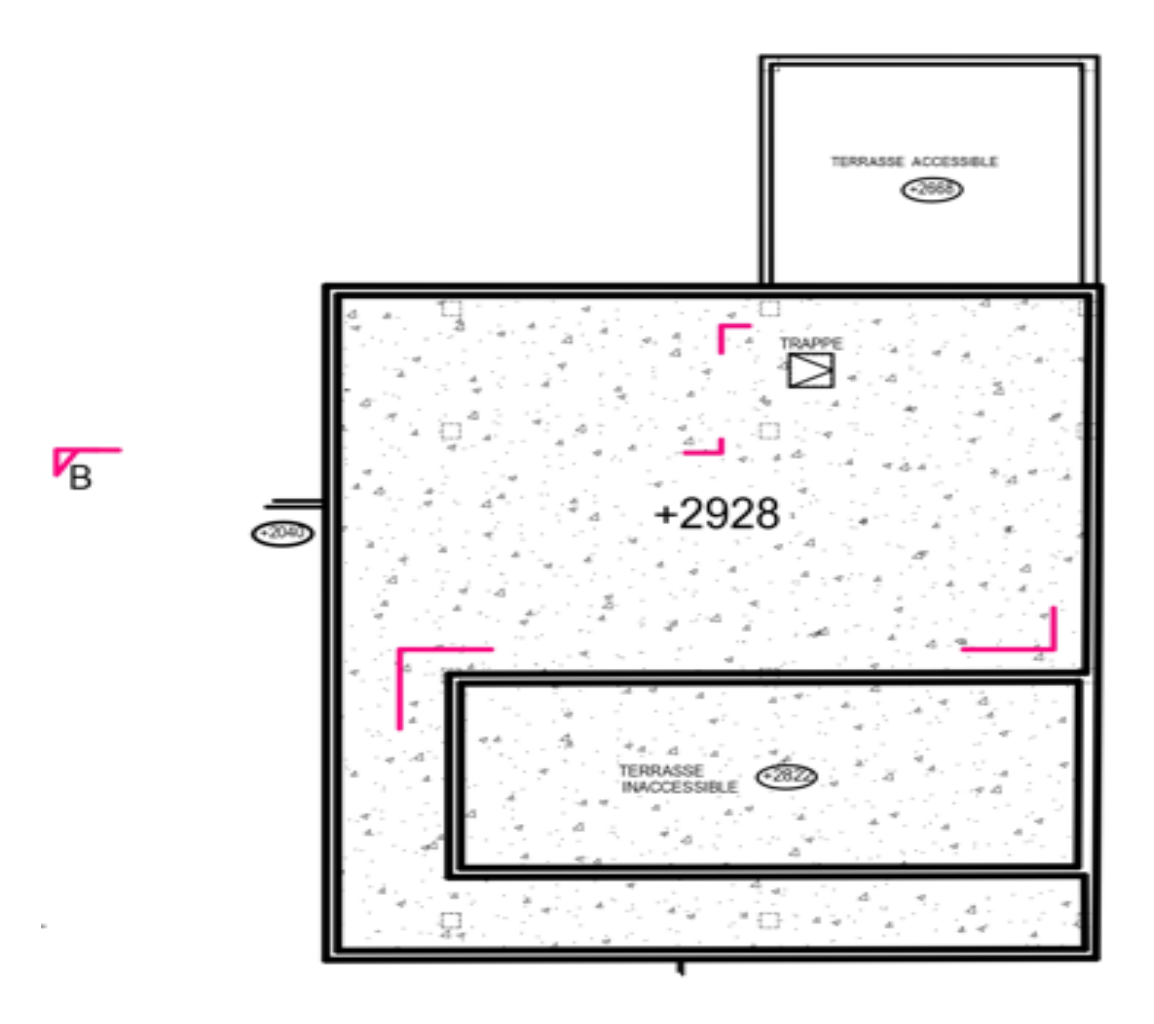


Figure I. 4: Vue en plan etages courant.





A

Figure I. 5: Vue en plan terrasse.

I.2.4 Présentation structurale

I.2.4.1 Ossature

En se référant aux RPA version 2024 qui exige que pour toute structures dépassant une hauteur de 17 m en zone VI, le type de contreventement.

Le système de contreventement de la structure est assuré par un ensemble de portiques en charpente métallique (poteau, poutre) et contreventements en V.

I.2.4.2 Les planchers

Les planchers d'étage courant et de terrasse inaccessible sont des planchers de type mixte. Selon l'EUROCODE 4 l'épaisseur hors-tout de la dalle mixte, h_t doit être d'au moins 80mm.

L'épaisseur de béton **hc**, au-dessus de la surface plane principale du sommet des nervures de la tôle ne doit pas être inférieure à **40mm**.

Si la dalle a une action mixte avec la poutre ou si elle est utilisée comme diaphragme, h_t doit être d'au moins 90mm et hc ne doit pas être inférieure à 50 mm

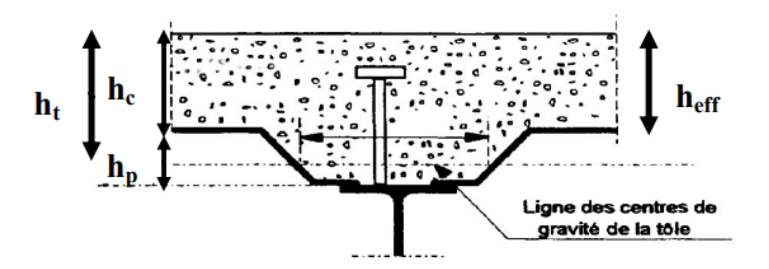


Figure I. 6: Coupe du plancher collaborant.

• Résistance au feu

La résistance au feu selon le critère d'isolation thermique, variant entre (R30 et R120). Elle ne dépend que de l'épaisseur de la dalle.

L'épaisseur $\boldsymbol{h_{eff}}$ est donnée par les formules suivantes :

$$b_{eff} = h_c + 0.5 \times h_p \times (\frac{l_1 + L_2}{L_1 + L_3})$$
 pour $\frac{h_p}{h_c} \le 1.5$ et $h_c > 40$ mm
$$b_{eff} = h_c \left[1 + 0.75 \times (\frac{l_1 + L_2}{L_1 + L_3}) \right]$$
 pour $\frac{h_p}{h_c} \ge 1.5$ et $h_c > 40$ mm
$$h_t > 90$$
 mm

 $R90 => h_{eff} \ge 100 \text{ mm}$

Hi-bond 55.750; $h_p = 55 \text{mm}$

 $h_c = 95 \,\mathrm{mm}$

$$b_{eff} = 95 + 0.5 \times 95 \times (1) = 122.5 \text{mm}$$

donc: $h_t = 150 \text{ mm}$.

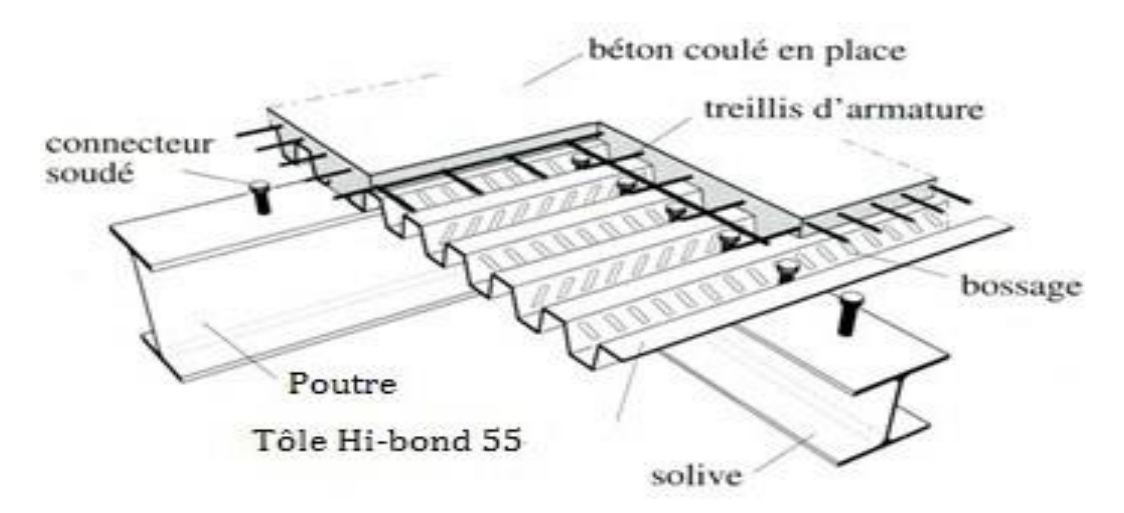


Figure I. 7: Conception d'un plancher collaborant.

I.2.4.3 Bac d'acier

Les bacs aciers sont de type Hi Bond 55

Cet élément forme un coffrage pour la dalle en béton, il permet :

- D'assurer un coffrage efficace et étanche en supprimant les opérations de décoffrage.
- De constituer une plateforme de travail avant la mise en œuvre du béton.
- D'éviter souvent la mise en place des étais et gagner du temps.

Le Hi-Bond utilisé dans notre calcul a les caractéristiques géométriques montrées dans la figure ci- dessous :

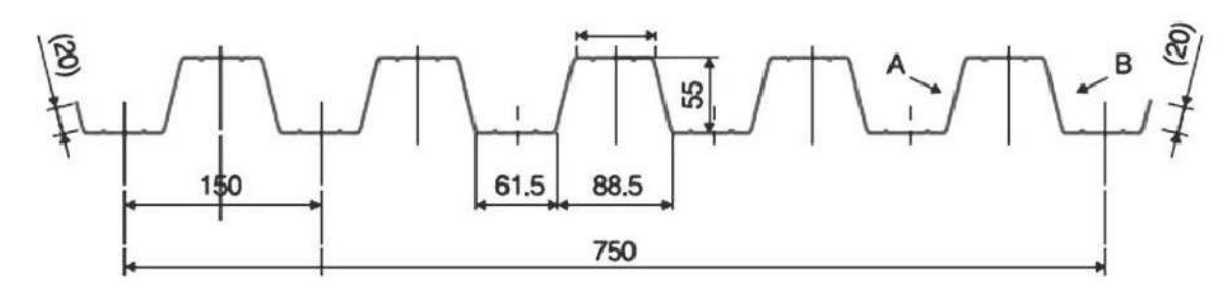


Figure I. 8: Bac d'acier type Hi Bond 55.

- Les planchers reposent sur un ensemble des poutres et solives métalliques.
- La liaison entre la dalle, le bac en acier collaborant et la structure porteuse est assurée par des connecteurs :

Ils permettent de développer le comportement mixte entre la poutre en acier et la dalle en béton. La connexion est essentiellement prévue pour résister au cisaillement horizontal.

I.2.4.4 Les connecteurs

Deux types de connecteurs principaux sont disponibles, les goujons soudés et les connecteurs cloués. Dans notre cas, on utilise des goujons de hauteur **h=95mm** et de diamètre **d=19mm**, qui sont assemblés par soudage.

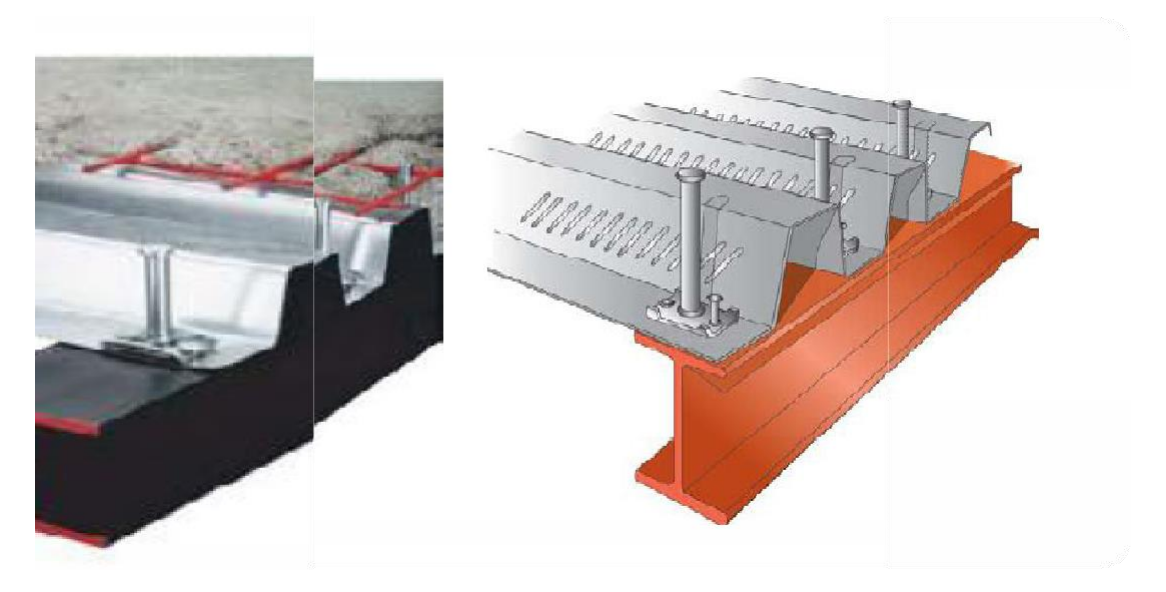


Figure I. 9: Goujon soudée.

I.2.4.5 Etanchéité

Nous avons un plancher qui est inaccessible, qui se résume par une charge d'exploitation réduite.

Donc on peut dire que se plancher est soumis à son poids propre plus la charge du système d'étanchéité. Il est connu que le système d'étanchéité classique avec protection lourde en gravillon exerce une charge considérable sur le plancher. Pour cela on a essayé de trouver une solution plus légère et efficace, et c'est là qu'on a sollicité le service commercial des produits SIKA qui nous a proposé **SIKAFILL**; une étanchéité pour terrasse inaccessible qui ne nécessite pas forcément de protection lourde, et qui se résulte par une diminution de la charge permanente.

I.2.4.6 Escaliers

Ils servent à relier les niveaux successifs et à faciliter les déplacements inter étages. Ils sont réalisés en charpente métallique



Figure I. 10: Escalier en charpente métallique.

I.3 Règlements techniques

Les règlements techniques utilisés dans cette étude sont :

• Eurocode 3, 1 et 4

• RPA: Règlement Parasismique Algériennes version 2024

• RNV2013 : Règles définissant les effets de la neige et du vent

• BAEL : Béton armé aux états limites

• DTR C2.2 : Charges et surcharges

I.4 Caractéristiques mécaniques des matériaux

Les caractéristiques des matériaux utilisés dans la construction du complexe doivent être conformes aux règles techniques de construction et de calcul des ouvrages en charpente métallique (EUROCODE 3) et tous les règlements applicables en Algérie (RPA version 2024).

I.4.1 Acier

Les caractéristiques mécaniques des différentes nuances d'acier sont les suivantes :

• Module d'élasticité longitudinale : E = 210 000 MPa.

• Module de cisaillement : $G = \frac{E}{2(1+v)} = 80769 \text{ MPa}$

• Le coefficient de poisson : v = 0.3

• Coefficient de dilatation : $\alpha = 12 \times 10$ -6 par c°

• Masse volumique $\rho = 7850 \text{ kg/m}^3$

Limite élastique fy (MPa) en fonction de l'épaisseur nominale :

Tableau I. 1: Valeurs nominales de fy et fu pour les profilés

| Nuance | Epaisseur t [mm] | | | |
|-------------|------------------|----------|--------------|----------|
| Nominale de | t ≤ 40 | | 40 < t ≤ 100 | |
| l'acier | fy [MPa] | fu [MPa] | fy [MPa] | fu [MPa] |
| Fe 360 | 235 | 360 | 215 | 340 |
| Fe 430 | 275 | 430 | 255 | 410 |
| Fe 510 | 355 | 510 | 355 | 490 |

• Caractéristiques mécaniques de l'acier

Tableau I. 2: Caractéristiques mécaniques

| | Nuance | Fy [MPa] |
|--------------|--------|----------|
| Ronds lisses | Fe 220 | 215 |
| | Fe 240 | 235 |
| Barres HA | Fe 400 | 400 |
| | Fe 500 | 500 |

I.4.2 Béton

• Caractéristiques du béton

Le béton utilisé est défini, du point de vue mécanique par :

- La résistance à la compression à 28 jours : fcj 28 = 25 MPa
- La résistance à la traction à 28 jours est déduite de celle de compression par la relation : $f_{tj} = 0.6 + 0.06 \; f_{cj} \; (MPa)$

La résistance caractéristique à la traction du béton à« j» jours, notée ftj, est conventionnellement définie par la relation :

Pour notre ouvrage, on utilise le même dosage de béton avec une résistance caractéristique à la compression $f_{C28} = 25$ MPa et à la traction $f_{t28} = 2.1$ MPa

• Module de déformation longitudinale du béton

Ce module est connu sous le nom de module de Young ou de module d'élasticité longitudinal; il est défini sous l'action des contraintes normale à courte et à longue durée.

Module de déformation instantané

Pour un chargement d'une durée d'application inférieure à 24 heures, le module de déformation instantané **Eij** du béton âgé de « **j** » jours est égale à :

 $Eij = 11\ 000\ (fcj)^{1/3}\ (MPa)$

Pour : $fc_{28}=25 \text{ MPa}$ on trouve : $Ei_{28}=32164.20 \text{MPa}$.

• Module de déformation différé

Il est réservé spécialement pour des charges de durée d'application supérieure à 24 heures ; ce module estdéfini par :

 $Evj = 3700. (fcj)^{1/3}$ (MPa)

Pour : $fc_{28} = 25 \text{ MPa}$ on trouve : $Ev_{28} = 10818.87 \text{ MPa}$.

• Coefficient de poisson :

Il représente la variation relative de dimension transversale d'une pièce soumise à une variation relative de dimension longitudinale.

$\nu = \frac{raccourcissement\ relatif\ longitudinal}{allongement\ relatif\ du\ cot\'e\ de\ la\ section}$

- v = 0 pour le calcul des sollicitations et dans le cas des états limites ultimes (béton fissuré).
- v = 0,2 pour le calcul des déformations et pour les justifications aux états-limites de service (béton non fissuré).

Chapitre II : Pré dimensionnement des éléments résistants

II.1 Introduction

Le pré dimensionnement a pour but d'estimer approximativement des dimensions des sections des éléments porteurs de notre structure (poteaux, poutres ... etc.). En se basant sur le principe de la des-cente de charges verticales transmises par les planchers aux éléments porteurs et qui les transmettent à leur tour aux fondations.

Le pré dimensionnement des éléments se fait selon les règles de calcul de **DTR2.2**, **EC3**, **EC4**.

II.2 Les planchers

Les planchers collaborant associent une dalle de compression en béton armé à des bacs nervurés en acier galvanisé pour qu'ils participent ensemble, par leur "collaboration" à la résistance à la flexion, pour éviter le glissement entre les nervures du profil en acier et le béton, les parois latérales des bacs sont embouties ou crantées. Les solives peuvent être rendues solidaires de la dalle par l'intermédiaire des connecteurs soudés ou cloués pour constituer une poutre mixte.

II.3 Méthode de calcul

Le calcul de plancher collaborant se fait en deux phases :

- Phase de construction
- · Phase finale

II.3.1 Phase de construction

Le profilé d'acier travail seul et les charges de la phase de construction sont :

- Poids propre du profilé,
- Poids propre du béton frais,
- Surcharge de construction (ouvrier).

II.3.2 Phase finale

Le béton ayant durci, donc la section mixte (le profilé et la dalle) travaillant ensemble. On doit tenir compte des charges suivantes :

- Poids propre du profilé,
- Poids propre du béton (sec),
- Surcharge d'exploitation,
- Finition.

II.3.3 Largueur de la dalle collaborant (Largueur Effective)

Dans les calculs des poutres mixtes, on prendra en compte de chaque côté de l'axe de la poutre, une largeur de la dalle égale à la plus faible des valeurs suivantes.

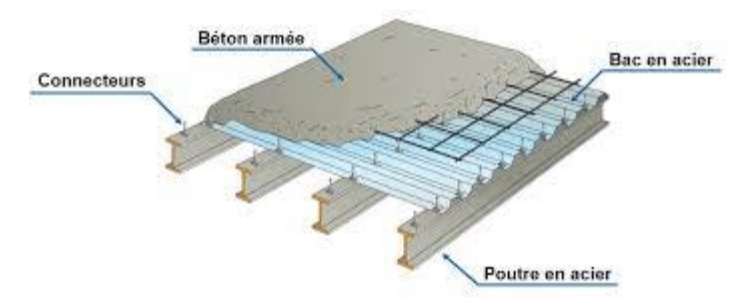


Figure II. 1: Schéma des composants de plancher mixte.

II.4 Estimation des charges des planchers

Cette étape consiste à déterminer les charges et les surcharges qui influent sur la résistance et la stabilité de notre ouvrage

II.4.1 Plancher terrasse inaccessible

• Action permanentes

Tableau II. 1: Charge permanente terrasse inaccessible

| Matériaux | Epaisseur (cm) | Charges permanents (Kn/m2) |
|-------------------------|----------------|----------------------------|
| Etanchéité multicouches | 5 | 0.05×6=0.3 |
| Forme de pente | 10 | 22×0.1=2.2 |
| Isolation thermique | 4 | 0.04×4=0.16 |
| Dalle en beton arme | 15 | 3.05 |
| Bac d'acier(Hi bond55) | 0.75 | 0.093 |
| Faux plafond | / | 0,15 |
| Protection en gravillon | 5 | 0.05×17=0,85 |
| Equipement | / | 0.3 |
| Totale= | | 7,11 |

Surcharges d'exploitation Q = 1 kN/m

II.4.2 Plancher courant

• Action permanentes

Tableau II. 2: Charge permanente Plancher courant

| Matériaux | Epaisseur (cm) | Charges permanents (Kn/m2) |
|-------------------------|----------------|----------------------------|
| Dalle en beton arme | 15 | 3.05 |
| Bacd'acier(Hibond55) | 0,75 | 0.093 |
| Faux plafond | 1 | 0.1 |
| Revêtement en carrelage | 2 | 0.02×20=0,40 |
| Mortier de pose | 2 | 0.02×20=0.4 |
| Lit de sable | 3 | 18 ×0.03=0.54 |
| Cloisonnements | / | 1 |
| • ∑Totale | | ∑G=5.59 |

• Charge d'exploitation...... Planche courant (usage commerciale) 4 kN/m2.

II.5 Pré dimensionnement des Solives

Les solives sont généralement des profilés en IPE, IPN qui travaillent à la flexion simple dont leur espacement est compris entre 1.5 et 4 m selon le type du bac d'acier utiliser.

On pré dimensionnera la solive la plus sollicitée pour chaque plancher.

Pour notre cas on prend l'espacement entre les solives et 2m.

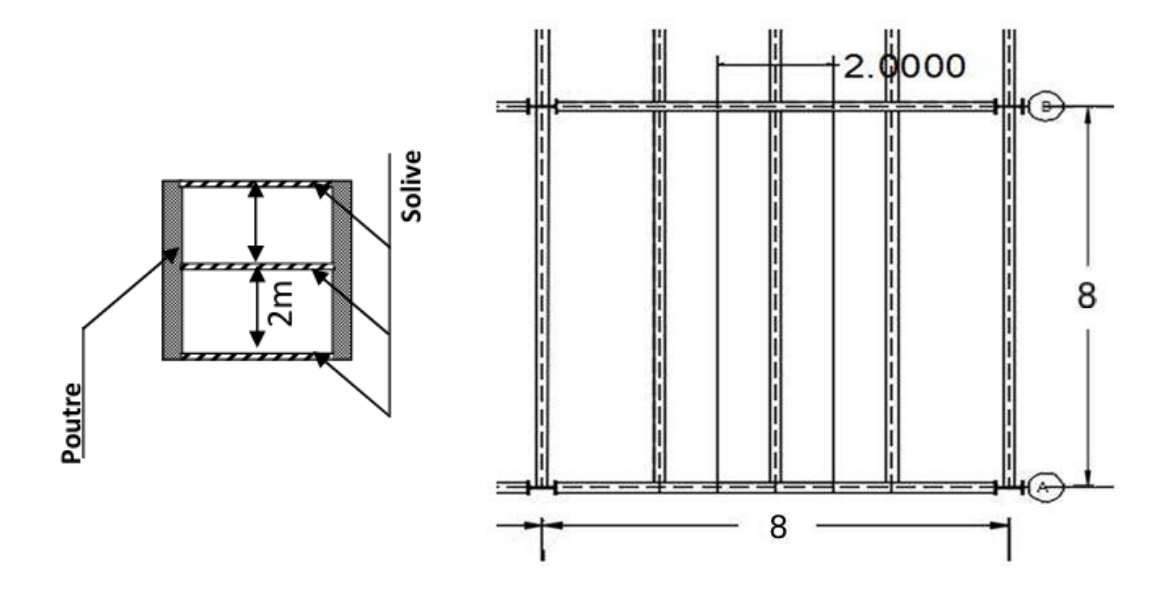


Figure II. 2: Schéma des solives.

II.5.1 Calcul des solives de planchers terrasse

La solive plus sollicitée a une portée de 8 m et un espacement de 2 m

Remarque: pour les solives on choisi: toujours la plus économique donc on prend IPE 240.

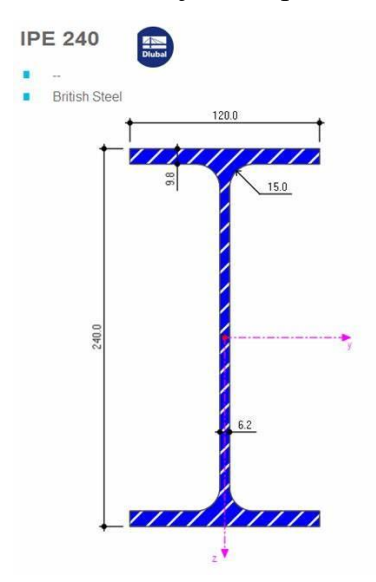


Figure II. 3: IPE 240.

Tableau II. 3: Caractéristiques du profilé IPE 240

| | Poids | Section | Dimensions | | Caractéristiques | | | | | | |
|----------------|-------|-----------------|------------|------|-------------------|--------------------|--------|-------------------|-------------------|-------------------|-------|
| Profilé | G | A | h mm | b mm | t _f mm | Iy cm ⁴ | Iz cm4 | W _{pl-y} | W _{pl-z} | i _y cm | iz cm |
| | Kg/m | cm ² | | | | | | cm ³ | cm ³ | | |
| IPE 240 | 30,7 | 39,12 | 240 | 120 | 9,8 | 3892 | 283,6 | 366,6 | 73,92 | 9,97 | 2,69 |

II.5.1.1 Phase de construction

Le profilé d'acier travail seul, donc les charges de la phase de construction sont :

- Poids propre du profilé IPE 240 gp = 0.307kN/ml
- Poids propre du béton frais (dalle de 15cm) $Gb = 3.05 \text{ kN/m}^2$
- Poids du bac d'acier $g = 0.15 \text{ kN/m}^2$
- Surcharge de construction (ouvrier) $Qc = 0.75 \text{ kN/m}^2$

a. Combinaisons des charges

L'entraxe entre les solives est de 2 m.

≻ Elu

- $qu = 1.35 \times (gp + (Gb + Gbac) \times e) + 1.5 \times Qc \times e$
- qu = $1.35 \times (0.307 + (3 + 0.15) \times 2) + 1.5 \times 0.75 \times 2$

• qu=11.088 kn/ml

> Els

•
$$qs = gp + (Gb + Gbac) \times e + Qc \times e$$

•
$$qs = 0.307 + (3 + 0.15) \times 2 + 0.75 \times 2$$

• qs = 8.107KN/ml.

b. <u>Vérifications</u>

• Moment fléchissant

 M_{sd} dans la section transversale de classe I et II doit satisfaire la condition suivante :

$$M_{sd} \le M_{plrd} = W_{ply} \times \frac{fy}{\gamma_{m0}}$$

Avec : M max : le moment appliqué.

$$\gamma m0 = 1$$
 fy = 275 Mpa

• Le moment appliqué :
$$M_{\text{max}} = Msd = \frac{qu * l2}{8} = \frac{11.088 \times 8^2}{8} = 88,704 \text{ kn. m}$$

$$M_{pl,rd} = 100.815 \text{kn} \cdot \text{m} > \text{Msd} = 88,704 \text{ kN. m} \Rightarrow \text{v\'erifi\'e}$$

$$r = \frac{88,704}{100,815} = 0,88$$

« r » est le rapport entre la valeur maximale et la valeur admissible , il montre le pourcentage de participation de l'élément dans la résistance de l'ensemble.

• L'effort tranchant

$$V_{sd} < V_{plrd} = \frac{fy \times Av}{\sqrt{3 \times \gamma_{m0}}}$$

Avec:

 V_{nlrd} : effort tranchant de plastification de la section

Av : aire de cisaillement.

Donc:

$$V_{plrd} = 303.88 \text{kn} > \text{Vsd} = \text{ql}/2 = 44,352 \text{kN} \implies \text{vérifié}$$

$$0.5 \times V_{plrd} = 151.94 \ KN \ > \ Vsd \ = 44.352 \ KN$$

Donc il n'est pas d'interaction entre l'effort tranchant et le moment fléchissant.

• Vérification de la rigidité

$$f_{\text{max}} = \frac{5 \times qs \times l^4}{384 \times E \times l_y} \le f$$

Tableau II. 4: Tableau de la flèche

| Cas de structures | Flèche admissible max (δadm) |
|--------------------------------------------------|------------------------------|
| Toitures en général | ℓ |
| | 250 |
| Toitures supportant fréquemment du personnel | ℓ |
| d'entretien | 300 |
| Planchers en général | ℓ |
| | 300 |
| Planchers et Toitures des supportant cloisons en | ℓ |
| plâtre | 350 |
| Planchers supportant des poteaux | ℓ |
| | 500 |

La valeur de la flèche maximale est :

$$f_{\text{max}} = \frac{5 \times 8,107 \times 4000^4}{384 \times 2,1 \times 10^5 \times 3892 \times 10^4} = 3,30 \text{mm}$$

$$f_{adm} = \frac{L}{250} = 16$$
mm donc > 3,30 verfie

• Vérification du déversement

Le moment résistant de déversement est donné par :

 $M_{sd} \le M_{b,rd} \rightarrow Condition de vérification$

$$M_{b,rd} = X_{LT} \times \beta w \times W_{pl,y} \times \frac{fy}{\gamma_{m1}}$$

Avec:

- β w= 1 (section de classe I).
- K = 1 (Appuis simples aux deux extrémités)
- $-c_1 = 1.132$
- $-c_2 = 0.459$
- $-c_3 = 0.525$
- $\alpha_{Lt} = 0.21$ (Profilé laminé)
- x_{Lt} : Est le facteur de réduction pour le déversement.

$$x_{LT} = \frac{1}{\Phi_{LT} \sqrt{{\Phi_{LT}}^2 - {\lambda_{LT}}^2}}$$

$$\Phi_{\rm LT} = 0.5[1 + \alpha_{LT}(\lambda_{LT} - 0.2) + \lambda^{2_{LT}}]$$

$$\lambda_{LT} = \frac{KL/iz}{\sqrt{C1} \left[\left(\frac{K}{Kw} \right)^2 + \frac{1}{20} \left(\frac{KL/iz}{h/tf} \right)^2 \right]^{0.25}} = \frac{1 \times \frac{4000}{26.9}}{\left[1 + 1/20 \left(\frac{4000}{\frac{26.9}{9.8}} \right) \sqrt{1,132} \right]} = 107,75$$

$$\lambda_{\rm LT} = \frac{\lambda_{\rm LT}}{93.91_{\varepsilon}} \times \sqrt{\beta_w}$$

 $\lambda = 1.14$ \Rightarrow Ilya un risque de déversemenT

$$\Phi_{lt} = 1,24$$

$$\rightarrow x_{lt} = 1,65$$

$$\rightarrow m_{brd} = 151,22 \text{ kN.m} > \text{msd} = 44,352$$

Avec Remarque pour déversement on prend L=1/2 donc..... l=4m.

M_{sd} < M_{b,rd} Déversement vérifié

II.5.1.2 Phase finale

- Poids P du profile (IPE240)gp= 0,307 KN/ml
- Charge permanenteGt= 7.11 KN/m2
- Surcharge d'exploitation.....Q= 1 KN/m2

a. Combinaison des charges

> ELU

$$qu = 1,35 \times (gp + (Gt \times e)) + 1,5 \times Qc \times e$$

 $qu = 1,35 \times [0,307 + (7.11 \times 2)] + 1,5 \times 1 \times 2$
 $qu = 22,61 \text{ kN/ml}$

> ELS

$$qs = gp + (Gt + Q) \times e$$

 $qs = 0.307 + (7.11 + 1) \times 2$
 $qs = 16,527 \text{ kN/ml}$

b. La largeur de la dalle

$$beff = \inf \left\{ \begin{array}{ll} 2 \times l0/8 \dots \\ b \dots \\ Entraxe \ entre \ les \ poutres \end{array} \right.$$

beff = inf
$$\begin{cases} 2 \times \frac{L0}{8} = 2 \times 8/8 = 2 \dots \\ b = 2m \dots \dots \end{cases}$$

✓ Donc beff = 2m

- > Position de l'axe neutre plastique
 - R béton= $0.57 \times \text{fck} \times \text{beff} \times \text{hc}$ avec fck = 25MPa (Béton de classe 25/30) R béton = $0.57 \times 25 \times 2000 \times 95 \times 10^{-3} = 2707.5 \text{ kN}$
 - R Acier=0,95×fy×Aa
 R Acier = 0,95×275×3912×10⁻³ = 1022,01 kN
 R béton =2707,5 kN > R Acier = 1022,01 kN

Axe neutre se trouve dans la dalle de béton. Donc le moment résistant plastique développé par la section mixte est :

$$M_{plrd} = R_{acier} \left[\frac{h0}{2} + hc + hp - (\frac{Racier \times hc}{2R_{h\acute{e}ton}}) \right]$$

c. Vérifications

• Vérification de la flexion

Il faut que : Msd <M pl rd

• Le moment appliqué;

$$M_{\text{max}} = M_{\text{sd}} = \frac{qu \times l^2}{8} = \frac{22.61 \times 8^2}{8} = 180,88 \text{ kn. m}$$

• Le moment résistant plastique développé par la section mixte :

$$M_{plrd} = 1022,01 \times \left[\frac{240}{2} + 95 + 55 - \left(\frac{1022,01 \times 95}{2 \times 2707,5}\right) \times 10^{-3} \right] = 275,92 \text{kn.m}$$

 $M_{sd} < M_{plrd} \Longrightarrow$ condition Vérifié

$$r = \frac{180,88}{275,92} = 0.65$$

• Vérification de l'effort tranchant :

On doit vérifier que :

$$V_{sd} < V_{plrd} = \frac{fy \times Av}{\sqrt{3 \times \gamma_{m0}}}$$

Donc:

$$V_{\text{plrd}} = \frac{275 \times 10^3 \times 19,14 \times 10^{-6}}{\sqrt{3}} = 303,88 \text{kn}$$

$$au \times I = 22.61 \times 8$$

Vsd =
$$\frac{qu \times L}{2} = \frac{22,61 \times 8}{2} = 90,44 \text{ KN}$$

 $V_{pl,rd} = 303,88 \text{ KN } > \text{Vsd} = 90,44 \text{ } kn \implies \text{v\'erifi\'ee}$

$$0.5 \times V_{pl,rd} = 151,94 \text{ KN } > \text{Vsd} = 90,44 \text{ Kn}$$

Donc il n'est pas d'interaction entre l'effort tranchant et le moment fléchissant.

• Vérification de la rigidité

$$f_{max} = \frac{5 \times qs \times l^4}{384 \times E \times l_c} = \frac{5 \times 16,527 \times 8000^4}{384 \times 2.1 \times 10^5 \times 1,96 \times 10^8} \le f$$

Avec : qser = 16.527KN/ml.

$$L = 8 \text{ m}.$$

$$E = 2.1 \times 10^5 \text{ N/mm}^2$$
.

Avec
$$l_c = \frac{Aa \times (hc + 2hp + ha)^2}{4 \times (1+n+v)} = \frac{beff \times hc^2}{12 \times n} + la$$

$$V=Aa/Ab = 3912/2000 \times 95 = 0.021$$

$$n = Ea / Eb = 15$$

$$Ic=1.96\times 10^8 \text{ m}m^4$$

Donc fmax=
$$21,41$$
 fadm = $L/250=8000/250=32$ mm

$$fmax = 21,41mm \le fadm = 32 mm \implies vérifiée$$

II.5.2 Vérification solive plancher courant

La solive plus sollicitée a une portée de 8 m et un espacement de 2 m donc cest la meme avec solive de plancher terrasse. En Ipe 240.

II.5.2.1 Phase de construction

Les résultats qui nous avons trouvé sont les mêmes ce qu'on a obtenus au niveau du **plancher terrasse** (avec le profile IPE240).

II.5.2.2 Phase finale

- Poids P du profile (IPE240) gp= 0.307 KN/ml
- Surcharge d'exploitationQ= 4 KN/m2

a. Combinaison des charges

> ELU

qu=
$$1,35 \times (gp+(Gt \times e))+1,5 \times Qc \times e$$

qu= $1,35 \times (0,307+(5.59 \times 2))+1,5 \times 4 \times 2$
qu= $27,50 \text{KN/ml}$

> ELS

$$qs = gp+(Gt+Q)\times e$$

 $qs = 0.307+(5.59+4)\times 2$
 $qs = 19,487KN/m$

b. Largeur de la dalle

Donc beff = 2 m

Position de l'axe neutre plastique

• R béton =
$$0.57 \times \text{fck} \times \text{beff} \times \text{hc}$$

R béton = $0.57 \times 25 \times 2000 \times 95 \times 10^{-3} = 2707.5 \text{kN}$

• R Acier =
$$0.95 \times \text{fy} \times \text{A0}$$

R Acier = $0.95 \times 275 \times 3912 \times 10^{-3} = 1022.01 \text{ kN}$

R béton > R Acier Axe neutre se trouve dans la dalle de béton.

Donc le moment résistant plastique développé par la section mixte est :

c. Vérification

• Vérification de la flexion

Il faut que : Msd < M pl.rd

• Le moment appliqué :
$$M_{plrd} = R_{acier} \left[\frac{h0}{2} + hc + hp - \left(\frac{Racier \times hc}{2R_{b\acute{e}ton}} \right) \right]$$

$$M_{max} = M_{sd} = \frac{qu \times l^2}{8} = \frac{27,755 \times 8^2}{8} = 220 \text{kn. m}$$

Le moment résistant plastique développé par la section mixte :

$$M_{plrd} = 1022,01 \times \left[\frac{240}{2} + 95 + 55 - \left(\frac{1022,01 \times 95}{2 \times 2707,5}\right)\right] = 275,92kn.m$$

 $\rm M_{sd} = 220~kn.~m < M_{plrd} = 275,92~kn.~m \Longrightarrow condition Vérifié$

Avec r=0.79

• Effort tranchant

$$V_{plrd} = \frac{1914 \times 275 \times 10^{-3}}{\sqrt{3} \times 1} = 303,88 \text{ kn}$$

$$Vsd = \frac{qu \times l}{2} = 110 \text{kn}$$

$$V_{plrd} = 303,88 \text{ KN} > \text{Vsd} = 110 \text{ KN} \implies \text{v\'erifi\'e}$$

$$0.5 \times V_{plrd} = 151.94 \text{ KN} > \text{Vsd} = 110 \text{ KN vérifiée}$$

r=0,36

Donc il n'est pas d'interaction entre l'effort tranchant et le moment fléchissant.

• Vérification de la rigidité :

$$f_{\text{max}} = \frac{5 \times qs \times l^4}{384 \times E \times l_c} \le f$$

Avec : qser = 19,671 KN/ml.

$$L = 8 \text{ m}.$$

$$E = 2,1.105 \text{ N/mm2}.$$

Ic =
$$\frac{\text{Aa} \times (\text{h}_{\text{c}} + 2\text{h}_{\text{p}} + \text{h}_{\text{a}})^{2}}{4 \times (1 + \text{m.v})} + \frac{\text{b}_{\text{eff}} \times \text{h}_{\text{c}}^{3}}{12 \times \text{m}} + \text{Ia}$$

Avec:

$$V=Aa/Ab = 6261/2000 \times 95 = 0.033$$

$$n = Ea / Eb = 15$$

$$Ic=1.96\times 10^8 \text{ m}m^4$$

Donc fmax=
$$25,25$$
mm fadm = $L/250=8000/250=32$ mm

$$fmax = 25,25 \text{ mm} \le fadm = 32 \text{ mm} \implies vérifiée}$$

r=0,789

• Vérification du déversement

Dans cette phase il n'est pas nécessaire de vérifier le déversement car la semelle supérieure est maintenue par la dalle béton.

Car le beton est dur nest pas frais.

Remarque

Le profile IPE240vérifie toutes les conditions de résistance, rigidité et déversement, donc on opte pour la solive de terrasse et courant un IPE240.

II.5.3 Calcul des connecteurs

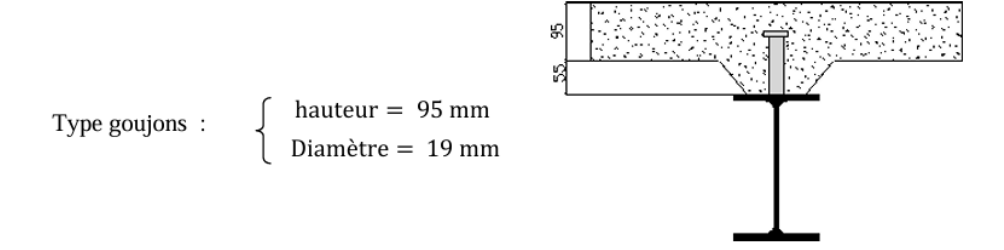


Figure II. 4: Largeur effective de la dalle

II.5.3.1 Détermination de (Résistance au cisaillement)

$$P_{rd} = K_t \times inf \begin{cases} 0,29 \times a \times d^2 \times \frac{\sqrt{Fck \times Ec}}{\gamma v} & \text{R\'esistance dans le b\'eton qui entourele goujon} \\ 0,8 \times F_u \times \frac{\pi \times d^2}{4 \times \gamma v} & \text{La force dans le goujon} \end{cases}$$

Avec: Fck = 25 KN/mm2

• Résistance caractéristique de béton

Ec = 30,5 KN/m2 Module de Young de béton

Fu = 450 N/mm2 Résistance caractéristique des connecteurs

$$yv = 1.25$$

$$\alpha = 1$$
si $\frac{h}{d} > 4$; $\alpha = 0.2 \left(\frac{h}{d} + 1\right)$ si $3 \le \frac{h}{d} \le 4$

Dans notre cas :
$$\alpha = 1$$
 car $\frac{h}{d} = \frac{95}{19} = 5 \ge 4$

$$P_{rd} = K_{t} \times \inf \begin{cases} 0,29 \times 1 \times 19^{2} \times \frac{\sqrt{25 \times 30,5 \times 10^{3}}}{1,25} = 73,13 \text{KN} \\ 0,8 \times 450 \times \frac{\pi \times 19^{2}}{4 \times 1,25} = 81,65 \text{KN} \end{cases}$$

II.5.3.2 Influence du sens du bac d'acier

$$k = \frac{0.7}{\sqrt{N_r}} \times \frac{b0}{hp} \left(\frac{hc}{hp} - 1 \right)$$

Nr : Nombre de goujon par nervure =1

Hp = 55 mm

hc= 95 mm (hauteur du connecteur)

b0 = 88,5 mm Largeur moyenne de la nervure

Donc k=0,82

Les connecteurs seront soudés à travers le bac d'acier d'après les EC4 kt doit être Inférieur à 1 donc :

 P_{rd} (Resistance au cisaillement) Kt =0,82 P_{rd} = 59,90KN

II.5.3.3 Effort tranchant repris par les goujons détermination de RL

RL= inf (R béton; R Acies); RL= inf (2707,5; 1022,01) RL= 1022,01kN

Nombre de connecteurs : par demi-portée

Nbre = RL/Prd = 1022,01/59,9=17,06

On prend 17 connecteurs pour le demi porté ; c'est-à-dire 34 connecteurs sur toute la longueur totale de la solive .

L'espacement minimal des connecteurs doit être supérieur à 5 fois le diamètre :

e min
$$\ge 5.d = 5 \times 19 = 95 \text{ mm}$$

$$e max = 6 \times hsc = 6 \times 95 = 570 mm$$

$$esp = \frac{L}{N_{br^{-1}}} donc \ esp = \frac{8000}{34 - 1} = 242,424mm \ on \ prend ... 240$$

Donc on prend 34 connecteurs, avec un espacement de 240 mm

II.6 Pré dimensionnement des poutres principales

Les poutres principales, sont des éléments structuraux, qui permettent de supporter les charges des planchers et les transmettent aux poteaux, elles sont sollicitées principalement en flexion.

On utilise la formule approchée et simplifiée qui est en fonction de la hauteur du profilé et la portée de la poutre.

II.6.1 Poutre principale du plancher terrasse

• La longueur la poutre la plus sollicite est 8,5m

Donc
$$\frac{L}{25} \le h \le \frac{L}{15}$$

$$\frac{8000}{25} = 320mm < h < \frac{8000}{15} = 533,33mm$$
 on prend Ipe 450

| | Poids | Section | Dimensions | | Caractéristiques | | | | | | |
|---------|-------|-----------------|------------|------|-------------------|--------------------|--------|-----------------|-----------------|-------------------|-------|
| Profilé | G | A | h mm | b mm | t _f mm | Iy cm ⁴ | Iz cm4 | Wpl-y | Wpl-z | i _y cm | iz cm |
| | Kg/m | mm ² | | | | | | cm ³ | cm ³ | | |
| | _ | | | | | | | | | | |

Tableau II. 5: Caractéristique du profilé IPE 450

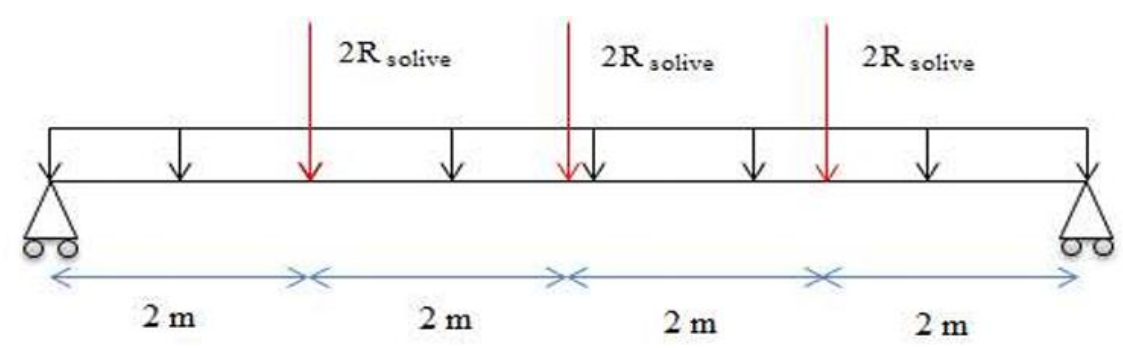


Figure II. 5: Schéma statique de poutre principale.

II.6.1.1 Phase de construction

Le profilé d'acier travail seul, donc les charges de la phase de construction, en plus des réactions des solives sont :

- Poids propre du profilé.....gp= 0,776 KN/ml
- Poids du bac d'acier......g=0,15 KN/m²

a. Calcul des réactions des solives

> ELU:

$$\begin{aligned} \text{qu} &= 11,088 \text{ KN/ml} & \text{qs} &= 8,107 \text{ KN/ml} \\ \text{R}_{\text{solive}} &= \frac{\text{qu solive} \times \text{L soliv}}{2} & \text{R}_{\text{solive}} &= \frac{\text{qs solive} \times \text{L soliv}}{2} \\ \text{Ru} &= \frac{11,088 \times 8}{2} = 44,352 & \text{Rs} &= \frac{8,107 \times 8}{2} = 32,428 \end{aligned}$$

On 2 réaction de solive de même longueur de solive donc

$$Ru=44,352 \times 2 = 88,704 \text{ KN}$$
 $Rs=32,428 \times 2 = 64,856 \text{ KN}$

b. Combinaisons des charges

> ELU

$$qu = 1,35 \times (gp + (Gb + Gbac) \times bs) + 1,5 \times Qc \times bs$$

$$qu = 1,35 \times (0,776 + (3+0,15) \times 0,190) + 1,5 \times 0,75 \times 0,190$$

$$qu = 2,136 \text{ kN/ml}$$

> ELS

$$qs = gp + (Gb+g) \times bs + Qc \times bs$$

 $qs = 0.776 + (3+0.150) \times 0.190 + 0.75 \times 0.190$
 $qs = 1.511 \text{ kN/ml}$

c. Vérifications

• Moment fléchissant

Le moment fléchissant Msd dans la section transversale de classe I et II doit satisfaire la condition suivante :

$$\begin{split} &M_{sd} \leq M_{plrd} = \frac{W_{ply} \times fy}{\gamma m0} \\ &M_{sd} = \frac{qu \times l^2}{8} = \frac{Ru \times l}{2} = \frac{2,136 \times 8^2}{8} + \frac{88,704 \times 8^1}{2} = 368,256 \text{kn. m} \\ &M_{plrd} = \frac{W_{pl} \times fy}{\gamma m0} = \frac{(1702 \times 10^{-6} \times 275 \times 10^{-3})}{1} = 468,05 \text{ kn. m} \\ &r=0,78 \end{split}$$

 $Mplrd = 468,05 \text{ kN.m} > \text{Msd} = 368,256 \text{ kN.m} \implies \text{condition vérifiée}$

• Effort tranchant

On doit vérifier que :
$$V_{sd} \leq V_{plrd} = \frac{fy \times Av}{\sqrt{3} \times \gamma m0}$$

$$V_{\text{plrd}} = \frac{275 \times 50,85 \times 10^2}{1\sqrt{3}} = 807,352kn$$

$$V_{sd} = \frac{qu \times L}{2} + Ru \implies V_{sd} = \frac{2,136 \times 8}{2} + \frac{88,704 \times 3}{2} = 141,6Kn$$

$$V_{plrd} = 807,352 \text{ kN} > Vsd = 141,6 \text{ kN} \implies vérifiée}$$

$$0.5 \times V_{plrd} = 807.352 \text{kN} > \text{Vsd} = 141.6 \text{ kN}$$

Il n'y a pas d'interaction entre l'effort tranchant et le moment fléchissant

• La rigidité

Il faut vérifier que :

$$f_{max} \le f_{adm} = \frac{L}{250} = \frac{8000}{250} = 32mm$$

 $f_{max} = f^1 + f^2$

$$f^{1} = \frac{5 \times qs \times l^{4}}{384 \times E \times l_{y}} = 1,365 \text{mm}$$

$$f^2 = \frac{19 \times Rs \times l^3}{384 \times E \times l_y} = 0.023 \text{mm}$$

 $f_{max} = 1,365 + 0,023 = 1,388 \text{ mm} < fadm = 32mm \text{ Condition de la flèche est vérifié}$

• Vérification du déversement

Condition de la flèche est vérifié La vérification au déversement en phase de construction est exigée par les Eurocodes néanmoins la poutre étant maintenu latéralement par les solives de part et d'autre, ont considéré qui la poutre ne risque pas de se déverser.

II.6.1.2 Phase finale

Le béton ayant durci la section mixte (le profilé et la dalle) travaillant ensemble les charges de la phase finale sont :

- Poids propre du profilé IPE 450... gp=0,776 kN/m
- Charge permanente......Gt=7,11 kN/m2
- Surcharge d'exploitation Qt= 1 kN

a. Calcul des réactions des solives

> ELU

$$qu=22,61kn/ml$$

$$R_{solive} = \frac{qu \, solive \times Lsolive}{2}$$

$$R_u = (\frac{22,61 \times 8}{2}) \times 2 = 180,88kn$$

> ELS

$$qs=16,527 \text{ kn/ml}$$

$$R_{solive} = \frac{qs\, solive \times Lsolive}{2}$$

$$R_s = (\frac{16,527 \times 8}{2}) \times 2 = 132,216kn$$

b. Combinaison des charges

> ELU

> ELS

$$qs = gp+(Gt +Q terrasse) \times bs$$

 $qs = 0,776+(7,11+1) \times 0,190$
 $qs=2,316 kN/ml$

c. Largeur de la dalle

$$b_{eff} = \inf \begin{cases} 2 \times L_0/8..\,L\text{: longueurlibre d'une poutre simplement appuie} \\ b \dots \dots \text{Entraxe entre les poutre} \end{cases}$$

$$b_{eff} = \inf \begin{cases} 2 \times L0/8 = 2 \times 8/8 = 2m \\ b = 8m \end{cases}$$

Doncbeff= 2m

Position de l'axe neutre plastique •

R béton=
$$0.57 \times \text{fck} \times \text{beff} \times \text{hc}$$

Avec fck = 25 MPa (Béton de classe 25/30)
R béton = $0.57 \times 25 \times 2000 \times 95 \times 10^{-3} = 2707.5 \text{kN}$

R Acier =
$$0.95 \times \text{fy} \times \text{A0}$$

R Acier = $0.95 \times 275 \times 9882 \times 10^{-3} = 2581.67 \text{ kN}$

R béton =2707,5 kN >R Acier =2581,67 kN Axe neutre se trouve dans la dalle de béton

d. <u>Vérifications</u>

Vérification de la flexion Le Moment fléchissant M_{sd} dans la section transversale de classe I et II doit satisfaire à la condition suivante :

$$\triangleright$$
 Il faut que : $M_{sd} < M_{plrd}$

• Le moment appliqué :

$$\begin{split} \mathbf{M}_{\mathrm{sd}} &= \frac{qu \times l^2}{8} + \frac{Ru \times l}{2} = \frac{3,156 \times 8^2}{8} + \frac{180,88 \times 8}{2} = 748,768kn.m \\ \mathbf{M}_{\mathrm{plrd}} &= 2581,67[\frac{450}{2} + 95 + 55 - \frac{2581,67 \times 95}{2 \times 2707,5} \times 10^{-3} = 851,196\ kn.m \end{split}$$

 $MPlrd = 851,196 \text{ kN. m} > Msd = 756,736 \text{ kN. m} \implies \text{condition vérifiée}$

$$r = \frac{748,768}{851,196} = 0,87$$

• Vérification de l'effort tranchant

On doit vérifier que : $V_{sd} < V_{plrd}$

$$V_{\rm sd} = \frac{q \times l}{2} + \frac{3 \times Ru}{2} = 283,944kn$$

$$V_{\text{plrd}} = \frac{275 \times 5085}{\sqrt{3}} \times 10^{-3} = 807,352kn$$

 $V_{sd} < V_{plrd}$ condition vérifiée

$$r = \frac{283,944}{807,352} = 0,352$$

$$0.5 \times V_{plrd} \, = \, 403,676 \; kN \, > \, Vsd \, = \, 283,944 \; kN \, \Longrightarrow \, v\acute{e}rifi\acute{e}e$$

Donc Pas d'interaction entre l'effort tranchant et le moment fléchissant. Donc il n'est pas nécessaire de réduire la résistance à la flexion.

• Vérification de la rigidité

$$\begin{split} f_{adm} &= \frac{L}{250} = \frac{8000}{250} = 32m \\ V &= \frac{9882}{2000 \times 95} = 0,05 = \frac{A_a}{A_b} \\ Ic &= \frac{9882 \times (95 + 2 \times 55 + 450)^2}{4(1 + 15 \times 0.05)} + \frac{2000 \times 95^3}{12 \times 15} + 33740 \times 10^4 = 9,52 \times 10^8 mm^4 \\ f^1 &= \frac{5 \times qs \times l^4}{384 \times E \times l_y} = \frac{5 \times 8000^4 \times 2,316}{384 \times 2,1 \times 10^5 \times 9,52 \times 10^8} = 0,617mm \\ f^2 &= \frac{19}{384} \times \frac{Rs \times l^3}{E \times l_y} = \frac{19}{384} \times \frac{132,216 \times 10^3 \times 8000^3}{2,1 \times 10^5 \times 9,52 \times 10^8} = 16,75mm \end{split}$$

$$f_{max} = f1 + f2 = 17,367mm < fadm = 32mm \implies \text{vérifiée}$$

Flèche totale = la flèche de la phase de construction + la flèche de la phase finale ftot = 17,367+1,388 = 18,755 mm < f adm = 32mm \Rightarrow vérifiée.

• Vérification de déversement

Dans cette phase il n'est pas nécessaire de vérifier le déversement car la semelle supérieure est maintenue par la dalle de béton Le profilé IPE450 vérifie toutes les conditions de résistance, rigidité et déversement.

II.6.2 Poutre principale du plancher courant

II.6.2.1 Phase construction

Les résultats qui nous vont retrouver sont les mêmes que ce qu'on a obtenus au niveau du plancher terrasse (avec le profile IPE450).

II.6.2.2 Phase final

Le béton ayant durci la section mixte (le profilé et la dalle) travaillant ensemble les charges de la phase finale sont :

- Poids propre du profilé IPE 450... gp=0,776 kN/m
- Charge permanente.......Gc=5,59kN/m2

a. Calcul des réactions des solives

> ELU

$$qu=27,50 \text{ kn/ml}$$

$$R_{solive} = \frac{qu\,solive \times Lsolive}{2}$$

$$R_u = (\frac{27,50 \times 8}{2}) \times 2 = 220kn$$

> ELS

$$qs=19,487 \text{ kn/ml}$$

$$R_{solive} = \frac{qs \, solive \times Lsolive}{2}$$

$$R_s = (\frac{19,487 \times 8}{2}) \times 2 = 155,896kn$$

b. Combinaison des charges

> ELU

$$qu=3,62$$

> ELS

$$qs = gp + (Gc + Qc) \times bs$$

$$qs = 0.776 + (5.59 + 4) \times 0.190$$

$$qs = 2,598 \text{ kN/ml}$$

c. Largeur de la dalle

 $b_{eff} = inf \begin{cases} 2 \times L_0/8..\,L\text{: longueurlibre d}^{'} \text{une poutre simplement appuie} \\ b \dots \dots Entraxe \ entre \ les \ poutre \end{cases}$

$$b_{eff} = inf \begin{cases} 2 \times L0/8 = 2 \times 8/8 = 2m \\ b = 8m \end{cases}$$

Position de l'axe neutre plastique

R béton= 0,57×fck×beff×hc avec fck = 25 MPa (Béton de classe 25/30)

R béton =
$$0.57 \times 25 \times 2000 \times 95 \times 10^{-3} = 2707.5 \text{kN}$$

R Acier = $0.95 \times \text{fy} \times \text{A0}$ R Acier = $0.95 \times 275 \times 9882 \times 10^{-3} = 2581,67 \text{ kN}$

R béton =2707,5kN > R Acier = 2581,67 kN Axe neutre se trouve dans la dalle de béton.

d. Vérifications

Vérification de la flexion Le Moment fléchissant Msd dans la section transversale de classe I et II doit satisfaire à la condition suivante :

 \triangleright Il faut que : $M_{sd} < M_{plrd}$

• Le moment appliqué :

$$\begin{split} \mathbf{M}_{\mathrm{sd}} &= \frac{qu \times l^2}{8} + \frac{Ru \times l}{2} = \frac{3,62 \times 8^2}{8} + \frac{220 \times 8}{2} = 908,96kn.m \\ \mathbf{M}_{\mathrm{plrd}} &= 2581,67 [\frac{450}{2} + 95 + 55 - \frac{2581,67 \times 95}{2 \times 2707,5} \times 10^{-3} = 851,196 \ kn.m \\ \mathbf{M}_{\mathrm{plrd}} &= 851,196 \ kN. \ \mathbf{M} < \ \mathbf{M}_{\mathrm{sd}} = 908,96.m \quad kN. \ \mathbf{m} \implies \text{condition non vérifiée} \end{split}$$

Remarque: Le moment n'est pas vérifié on augmente le profil On prend un IPE 500.

Tableau II. 6: Caractéristique du profilé IPE 500

| | Poids | Section | Dimensions | | Caractéristiques | | | | | | |
|----------------|-------|-----------------|-------------------|------|-------------------|--------------------|--------|-----------------|-------------------|-------------------|-------|
| Profilé | G | A | h mm | b mm | t _f mm | Iy cm ⁴ | Iz cm4 | Wpl-y | W _{pl-z} | i _y cm | iz cm |
| | Kg/m | mm ² | | | | | | cm ³ | cm ³ | | |
| IPE 500 | 90,7 | 98,82 | 500 | 200 | 16 | 48200 | 2142 | 2194 | 335,9 | 20,43 | 4,31 |

II.6.2.3 Phase de construction

Le profilé d'acier travail seul, donc les charges de la phase de construction, en plus des réactions des solives sont :

- Poids propre du profilé.....gp= 0,907 KN/ml
- $\bullet \quad \text{Poids du bac d'acier}... \\ g = 0.15 \ KN/m^2$

a. Calcul des réactions des solives

> ELU:

$$\begin{aligned} \text{qu} &= \text{ 11,088 KN/ml} & \text{qs} &= \text{ 8,107 KN/ml} \\ \text{R}_{\text{solive}} &= \frac{\text{qu solive} \times \text{L solive}}{2} & \text{R}_{\text{solive}} &= \frac{\text{qs solive} \times \text{L solive}}{2} \\ \text{R}_{\text{u}} &= \frac{\text{11,088} \times \text{8}}{2} = 44,352 & \text{R}_{\text{s}} &= \frac{\text{8,107} \times \text{8}}{2} = 32,428 \end{aligned}$$

On 2 reaction de solive de même longueur de solive donc

$$R_u = 44,352 \times 2 = 88,704 \text{ KN}$$
 $R_s = 32,428 \times 2 = 64,856 \text{kN}$

b. Combinaisons des charges

> ELU

$$qu = 1,35 \times (gp + (Gb + Gbac) \times bs) + 1,5 \times Qc \times bs$$

$$qu = 1,35 \times (0,907 + (3+0,15) \times 0,2) + 1,5 \times 0,75 \times 0,2$$

$$qu = 2,29 \text{ kN/ml}$$

> ELS

$$qs = gp + (Gb+g) \times bs + Qc \times bs$$

 $qs = 0.907 + (3+0.150) \times 0.2 + 0.75 \times 0.2$
 $qs = 1.687 \text{kN/ml}$

c. Vérifications

• Moment fléchissant

Le moment fléchissant M_{sd} dans la section transversale de classe I et II doit satisfaire la condition suivante :

$$\begin{split} & \mathsf{M}_{\rm sd} \leq \mathsf{M}_{\rm plrd} = \frac{W_{ply} \times fy}{\gamma_{m0}} \\ & \mathsf{M}_{\rm sd} = \frac{\mathsf{qu} \times \mathsf{l}^2}{8} + \frac{\mathsf{Ru} \times \mathsf{l}}{2} = \frac{2,29 \times 8^2}{8} + \frac{88,704 \times 8^1}{2} = 373,136 \, \mathrm{kn.\,m} \\ & \mathsf{M}_{\rm plrd} = \frac{W_{ply} \times fy}{\gamma_{m0}} = \frac{2194 \times 10^{-6} \times 275 \times 10^3}{1} = 603,35 \, \, \mathrm{kn.\,m} \\ & \mathsf{r} = 0,62 \\ & \mathsf{M}_{\rm plrd} = 603,35 \, \, \mathrm{kN.\,m} \, > \, \mathrm{Msd} \, = \, 373,136 \, \, \mathrm{kN.\,m} \, \Longrightarrow \, \mathrm{condition} \, \, \mathrm{v\acute{e}rifi\acute{e}e} \end{split}$$

• Effort tranchant

On doit vérifier que :
$$V_{sd} \le V_{plrd} = \frac{fy \times Av}{\sqrt{3} \times \gamma m0}$$

$$V_{\text{plrd}} = \frac{275 \times 59,87 \times 10^2}{1\sqrt{3}} = 950,56kn$$

$$V_{sd} = \frac{qu \times L}{2} + Ru \implies V_{sd} = \frac{2,29 \times 8}{2} + \frac{88,704 \times 3}{2} = 142,216Kn$$

 $V_{Plrd} = 864,15 \text{ kN} > Vsd = 142,216 \text{ kN} \implies vérifiée.$

$$0.5 \times V_{Plrd} = 432,075 \text{ kN} > Vsd = 142,216 \text{ kN}.$$

Il n'y a pas d'interaction entre l'effort tranchant et le moment fléchissant

• La rigidité

Il faut vérifier que :

$$f_{\text{max}} \le f_{\text{adm}} = \frac{L}{250} = \frac{8000}{250} = 32mm$$

$$f_{max} = f^1 + f^2$$

$$f^{1} = \frac{5 \times qs \times l^{4}}{384 \times E \times l_{y}} = 0,88 \text{ mm}$$

$$f^2 = \frac{19 \times Rs \times l^3}{384 \times E \times l_v} = 0.016 mm$$

 $f_{\rm max} = 0.88 + 0.016 = 0.904 \ {\rm mm} < f_{\rm adm} = 32 {\rm mm} \ {\rm Condition} \ {\rm de} \ {\rm la} \ {\rm flèche} \ {\rm est} \ {\rm v\'erifi\'e}$

• Vérification du déversement

Condition de la flèche est vérifié La vérification au déversement en phase de construction est exigée par les Eurocodes néanmoins la poutre étant maintenu latéralement par les solives de part et d'autre, Ont considéré qui la poutre ne risque pas de se déverser.

II.6.2.4 Phase final

Le béton ayant durci la section mixte (le profilé et la dalle) travaillant ensemble les charges de la phase finale sont :

- Poids propre du profilé IPE 500... gp=0,907 kN/m
- Charge permanente......Gc=5,59kN/m2

a. Calcul des réactions des solives

> ELU

$$qu=27,50 \text{ kn/ml}$$

$$R_{solive} = \frac{qu \, solive \times Lsolive}{2}$$

$$R_u = (\frac{27,50 \times 8}{2}) \times 2 = 220kn$$

> ELS

$$qs=19,487 \text{ kn/ml}$$

$$R_{solive} = \frac{qs \; solive \times Lsolive}{2}$$

$$R_s = (\frac{19,487 \times 8}{2}) \times 2 = 155,896 kn$$

b. Combinaison des charges

> ELU

$$qu = 3,93$$

> ELS

$$qs = gp + (Gc + Qc) \times bs$$

$$qs = 0.907 + (5.59 + 4) \times 0.2$$

$$qs = 2,825kN/ml$$

c. Largeur de la dalle

 $b_{eff} = \inf \begin{cases} 2 \times L_0 / 8..\,L \text{: longueurlibre d'une poutre simplement appuie} \\ b \dots \dots \text{Entraxe entre les poutres} \end{cases}$

$$b_{eff} = \inf \begin{cases} 2 \times L0/8 = 2 \times 8/8 = 2m \\ b = 8m \end{cases}$$

Doncbeff= 2m

Position de l'axe neutre plastique •

 \triangleright R béton= 0,57×fck×beff×hc

R béton =
$$0.57 \times 25 \times 2000 \times 95 \times 10^{-3} = 2707.5 \text{kN}$$

 \triangleright R Acier =0 ,95×fy×A0

R Acier =
$$0.95 \times 275 \times 115,5 \times 10^{-3} \times 10^{2} = 3017,44$$
kN

R béton =2707,5kN < R Acier =3017,44 kN Axe neutre se trouve dans la dalle de béton.

d. Vérifications

Vérification de la flexion Le Moment fléchissant Msd dans la section transversale de classe I et II doit satisfaire à la condition suivante :

$$\succ$$
 Il faut que : $M_{sd} \le M_{plrd}$

• Le moment appliqué :

$$\begin{split} & \mathsf{M}_{\mathrm{sd}} = \frac{qu \times l^2}{8} + \frac{Ru \times l}{2} = \frac{3,93 \times 8^2}{8} + \frac{220 \times 8}{2} = 911,44 kn. \, m \\ & \mathsf{M}_{\mathrm{plrd}} = 2581,67 \, \frac{500}{2} + 2707,5 \frac{55 \times 95}{2} \times 10^{-3} = 1031,878 \, kn. \, m \\ & \mathsf{M}_{\mathrm{plrd}} = 1031,878 \, \mathrm{kN. \, M} \, > \, \mathrm{Msd} \, = \, 911,44 \quad \mathrm{kN. \, m} \, \Rightarrow \, \mathbf{condition \, v\acute{e}rifi\acute{e}e} \\ & \mathsf{r} = 0.88 \end{split}$$

• Vérification de l'effort tranchant

On doit vérifier que : $V_{sd} \le V_{plrd}$

$$V_{sd} = \frac{q \times l}{2} + \frac{3 \times Ru}{2} = 345,72kn$$

$$V_{plrd} = \frac{275 \times 59,87}{\sqrt{3}} \times 10^{-3} = 950,6kn$$

 $V_{sd} \le V_{plrd}$ condition vérifiée

$$r = \frac{345,72}{950,6} = 0,36$$

$$0.5 \times V_{plrd} = 475,3kN > Vsd = 345,72kN \implies vérifiée$$

Donc Pas d'interaction entre l'effort tranchant et le moment fléchissant. Donc il n'est pas nécessaire de réduire la résistance à la flexion.

• Vérification de la rigidité

$$\begin{split} f_{adm} &= \frac{L}{250} = \frac{8500}{250} = 32m \\ V &= \frac{11550}{2000 \times 95} = 0,06 = \frac{A_a}{A_b} \\ Ic &= \frac{11550 \times (95 + 2 \times 55 + 450)^2}{4(1 + 15 \times 0.06)} + \frac{2000 \times 95^3}{12 \times 15} + 48200 \times 10^4 = 2,62 \times 10^8 \text{mm}^4 \\ f^1 &= \frac{5 \times \text{qser} \times l^4}{384 \times \text{E} \times l_y} = \frac{5 \times 8000^4 \times 2,825}{384 \times 2,1 \times 10^5 \times 2,62 \times 10^8} = 2,74 \text{mm} \\ f^2 &= \frac{19}{384} \times \frac{\text{Rs} \times l^3}{\text{E} \times l_c} = \frac{19}{384} \times \frac{155,896 \times 10^3 \times 4000^3}{2,1 \times 10^5 \times 2,62 \times 10^8} = 8,97 \text{mm} \text{ avec } L = l/2 = 4 \text{m}. \\ f_{max} &= f1 + f2 = 11,71 \text{mm} < \text{fadm} = 32 \text{mm} \implies \text{vérifiée} \end{split}$$

Flèche totale = la flèche de la phase de construction + la flèche de la phase finale ftot = 11,71+0,904 = 12,614 mm < fadm = 32mm \Rightarrow vérifiée.

• Vérification de déversement

Dans cette phase il n'est pas nécessaire de vérifier le déversement car la semelle supérieure est maintenue par la dalle de béton.

Remarque;

Le profilé IPE500 vérifie toutes les conditions de résistance, rigidité et déversement, donc on opte un IPE 500 pour les poutres de plancher courant.

Et pour les poutres de plancher terrasse on prend IPE 450.

II.6.3 Calcul des connecteurs

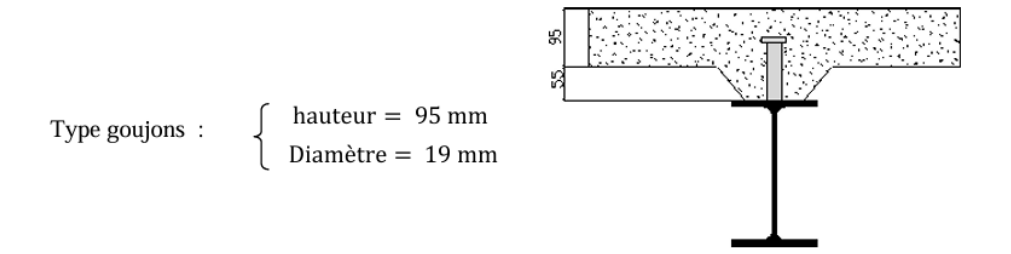


Figure II. 6: Largeur effective de la dalle

II.6.3.1 <u>Détermination de (Résistance au cisaillement)</u>

$$P_{rd} = K_t \times inf \begin{cases} 0,29 \times a \times d^2 \times \frac{\sqrt{Fck \times Ec}}{\gamma v} & \text{R\'esistance dans le b\'eton qui entourele goujon} \\ 0,8 \times F_u \times \frac{\pi \times d^2}{4 \times \gamma v} & \text{La force dans le goujon} \end{cases}$$

Avec: Fck = 25 KN/mm2

Résistance caractéristique de béton

Ec = 30,5 KN/m2 Module de Young de béton

Fu = 450 N/mm2 Résistance caractéristique des connecteurs

$$yv = 1,25$$

$$\alpha = 1$$
 si $\frac{h}{d} > 4$; $\alpha = 0.2 \left(\frac{h}{d} + 1\right)$ si $3 \le \frac{h}{d} \le 4$

Dans notre cas : $\alpha = 1$ car $\frac{h}{d} = \frac{95}{19} = 5 \ge 4$

$$P_{rd} = K_{t} \times inf \begin{cases} 0,29 \times 1 \times 19^{2} \times \frac{\sqrt{25 \times 30,5 \times 10^{3}}}{1,25} = 73,13KN \\ 0,8 \times 450 \times \frac{\pi \times 19^{2}}{4 \times 1,25} = 81,65KN \end{cases}$$

II.6.3.2 Influence du sens du bac d'acier

$$k = \frac{0.7}{\sqrt{N_r}} \times \frac{b0}{hp} \left(\frac{hc}{hp} - 1 \right)$$

Nr : Nombre de goujon par nervure =1

Hp = 55 mm

hc= 95 mm (hauteur du connecteur)

b0 = 88,5 mm Largeur moyenne de la nervure

Donc k=0,82

Les connecteurs seront soudés à travers le bac d'acier d'après les EC4 kt doit être Inférieur à 1 donc :

Prd (Resistance au cisaillement) Kt =0,82 Prd = 59,90KN

II.6.3.3 Effort tranchant repris par les goujons détermination de RL

RL= inf (R béton; RAcies); RL= inf (2707,5; 3017,44) RL= 2707,5 kN

Nombre de connecteurs : par demi-portée

Nbre = RL/Prd = 2707,5/59,9=45,20.

On prend 45 connecteurs pour le demi porté ; c'est-à-dire 90 connecteurs sur toute la longueur totale de la poutre.

L'espacement minimal des connecteurs doit être supérieur à 5 fois le diamètre :

e min
$$\ge 5.d = 5 \times 19 = 95 \text{ mm}$$

$$e max = 6 \times hsc = 6 \times 95 = 570 mm$$

$$esp = \frac{L}{N_{hw^{-1}}}$$
 donc esp= $\frac{8000}{90-1}$ = 89,88mm on prend **..89mm**

Donc on prend 90 connecteurs, avec un espacement de 89mm.

II.7 Pré dimensionnement des poutres secondaire

Pour les poutres secondaires, travaille comme la solive de même longueur **8m** et même espacement **2m**

Donc on prend IPE 240.

| Terrasse inaccessible phase de construction | | | | | | |
|---------------------------------------------|-----------------------------------|------------|--|--|--|--|
| Msd=88,704kN.m | Mpl,rd = 100,815kN.m | Ratio:88% | | | | |
| Vsd=44,352kN | Vpl,rd=303,88kN | Ratio:15% | | | | |
| f max=3,30mm | fadm=16 mm | Ratio:21% | | | | |
| | Terrasse inaccessible phase final | | | | | |
| Msd=180,88kN.m | Mpl,rd=275,92kN.m | Ratio: 65% | | | | |
| Vsd=90,44kN | Vpl,rd=303,88kN | Ratio:30% | | | | |
| f max=21,41 mm | fadm=32 mm | Ratio:67% | | | | |

Tableau II. 7: Poutre secondaire des planchers terrasse

Tableau II. 8: Poutre secondaire des planchers courant

| Plancher courant phase final | | | | | | |
|--------------------------------------------------|-------------------|--------------|--|--|--|--|
| Msd = 220 kN.m $Mpl,rd = 275,92kN.m$ Ratio: 80% | | | | | | |
| Vsd = 110kN | Vpl,rd = 303,88kN | Ratio : 36 % | | | | |
| f max = 25,25 mm | fadm = 32 mm | Ratio :79% | | | | |

II.8 Pré dimensionnement des poteaux

Les poteaux sont des éléments de charpente utilisés en construction métallique comme supports d'ossatures. Ils travailent donc essentiellement en compression et ils sont contrains au flambement pour des portées importantes.

Leurs sections doivent présenter une bonne rigidité à la compression dans toutes les directions et en particulier suivant leurs axes principaux. Ils sont généralement des profilés en **HEA ou HEB ou HEM.**

Le pré dimensionnement se fera par la vérification de la résistance de la section en compression axial (flambement) suivant l'Eurocode 3 Partie1-1.

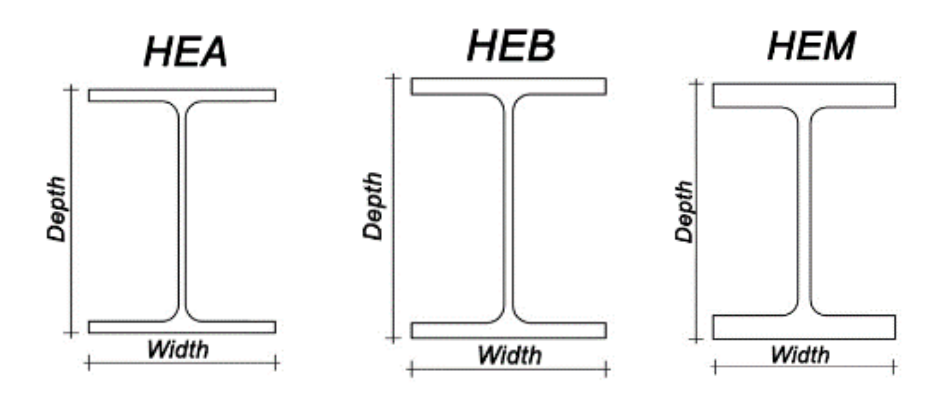


Figure II. 7: Poteaux HEA, HEB, HEM.

II.8.1 Principe de calcul

Les poteaux sont pré-dimensionnés en compression simple en choisissant le poteau le plus sollicité de la structure, dans notre cas c'est le poteau central. Le poteau est affecté de la surface du plancher chargé lui revenant, on utilisera un basé sur la descente de charge.

Étapes de pré dimensionnement

- Calcul de la surface reprise par chaque poteau
- Évaluation de l'effort normal ultime de la compression à chaque niveau d'après la descente des charges.
- La section du poteau est alors calculée aux états limite ultime (ELU) vis-à-vis de la compression simple du poteau.

$$Nu = 1,35G + 1,5Q$$

- G : Poids propre des éléments qui sollicite le poteau étudié non compris son poids propre.
- Q : Surcharge d'exploitation dans le cas où la charge d'exploitation est la même pour tous les étages, la loi de dégression est équivalente à la règle usuelle dans laquelle les charges d'exploitation de chaque étage sont réduites. La structure étudiée possède des poteaux en profilé HEA.

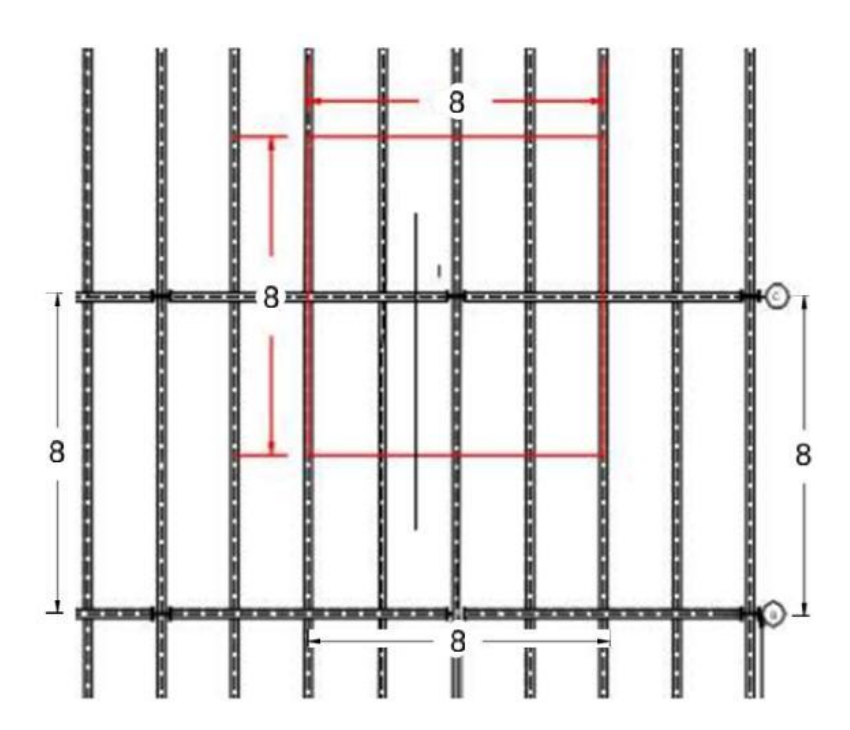


Figure II. 8: Poteau central.

II.8.2 Prédimensionnement de poteau central (le plus sollicité)

II.8.2.1 La descente des charges

S1 (Courant) = $8 \times 8 = 64 \ m^2$

S2 (Terrasse) = $8 \times 8 = 64 \, m^2$

 $G = (Gpl \times S1) + (Gpp \times L1) + (Gps \times L2) + n (Gsolive \times L3)$

Avec:

 $G_{(pl)}$: charge de plancher terrasse ou courant S1: surface reprise par le poteau

 G_{pp} : poids propre de la poutre principale L1: longeur de la poutre principale

 G_{ps} : poids propre de la poutre secondaire L2: longeur de la poutre secondaire

 G_{solive} : poids propre des solives L3 : longeur des solives

• **Gp,t** = 7.11 kN/m^2

• **Gp,** $c = 5.59 \text{ kN/m}^2$

• **Qp, t. incc** = 1 kN/m^2

• **Qp,** $c = 4 \text{ kN/m}^2$

Qppc (IPE500) = 0.907 kN/m

Gppt (IPE450) = 0.776 kN/m

Gps (IPE240) = 0.307 kN/m

GSolive(IPE240) = 0.307 kN/m

Remarque: La loi de digression des charges exploitations selon le **DTR B.C 2.2** comme suit:

Tableau II. 9: La loi de dégression

| Niveau | Surcharges |
|------------------|-----------------------------------------------------------------------------------------------------------------------------------------------------------------------|
| Terrasse | $\Sigma_0 = \mathrm{Q}_0$ |
| 9 ^{eme} | $\Sigma_1 = \mathbf{Q_0} + \mathbf{Q_1}$ |
| 8 ^{eme} | $\Sigma_2 = \mathbf{Q_0} + 0.9(\mathbf{Q_1} + \mathbf{Q_2})$ |
| 7 ^{eme} | $\Sigma_3 = \mathbf{Q}_0 + 0.8(\mathbf{Q}_1 + \mathbf{Q}_2 + \mathbf{Q}_3)$ |
| 6 ^{eme} | $\Sigma_4 = \mathbf{Q}_0 + 0.7(\mathbf{Q}_1 + \mathbf{Q}_2 + \mathbf{Q}_3 + \mathbf{Q}_4)$ |
| 5 ^{eme} | $\Sigma_5 = \mathbf{Q_0} + 0.6(\mathbf{Q_1} + \mathbf{Q_2} + \mathbf{Q_3} + \mathbf{Q_4} + \mathbf{Q_5})$ |
| 4 ^{eme} | $\Sigma_6 = \mathbf{Q}_0 + 0.5(\mathbf{Q}_1 + \mathbf{Q}_2 + \mathbf{Q}_3 + \mathbf{Q}_4 + \mathbf{Q}_5 + \mathbf{Q}_6)$ |
| 3 ^{eme} | $\Sigma_7 = \mathbf{Q}_0 + 0.5(\mathbf{Q}_1 + \mathbf{Q}_2 + \mathbf{Q}_3 + \mathbf{Q}_4 + \mathbf{Q}_5 + \mathbf{Q}_6 + \mathbf{Q}_7)$ |
| 2^{eme} | $\Sigma_8 = \mathbf{Q}_0 + 0.5(\mathbf{Q}_1 + \mathbf{Q}_2 + \mathbf{Q}_3 + \mathbf{Q}_4 + \mathbf{Q}_5 + \mathbf{Q}_6 + \mathbf{Q}_7 + \mathbf{Q}_8)$ |
| 1 er | $\Sigma_9 = \mathbf{Q}_0 + 0.5(\mathbf{Q}_1 + \mathbf{Q}_2 + \mathbf{Q}_3 + \mathbf{Q}_4 + \mathbf{Q}_5 + \mathbf{Q}_6 + \mathbf{Q}_7 + \mathbf{Q}_8 + \mathbf{Q}_9)$ |
| RDC | $\sum_{10} = Q_0 + 0.5(Q_1 + Q_2 + Q_3 + Q_4 + Q_5 + Q_6 + Q_7 + Q_8 + Q_9 + Q_{10})$ |

| Niveau | G [kN] | Q [kN] | G(cumuler) | Q(cumuler) | Nu [kN] |
|------------------|--------|--------|------------|------------|---------|
| | | | [kN] | [kN] | |
| Terrasse | 473.53 | 64 | 473.53 | 64 | 735.27 |
| 9 ^{eme} | 377.23 | 256 | 850.76 | 320 | 1628.53 |
| 8 ^{eme} | 377.23 | 256 | 1227.99 | 524.8 | 2444.99 |
| 7 ^{eme} | 377.23 | 256 | 1605.22 | 678.4 | 3184.64 |
| 6 ^{eme} | 377.23 | 256 | 1982.45 | 780.8 | 3847.51 |
| 5 ^{eme} | 377.23 | 256 | 2359.68 | 832 | 4433.57 |
| 4 ^{eme} | 377.23 | 256 | 2736.91 | 832 | 4942.83 |
| 3 ^{eme} | 377.23 | 256 | 3114.14 | 960 | 5644.09 |
| 2 ^{eme} | 377.23 | 256 | 3491.37 | 1088 | 6345.35 |
| 1 er | 377.23 | 256 | 3868.6 | 1216 | 7046.61 |
| RDC | 377.23 | 256 | 4245.83 | 1344 | 7747.87 |

Tableau II. 10: La descente des charges (les poteaux centraux)

II.8.2.2 Pré dimensionnement des poteaux

Les poteaux sont des éléments sollicités en compression axiale, la valeur de calcul Nsdde l'effort de compression dans chaque section transversale doit satisfaire à la condition suivante :

• Poteau centrale:

$$N_{sd} \leq N_{crd} = \frac{A_{nec} \times f_y}{\gamma_{m0}}$$

$$fy = 275 MPa$$

section de classe 1: $N_{crd} = N_{plrd}$

• Poteau du RDC:

$$Nsd = 1.35 \times G + 1.5Q$$

Nsd=
$$(1.35 \times 4245.83) + (1.5 \times 1344) = 7747.87$$
 Kn

Anec =
$$\geq \frac{Nsd \times \gamma M0}{Fy} = \frac{7747.87 \times 10^3}{275 \times 10^2} = 281.74 \ cm^2$$

On choisit profilé de **HEA800** \implies **A= 285.8** cm^2

| Niveau | Nsd [kN] | A calculé | Profilé | A choisit |
|------------------------------|----------------|-----------|---------|-----------|
| | | (cm2) | | (cm²) |
| 9 ^{eme} étage | 1628.53 | 59.21 | HEA360 | 142.8 |
| 8 ^{eme} étage | 2444.99 | 88.90 | HEA360 | 142.8 |
| 7 ^{eme} étage | 3184.64 | 115.80 | HEA360 | 142.8 |
| 6 ^{eme} étage | 3847.51 | 139.90 | HEA360 | 142.8 |
| 5 ^{eme} étage | 4433.57 | 161.22 | HEA550 | 211.8 |
| 4 ^{eme} étage | 4942.83 | 179.73 | HEA550 | 211.8 |
| 3 ^{eme} étage | 5644.09 | 205.24 | HEA550 | 211.8 |
| 2 ^{eme} étage | 6345.35 | 230.74 | HEA800 | 285.8 |
| 1 ^{er} étage | 7046.61 | 256.24 | HEA800 | 285.8 |
| RDC | 7747.87 | 281.74 | HEA800 | 285.8 |
| | | | | |
| II 0 2 2 X// '6' 4' | 1 | | | |
| II.8.2.3 <u>Vérification</u> | on des poteaux | | | |
| Vérification du f | flambement | | | |

Tableau II. 11: Les sections et les profilés des poteaux centraux

Les poteaux sont des éléments qui travaillent principalement à la compression et la flexion, et comme les moments sont faibles devant l'effort normal on possède à la vérification de la résistance au flambement.

Il faut vérifier que :
$$N_{sd} \le N_{brd} = \frac{X \times \beta_A \times A \times f_y}{\gamma_{m1}}$$

• Méthode de calcul:

Avec
$$X = \min \{X_y; X_z\} \le 1$$

$$\beta_{A} = 1 \atop \beta_{A} = \frac{A_{eff}}{A} \Rightarrow \begin{cases} \text{Classe 1,2 ou 3} \\ \text{Classe 4} \end{cases}$$

$$\varepsilon = \left[\frac{235}{f_y}\right]^{0.5} = \left[\frac{235}{275}\right]^{0.5} = 0.92 \Rightarrow \begin{cases} \lambda_1 = 93.9 \times \varepsilon = 86.8 \\ l_f = L \times K \end{cases}$$

$$\Rightarrow \begin{cases} \lambda_y = l_{f,y}/i_y \\ \lambda_z = l_{f,z}/i_z \end{cases} \Rightarrow \begin{cases} \lambda_y = \left(\frac{\lambda_y}{\lambda_1}\right) \times (\beta_A)^{0.5} \\ \lambda_z = \left(\frac{\lambda_z}{\lambda_1}\right) \times (\beta_A)^{0.5} \end{cases}$$

$$\Rightarrow \begin{cases} \Phi_{y} = 0.5 \times \left[1 + \alpha \times (\lambda_{y} - 0.2) + \lambda_{y}^{2} \right] \\ \Phi_{z} = 0.5 \times \left[1 + \alpha \times (\lambda_{z} - 0.2) + \lambda_{z}^{2} \right] \end{cases}$$

$$\Rightarrow \begin{cases} X_y = \frac{1}{\Phi_y + \left[\Phi_y^2 - \lambda_y^2\right]^{0.5}} \\ X_z = \frac{1}{\Phi_z + \left[\Phi_z^2 - \lambda_z^2\right]^{0.5}} \end{cases}$$

• Poteau de RDC

HEA800: N= 7747.87 kN; Acalculé = 281.74 cm²; Achoisis = 285.8 cm²

$$l_{fz} = 0.7 \times l_0 = 0.7 \times 4.08 = 2.86 \, m$$
 ; $l_{fy} = l_0 = 4.08$

$$\lambda_y = \frac{l_{fy}}{i_y} = \frac{408}{32.58} = 12.67$$

$$\lambda_z = \frac{l_{fz}}{iz} = \frac{286}{6.65} = 43.01$$

$$\lambda_z > \lambda_y \implies \text{Plan de flambement y-y}$$

• Axe de flambement z-z

Choix de la courbe de flambement:

$$\frac{h}{b} = \frac{790}{300} = 2.63 > 1,2$$
 Courbe de flambement $b \Rightarrow \alpha = 0,34$;

$$\lambda_z = \frac{43.01}{86.81} = 0.49$$

$$\varphi_z = 0.5 (1 + 0.34(0.49 - 0.2) + 0.495^2)$$

$$\varphi_z = 0.67$$

$$X_Z = \frac{1}{0.67 + (0.67^2 + 0.49^2)^{0.5}}$$

$$X_Z = 0.89$$

$$\lambda_y = \frac{12.67}{86.81} = 0.15$$

$$\varphi_{\gamma} = 0.5 (1 + 0.49(0.15 - 0.2) + 0.15^2) = 0.50$$

$$X_Z = \frac{1}{0.50 + (0.50^2 + 0.15^2)^{0.5}} = 1.02$$

$$X_{min} = 0.89$$

$$N_{brd} = 0.89 \times \frac{1 \times 275 \times 28580 \times 10^{-3}}{1} = 7002.81$$

$$N_{sd} = 7747.87 \text{ kn} > 7002.81 \text{ kn}$$
 Condition non vérifiée

Alors on change le profilé par **HEB800**; A= 334.2 cm2

$$N_{brd} = 8253.07 \text{ kN} \implies N_{sd} = 7747.87 \text{ kn} < N_{brd} \implies \text{Condition v\'erifi\'ee}$$

Remarque:

Les mêmes étapes seront suivies pour la vérification des autres poteaux, les résultats sont regroupés dans le tableau suivant :

Tableau II. 12: Vérification au flambement de 9éme étage jusqu'à RDC

| Niveau | 6,7,8,9 | 3,4,5 | RDC,1,2 |
|------------------------|----------|----------|----------|
| Profilé | HEB600 | HEB700 | HEB800 |
| α z | 0.34 | 0.34 | 0.34 |
| λ_z | 40.40 | 41.69 | 41.69 |
| $\overline{\lambda}_z$ | 0.465 | 0.48 | 0.48 |
| φ_z | 0.650 | 0.66 | 0.66 |
| X_z | 0.90 | 0.898 | 0.898 |
| N _{sd} | 3847.51 | 5644.09 | 7747.87 |
| N _{brd} | 6682.5 | 7566.55 | 8253.07 |
| Condition | Vérifier | Vérifier | Vérifier |

Résumé :

Le choix final des profilées est cité dans le tableau ci-dessous :

Tableau II. 13: Choix final des profilés

| Niveau | Poteau centrale |
|----------|-----------------|
| 6,7,8,9 | HEB600 |
| 3,4,5 | HEB700 |
| RDC ,1,2 | HEB800 |

Chapitre III : Predimensionnement des elements secondaires

III.1 L'acrotère

III.1.1 Introduction

Un acrotère est une petite structure verticale positionnée sur le bord d'une toiture.

En général, il s'agit d'un muret en béton, en métal ou en bois, conçu pour prolonger légèrement la hauteur de la toiture. Cet élément peut être visible ou intégré dans le design global du bâtiment.

Les acrotères jouent un rôle clé dans la protection et l'aménagement des toits, en contribuant notamment à l'étanchéité, à la sécurité et à l'esthétique.

L'acrotère est soumis à une flexion composée due aux charges suivantes :

- > Son poids propre sous forme d'un effort normal vertical.
- ➤ Une force horizontale due à une main courante Q=1kN/ml.

Le calcul se fait pour une bande de 1m de largeur dont les dimensions sont les suivantes :

Largeur b=100cm

Hauteur H=60cm

Epaisseur e=10cm

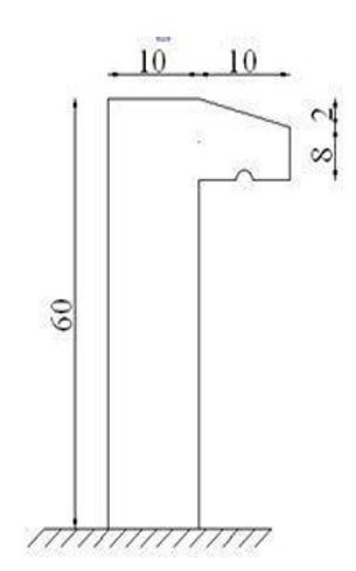


Figure III. 1: Dimension de l'acrotère.

III.1.2 Evaluation des Charges

- a. Charges permanentes
- > Surface de l'acrotère :
- ➤ On a Largeur b=100cm Hauteur H=60cm Epaisseur e=10cm donc

$$\mathbf{S} = \left[(0.1 \times 0.6) + (0.1 \times 0.08) + \frac{0.1 \times 0.02}{2} \right] = \mathbf{0.069} m^2$$

Poids propre de l'acrotère : on a

$$G = \rho_b \times S = 25 \times 0.069 = 1,725 \text{ kn/ml}$$

> Revêtement en ciment;

On a; (e=2cm;
$$\rho$$
=14kN/m3)

$$G = \rho_{ci} \times e \times P_{cme} = 14 \times 0.02 \times (60 + 10) \times 2.10^{-2} = 0.392 \text{ kn/ml}$$

$$G total=G1+G2 = 2,117 \text{ kN/ml}$$

b. Charge d'exploitation

Q=1,00kN/ml

L'action des forces horizontales : (Fp)

L'action des forces horizontales est donnée par : Fp=4ACpWp

Zone de blida donc:

Avec : A : Coefficient d'accélération de zone obtenu dans le tableau (4-1) pour la zone et le groupe d'usage appropriés [A=0,25] groupe 2.

Wp: Poids de l'acrotère =2,117kN.

$$Fp=4\times0,25\times0,8\times2,117=1,694kN.$$

$$Qu=Max(1,5Q; Fp)$$

$$\begin{cases} F \ p = 1,694kN \\ 1,5 \ Q = 1,5 \ kN \end{cases}$$
 donc on prnd Qu 1,694kN

Donc pour une bande de 1m de largeur : G=2,117kN/ml et Q=1,694KN/ml

III.1.3 Calcul des Efforts

Pour une bande de 1m de largeur :

➤ E.L.U:

> E.L.S:

$$Nser = G = 2,117kN$$

$$Mser = Qhh = 1,016kN.m$$

Tser=
$$Qh = 1,694kN$$

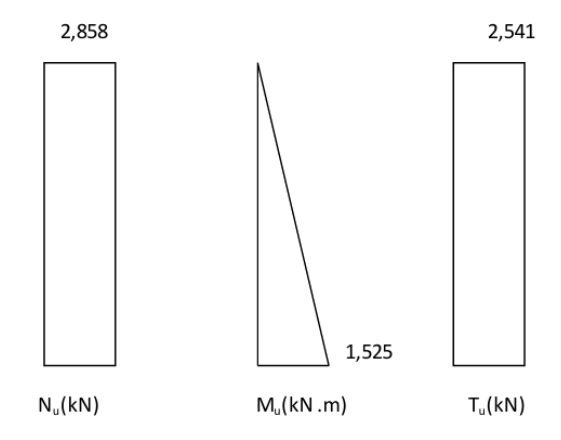
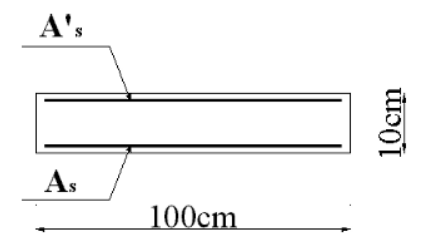


Figure III. 2: Diagrammes des efforts à l'ELU.

III.1.4 Ferraillage de L'acrotère

h=10cm; b=100cm; d=0.9h =9cm; fc28=25MPa; σbc=14,17MPa; c=c'=2cm; fe=400MPa



• Calcul de l'excentricité

$$e_0 = \frac{Mu}{Nu} = \frac{1.525}{2.858} = 53.36 cm$$

$$\frac{h}{2} - C' = \frac{10}{2} - 2 = 3 cm$$

$$e_0 > \frac{h}{2} - C' \Rightarrow \text{Section partiellement comprimée}$$

Le centre de pression se trouve à l'extérieur de la section.

Les armatures seront calculées à la flexion simple en équilibrant le moment fictif Mf.

• Calcul du moment fictif « Mf»

$$M_f = M_u + N_u \left[\frac{h}{2} - c' \right] = 1.611kN.m$$

$$\mu = \frac{M_t}{bd^2 \sigma_{he}} = 0.014$$

 $\mu < \mu_R = 0.392 \Rightarrow A_s' = 0$ les armatures comprimées ne sont pas nécessaires

$$\alpha = 1.25 \left(1 - \sqrt{1 - 2\mu}\right) = 0.018$$

$$Z = d(1 - 0.4 \alpha) = 5.93 cm$$

$$\mu = 0.014 < 0.186 \Rightarrow \varsigma_s = 10 \%$$
 et $\sigma_s = \frac{f_e}{\gamma_s} = 348 MPa$

$$A_{sf} = f(Mf)$$

$$A_{sf} = \frac{Mf}{Z_{\sigma s}} = 51.84 \ mm^2$$

$$A_{s1} = A_s' = 0$$

$$A_{s1=A_{sf}} - \frac{Nu}{\sigma_s} = 43.63 \ mm^2$$

On obtient:
$$\begin{cases} A_{s1} = 0 \ cm^2 \\ A_{s2} = 0.44 \ cm^2 \end{cases}$$

III.1.5 Vérification de la Section d'Acier

Il faut vérifier As avec la section minimale imposée par la règle du millième et par la règle de non fragilité :

$$A_s^{\min} \ge \text{Max}\left\{\frac{bh}{1000}; 0.23 \text{ bd } \frac{f_{t28}}{f_e}\right\}$$

Avec:

ft28=2,1MPa; fe=400MPa; b=100cm; d=9cm

$$A_s^{min} \ge Max \left\{ 1cm^{-2}; 1,087 cm^{-2} \right\} = 1,087 cm^{-2}$$

Donc:

on opte finalement pour $5T8 = 2,51 \text{ } cm^2$

Avec un espacement : $S_t = \frac{100}{5} = 20 \text{ cm}$

III.1.6 Armatures de Répartitions

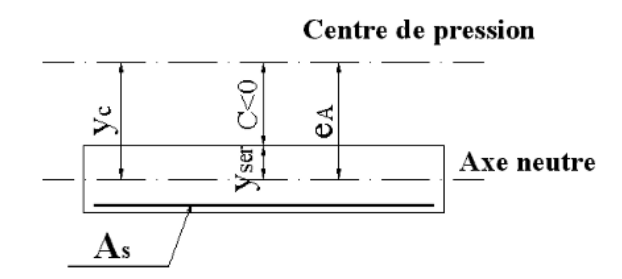
$$A_r \ge \frac{A_s}{A} \Rightarrow A_r \ge 0.352 \text{ cm}^2$$

On choisit 4T8=2,01cm2 avec un espacement $S_t = \frac{60-5}{3} = \frac{55}{3} = 18cm$

III.1.7 Vérification à L'ELS

La fissuration est considérée comme préjudiciable.

$$e_0 = \frac{M_{ser}}{N_{ser}} = 48 \text{ cm}$$



On a:

 $e_0 > \frac{h}{2} - c \Rightarrow$ La section est partiellement comprimée...

C : La distance entre le centre de pression et la fibre la plus comprimée.

 $C=d-e_A$

Avec :
$$e_A = \frac{M_{ser}}{M_{ser}} + \left[d - \frac{h}{2}\right] = 52 \text{ cm} \implies C = -43 \text{ cm}$$
(C<0)

D'après ' le BAEL 91 modifié 99', on doit résoudre l'équation suivant :

$$y^3 + py_c \quad q = 0$$

yc: Distance entre le centre de pression et l'axe neutre.

Avec:

$$n = 15; \begin{cases} p = 3c^2 + 6n(c - c')\frac{A_s}{b} + 6n(d - c)\frac{A_s}{b} = -5538.11\\ q = 2c^3 - 6n(c - c')\frac{A_s}{b} + 6n(d - c)\frac{A_s}{b} = 153012.90 \end{cases}$$

La solution de l'équation du troisième degré est obtenue par :

$$\Delta = q^2 + \left(\frac{4p^3}{27}\right) = -1,75.10^9$$

$$\cos \varphi = \frac{3q}{2p} \sqrt{\frac{+3}{p}} = -0.96 \Rightarrow \varphi = 163.74^{\circ}$$

$$\alpha = 2\sqrt{\frac{-p}{3}} = -85.83$$

$$y_1 = a\cos\left(\frac{\varphi}{3} + 120\right)$$

$$y_2 = a \cos\left(\frac{\varphi}{3}\right) = 49.8 \text{ cm}$$

$$y_3 = a \cos\left(\frac{\varphi}{3} + 240\right) = 35.74 \text{ cm}$$

La solution qui convient est : yc=49,8cm

Car :
$$0 < y_{ser} = yc + c < d$$

$$0 < y_{ser} = 6.8 \text{cm} < 9 \text{cm}$$

Donc :
$$\begin{cases} y_{ser} = 6.8 \text{ cm} \\ y_c = 49.8 \text{ cm} \end{cases}$$

• Calcul du moment d'inertie

$$I = \frac{b}{3} y_{\text{ser}}^3 + n[A_s(d - y_{\text{ser}})^2 + A_s'(y_{\text{ser}} - c')^2] = 10583 ,44cm^4$$

Vérification des contraintes

a. Contrainte du béton

$$\overline{\sigma}_{bc} = \left(\frac{N_{ser}}{I}y_{c}\right)y_{ser} \le \sigma_{bc} = 0.6f_{c28} = 15 \text{ MPa}$$

$$\sigma_{\rm bc} = \left(\frac{2,117 \times 10^3 \times 48,91 \times 10}{10583,44 \times 10^4}\right) \times 6,8 \times 10 = 0,68 Mpa \le \sigma_{\rm bc}$$

✓ Condition vérifiée

b. Contraintes de l'acier

$$\begin{split} &\sigma_{\rm S}=n\left(\frac{{\rm N}_{\rm ser}}{\rm I}\,{\rm y_c}\right)(d-{\rm y}_{\rm ser})\leq \overline{\sigma}_{\rm S}={\it Acier Tendu}\\ &\sigma_{\rm S}'=n\left(\frac{{\rm N}_{\rm ser}}{\rm I}\,{\rm y_c}\right)({\rm y}_{\rm ser}-c')\leq \overline{\sigma}_{\rm S}={\it Acier comprim\'e}\\ &\bar{\sigma}_{\rm S}=\xi={\rm Min}\left(\frac{2}{3}\,f_e,{\it Max}\left(0.5\,fe,\sqrt{n}\,ftj\right)\right)=201.6\,{\it MPa}\\ &\sigma_{\rm S}=3.29\,{\rm MPa}\quad <\bar{\sigma}_{\rm S}\ldots\ldots\ldots\ldots v\'erifi\'ee\\ &\sigma_{\rm S}'=7.17\,{\rm MPa}\quad <\bar{\sigma}_{\rm S}\ldots\ldots\ldots v\'erifi\'ee \end{split}$$

III.1.8 Vérification de l'Effort Tranchant

La contrainte de cisaillement est donnée par la formule suivante :

$$au_{\mathbf{u}} = \frac{t_{\mathbf{u}}}{bd} \le au_{\mathbf{u}} = \mathrm{Min}\{0.1\ \mathrm{f_{c28}}; \mathrm{4MPa}\} = 2.5\mathrm{MPa}$$

$$au_{\mathbf{u}} = \frac{2.54 \times 10^3}{90 \times 10^3} = 0.028\mathrm{MPa} \quad \text{v\'erifi\'ee}$$

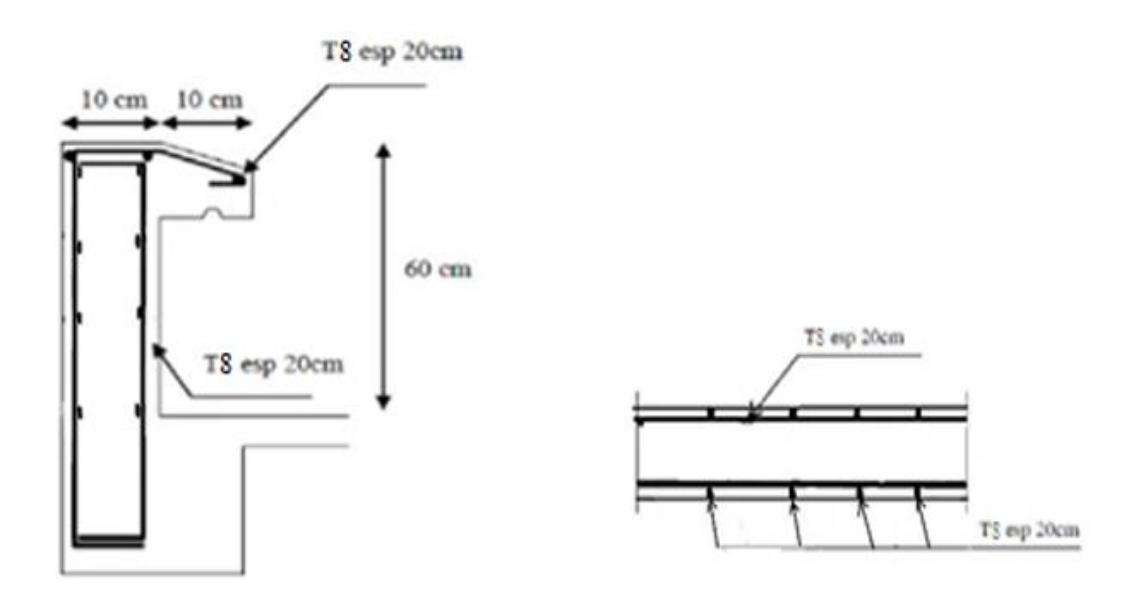


Figure III. 3 : schema de Ferraillage de l'acrotère.

III.2 Etude des escaliers

III.2.1 Introduction

L'escalier est un ouvrage constitué d'une suite régulière de plans horizontaux (marches et paliers) permettant, dans une construction, de passer à pied d'un étage à un autre, il est aussi considéré comme étant un ouvrage de circulation verticale.

Dans notre projet, on deux type d'escalier en charpente métallique' :

Type1 : un 'escalier qui est composé de deux volées liées à un palier de repos, ce dernier se compose d'une solive UPN encastrée aux poteaux, la volée est constituée de deux limons en profilé UPN, et des marches constituées par des cornières de support et de tôle striée.

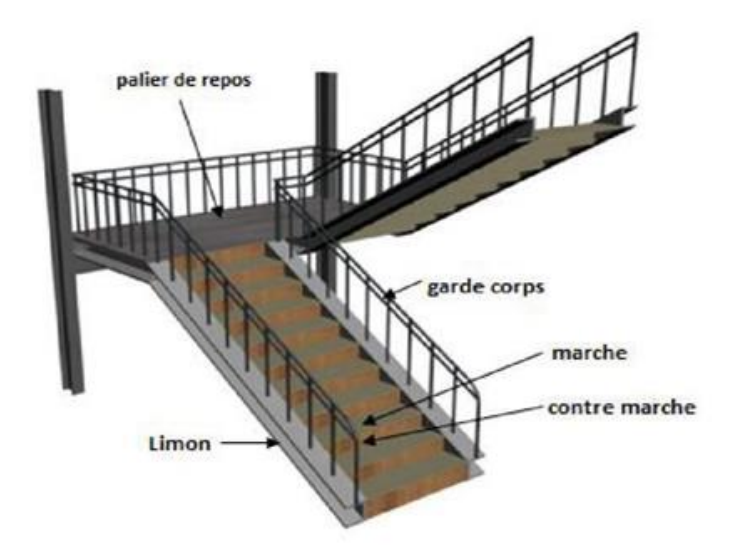


Figure III. 4: Type 1 d'escalier.

Type2: un Escalier à Trois Volées avec Deux Paliers Intermédiaires

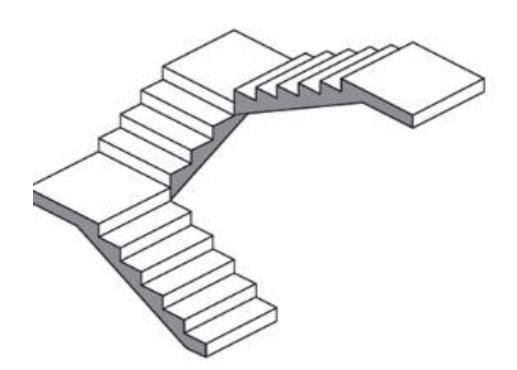


Figure III. 5: Type 2 d'escalier.

 Palier : c'est une aire plane située à chaque étage au départ et à l'arrivée d'une volée d'escalier, sa fonction est de permettre un repos pendant la montée.

- Palier intermédiaire : c'est un palier placé entre deux niveaux.
- Volée : une partie droite (ou courbe) d'escalier comprise entre deux paliers successifs
- Marches : elles peuvent êtres encastrés entre deux limons ou reposées sur un ou deux limons.

III.2.2 Pré dimensionnement de l'escalier

Caractéristiques géométriques

Type1

D'après la loi de BLONDEL

Hauteur de l'étage : h = 4,08m

Hauteur du contre marche donné par :16 cm $\leq h \leq$ 18 cm ,on prend une hauteur de marche H=17 cm.

Largeur de la marche (giron) donné par :26 $cm \le g \le 32$ cm, on prend g=30cm

Vérification

 $60 \text{ cm} \le g + 2 \times h \le 64 \text{cm}$

 $60 \text{ cm} \le (30 + 2 \times 17) = 64 \le 64c$.

Hauteur de l'étage : h = 4,08m donc : hauteur à franchir avec une volée H = 4,08/2 = 2,04m.

Avec :
$$h = \frac{H}{n}$$

 $n=\frac{2,04}{0,17}=12$ countre marche.

n-1= 12-1=11 marche.

L'inclinaison de paillasse tan $\alpha = \frac{H}{L} = \frac{2,04}{3.3} = 0,618$; $\alpha = 32$

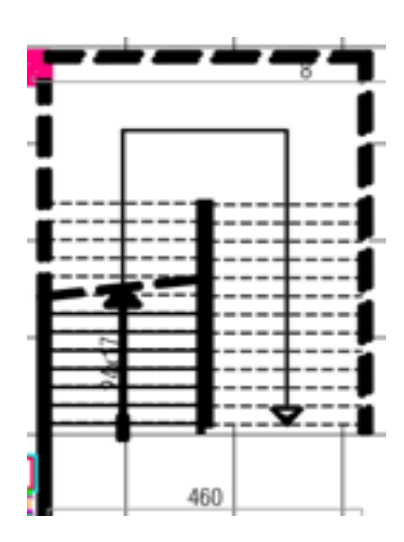


Figure III. 6: Vue en plan de l'escalier.

III.3 Dimensionnement des supports de marches

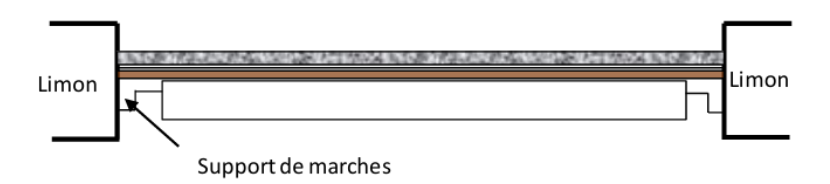


Figure III. 7: Disposition des cornières.

• Longueur de la marche : 2,25m

• Largeur de la marche : 0,3 m

Evaluation des charges et surcharges

| Matériaux | Charges permanentes (KN/m²) |
|-----------------------------------------------------|-----------------------------|
| Revêtements carrelage | 0,720 |
| ➤ Mortier de pose | 0.360 |
| Revêtements carrelage | 0,400 |
| | |
| charges totales : $G = (0.72+0.36+0.40) \times 0.3$ | 0,444 |

\triangleright Charges d'exploitation Q =2,5 \times 0,3=0,75kN/m.

• Pré dimensionnement des supports de marches : (condition de rigidité)

On a une poutre posée sur deux appuis simples et une charge uniformément répartie donc la flèche est :

$$f = \frac{5q1^4}{384EI}$$
, et: fadm = $\frac{1}{300}$

$$QELS = G+Q = 0,444+0,75=1,194kN/m$$

$$Iy \ge \frac{5 \times qs \times l^3 \times 300}{384 \, E} = \frac{5 \times 1,194 \times 2,25^3 \times 300}{384 \times 2,1 \times 10^5} = 25,30 \ cm^4$$

On opte pour une cornière L $60 \times 60 \times 8$ $Iy = 29,15cm^4$

• Vérification à l'ELU

Classe de la section la cornière est de classe 1.

• Vérification de l'effort tranchant Vsd ≤ Vplrd

$$Vysd = \frac{qu \times l}{2} = \frac{1,82 \times 2,25}{2} = 2,05kN$$

$$Vplrd = \frac{Av \times fy}{\sqrt{3} \times 1,1} = \frac{9,03 \times 275}{\sqrt{3} \times 1,1} = 130,336kn$$

Vysd < VplRd verifiè

 $Vysd=2,05 \text{ kN} < 0,5 \text{ VyplRd} = 0,5 \times 130,336 = 65,168 \text{ kN}$

Donc Pas d'interaction.

• Vérification du moment fléchissant $My.sd \le Mel.yr$

$$Msd = \frac{q e lu \times l^2}{8} = \frac{1,82 \times 2,25^2}{8} = 1,15 kn. m$$

Mplrd=
$$\frac{wely \times fy}{1} = \frac{6.89 \times 275}{1} = 1.895 \ kn.m$$

Msd< MelyRd condition verfiè

• Vérification à l'ELS fmax ≤ fadm

$$Q_s = G + Q = 0,444 + 0,0709 + 0,75 = 1,26 \text{kN/m}$$

$$f_{max} = \frac{5}{384} \times \frac{q_{sd} \times l^4}{EI_y}$$

Fmax =
$$\frac{5}{384} \times \frac{1,26 \times 2,25^4}{2,1 \times 10^5 \times 29,15 \times 10^4} = 6,86$$
mm

$$Fadm = \frac{L}{300} = \frac{2250}{300} = 7,5mm$$

Fmax < fadm condition verfiè

La cornière $L60 \times 60 \times 8$ est adopté comme support des marches.

III.3.1 Dimensionnement des limons

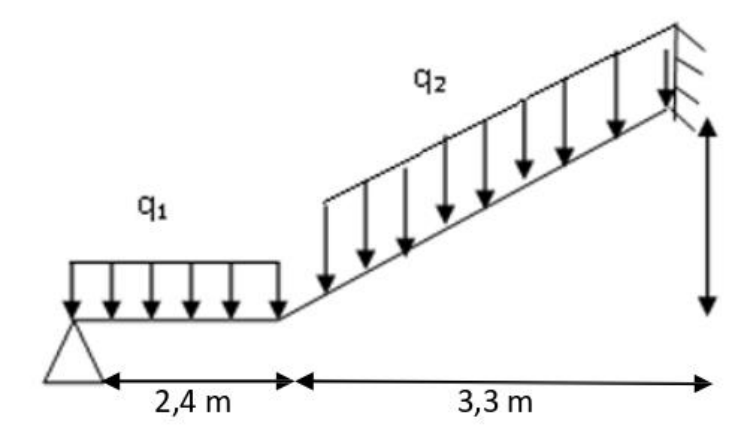


Figure III. 8: Charge applique sur limon.

Evaluation de charges

• Volée

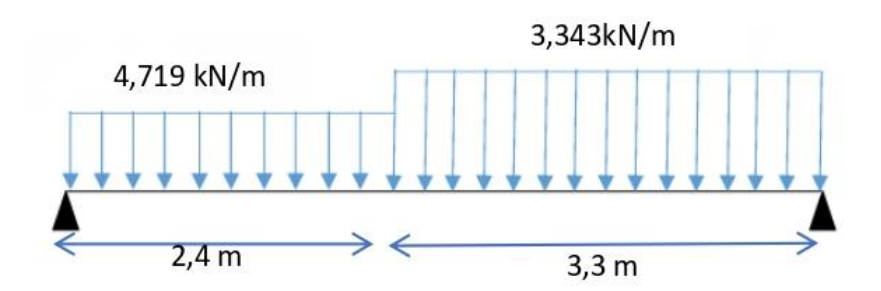
Tableau III. 1: Charges permanentes du Volée

| Matériaux | Charges permanentes |
|--------------------------------------------------------------------|---------------------|
| | (kN/m) |
| • Cornière L60.60.8 (7,09x 2,4/0,3) | 0,567 |
| • Tôle d'épaisseur (e=8mm) | 0.720 |
| Mortier de pose | 0,360 |
| Revêtements carrelages | 0,400 |
| Garde-corps (cloison) | 1,000 |
| Charge sur un limon : $Gv = (0.72+0.36+0.40) \times 2,4/2+0.567+1$ | 3,343 |

Palier

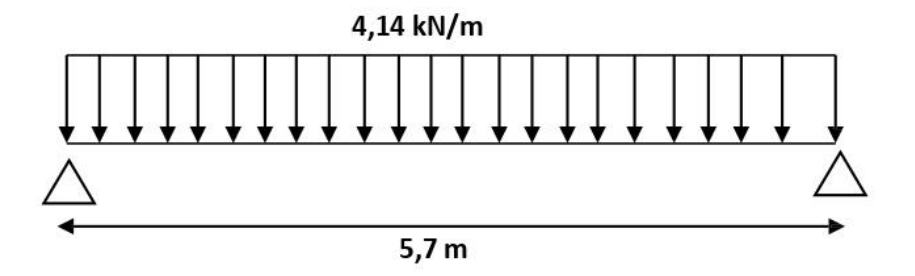
Tableau III. 2: Charges permanentes du Palier

| Matériaux | Charges permanentes |
|-------------------------------------------|---------------------|
| | (kN/m) |
| • Dalle en béton (e=8cm) | 2,00 |
| • TN40 | 0,10 |
| Mortier de pose | 0,36 |
| Revêtements carrelage | 0,40 |
| Charge totale $:G_p=(200+10+36+40)x3,3/2$ | 4,719 |



On peut exprimer GP et Gv par une charge équivalente calculée par la formule suivante

$$G_{eq} = \frac{3.343 \times 2.4 + 4.719 \times 3.3}{5.69} = 4.14 \mathbf{mm}$$



1. Charges d'exploitations

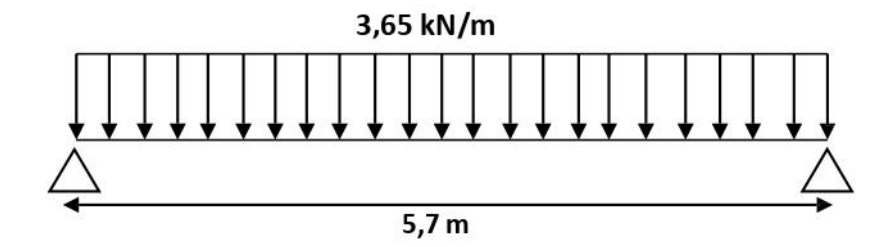
 $Q = 2.5 \text{kN}/m^2$

Q1=2,5
$$\times \frac{3,3}{2}$$
=4,125 kn/m

; **Q2**=2,5×
$$\frac{2,4}{2}$$
 = 3kn/m.

Qeq=3,65 kn/m.

Remarque : On considère le limon comme une poutre simplement appuyée posée chargé par un chargement uniforme.



$$\mathbf{f} = f_G + f_Q = \frac{5 \times G_{eq \times l^4}}{384 \times EI} + \frac{5 \times Q \times l^4}{384 \times EI} \le f_{adm} = \frac{l}{300}$$

$$Iy \ge \frac{5 \times (G+Q) \times l^4}{384 E} = \frac{5 \times (4,14+3,65) \times 5,7^3 \times 300}{384 \times 2,1 \times 10^5} = 2668,507 cm^4$$

On opte pour un UPN 220 avec $\mathbf{Iy} = 2690cm^4$

2. Vérification à l'ELU

- a- Classe de la section
 - Âme fléchie

$$\frac{d}{tw} = \frac{195}{9} = 21,66 < 72\xi = 66,52$$
 l'âme est de **classe** 1

• Semelle comprimée

$$\frac{c}{tf} = \frac{71}{12.5} = 5.68 < 10\xi = 9.24$$
 la semelle set de classe 1

Donc ': UPN180 est de classe 1.

• Qu=1,35× \Box +1,5 \Box =11,064kn/m

3. Vérification à l'Els

• Qs=G+Q=7,79kn/m

4. Vérification à leffrot tranchant Vsd ≤ Vplrd

$$Vsd = \frac{qu \times l}{2} = \frac{11,064 \times 5,7}{2} = 31,53kn$$

Vplrd=
$$\frac{av \times fy}{\sqrt{3} \times \gamma m0} = \frac{20,62 \times 10^2 \times 275}{\sqrt{3} \times 1,1} \times 10^{-3} = 297,62 \text{kn}$$

Vsd $\leq V$ plrd vérifiée

$$Vsd = 31,53kN < 0,5VplRd = 0,5 \times 297,62 = 148,81 kN$$

Alors pas d'interaction entre le moment fléchissant et effort tranchant.

5. Vérification du moment fléchissant

$$Msd = \frac{qu \times l^2}{8} = 44,93kn.m$$
 '; mplrd= $\frac{wply \times fy}{\gamma m0} = 73kn.m$

Mysd < MPlyRd...... L'élément est vérifié.

III.3.2 Dimensionnement de la poutre palière

1. Evaluation des charges [1]

Détermination de la réaction du limon sur la poutre palière « R »

La réaction du limon sur la poutre palière est donnée par la formule suivante

Detrmine les reaction

ELU R: Qu
$$\frac{l}{2}$$
 =31,53kn.

ELS R: Qs
$$\frac{l}{2}$$
 = 22,20 kn.

2. Pré dimensionnement de la poutre palière (Condition de rigidité fmax≤fadm)

$$Iy \ge \frac{5 \times (G+Q) \times l^4}{384 E} = \frac{5 \times (22,20) \times 5,7^3 \times 300}{384 \times 2,1 \times 10^5} = 7647,47 cm^4$$

Donc on prend IPE: IPE 300 avec Iy= 8356cm⁴

3. Vérification à l'ELU

a- Classe de la section

• Âme fléchie

•
$$\frac{d}{tw} = \frac{257.2}{7.1} = 36.22 < 72 \xi = 66.52$$
l'âme est de **classe** 1

• Semelle comprimée

$$\frac{c}{tf} = \frac{71,45}{12,5} = 6,67 < 10\xi = 9,24$$
 la semelle set de classe 1

Donc ': IPE330 est de classe 1.

•
$$\mathbf{Q}\mathbf{u}=1,35\times\mathbf{G}+1,5\mathbf{Q}=11,064$$
kn/m

4. Vérification à leffrot tranchant Vsd ≤ Vplrd

$$Vsd = \frac{qu \times l}{2} = \frac{11,064 \times 5,7}{2} = 31,53kn$$

Vplrd=
$$\frac{av \times fy}{\sqrt{3} \times ym0} = \frac{25,68 \times 10^2 \times 275}{\sqrt{3} \times 1,1} \times 10^{-3} = 370,66 \text{kn}$$

$$V$$
sd $\leq V$ p l r d vérifiée

$$Vsd = 31,53kN < 0,5VplRd = 0,5 \times 370,66 = 185,33kN$$

Alors pas d'interaction entre le moment fléchissant et effort tranchant.

5. Vérification du moment fléchissant

Mysd < MPlyRd...... L'élément est vérifié.

Remarque :n est pas nécessaire de vèrifiè TYPE 2 d escalier car Type 1 est la plus defavorrable

Donc on prend le meme choix de TYPE 1.

III.4 Conclusion

Ce chapitre a permis de vérifier les éléments secondaires, les profiles suivant sont satisfaisants pour notre structure :

- La cornière L60×60×8 est adopté comme support des marches.
- Pour les volées et les paliers nous avons des UPN220.
- Pour les poutres palières nous avons des IPE 300.

Chapitre IV : Etude dynamique et sismique

IV.1 Introduction

Un séisme ou tremblement de terre est une secousse du sol résultant de la libération brusque d'énergie accumulée par les contraintes exercées sur les roches.

Lorsque les contraintes dépassent un certain seuil, une rupture d'équilibre se produit et donne naissance aux ondes sismiques qui se propagent dans toutes les directions et atteignant la surface du sol.

Ces mouvements du sol excitent les ouvrages par déplacement de leurs appuis et sont plus ou moins amplifiés dans la structure. Le niveau d'amplification dépend essentiellement de la période de la structure et de la nature du sol.

Ceci implique de faire une étude parasismique pour essayer de mettre en exergue le comportement dynamique de l'ouvrage.

But de l'étude dynamique :

Le but de l'étude dynamique d'une structure est la détermination de ses caractéristiques dynamiques propres. Ceci est obtenu en considérant son comportement en vibration libre non- amortie. Cela permet de calculer les efforts et les déplacements maximums lors d'un séisme.

L'étude dynamique d'une structure telle qu'elle se présente réellement, est souvent très complexe et demande un calcul très fastidieux voire impossible. C'est pour cette raison qu'on fait souvent appel à des modélisations qui permettent de simplifier suffisamment le problème pour pouvoir l'analyser.

Modélisation de la structure :

a. Modélisation des éléments

La modélisation des éléments constituants le bâtiment est effectué comme suit :

- Chaque poutre et chaque poteau de la structure a été modélisé par un élément linéaire type barre (frame) à deux nœuds, chaque nœud possède 6 degrés de liberté (trois translations et trois rotations).
- Les poutres entre deux nœuds d'un même niveau (niveau i).
- Les poteaux entre deux nœuds de différent niveaux (niveau i et niveau i+1).

- A tous les planchers nous avons attribués une contrainte de type diaphragme ce qui correspond à des planchers infiniment rigides dans leur plan.
- Tous les nœuds de la base du bâtiment sont encastrés.

b. Modélisation de la masse

La charge des planchers est supposée uniformément répartie sur toute la surface du plancher. La masse est calculée par l'équation (G+ ψ Q) imposée par le RPA2024

Avec : $(\psi = 0.3)$ pour un bâtiment à usage bureau.

La limite élastique attribuée aux matériaux constituant les poteaux, les solives, les palées stabilité et les poutres est prise égale à celle de l'acier à savoir S275.

IV.2 Méthode de calcul

La méthode de calcul doivent avoir pour objectif de reproduire au mieux le comportement réel de l'ouvrage. Dans le cas des ouvrages qui relèvent du présent DTR, il est admis que les structures soumises à une action sismique puissent subir des déformations dans le domaine post-élastique.

Le calcul de ces efforts sismiques peut être mené par trois méthodes :

- Méthode statique équivalente
- Méthode dynamique modale spectrale.
- Méthode d'analyse dynamique par accéléro grammes.

IV.3 Choix de la méthode de calcul

Le choix de la méthode de calcul dépend des conditions d'application de chacune d'elle.

Dans notre cas, d'après le RPA / version 2024, notre structure est implantée et classée dans la zone sismique VI avec zones de sismicité Elevée.

IV.3.1 La méthode statique équivalente

A. Principe

Les forces réelles dynamiques, qui se développent dans la construction, sont remplacées par un système de forces statiques fictives dont les effets sont considérés équivalents à ceux de l'action sismique. Donc La méthode statique équivalente peut être utilisée dans les conditions suivantes :

- Le bâtiment, ou bloc étudié, satisfait aux conditions de régularité en plan et, en élévation prescrites au § 3.7, avec une hauteur au plus égale à 65m en zones (I, II et III) et à 32 m en zones (IV, V et VI).
- Dans notre cas en à H=40,8m > 32m donc vérifié.
- Les conditions de régularité en plan et, en élévation Prescrites au § 3.7, dans rpa 2024 n'est pas vérifie
- Donc nous avons utilisé la méthode d'analyse modale spectrale en utilisant logiciels de calcule des structures ETABS 18 Analysis.

B. Modélisation

- a) Le modèle du bâtiment à utiliser, dans chacune des deux directions de calcul, est plan avec les masses concentrées au centre de gravité des planchers et un seul degré de liberté, en translation horizontale par niveau, sous réserve que les systèmes de contreventement dans les deux (2) directions puissent être découplés.
- b) La rigidité latérale des éléments porteurs du système de contreventement est calculée, à partir de sections non fissurées, pour les structures en béton armé ou en maçonnerie.
- c) Seul le mode fondamental de vibration de la structure est considéré dans le calcul de la force sismique totale.

IV.3.2 Méthodes dynamiques

- a) La méthode d'analyse modale spectrale peut être utilisée dans tous les cas et, en particulier, dans le cas où la méthode statique équivalente n'est pas permise.
- b) La méthode d'analyse dynamique par accéléro grammes peut être utilisée, au cas par cas, par un personnel qualifié, ayant justifié auparavant les choix des séismes de calcul et des lois de comportement utilisées ainsi que la méthode d'interprétation des résultats et les critères de sécurité à satisfaire.

IV.3.3 Méthode d'analyse modale spectrale

Principe Par cette méthode, il est recherché, pour chaque mode de vibration, le maximum des effets engendrés, dans la structure, par les forces sismiques représentées par un spectre de réponse de calcul. Ces effets sont, par la suite, combinés pour obtenir la réponse de la structure.

IV.3.3.1 Spectre de réponse élastique horizontal

Le spectre de réponse élastique normalisé par rapport à la valeur de l'accélération de la pesanteur (g) Sae g (T), pour les composantes horizontales de l'action sismique, est défini par RPA 2024.

Tableau IV. 1: Valeurs des paramètres décrivant les spectres de réponse élastique de type1 C (Zones IV, V et VI)

| Spectre type | e 1 S | T ₁ (s) | T ₂ (s) | T ₃ (s) |
|----------------------|-------|--------------------|--------------------|--------------------|
| (Zones IV, Ve | t VI) | | | |
| Site: S ₁ | 1.00 | 0.10 | 0.40 | 2.0 |
| Site: S_2 | 1.20 | 0.10 | 0.50 | 2.0 |
| Site: S_3 | 1.30 | 0.15 | 0.60 | 2.0 |
| Site: S_4 | 1.35 | 0.15 | 0.70 | 2.0 |

Pour notre cas site 3 on prend T1=0,15 / T2=0,60/ T3=2.0.

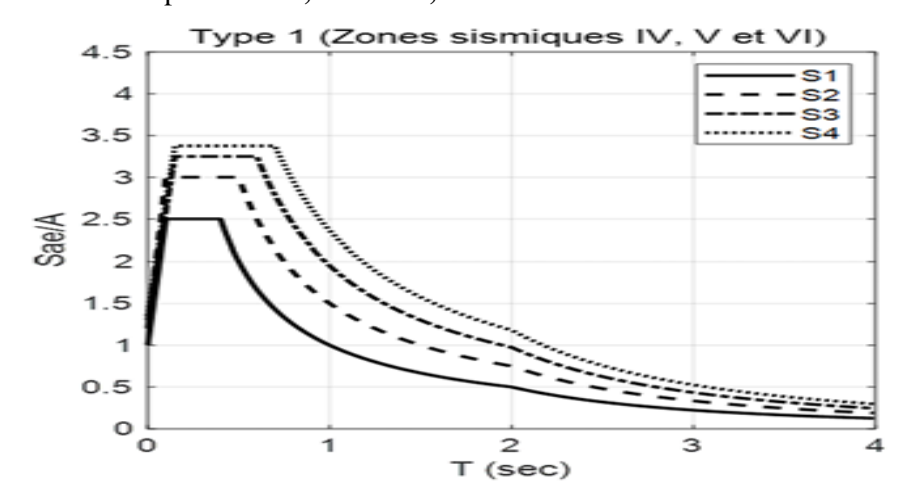


Figure IV. 1: Spectres de réponse élastique de type 1 et de type 2

Pour les sols de classes S1 à S4 (5 %d'amortissement) pour un ouvrage d'importance moyenne (I=1)

Tableau IV. 2: Valeurs de ξ (%)

| | Portiques (*) | | Voiles (**) | | | |
|----------------------------------------------------------------------------------------------------------------------------------|---------------|-------|-----------------------|--|--|--|
| Remplissage | Béton armé | Acier | Béton armé/maçonnerie | | | |
| Léger | 6 | 4 | 10 | | | |
| Dense | 7 | 5 | 10 | | | |
| (*): Sans présence des voiles ou de noyaux en béton armé (**): Valeurs valables même si les voiles sont associés a des portiques | | | | | | |

Pour notre cas : portiques en acier avec remplissage dense on prend $\xi = 5$

L'action sismique horizontale est représentée par le spectre de calcul suivant :

$$\frac{S_{ad}}{g}(T) = \begin{cases} A.I.S. \left[\frac{2}{3} + \frac{T}{T_1} \cdot \left(2.5 \frac{Q_F}{R} - \frac{2}{3} \right) \right] si: 0 \le T < T_1 \\ A.I.S. \left[2.5 \frac{Q_F}{R} \right] & si: T_1 \le T < T_2 \\ A.I.S. \left[2.5 \frac{Q_F}{R} \right] \cdot \left[\frac{T_2}{T} \right] & si: T_2 \le T < T_3 \\ A.I.S. \left[2.5 \frac{Q_F}{R} \right] \cdot \left[\frac{T_2.T_3}{T^2} \right] & si: T_3 \le T < 4_s \end{cases}$$

Où:

- Sad/ g (T): spectre de calcul normalisé par rapport à la valeur de l'accélération de la pesanteur,
- R: coefficient de comportement de la structure **RPA 2024** (cf.§3.6,Tableau(3.17)& Annexe I).
- QF: facteur de qualité RPA 2024 (cf.§3.8).

Tableau IV. 3: Valeurs du coefficient de comportement, R

| | B) Structures en acier | |
|-----|-----------------------------------------------------------------------------|-------------|
| 10 | Ossatures en portiques sans remplissage ou avec remplissage isolé | $6.5^{(a)}$ |
| 11 | Ossature en portiques avec remplissages maçonnerie rigide | 3 (a) |
| 12a | Ossature avec palées de contreventement à barres centrées en X | $4^{(b)}$ |
| 12b | Ossature avec palées de contreventement à barres centrées en V | $2.5^{(b)}$ |
| 13a | Ossature en portiques avec palées de contreventement à barres centrées en X | $4.5^{(b)}$ |
| 13b | Ossature en portiques avec palées de contreventement à barres centrées en V | $3.5^{(b)}$ |
| 14 | Système en pendule inversé | 2 (b) |

Donc nous avons dans le categorie 13b on prend R=3,5.

IV.3.3.2 <u>Facteur de qualité</u>

Le facteur de qualité, QF, tient compte de :

- ➤ la redondance et de la géométrie des éléments qui constituent la structure est donnée au cas par cas dans le Tableau (3.18).
- > i est le nombre total de pondérations dépendant de la catégorie concernée

Les critères de qualité "q" à vérifier sont

Tableau IV. 4: Valeurs des Pondérations Pq

| Catégorie | Critère, q | Observé | P _q N/observé |
|------------|---------------------------------------------|---------|--------------------------|
| (a) | Régularité en plan | 0 | 0.5 |
| | 2. Régularité en élévation | 0 | 0.20 |
| | 3. Conditions minimales sur le nombre étage | 0 | 0.20 |
| | 4. Condition minimale sur les travées | 0 | 0.10 |
| (b) | 1. Régularité en plan | 0 | 0.05 |
| | 2. Régularité en élévation | 0 | 0.20 |
| | 3. Redondance en plan | 0 | 0.05 |

| Les critères | Observé N/observé | Suivant x | Observé N/observé | Suivant y |
|-------------------------|-------------------|-----------|-------------------|-----------|
| Régularité en plan | Non | 0,05 | Non | 0,05 |
| Régularité en élévation | Oui | 0 | Oui | 0 |
| Redondance en plan | Oui | 0 | Oui | 0 |

$$Q_F = 1 + \sum_{q=1}^{q=i} P_q$$

- \triangleright Q_x=1+0,05=>1,05
- $Q_v = 1+0.05 = >1.05$

IV.4 Calcul de la force sismique totale

La force sismique totale, V, appliquée à la base de la structure, doit être calculée successivement dans deux directions horizontales orthogonales.

Selon les équations suivantes : $V = \lambda . \frac{S_{ad}}{g}(T_0). W$

Avec:

- $\frac{sad}{g}(T0)$: Ordonnée du spectre de calcul pour la période T0
- Période fondamentale de vibration du bâtiment, pour le mouvement de translation dans la direction considérée (cf. § 4.2.4).
- λ : Coefficient de correction

$$\lambda = \begin{cases} 0.85 \text{: si } T_0 \leq (2, T_2) \text{et si le bâtiment a plus de 2 niveaux} \\ 1, \text{autrement} \end{cases}$$

W : Poids sismique total du bâtiment. Il est égal à la somme des poids Wi, calculés à chaque niveau « i » :

$$W = 1 + \sum_{i=1}^{n} W_i$$
 n étant le nombre de niveaux

 $w_i = W_{Gi} + \psi W_{Oi}$. Pour tout niveau i de la structure.

- W_{Gi} Poids dû aux charges permanentes et à celles des équipements fixes éventuels, solidaires de la structure.
- W_{0i} Charges d'exploitation
- ψ : Coefficient d'accompagnement, fonction de la nature et de la durée de la charge d'exploitation et donné par le Tableau

$$\psi = 0.3$$
.

Modélisation

Est se fait par logiciel de calcul ETABS.

• Pour les structures régulières en plan, comportant des planchers rigides, l'analyse peut être faite séparément dans chacune des deux directions principales du bâtiment. Celuici est alors représenté, dans chacune des deux directions de calcul, par un modèle plan, encastré à la base et où les masses sont concentrées au niveau des centres de gravité des planchers avec un seul DDL (Degré De Liberté) en translation horizontale.

IV.4.1 Estimation de la période fondamentale de la structure

La période fondamentale de la structure peut être évaluée de diverses manières :

- Lavaleur de la période fondamentale (T0) de la structure peut être estimée à partir de formules empiriques ou calculée par des méthodes analytiques ou numériques.
- La formule empirique à utiliser selon les cas est la suivante :

$$T_{empirique} = C_T \cdot (h_N)^{3/4}$$

Hn: la hauteur totale de la structure est de :40,8 m.

 C_T : pour notre cas $C_T = 0.05$.

$$T_{empirique} = 0,05. (40,8)^{\frac{3}{4}} = 1,04s.$$

T_{calcul}': la periode de calcul (extrait du logiciel de calcul **ETABS**). De modal final.

$$T_{calcul}$$
 Selon x-x = 2,12s

$$T_{calcul} > 1.3T_{empirique}$$
 donc $T_0 = 1.3T_{empirique}$

Donc:

- \triangleright Sens X-X : $T_0 = 2,12 \text{ s}$
- \triangleright Sens y-y : $T_0 = 1,198 \text{ s}$

•
$$T_2 \le T < T3 \dots 0,6 \le 1,352 < 2$$

selon x x

•
$$T_1 \le T < T2 \dots 0, 6 \le 1,198 < 2$$

selon y y

• Donc : la formule pour le sens x

$$\frac{S_{ad}}{g}(T) = A. I. S. [2,5 \frac{Q_F}{R}]. [\frac{T_2}{T}]$$

DONC:

• Selon x
$$\frac{S_{ad}}{g}(T) = 1.30 \times 1 \times 0.30 \times [2.5 \frac{1.05}{3.5}] \times [\frac{0.6}{1.352}] = 0.130$$

La formule pour le sens y

$$\frac{S_{ad}}{\sigma}(T) = A. I. S. [2,5 \frac{Q_F}{R}]. [\frac{T_2}{T}]$$

• Selon y
$$\frac{S_{ad}}{g}(T) = 1.30 \times 1 \times 0.30 \times [2.5 \frac{1.05}{3.5}] \times [\frac{0.6}{1.198}] = 0.146$$

Calcul λ

$$\lambda = \begin{cases} 0.85 \text{: si } T_0 \leq (2.T_2) \text{et si le bâtiment a plus de 2 niveaux} \\ 1, \text{autrement} \end{cases}$$

Notre bâtiment est plus de 2 nivaux (R+9) est $T_0>2$. T2 donc $\lambda=1$.

* Calcul W

Où:

 $\Psi = 0.3$ Bâtiments d'habitation, bureaux ou assimilés **RPA 2024**

Dapres les resultat de modale final W= 87926,3561kn

IV.4.2 Calcul de la force sismique totale

La force sismique totale, V, appliquée à la base de la structure, doit être calculée successivement dans deux directions horizontales orthogonales.

$$V = \lambda. \frac{S_{ad}}{g}(T_0). W$$

$$V_x = 1 \times 0,130 \times 87926,3561 = 11430,43 \text{ kn}$$

•
$$V_y = 1 \times 0.146 \times 87926.3561 = 12837.25 \text{ km}$$

IV.4.3 Résultante des forces sismiques de calcul

IV.4.3.1 La résultante des forces sismiques à la base Vt

$$V_x = 6403,4739+0,3\times863,5901=6662,55 \text{ Kn}$$

$$\star$$
 Vx= 6662,55 Kn < 0,8 ×11430,43 = 9144,344 KN **non vérifie.**

Donc le facteur = 9144,344/6662,55 = 1,37.

- $V_y = 10502,4917+0,3 \times 863,59 = 10761,57 Kn$
 - **•** Vy= 10761,57Kn $> 0.8 \times 12837,25 = 10269,8$ KN **vérifie**.

IV.4.3.2 Modèle initiale

Pour ce modèle on a gardè les dimensions telles que calculèes dans la prédimensionnement et on a vérifié la structure autant qu'une structure auto stable comme il est indiqué dans la figure ci-dessous :

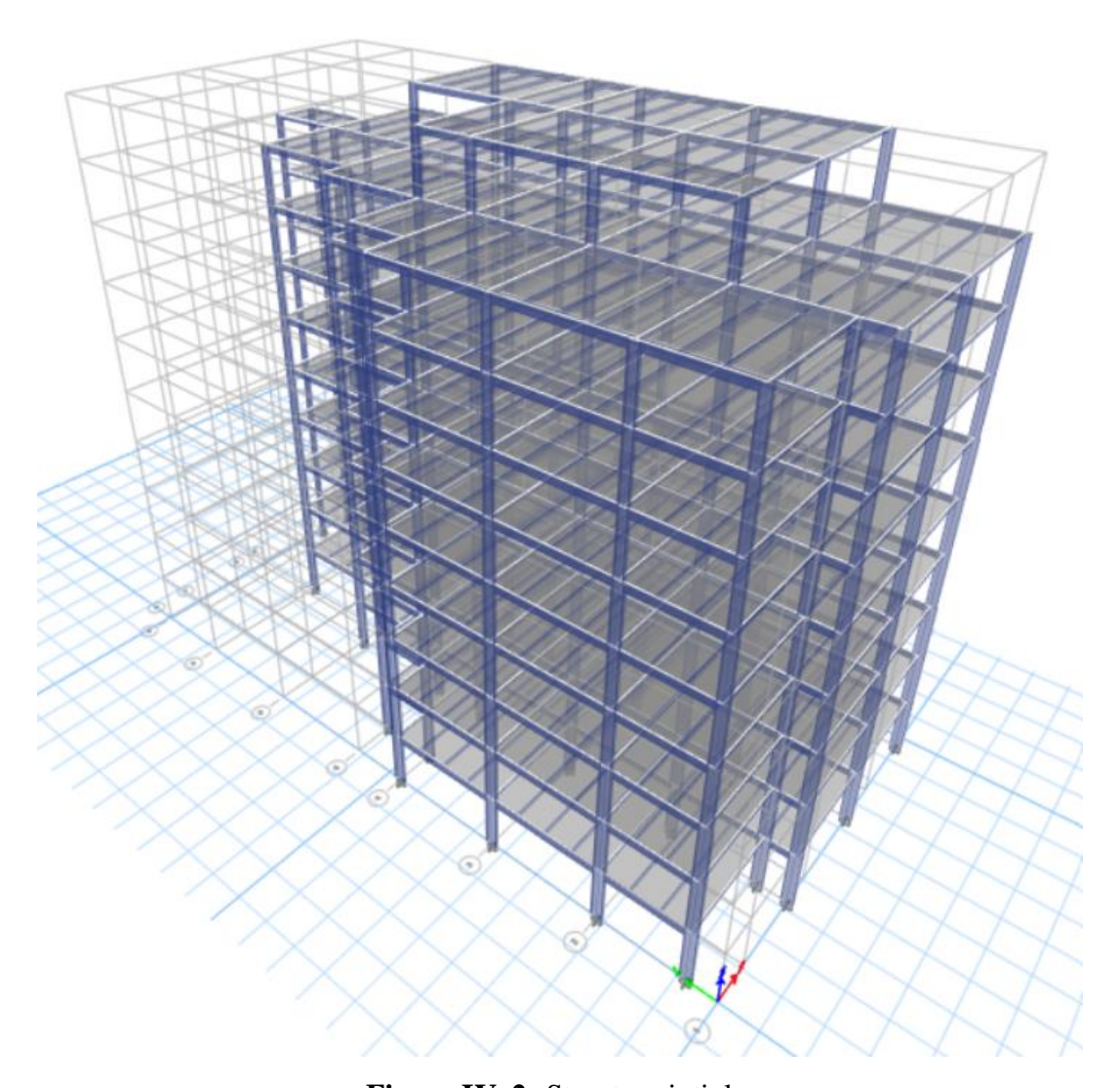


Figure IV. 2: Structure intiale.

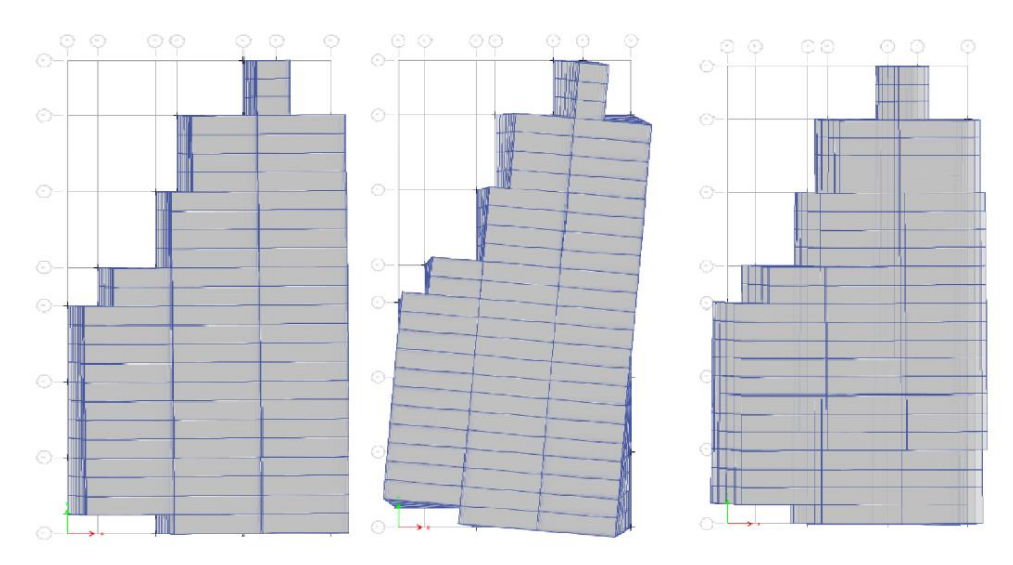


Figure IV. 3: La déformée pour les modes du modèle initial.

Caractéristique dynamique propres du modèle initiale

L'analyse dynamique de la structure a conduit à :

- ✓ Une période fondamentale T= 7.985 sec
- ✓ Le 1 er mode est une Translation suivant l'axe X-X.
- ✓ Le 2 ^{éme} mode est une Translation suivant l'axe X-X.
- ✓ Le $3^{\text{\'eme}}$ mode est une force de torsion.

Tableau IV. 5: Valeurs des périodes et des facteurs de participation massique modale intiale

| Modes | Période [sec] | SUM UX [%] | SUM UY [%] | UX [%] | UY [%] |
|-------|---------------|------------|------------|-----------|-----------|
| 1 | 7,985 | 78,07 | 7,421E-06 | 78,07 | 7,421E-06 |
| 2 | 3,476 | 79,06 | 0,87 | 0,99 | 0,87 |
| 3 | 2,553 | 88,95 | 1,06 | 9,88 | 0,18 |
| 4 | 2,335 | 88,95 | 76,05 | 4,781E-05 | 4,99 |
| 5 | 1,431 | 92,93 | 76,05 | 3,98 | 0 |
| 6 | 1,098 | 93,04 | 76,22 | 0,11 | 0,17 |
| 7 | 0,964 | 95,15 | 76,22 | 2,11 | 1,971E-05 |
| 8 | 0,737 | 95,15 | 87,14 | 1,566E-05 | 0,91 |
| 9 | 0,708 | 96,71 | 87,14 | 1,56 | 0,01 |
| 10 | 0,596 | 96,71 | 87,35 | 8,057E-06 | 0,21 |
| 11 | 0,529 | 97,94 | 87,35 | 1,23 | 2,318E-06 |
| 12 | 0,406 | 98,67 | 87,48 | 0,73 | 0,13 |

Interprétation:

- Ce model nous donne une idée sur le comportement de la structure auto-stable (sans contreventement) le critère $T_{dyn} > 1.3T_{emp}$ est non vérifié.
- Verfication des deplacement inter etage

Tableau IV. 6: Vérification des déplacements inter étage suivant l'axe X-X

| Etage | Ux×R/Q[mm] | δ_k | $\bar{\Delta}$ adm | Δx [mm] | Vérification | % |
|-------------------|-------------------|----------|--------------------|----------|--------------|------------|
| | | | [mm] | | | |
| Terrasse | 1048,401×3,5/1,05 | 3494,67 | 81,6 | 137,0567 | Non verfiè | 167,961601 |
| ₉ éme | 1007,284×3,5/1,05 | 3357,613 | 81,6 | 182,3967 | Non verfiè | 223,525327 |
| 8éme | 952,565×3,5/1,05 | 3175,217 | 81,6 | 259,45 | Non verfiè | 317,953431 |
| 7 ^{éme} | 874,73×3,5/1,05 | 2915,767 | 81,6 | 339,44 | Non verfiè | 415,980392 |
| 6 ^{éme} | 772,898×3,5/1,05 | 2576,327 | 81,6 | 404,65 | Non verfiè | 495,894608 |
| 5 ^é me | 651,503×3,5/1,05 | 2171,677 | 81,6 | 461,2067 | Non verfiè | 565,204248 |
| 4 ^{éme} | 513,141×3,5/1,05 | 1710,47 | 81,6 | 502,0767 | Non verfiè | 615,290033 |
| 3 ^é me | 362,518×3,5/1,05 | 1208,393 | 81,6 | 509,8467 | Non verfiè | 624,812092 |
| 2 ^{éme} | 209,564×3,5/1,05 | 698,5467 | 81,6 | 458,9267 | Non verfiè | 562,410131 |
| 1 ^{ér} | 71,886×3,5/1,05 | 239,62 | 81,6 | 239,62 | Non verifiè | 293,651961 |

• Calcule la force sismique totale v a la base :

- $V_x = 3372,3972+0,3\times67,9457=9850,916 \text{ Kn}$
 - **•** $Vx = 3392,78Kn < 0.8 \times 7048,18 = 5638,544 KN$ non vérifie.
- $V_x = 3500,4099 + 0,3 \times 67,9457 = 3520,79 \text{ Kn}$
 - **•** Vx=3520,79 Kn < $0.8 \times 7048,18 = 5638,544$ Kn **non vérifie.**

Conclusion:

Le premier modèle ne respecte pas les limites de déplacement entre les étages ni l'effort tranchant à la base. Pour corriger ces problèmes, un deuxième modèle avec des contreventements sera proposé afin de rendre la structure plus stable et conforme aux règles.

IV.4.3.3 Modèle intermédiaire

Dans ce deuxième modèle, une disposition des contreventements a été proposée afin d'améliorer la rigidité du bâtiment et de mieux répondre aux exigences sismiques.

• Caractéristique dynamique propres du modèle intermédiaire.

L'analyse dynamique de la structure a conduit à :

- Une période fondamentale : T=2,966s
- La participation massique dépasse le seuil des 90% à partir du 10 ème mode.

Tableau IV. 7: Valeurs des périodes et des facteurs de participation massique Modèle intermédiaire

| Modes | Période [sec] | SUM UX [%] | SUM UY [%] | UX [%] | UY [%] |
|-------|---------------|------------|------------|---------|--------|
| 1 | 2,966 | 59,11 | 0,42 | 59,11 | 0,42 |
| 2 | 2,001 | 63,44 | 68,8 | 0,04,33 | 68,38 |
| 3 | 1,769 | 81,92 | 76,89 | 0,18,48 | 8,09 |
| 4 | 0,976 | 89,74 | 76,96 | 0,07,82 | 0,07 |
| 5 | 0,65 | 91,13 | 84,76 | 0,01,39 | 7,81 |
| 6 | 0,592 | 93,04 | 88,18 | 0,01,92 | 3,42 |
| 7 | 0,556 | 95,16 | 88,23 | 0,02,11 | 0,05 |
| 8 | 0,405 | 95,7 | 88,74 | 0,00,54 | 0,51 |
| 9 | 0,39 | 97.09 | 88,77 | 0,01,39 | 0,03 |
| 10 | 0,34 | 97.2 | 92,49 | 0,00,11 | 3,72 |
| 11 | 0,308 | 97.61 | 92,5 | 0,00,41 | 0,02 |
| 12 | 0,298 | 98,35 | 92,58 | 0,00,74 | 0,08 |

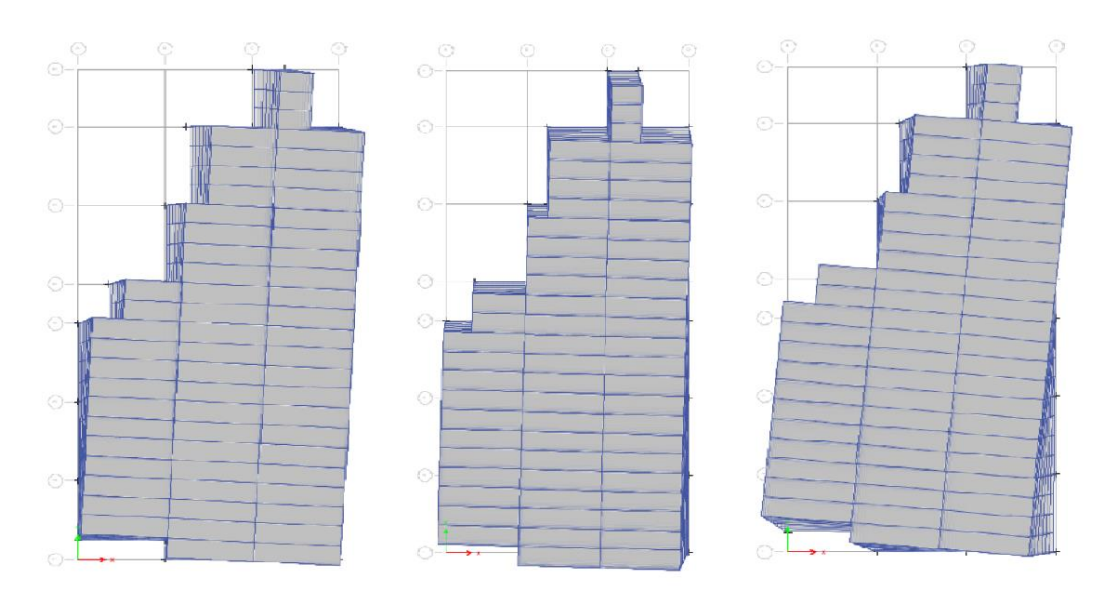


Figure IV. 4: La déformée pour les modes du modèle intermédiaire.

Conclusion:

Les mêmes vérifications ont été effectuées sur ce modèle, mais les résultats montrent que le déplacement inter-étage et l'effort tranchant à la base ne sont toujours pas conformes. Cela indique que la disposition des contreventements n'est probablement pas adaptée dans le sens choisi. Il sera donc nécessaire de revoir leur orientation ou leur emplacement pour améliorer le comportement structurel.

IV.4.3.4 Modèle final

Dans ce modèle, nous avons changé la disposition des contreventements ainsi que les sections des poteaux et des poutres, de la structure comme il est représenté dans la figure V.5

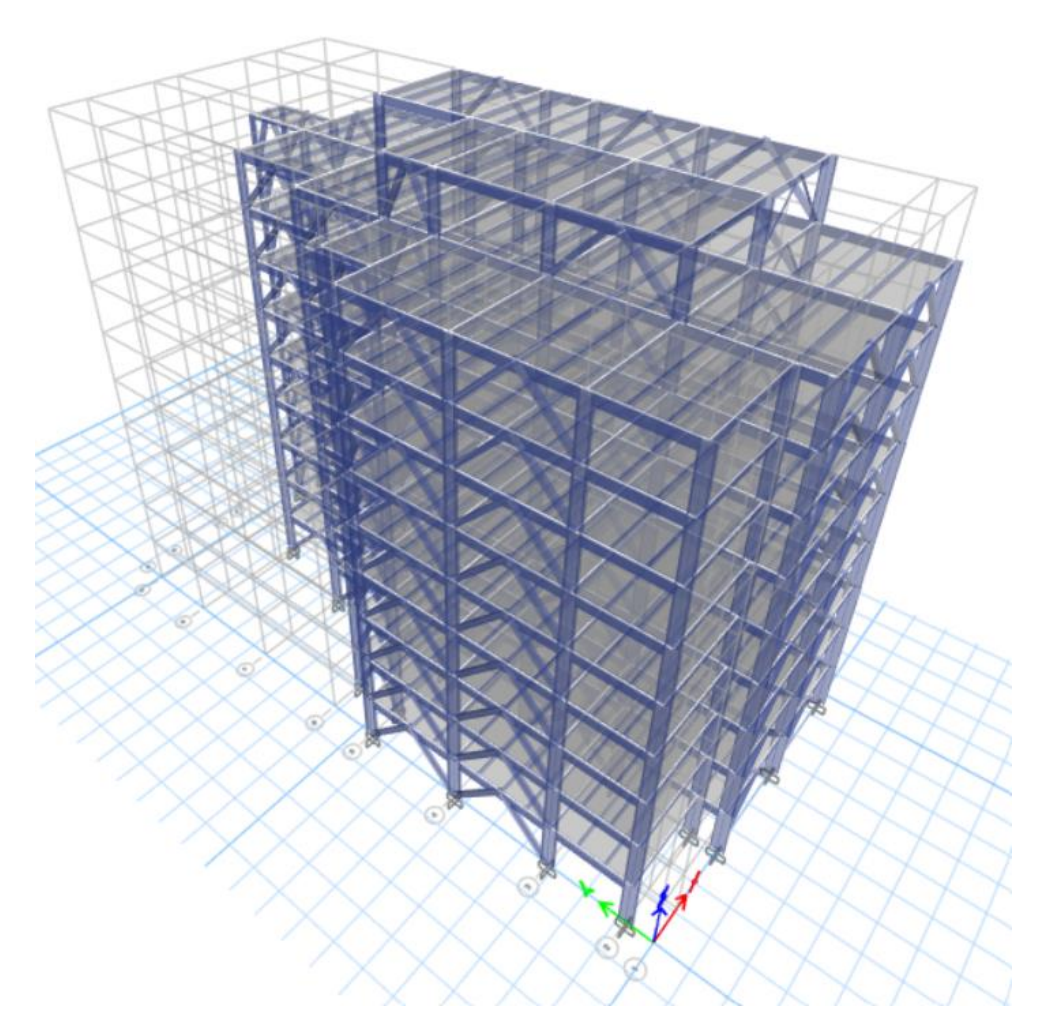


Figure IV. 5: Structure avec palées triangulées en V.

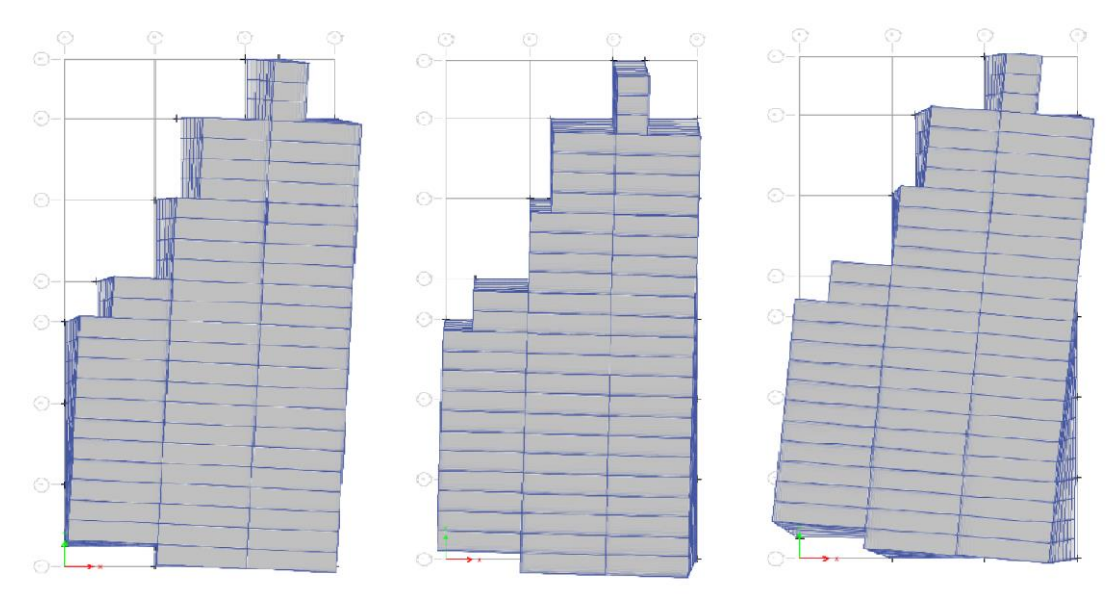


Figure IV. 6: La déformée pour les modes du modèle finale.

• Système de contreventement :

Palées triangulées en V:

• Caractéristique dynamique propres du modèle final

L'analyse dynamique de la structure a conduit à :

- Une période fondamentale : T=2,12s
- La participation massique dépasse le seuil des 90% à partir du 10ème mode.

Remarque: Le minimum de modes à retenir est de trois (03), dans chaque direction considérée.

Tableau IV. 8: Valeurs des périodes et des facteurs de participation massique modale finale

| Modes | Période [sec] | SUM UX [%] | SUM UY [%] | UX [%] | UY [%] |
|-------|---------------|------------|------------|----------|--------|
| 1 | 2,12 | 0,6504 | 0,0016 | 65,04 | 0,16 |
| 2 | 1,198 | 0,6553 | 0,7675 | 0,49 | 76,58 |
| 3 | 0,934 | 0,7272 | 0,7769 | 7,19 | 0,94 |
| 4 | 0,683 | 0,8774 | 0,7776 | 5,03 | 0,07 |
| 5 | 0,39 | 0,887 | 0,8723 | 0,96 | 9,47 |
| 6 | 0,386 | 0,9009 | 0,8938 | 1,39 | 2,15 |
| 7 | 0,295 | 0,9483 | 0,8953 | 4,74 | 0,15 |
| 8 | 0,268 | 0,9489 | 0,8959 | 0,06 | 0,06 |
| 9 | 0,232 | 0,9666 | 0,8966 | 1,77 | 0,07 |
| 10 | 0,219 | 0,9666 | 0,9339 | 1,38E-05 | 3,73 |
| 11 | 0,194 | 0,9708 | 0,9343 | 0,42 | 0,05 |
| 12 | 0,163 | 0,9798 | 0,9363 | 0,9 | 0,19 |

IV.5 Vérification de la structure

IV.5.1 Vérification des déplacements inter étages

- $\bar{\Delta}$ adm= 0,02 hauteur d'étages.
- \triangleright La hauteur de chaque étage est de 4,08m donc, $\bar{\Delta}$ adm= 81,6 mm.

Tableau IV. 9: Vérification des déplacements inter étage suivant l'axe X-X

| Etage | Ux | R/Q[mm] | δ_k | $\bar{\Delta}_{adm}[mm]$ | Δx [mm] | Vérification |
|-------------------|---------|----------|----------|--------------------------|----------|--------------|
| Terrasse | 148,026 | 3,5/1,05 | 493,42 | 81,6 | 25,29333 | Cv |
| ₉ éme | 140,438 | 3,5/1,05 | 468,1267 | 81,6 | 38,04333 | Cv |
| 8éme | 129,025 | 3,5/1,05 | 430,0833 | 81,6 | 45,17667 | Cv |
| 7 ^{éme} | 115,472 | 3,5/1,05 | 384,9067 | 81,6 | 50,03667 | Cv |
| 6 ^{éme} | 100,461 | 3,5/1,05 | 334,87 | 81,6 | 52,42333 | Cv |
| 5 ^{éme} | 84,734 | 3,5/1,05 | 282,4467 | 81,6 | 55,69 | Cv |
| 4 ^{éme} | 68,027 | 3,5/1,05 | 226,7567 | 81,6 | 58,41667 | Cv |
| 3 ^é me | 50,502 | 3,5/1,05 | 168,34 | 81,6 | 61,1 | Cv |
| 2 ^{éme} | 32,172 | 3,5/1,05 | 107,24 | 81,6 | 61,46 | Cv |
| 1 ^{ér} | 13,734 | 3,5/1,05 | 45,78 | 81,6 | 45,78 | Cv |

Tableau IV. 10: Vérification des déplacements inter étage suivant l'axe Y-Y

| Etage | Uy | R/Q[mm] | δ_k | $\bar{\Lambda}_{adm}[mm]$ | Δy [mm] | Vérification |
|-------------------|--------|----------|----------|---------------------------|----------|--------------|
| Terrasse | 72,978 | 3,5/1,05 | 243,26 | 81,6 | 18,32 | Cv |
| ₉ éme | 67,482 | 3,5/1,05 | 224,94 | 81,6 | 15,40667 | Cv |
| 8 ^{éme} | 62,86 | 3,5/1,05 | 209,5333 | 81,6 | 20,21 | Cv |
| 7 ^{éme} | 56,797 | 3,5/1,05 | 189,3233 | 81,6 | 24,75 | Cv |
| 6 ^{éme} | 49,372 | 3,5/1,05 | 164,5733 | 81,6 | 26,85667 | Cv |
| 5 ^{éme} | 41,315 | 3,5/1,05 | 137,7167 | 81,6 | 29,52667 | Cv |
| 4 ^é me | 32,457 | 3,5/1,05 | 108,19 | 81,6 | 31,23 | Cv |
| 3éme | 23,088 | 3,5/1,05 | 76,96 | 81,6 | 31,21 | Cv |
| 2 ^é me | 13,725 | 3,5/1,05 | 45,75 | 81,6 | 28,88 | Cv |
| 1 ^{ér} | 5,061 | 3,5/1,05 | 16,87 | 81,6 | 16,87 | Cv |

IV.5.2 Justification vis-à-vis de l'effet P- Δ .

C'est le moment additionnel dû au produit de l'effort normal dans un poteau au niveau d'un nœud de la structure par le déplacement horizontal du nœud considéré.

Les effets du 2° ordre (ou effet P- Δ) peuvent être négligés dans le cas des bâtiments si la condition suivante est satisfaite à tous les niveaux :

$$(\theta k = \frac{Pk \cdot \Delta k}{Vk \cdot hk}) \le 0.10$$

 $ightharpoonup \Delta \mathbf{k}$ défini comme : $\Delta \mathbf{k} = \delta \mathbf{k} - \delta \mathbf{k} - \mathbf{l}$

➤ Pk : poids total de la structure et des charges d'exploitation associées au-dessus du niveau k.

Pour notre cas Pk=G+0,3Q

$$P_k = \sum_{i=k}^n (G_i + \Psi. Q_i)$$

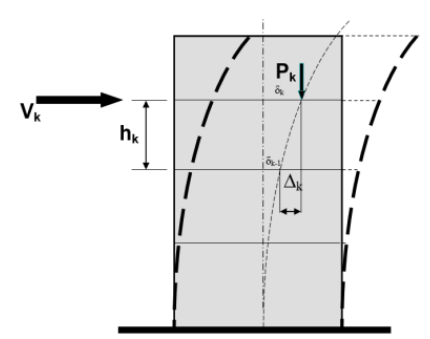
> Vk: Effort tranchant d'étage au niveau 'K'.

➤ Δk: Déplacement relatif du niveau 'K' par rapport au niveau 'K-1'.

➤ hk: Hauteur d'étage 'k'.

Selon la valeur de $\theta_{\boldsymbol{k}}$, convient de considerer que

- si (0.10 ≤ θ_k ≤ 0.20), les p-Δ peuvent être pris en compte, de manière approchée, en amplifiant les effets de l'action sismique calculés au moyen d'une analyse élastique du 1° ordre par le facteur (1/(1-θ_k)).
- Si $(\theta k \ge 0.20)$, la structure est potentiellement instable et doit être redimensionnée.



• Laxe x-x.

Tableau IV. 11: Justifications vis-à-vis de l'effet $P-\Delta$ suivant les axes X-X

| Etage | H _k [mm] | Pk [kN] | Vx [kN] | Өх | Observatio \text{\text{\text{\text{\text{\text{\text{\text{\text{\text{\text{\text{\text{\text{\text{\text{\text{\text{\text{\text{\text{\text{\text{\text{\text{\text{\text{\text{\text{\text{\text{\text{\text{\text{\text{\text{\text{\text{\text{\text{\text{\text{\text{\text{\text{\text{\text{\text{\text{\text{\text{\text{\text{\text{\text{\text{\text{\text{\text{\text{\text{\text{\text{\text{\text{\text{\text{\text{\text{\text{\text{\text{\text{\text{\text{\text{\text{\text{\text{\text{\text{\text{\text{\text{\text{\text{\text{\text{\text{\text{\text{\text{\text{\text{\text{\text{\text{\text{\text{\text{\text{\text{\text{\text{\text{\text{\text{\text{\text{\text{\text{\text{\text{\text{\text{\text{\text{\text{\text{\text{\text{\text{\text{\text{\text{\text{\text{\text{\text{\text{\text{\text{\text{\text{\text{\text{\text{\text{\text{\text{\text{\text{\text{\text{\text{\text{\text{\text{\text{\text{\text{\text{\text{\text{\text{\text{\text{\text{\text{\text{\text{\text{\text{\text{\text{\text{\text{\text{\text{\text{\text{\text{\text{\text{\text{\text{\text{\text{\text{\text{\text{\text{\text{\text{\text{\text{\text{\text{\text{\text{\text{\text{\text{\text{\text{\text{\text{\text{\text{\text{\tin}\exititt{\text{\text{\text{\text{\text{\text{\text{\text{\text{\text{\text{\text{\text{\text{\text{\text{\text{\text{\text{\text{\text{\text{\text{\text{\text{\text{\text{\text{\text{\text{\text{\text{\text{\text{\text{\text{\text{\text{\text{\text{\te}\tint{\text{\text{\text{\text{\text{\text{\text{\text{\text{\ti}\text{\text{\text{\text{\text{\text{\text{\text{\text{\text{\text{\text{\text{\text{\text{\text{\text{\text{\text{\text{\text{\text{\text{\text{\text{\text{\text{\text{\text{\text{\text{\text{\text{\text{\text{\text{\text{\text{\text{\text{\text{\text{\text{\text{\text{\text{\text{\text{\text{\text{\text{\text{\text{\text{\text{\text{\text{\texi}\text{\text{\text{\texi}\text{\text{\text{\text{\texi}\text{\text{\text{\texi{\texi{\texi}\text{\text{\text{\text{\texi}\text{\text{\texi}\text{\texi}\texit{\ |
|------------------|---------------------|----------|-----------|-------------|----------------------------------------------------------------------------------------------------------------------------------------------------------------------------------------------------------------------------------------------------------------------------------------------------------------------------------------------------------------------------------------------------------------------------------------------------------------------------------------------------------------------------------------------------------------------------------------------------------------------------------------------------------------------------------------------------------------------------------------------------------------------------------------------------------------------------------------------------------------------------------------------------------------------------------------------------------------------------------------------------------------------------------------------------------------------------------------------------------------------------------------------------------------------------------------------------------------------------------------------------------------------------------------------------------------------------------------------------------------------------------------------------------------------------------------------------------------------------------------------------------------------------------------------------------------------------------------------------------------------------------------------------------------------------------------------------------------------------------------------------------------------------------------------------------------------------------------------------------------------------------------------------------------------------------------------------------------------------------------------------------------------------------------------------------------------------------------------------------------------------|
| Terrasse | 4080 | 4101,437 | 1082,3756 | 0,02349113 | Vérifier |
| 9éme | 4080 | 13674,6 | 2579,9756 | 0,04942167 | Vérifier |
| 8éme | 4080 | 22926,48 | 3644,7945 | 0,06964956 | Vérifier |
| 7 ^{éme} | 4080 | 32169,39 | 4281,9802 | 0,09213537 | Vérifier |
| 6 ^{éme} | 4080 | 41450,87 | 4788,6393 | 0,09422079 | Vérifier |
| 5 ^{éme} | 4080 | 50732,35 | 5389,0648 | 0,0984957 | Vérifier |
| 4 ^{éme} | 4080 | 60013,84 | 6170,5164 | 0,0985363 | Vérifier |
| 3éme | 4080 | 69318,01 | 7117,0613 | 0,09985671 | Vérifier |
| 2 ^{éme} | 4080 | 78622,18 | 8091,9171 | 0,094636124 | Vérifier |
| 1 ^{ér} | 4080 | 87926,36 | 8772,7592 | 0,091246011 | Vérifier |

Tableau IV. 12: Justifications vis-à-vis de l'effet $P-\Delta$ suivant les axes Y-Y

| Etage | H _k [mm] | Pk [kN] | Vy [kN] | Өу | Observatio |
|------------------|---------------------|----------|----------------------|----------------------|-----------------|
| | | | | | $\Theta y < 10$ |
| Terrasse | 4080 | 4101,437 | 1133,7781 | 0,01624326 | Vérifier |
| ₉ éme | 4080 | 13674,6 | 3199,8474 | 0,01613742 | Vérifier |
| 8 ^{éme} | 4080 | 22926,48 | 4807,7421 | 0,02362122 | Vérifier |
| 7 ^{éme} | 4080 | 32169,39 | 6090,9594 0,0320385 | | Vérifier |
| 6 ^{éme} | 4080 | 41450,87 | 7155,3242 0,03813259 | | Vérifier |
| 5 ^{éme} | 4080 | 50732,35 | 8078,9763 | 0,04544467 | Vérifier |
| 4 ^{éme} | 4080 | 60013,84 | 8910,8732 | 0,05155169 | Vérifier |
| 3 ^{éme} | 4080 | 69318,01 | 9666,5231 | 9666,5231 0,05485414 | |
| 2 ^{éme} | 4080 | 78622,18 | 10246,8946 | 0,05431126 | Vérifier |
| 1 ^{ér} | 4080 | 87926,36 | 10502,4917 | 0,03461638 | Vérifier |

IV.6 Conclusion

Au vu des résultats obtenus pour ce modèle final, le modèle vérifie les critères imposés par le règlement parasismique algérien RPA2024 [3]. Notamment :

- Vérification de la période fondamentale.
- Vérification de leffort tranchant ala base.
- Vérification du comportement modal dans les 3 premiers modes.
- Vérification de la participation massique.
- Vérification de déplacement inter étage.
- Vérification de l'effet de $P-\Delta$.

Pour ces vérifications on résume les profilés finaux dans le tableau suivant :

Tableau IV. 13: Profilés finaux adoptés

| Elément | | Profilés | | | | |
|------------------|----------------------------|------------------|--|--|--|--|
| | RDC + 1 ^{er} | HEB1000 | | | | |
| | 2éme | HEB1000 | | | | |
| | 3éme | HEB900 | | | | |
| Dotoour | 4éme | HEB900 | | | | |
| Poteaux | 5éme | HEB900 | | | | |
| | 6 ^é me | HEB800 | | | | |
| | 7éme | HEB800 | | | | |
| | 8 ^{éme} +terrasse | HEB800 | | | | |
| | Principales | HEB650(courant) | | | | |
| Poutres | Timerpaies | IPE450 (terasse) | | | | |
| | Secondaires | IPE330 | | | | |
| Solives | - | IPE330 | | | | |
| | | | | | | |
| Contreventements | X | UPN 200 | | | | |
| Contreventements | Y | UPN 200 | | | | |

Remarque:Les profilés finaux adoptés est dapres la vèrification des elements.

Chapitre V : Vérification des éléments de l'ossature

V.1 Introduction

Le calcul d'une structure impose de garantir la stabilité statique pour toutes les combinaisons d'actions réglementaires possibles. Cette stabilité doit être assurée :

- à l'échelle globale de la structure,
- mais aussi pour chaque élément pris individuellement.

Les différentes actions appliquées sur la structure engendrent des sollicitations, qui à leur tour provoquent des contraintes dans le matériau et des déformations des éléments.

Pour garantir un niveau de sécurité suffisant ou requis, il est donc nécessaire de vérifier que les contraintes et les déformations restent inférieures aux limites admissibles.

Cela implique notamment l'analyse de deux principaux phénomènes d'instabilité :

➤ Le flambement

Le flambement concerne généralement des éléments élancés soumis à un effort axial de compression. Sous l'effet de cette compression, ces éléments peuvent se déformer latéralement, de manière perpendiculaire à leur axe, en raison d'une instabilité de nature élastique

➤ Le déversement

Le déversement est un phénomène d'instabilité latérale. Il se manifeste par une torsion ou un déplacement latéral des parties comprimées d'une section fléchie, par rapport à son axe de forte inertie.

➤ Le voilement

Il affecte les âmes des pièces soumises à la flexion

Dans ce chapitre, nous allons procéder aux vérifications de ses phénomènes d'instabilité conformément aux réglementations en vigueur, à savoir

➤ Classification des ossatures de la structure :

Une structure métallique est classée sur base des critères selon CCM97:

➤ Classification en ossature contreventées ou non contreventées

Une ossature est classée comme contreventée lorsque le système de contreventement réduit déplacements horizontaux d'au moins 80%.

D'après l'EC3 partie 5.2.5.3, on doit vérifier que : $\Psi_{cv} \le 0.2 \ \Psi_{non-c}$

$$\Psi_{cv} \le 0.2 \ \Psi_{non-c}$$

La condition étant vérifiée, alors les ossatures sont classées comme contreventées.

➤ Classification en ossature rigide ou souple

Une ossature est classée comme ossature rigide, selon l'EC3 partie 5.2.5.2, si : $\alpha_{cr} = \frac{\delta . V}{h.H}$ ≤ 0.1

$$\alpha_{\rm cr} = \frac{\delta . V}{h H} \le 0.1$$

V.2 Vérification de la stabilité

V.2.1 Vérification de la poutre principale

Poutres de HEB 650

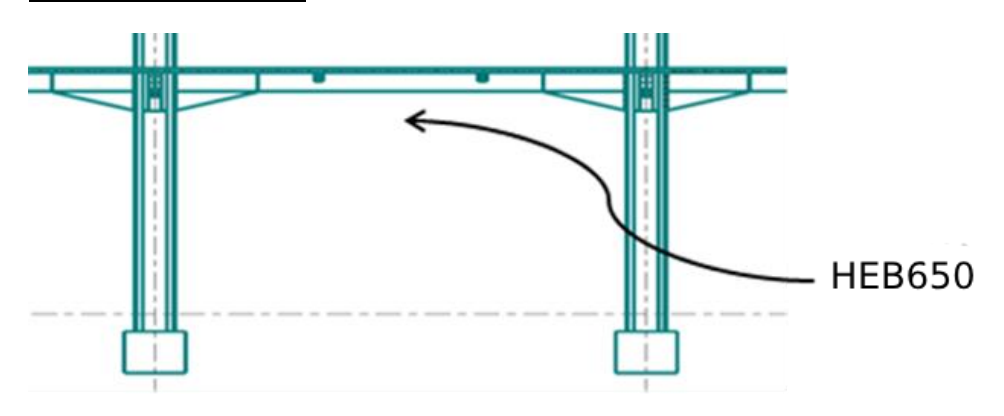


Figure V. 1: schémas de la poutre principale de corante.

Tableau V. 1: Caractéristique géométrique et mécanique de HEB 650

| | Poids | Section | Di | mensio | ons | Caractéristiques | | | | | |
|-------------|-------|-----------------|-----|--------|-----|------------------|-----------------|-----------------|---------------|-------|------|
| Designation | G | A | h | b | tf | Iy | Iz | WpLy | Wplz | iy | iz |
| | Kg/m | Cm ² | mm | mm | mm | Cm ⁴ | Cm ⁴ | Cm ³ | Cm^3 | cm | cm |
| HEB 650 | 225 | 286,3 | 650 | 300 | 31 | 210600 | 13980 | 7320 | 1441 | 27,12 | 6,99 |

On à :
$$\begin{cases} \mathbf{Vsd^{max}} = 601,62 \text{ kN} \\ \mathbf{Msd^{max}} = 850,66\text{kN. m} \end{cases}$$

Vérifications de la résistance

Moment fléchissant

Position de l'axe plastique:

$$R_{b\acute{e}ton} = 0.57 \text{ x beff x hc x fck} = 0.57 \text{x } 2000 \text{x } 95 \text{ x } 25 \text{x} 10^{-3} = 2707,5 \text{ KN}$$

$$\mathbf{R_{acier}} = 0.95\mathbf{xAaxFy} = 0.95 \mathbf{x} 286,3\mathbf{x} 275\mathbf{x}10^{-3} = 7479,58\mathbf{KN}$$

$$R_{h\acute{e}ton} < R_{acier}$$

$$\mathbf{R_{ame}} = 0.9 \text{ x fy x d x tw} = 0.9 * 275 * 515.6 * 11.1 = 2328.48 \text{ KN. m}$$

$$\mathbf{R_{b\acute{e}ton}} > \mathbf{R_{ame}}$$

L'axe neutre se trouve dans la semelle supérieure de profilé, donc le moment résistant plastique développé parla section mixte est :

$$MplRd = R_a * \frac{h_a}{2} + R_b \left(h_p + \frac{h_c}{2} \right)$$

Mplrd =
$$\left(7479,58 * \frac{650}{2} + 2707,5\left(55 + \frac{95}{2}\right)\right) * 10^{-3} = 2708,38$$
kN. **m**

$$Msd^{max} = 850,66kN.m < Mprd = 2708,38kN.m... CV$$

Effort tranchant

On doit vérifier que :
$$Vsd^{max} \le Vplrd = Av * \frac{Fy}{\sqrt{3}.\gamma_{m0}}$$

Vplrd =
$$\mathbf{Av} * \frac{\mathbf{Fy}}{\sqrt{3}. \, \mathbf{\gamma_{m0}}} = \frac{12200 * 275}{1.1 * \sqrt{3}} 10^{-3} = 1760,92 \text{KN}$$

$$Vsd^{max} = 601,62 \text{ kN} < Vplrd = 1760,92KN... CV$$

$$Vsd = 601,62kN < 0.5 Vplrd = 880,46KN ...CV$$

Pas d'interaction entre l'effort tranchant et le moment fléchissant.

Vérification du déversement :

Il n'est pas nécessaire de vérifier le déversement car la poutre est maintenue à la partie supérieure donc elle ne risque pas de se déverser.

Poutres de 8 IPE 450

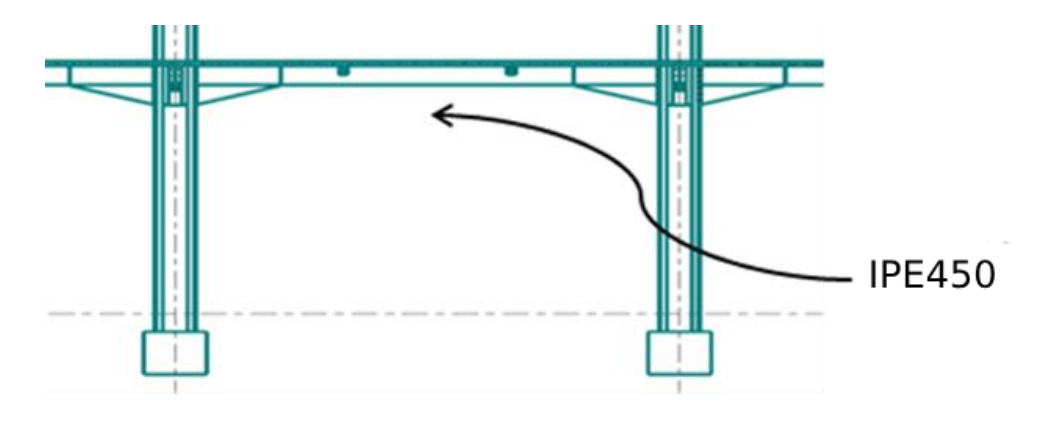


Figure V. 2: Schémas de la poutre principale, de terasse.

Poids Section Dimensions Caractéristiques WpLy Α Iy Iz Wplz G h b tf iy iz Designation Kg/m Cm^2 Cm^4 mmmm mm Cm^4 Cm^3 Cm^3 cm cm **IPE 450** 77,6 306,4 450 190 33740 1676 1702 276,4 14,6 18,48 4,12

Tableau V. 2: Caractéristique géométrique et mécanique de IPE450

On à :
$$\begin{cases} Vsd^{max} = 156,34 \text{ kN} \\ Msd^{max} = 149,77 \text{kN. m} \end{cases}$$

Vérifications de la résistance

Moment fléchissant

Position de l'axe plastique :

$$R_{b\acute{e}ton} = 0.57 \text{ x beff x hc x fck} = 0.57 \text{x } 2000 \text{x } 95 \text{ x } 25 \text{x} 10^{-3} = 2707,5 \text{KN}$$

$$R_{acier} = 0.95xAaxFy = 0.95 x9882 x 275x10^{-3} = 2581,67KN$$

$$R_{h\acute{e}ton} > R_{acier}$$

L'axe neutre se trouve dans la dalle de beton

Mplrd=2581,67[
$$\frac{450}{2}$$
 + 95 + 55 - $\frac{2581,67\times95}{2\times2707.5}$ × 10⁻³ = 851,196 kn. m

$$Msd^{max} = 149,77kN.m < Mprd = 851,196kN.m... CV$$

Effort tranchant

On doit vérifier que :
$$Vsd^{max} \leq Vplrd = Av * \frac{Fy}{\sqrt{3}.\gamma_{m0}}$$

Vplrd =
$$\mathbf{Av} * \frac{\mathbf{Fy}}{\sqrt{3} \cdot \mathbf{\gamma_{m0}}} = \frac{50,85 * 275}{1.1 * \sqrt{3}} 10^{-3} = 733,96 \text{KN}$$

$$Vsd^{max} = 159,639 \text{ kN} < Vplrd = 733,96 \text{ KN}... \text{ CV}$$

Pas d'interaction entre l'effort tranchant et le moment fléchissant.

Vérification du déversement :

Il n'est pas nécessaire de vérifier le déversement car la poutre est maintenue à la partie supérieure donc elle ne risque pas de se déverser.

Solive de IPE 330

Tableau V. 3: Caractéristique géométrique et mécanique de IPE 330

| | Poids | Section | Dimensions | | | on Dimensions Caractéristiques | | | | | | | |
|-------------|-------|-----------------|------------|-----|------|--------------------------------|-----------------|---------------|-----------------|-----------------|-----------------|-------|------|
| Designation | G | A | h | b | tf | tw | Iy | Avz | Iz | WpLy | Wplz | iy | iz |
| | Kg/m | Cm ² | mm | mm | mm | | Cm ⁴ | Cm^2 | Cm ⁴ | Cm ³ | Cm ³ | cm | cm |
| IPE 330 | 49,1 | 62,61 | 330 | 160 | 11,5 | 7,5 | 11770 | 30,81 | 788,1 | 804,3 | 153,7 | 13,71 | 3,55 |

On à :
$$\begin{cases} Vsd^{max} = 255,0886 \text{ kN} \\ Msd^{max} = 212,86 \text{ kN. m} \end{cases}$$

- Vérifications de la résistance
- Moment fléchissant

Position de l'axe plastique:

$$R_{b\acute{e}ton} = 0.57 \text{ x beff x hc x fck} = 0.57 \text{x } 2000 \text{x } 95 \text{ x } 25 \text{x} 10^{-3} = 2707,5 \text{ KN}$$

$$\mathbf{R_{acier}} = 0.95 \mathbf{x} \mathbf{A} \mathbf{a} \mathbf{x} \mathbf{F} \mathbf{y} = 0.95 \mathbf{x} 371,3 \times 275 \mathbf{x} 10^{-3} = 804,91 \mathbf{KN}$$

$$R_{b\acute{e}ton} > R_{acier}$$

L'axe neutre se trouve dans la dalle de beton

Mplrd=
$$804,91[\frac{330}{2} + 95 + 55 - \frac{804,91 \times 95}{2 \times 2707,5} \times 10^{-3} = 253,54 \text{ kn. m}$$

$$Msd^{max} = 212,86 \text{ kN. m} < Mprd = 253,54 \text{ kNkN. m}... CV$$

- Effort tranchant.

On doit vérifier que :
$$Vsd^{max} \leq Vplrd = Av * \frac{Fy}{\sqrt{3}.\gamma_{m0}}$$

Vplrd =
$$\mathbf{Av} * \frac{\mathbf{Fy}}{\sqrt{3}.\,\mathbf{\gamma_{m0}}} = \frac{3081 * 275}{1.1 * \sqrt{3}} 10^{-3} = 512,27 \text{ KN}$$

$$Vsd^{max} = 225,43kN < Vplrd = 512,27 KN... CV$$

Pas d'interaction entre l'effort tranchant et le moment fléchissant.

Remarque : les vérifications sont vérifiée est sont même vérification nécessaire à vérifiée selon RPA 2024.

Vérification du déversement :

Il n'est pas nécessaire de vérifier le déversement car la poutre est maintenue à la partie supérieure donc elle ne risque pas de se déverser.

V.2.2 Vérification des poteaux

V.2.2.1 Procédure de calcul

Les poteaux sont soumis à la flexion composée où chaque poteau est soumis à un effort normal N_{SD} et deux moments fléchissant M_{ye} et M_z . La vérification se fait pour toutes les combinaisons inscrites aux règlements sous les sollicitations les plus défavorables suivant les deux sens.

Les différentes sollicitations doivent être combinées dans les cas les plus défavorables, qui sont :

- Une compression maximale et un moment $M_{sd,y}$ et $M_{sd,z}$ correspondant
- Un moment maximal $M_{sd,y}$ et une compression N_{sd} et $M_{sd,z}$ correspondante
- Un moment maximal $M_{sd,z}$ et une compression N_{sd} et $M_{sd,z}$ correspondante

❖ Les étapes de la vérification du flambement par flexion

Les éléments sollicités simultanément en flexion et en compression axiale, doivent satisfaire àdiverses conditions selon la classe de leur section transversale :

• Pour les sections de classe 1 et 2 :

$$\left[\frac{N_{sd}}{N_{min}\frac{N_{pl}}{\gamma_{m1}}}\right] + \left[\frac{K_{y}M_{sdy}}{\frac{M_{ply}}{\gamma_{m1}}}\right] + \left[\frac{K_{z}M_{sdz}}{\frac{M_{plz}}{\gamma_{m1}}}\right] \le 1$$

• Pour les sections de classe 3 :

$$\left[\frac{N_{sd}}{X_{min}\frac{N_{pl}}{\gamma_{m1}}}\right] + \left[\frac{K_{y}M_{sdy}}{\frac{M_{ely}}{\gamma_{m1}}}\right] + \left[\frac{K_{z}M_{sdz}}{\frac{M_{elz}}{\gamma_{m1}}}\right] \le 1$$

Avec:

$$N_{pl} = A*Fy$$

$$M_{ply} = W_{ply} * Fy$$
; $M_{plz} = W_{plz} * Fy$

$$M_{ely} = W_{ely} *Fy$$
 ; $M_{elz} = W_{elz} *Fy$

$$\mathbf{x_{min}} = \operatorname{Min}(\mathbf{x_v}; \mathbf{x_z})$$

$$K_y = 1 - \frac{\text{Nsd}*\mu_y}{x_y*A*Fy} \leq 1.5 \text{ Avec } \mu_y = \overline{\lambda_y} \big(2\beta_{My} - 4 \big) + \Big(\frac{\text{Wply-Wely}}{\text{Wely}} \Big) \leq 0.90$$

$$K_z = 1 - \frac{\text{Nsd}*\mu_z}{x_z*A*Fy} \le 1.5 \text{ Avec } \mu_z = \overline{\lambda_z}(2\beta_{Mz} - 4) + \left(\frac{\text{Wplz-Welz}}{\text{Welz}}\right) \le 0.90$$

V.2.2.2 Exemple de calcul (Niveau RDC/1/2)

Section HEB1000

• Cas 1

$$N_{sd}^{max} = 5902,2773$$
kN (compression)

$$\mathbf{M_{sdy}^{corr}} = 6,4785 \text{ kN.m}$$

$$M_{sdz}^{corr} = 343,3094 \text{kN.m}$$

Sens-Y-Y:

$$K_{b11}^{HEB650} = \frac{210600*10^4}{8000} = 263,25*10^3 \text{mm}^3$$

$$K_{b12}^{\text{HEB650}} = \frac{210600*10^4}{8000} = 263,25*10^3 \text{ mm}^3$$

$$K_{c1}^{\ \ HEB1000} = \frac{644700*10^4}{4080} = 1580147,06 \ mm^3$$

$$K_{c2} = 0$$

$$K_c^{\text{HEB1000}} = \frac{644700*10^4}{4080} = 1580147,06 \text{ mm}^3$$

$$K_{b21} \stackrel{HEB650}{=} \frac{210600*10^4}{8000} = 263,25*10^3 \text{mm}^3$$

$$K_{b22}^{HEB650} = \frac{210600*10^4}{8000} = 263,25*10^3 \text{mm}^3$$

$$\eta_1 = \frac{Kc + Kc1}{Kc + Kc1 + Kb11 + Kb12} = 0.86$$

$$\eta_2 = \frac{Kc + Kc2}{Kc + Kc2 + Kb21 + Kb22} = 0$$

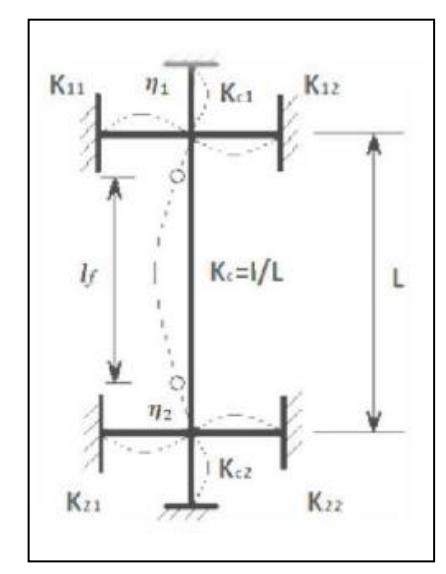


Figure V. 3: La rigidité des poteaux.

- La longueur de flambement pour une structure a nœud fixe

$$L_{fy} = H (0.5 + 0.14(\eta_1 + \eta_2) - 0.055(\eta_1 + \eta_2)^2)$$

$$L_{fy} = 4.08 (0.5 + 0.14(0.86 + 0) - 0.055(0.86 + 0)^2)$$
 \Box $L_{fy} = 2.36 \text{ m}$

 \bullet Sens Z-Z:

$$K_{b11}^{\text{ HEB650}} = \frac{13980*10^4}{8000} = 17475 \text{ mm}^3$$

$$K_{b12}^{HEB650} = \frac{13980*10^4}{8000} = 17475 \text{ mm}^3$$

$$K_{c1}^{\text{HEB1000}} = \frac{16280 \times 10^4}{4080} = 39901,96 \text{ mm}^3$$

$$K_{c2}=0 \text{ mm}^3$$

$$K_c^{\text{HEB1000}} = \frac{16280 \times 10^4}{4080} = 39901,96 \text{ mm}^3$$

$$K_{b21}{}^{HEB650}\!=\!\!\frac{13980{*}10^4}{8000}\!=17475~mm^3$$

$$K_{b22}^{HEB650} = \frac{13980*10^4}{8000} = 17475 \text{ mm}^3$$

$$\eta_1 = \frac{Kc + Kc1}{Kc + Kc1 + Kb11 + Kb12} = 0.70$$

$$\mathbf{\eta}_2 = \frac{\mathbf{Kc} + \mathbf{Kc2}}{\mathbf{Kc} + \mathbf{Kc2} + \mathbf{Kb21} + \mathbf{Kb22}} = 0$$

- La longueur de flambement pour une structure a nœud fixe.

$$L_{fz} = H (0.5 + 0.14(\eta_1 + \eta_2) - 0.055(\eta_1 + \eta_2)^2)$$

$$L_{fz}$$
=4,08 (0.5+0.14(0.70+0) - 0.055(0.70 + 0)²) L_{fz} =2,33 m

❖ Calcul de l'élancement réduit :

$$\lambda_y = \frac{Lfy}{iy} = \frac{2360}{401.5} = 5.87 \ \overline{\lambda_y} = \frac{5.87}{86.81} = 0.06 < 0.2 \ Alors il n'y a pas risque de flambement.$$

$$\chi_{v} = 1$$

$$\lambda_{\mathbf{z}} = \frac{\text{Lfz}}{\text{iz}} = \frac{2330}{63.8} = 36,52$$
 $\overline{\lambda_{\mathbf{z}}} = \frac{36,52}{86.81} = 0,420 > 0.2$ Alors il y a un risque de flambement.

$$\phi_z = 0.5(1 + \alpha(\overline{\lambda_z} - 0.2) + \overline{\lambda_z}^2) = 0.5(1 + 0.34(0.4 - 0.2) + 0.4^2) = 0.62$$

$$\chi_{\mathbf{z}} = \frac{1}{\boldsymbol{\varphi_{\mathbf{z}}} + \sqrt{\boldsymbol{\varphi_{\mathbf{z}}}^2 - \overline{\lambda_{\mathbf{z}}}^2}} = \frac{1}{0.62 + \sqrt{0.62^2 - 0.4^2}} = 0.91$$

$$\mathbf{x_{min}} = \text{Min}(\mathbf{x_v}; \mathbf{x_z}) = \text{Min}(1; 0.910) = 0.910$$

$$\beta_{my} = 1.8 - 0.7 \psi \quad \beta_{my} = 1.7 \quad \mathrm{Avec} \ \psi = 0.11$$

$$\beta_{mz} = 1.8 - 0.7 \psi$$
 $\beta_{mz} = 1.61$ Avec $\psi = 0.27$

$$\mu_y = \overline{\lambda_y} \big(2\beta_{My} - 4 \big) + \Big(\frac{Wply - Wely}{Wely} \Big)$$

$$\mu_{\mathbf{y}} = 0.06(2 * 1.7 - 4) + \left(\frac{14860 - 12890}{12890}\right) = 0.12 \le 0.90$$

$$\mu_z = \overline{\lambda_z}(2\beta_{Mz} - 4) + \left(\frac{Wplz - Welz}{Welz}\right)$$

$$\mu_{\mathbf{z}} = 0.4(2 * 1.61 - 4) + \left(\frac{1716 - 1085}{1085}\right) = 0.27 \le 0.90$$

$$K_y = 1 - \frac{Nsd * \mu_y}{x_v * A * Fy} = 1 - \frac{5902,2773 * 0,12}{1 * 40000 * 275} = 0,999 \le 1.5$$

$$\mathbf{K_z} = 1 - \frac{\mathbf{Nsd} * \mathbf{\mu_z}}{\mathbf{x_z} * \mathbf{A} * \mathbf{Fv}} = 1 - \frac{5902,2773 * 0,27}{1 * 40000 * 275} = 0.999 \le 1.5$$

Donc sections de classe 1/2 :

$$\left[\frac{\mathbf{N}_{sd}}{\mathbf{X}_{\min}} \frac{\mathbf{N}_{pl}}{\mathbf{\gamma}_{m1}}\right] + \left[\frac{\mathbf{K}_{y}\mathbf{M}_{sdy}}{\frac{\mathbf{M}_{ply}}{\mathbf{\gamma}_{m1}}}\right] + \left[\frac{\mathbf{K}_{z}\mathbf{M}_{sdz}}{\frac{\mathbf{M}_{plz}}{\mathbf{\gamma}_{m1}}}\right] \le 1$$

- $\mathbf{M_{plv}} = \mathbf{Wply} * \mathbf{fy} = 4086,5 \text{kn,m}$
- $\mathbf{M_{plz}} = \mathbf{Wplz} * \mathbf{fy} = 471.9 \text{ kn.m}$
- **Npl** = A * Fy = 11000000 mm

$$\left[\frac{5902,2773}{0.910*\frac{11\times10^6}{1,1}}\right] + \left[\frac{0,99*6,4785}{\frac{4086,5}{1,1}}\right] + \left[\frac{0,99*343,3094}{\frac{471,9}{1,1}}\right] = 0,79 \le 1 \text{ Condition v\'erifi\'ee}$$

• Cas 2

$$N_{sd}^{corr} = 4828,9379 \text{ kN}.$$

$$M_{sdv}^{max} = 34,8791$$
 kN.m.

 $M_{sdz}^{corr} = 145,8884 \text{ kN.m.}$

$$\beta_{my} = 1.8 - 0.7 \psi$$
 $\beta_{my} = 1.51$ Avec $\psi = 0.41$

$$\beta_{mz} = 1.8 - 0.7 \psi$$
 $\beta_{mz} = 1,56$ Avec $\psi = 0,34$

$$\mu_y = \overline{\lambda_y} \big(2\beta_{My} - 4 \big) + \Big(\frac{Wply - Wely}{Wely} \Big)$$

$$\mu_{\mathbf{y}} = 0.06(2 * 1.51 - 4) + \left(\frac{14860 - 12890}{12890}\right) = 0.09 \le 0.90$$

$$\mu_{z} = \overline{\lambda_{z}}(2\beta_{Mz} - 4) + \left(\frac{Wplz - Welz}{Welz}\right)$$

$$\mu_{\mathbf{z}} = 0.4(2 * 1.56 - 4) + \left(\frac{1716 - 1085}{1085}\right) = 0.23 \le 0.90$$

$$K_y = 1 - \frac{Nsd * \mu_y}{x_v * A * Fy} = 1 - \frac{4829,9379 * 0,09}{1 * 40000 * 275} = 0,999 \le 1.5$$

$$\textbf{K}_{\textbf{z}} = 1 - \frac{\text{Nsd}*\mu_{\textbf{z}}}{\textbf{x}_{\textbf{z}}*A*Fy} = 1 - \frac{4829,9379*0,23}{1*40000*275} = 0.999 \leq 1.5$$

Donc sections de classe 1/2 :

$$\left[\frac{N_{sd}}{X_{min}\frac{N_{pl}}{\gamma_{m1}}}\right] + \left[\frac{K_{y}M_{sdy}}{\frac{M_{ply}}{\gamma_{m1}}}\right] + \left[\frac{K_{z}M_{sdz}}{\frac{M_{plz}}{\gamma_{m1}}}\right] \le 1$$

$$\left[\frac{\frac{4828,9379}{0.910*\frac{11\times10^6}{1.1}}}{0.910*\frac{11\times10^6}{1.1}}\right] + \left[\frac{\frac{0,99*34,8791}{\frac{4086,5}{1,1}}}{\frac{4086,5}{1.1}}\right] + \left[\frac{\frac{0,99*145,884}{\frac{471,9}{1,1}}}{\frac{471,9}{1,1}}\right] = 0,35 \le 1 \text{ Condition v\'erifi\'ee}$$

• Cas 3.

$$N_{sd}^{corr} = 1143,7915 \text{ kN}.$$

$$\mathbf{M_{sdy}^{corr}} = 3,6267 \text{ kN.m.}$$

$$\mathbf{M_{sdz}^{max}} = 142,6312 \text{ kN.m.}$$

$$\beta_{my} = 1.8 - 0.7 \psi$$
 $\beta_{my} = 1.77$ Avec $\psi = 0.04$

$$\beta_{mz} = 1.8 - 0.7 \psi$$
 $\beta_{mz} = 1.33$ Avec $\psi = 0.66$

$$\mu_y = \overline{\lambda_y} \big(2\beta_{My} - 4 \big) + \Big(\frac{\text{Wply-Wely}}{\text{Wely}} \Big)$$

$$\begin{split} & \mu_y = 0.06(2*1.77-4) + \left(\frac{14860-12890}{12890}\right) = 0.12 \le 0.90 \\ & \mu_z = \overline{\lambda_z}(2\beta_{Mz} - 4) + \left(\frac{Wplz - Welz}{Welz}\right) \\ & \mu_z = 0.4(2*1.33-4) + \left(\frac{1716-1085}{1085}\right) = 0.045 \le 0.90 \\ & K_y = 1 - \frac{Nsd*\mu_y}{x_y*A*Fy} = 1 - \frac{1143.7915*0.12}{1*40000*275} = 0.999 \le 1.5 \\ & K_z = 1 - \frac{Nsd*\mu_z}{x_z*A*Fy} = 1 - \frac{1143.7915*0.045}{1*40000*275} = 0.999 \le 1.5 \end{split}$$

Donc sections de classe 1/2 :

$$\left[\frac{N_{sd}}{x_{min}} \frac{N_{pl}}{\gamma_{m1}} \right] + \left[\frac{K_y M_{sdy}}{\frac{M_{ply}}{\gamma_{m1}}} \right] + \left[\frac{K_z M_{sdz}}{\frac{M_{plz}}{\gamma_{m1}}} \right] \leq 1$$

$$\left[\frac{1143,7915}{0.910* \frac{11 \times 10^6}{1,1}} \right] + \left[\frac{0,99*3,6267}{\frac{4086,5}{1,1}} \right] + \left[\frac{0,99*142,6312}{\frac{471,9}{1,1}} \right] = 0,33 \leq 1 \text{ Condition v\'erifi\'ee}$$

V.2.2.3 <u>Vérification des autres poteaux de la str</u>ucture

Le tableau ci-dessous regroupe les résultats calculés manuellement et les vérifications faites:

Tableau V. 4: Vérification au flambement par flexion pour N^{max}

| Profilé | Combinaison | N_{sd}^{max} | Msdycorr | M_{sdz}^{corr} | Valeur | <1 |
|---------|--------------------|----------------|----------|------------------|------------|----|
| | | | | | finale (r) | |
| HEB 900 | G+0,3Q+0,3EX+0,3EY | 4063,501 | 10,486 | 240,47 | 0,58 | CV |
| HEB 800 | G+0,3Q+0,3EX+0,3EY | 2317,302 | 10,816 | 210,99 | 0,548 | CV |

✓ Cas: N^{cor}, Msd,y^{max}, Msd,z^{cor}

Le tableau ci-dessous regroupe les résultats calculés manuellement et les vérifications faites :

Tableau V. 5: Vérification au flambement par flexion pour M_v^{max}

| Profilé | Combinaison | Nsdcorr | Msdymax | Msdzcorr | Valeur | <1 |
|---------|--------------------|---------|---------|----------|-----------|----|
| | | | | | finale(r) | |
| HEB 900 | G+0,3Q+0,3EX+0,3EY | 2320,84 | 29,625 | 13,64 | 0,21 | CV |
| HEB800 | G+0,3Q+0,3EX+0,3EY | 773,890 | 2,27 | 86,223 | 0,22 | CV |

✓ Cas: N^{cor}, Msd,y^{cor}, Msd,z^{max}

Le tableau ci-dessous regroupe les résultats calculés manuellement et les vérifications faites:

Tableau V. 6: Vérification au flambement par flexion pour M_z^{max}

| Profilé | Combinaison | N _{sd} corr | Msdycor | Msdzmax | Valeur finale(r) | <1 |
|----------------|-----------------------|----------------------|---------|---------|------------------|----|
| HEB 900 | G+0,4Q+0,3EX+0,3EY+Ez | 862,64 | 12,14 | 164,17 | 0,40 | CV |
| HEB 800 | G+0,4Q+0,3EX+0,3EY+Ez | 528,30 | 6,175 | 179,88 | 0,47 | CV |

V.3 Vérification des contreventements

V.3.1 Généralités

Les contreventements ont la fonction générale de stabilisation de l'ossature, on peut distinguer sous ce terme général trois fonctions principales liées entre elles :

- Transmettre les efforts horizontaux
- Limiter les déformations
- Contribuer à augmenter la stabilité de la structure et de ses éléments.
- -Plusieurs types de système de contreventement, permettant de donner la rigidité nécessaire au cisaillement, on site :

Triangulation (contreventement en treillis : en croix de st André, en K, en V, en

- N...)→ forces transmises par des efforts normaux dans les barres. Il faut tenir compte des risques de flambement des barres travaillant à la compression ou par remplissage.
- Rigidification des nœuds → forces transmises surtout par flexion des traverses et des poteaux.

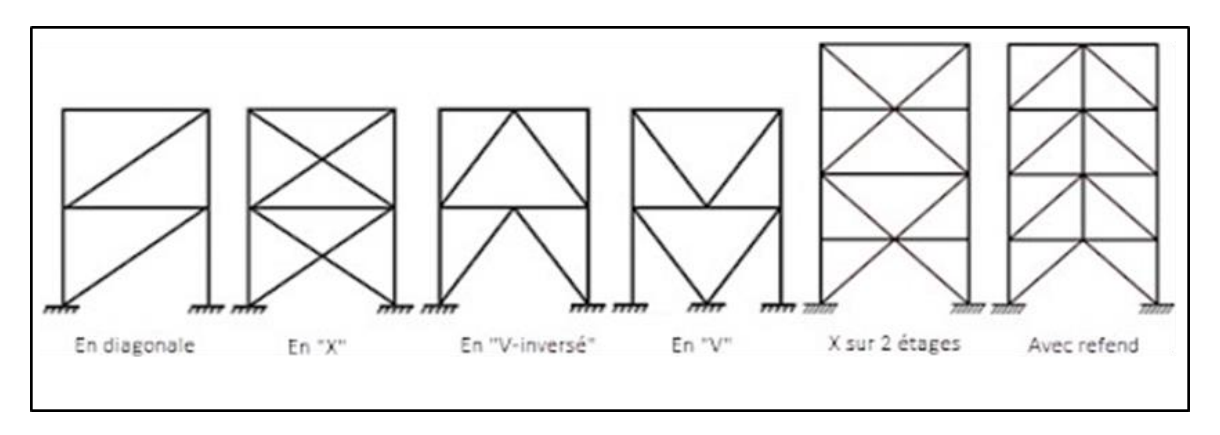


Figure V.3: Types de systèmes de contreventement.

V.3.2 Dimensionnement des contreventements

Pour équilibrer une force pouvant agir dans n'importe quelle direction d'un plan, les trois conditions suivantes doivent être respectées :

- Il faut disposer d'au moins trois lignes d'action de forces,
- Les lignes d'action de forces ne doivent pas être concourantes en un point,
- Les lignes d'action de forces ne doivent pas être toutes parallèles entre elles.

L'existence d'un système de contreventement dans une structure ne garantit pas que la structure de l'ossature et forcément contreventé mais elle doit être classifiée comme contreventé.

Lorsque la classification de l'ossature comme contreventée est justifiée, il est possible d'analyser l'ossature et le système de contreventement séparément de la façon suivante :

L'ossature sans système de contreventement peut être traitée comme totalement appuyée latéralement et comme devant supporter l'action des charges verticales uniquement.

Pour notre cas:

Sens $x : TUBE 360 \times 360 \times 25$

Sens-Y: **TUBE 360×360×25**

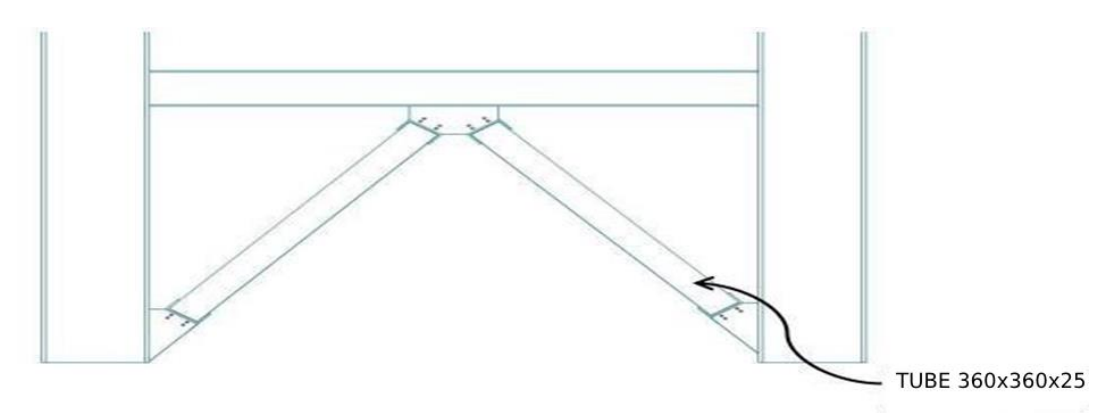


Figure V. 4: Contreventement en V.

V.3.3 Vérifications a la compression

D'après le logiciel ETABS

La combinaison de charge la plus défavorable est G+0,3Q+EX+0,3EY

- on a l'effort de compression repris par les palées de stabilité (TUBE 360×360×25)

 $N_{sd} = 2909,0094kN$

Donc on vérifie:

$$N_{sd}^{max} \le N_{b,rd} = \chi \times \beta_A \times A \times \frac{f_y}{\gamma_{M1}}$$

Remarque: Pour les sections en [la courbe de flambement est " C "

$$\bar{\lambda} = \frac{\sqrt{\beta \times A \times f_y}}{N_{cr}} = \frac{\lambda}{\lambda 1} \times \sqrt{\beta}$$

Avec:

$$\lambda 1 = \sqrt[\pi]{\frac{\sqrt{\beta \times A \times f_y}}{N_{cr}}} = 93.9. \, \varepsilon = 86.8 \overline{\lambda y} = \frac{\lambda y}{\lambda 1} = 0.30$$

$$\varphi_y = 0.5 \left[1 + \alpha_y (\overline{\lambda_y} - 0.2) + \overline{\lambda_y}^2 \right] = \varphi_y = 0.50$$

$$\chi_y = \frac{1}{\Phi + \sqrt{\Phi^2 - \lambda^2}} = \chi_y = 0.9 \le 1$$

$$Nbrd = 0.9 \times 1 \times 33500 \times 10^{-3} \times \frac{275}{1.1} = 7537kN$$

$$N_{sd} = 2909,0094 \text{kN} < Nbrd = 75370kN$$
 Condition vérifiée

V.3.4 Vérification à la traction

L'effort normal de traction de la barre la plus sollicitée qui est celle du niveau 1er étage

On doit vérifier que : $N \le N_{trd}$

- N : Effort normal maximum (traction).

- N_{trd} : Effort normal plastique.

Avec: $N_{trd} = \frac{A \times fy}{\gamma M0}$

 $N_{sd} = 2874,2725 \text{ kN}$

$$N_{trd} = \frac{33500 \times 275}{1.1} \times 10^{-3} = 9212 \text{ KN}$$

$$N_{sd} = 2874,2725 \text{ kN} < N_{trd} = 9212 \text{ kN}$$
 — Condition vérifiée

V.4 Conclusion

Le but de ce chapitre était de vérifier la stabilité des sections obtenues après étape de modélisation, et ces derniers ont largement satisfait les critères de la réglementation appropriée (EUROCODE03).

Chapitre VI : Etude et conception des assemblages

VI.1 Introduction

Un assemblage désigne un dispositif permettant de réunir et de solidariser plusieurs pièces, en assurant la transmission et la répartition des différentes sollicitations entre elles, sans engendrer de contraintes parasites, notamment de torsion.

On distingue deux principaux modes de fonctionnement :

• Fonctionnement par obstacle :

Ce mode concerne notamment les boulons ordinaires non précontraints, où les tiges reprennent les efforts en travaillant principalement en cisaillement.

• Le boulonnage

Le **boulonnage** est la méthode d'assemblage la plus couramment utilisée en construction métallique, en raison de sa simplicité de mise en œuvre et des possibilités de réglage qu'elle offre directement sur site.

Dans le cadre de notre projet, nous avons opté pour l'utilisation de boulons à haute résistance (HR).

Ces boulons se composent :

- D'une vis filetée,
- D'une tête hexagonale,
- Et d'un écrou, tous réalisés en acier à très haute résistance.

Tableau VI. 1: Caractéristiques des boulons

| Classe | 4.6 | 4.8 | 5.6 | 5.8 | 6.6 | 6.8 | 8.8 | 10.8 |
|-----------------|-----|-----|-----|-----|-----|-----|-----|------|
| $f_{yb}(N/mm2)$ | 240 | 320 | 300 | 400 | 360 | 480 | 640 | 900 |
| $f_{ub}(N/mm2)$ | 400 | 400 | 500 | 500 | 600 | 600 | 800 | 1000 |

• Le soudage

En charpente métallique soudée, les assemblages présentent une plus grande rigidité, entraînant ainsi un encastrement partiel des éléments constructifs.

Le soudage peut être réalisé à l'aide de deux principales méthodes de chauffage :

- Le soudage à la flamme oxyacétylénique,
- Le soudage à l'arc électrique.

Ces techniques permettent de porter localement les pièces métalliques à assembler à leur température de fusion, afin de les unir de manière durable.

• Fonctionnement par adhérence

Dans ce mode de fonctionnement, la transmission des efforts s'effectue par l'adhérence entre les surfaces en contact.

Cela concerne principalement:

- Le soudage,
- Le boulonnage utilisant des boulons à haute résistance.

VI.2 Types d'assemblages utilisés dans notre projet

Dans le cadre de notre projet, nous aurons recours à trois types d'assemblages :

- Assemblage par boulons ordinaires;
- Assemblage par boulons à haute résistance (HR) ;
- Assemblage par soudage.

Dans ce chapitre, nous étudierons cinq types d'assemblages spécifiques :

- Assemblage poutre solive;
- Assemblage poteau poutre;
- Assemblage de contreventement ;
- Assemblage poteau poteau ;
- Assemblage du pied de poteau.

Remarque: d apres Rpa 2024 Les assemblages doivent respecter plusieurs exigences:

- a) Chaque assemblage poteau-poutre, d'un portique, doit être de type rigide et être capable de développer, dans la poutre, la capacité plastique totale de cette dernière.
- b) Dans le cas où les assemblages poteaux-poutres d'un portique sont boulonnés, ces assemblages doivent être conçus, calculés et réalisés comme des assemblages travaillant au cisaillement, de type résistant au glissement à l'état- limite ultime sous l'action sismique, et utilisant des boulons précontraints à haute résistance et à serrage contrôlé.

VI.2.1 l'assemblage poteau-poutre

On se propose de déterminer la capacité de résistance des assemblages poutre-poteau en acier boulonnés par platine d'extrémité, on utilise deux types de vérification manuel et par logiciel idea statica.

VI.2.1.1 <u>Vérification de l'assemblage poteau-poutre (HEB 1000 – HEB650)</u>

On va traiter cette assemblageb manuellement :

L'assemblage à vérifier est présenté sur la Fig.

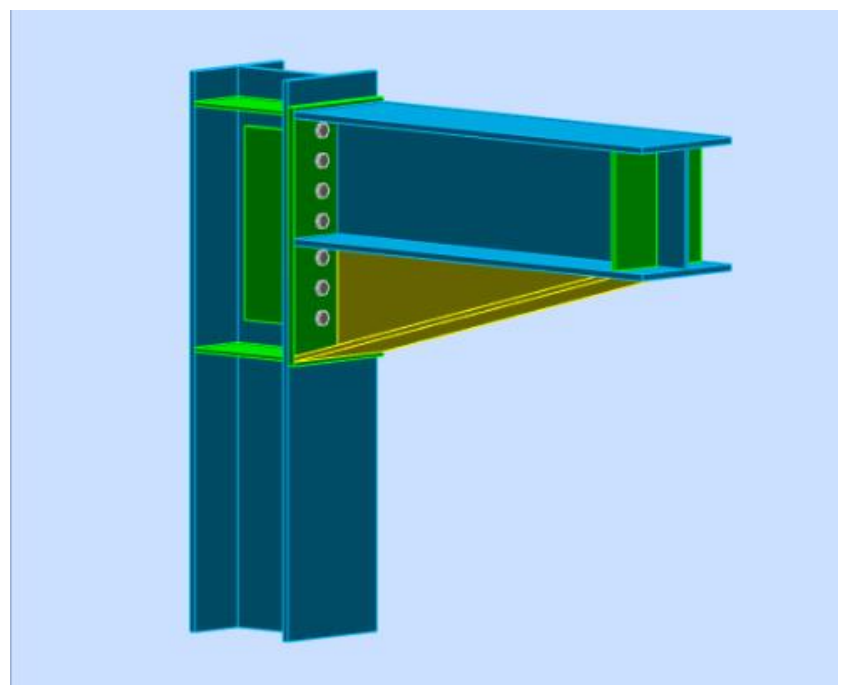


Figure VI. 1: Assemblage poteau – poutre

On doit fixer la poutre à l'aide des boulons qui lient la plaque en platine et le poteau, la poutre doit être soudée sur la plaque. On a une poutre HEB650 et un poteau HEB1000 leur caractéristique se résume dont le tableau suivant :

Tableau VI. 2: Caractéristiques géométriques des profilés

| Profilé | h(mm) | b(mm) | $t_f(mm)$ | $t_w(mm)$ | $A(cm^2)$ |
|---------|-------|-------|-----------|-----------|-----------|
| HEB1000 | 1000 | 300 | 36 | 19 | 400 |
| HEB 650 | 650 | 300 | 31 | 16 | 286,3 |

VI.2.1.2 Efforts sollicitant

A. CAS 1: VSd max

- Moment fléchissant : $M_{sd} = 724,8124$ KN.m

- Effort tranchant : $V_{sd} = 771,3915 \text{ KN}$

1. Calcul de la soudure poutre HEB650

On fixe le cordon de soudure a= 10 mm.

$$L_1 = bs = 300mm$$

$$L_2 = \frac{bs - tw}{2} = 142mm$$

$$L3 = h - 2tf = 588 \text{ mm}$$

$$As = \sum li.ai = (2L_1 + 4 L_2 + 2 L_3)a = 23440mm^2$$

Is/yy=
$$2[(a.L_1.d_1^2) + (2 a.L_2.d_2^2)]$$

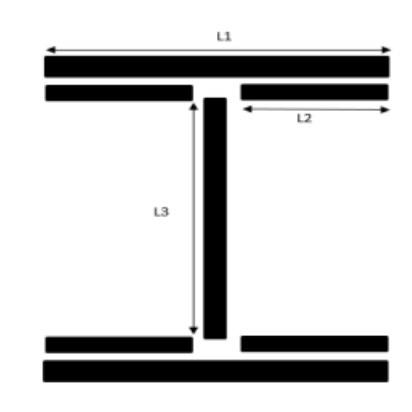


Figure VI. 2: Assemblage soudé poutre- platine.

Avec:

$$d1 = h/2 + a/2 = 330 \text{ mm}$$

$$d2 = h/2 - tf - a/2 = 289 \text{ mm}$$

$$\rightarrow$$
 Is/yy = 1127,799*10⁶mm⁴

a- La semelle

• La nuance d'acier utilisé est S275 donc $\gamma_{mw} = 1,3$, $f_{us} = 430$, $\beta_{w} = 0,85$

$$af \ge tf\left(\frac{fy}{\gamma_{m0}}\right)\left(\frac{\beta_w * \gamma_{m2}}{fus\sqrt{2}}\right)$$

$$af \ge 31 \left(\frac{275}{1,1}\right) \left(\frac{0.85 \times 1.3}{430 \times \sqrt{2}}\right)$$

af \geq 14,08 mm ... on prend 14mm

b- L'âme

$$aw \ge tw \left(\frac{fy}{\gamma_{m0}}\right) \left(\frac{\beta_w * \gamma_{m2}}{fus\sqrt{2}}\right)$$

$$aw \ge 16 \left(\frac{275}{1.1}\right) \left(\frac{0.85 \times 1.3}{430 \times \sqrt{2}}\right)$$

 $aw \ge 7,26 \text{ mm} \dots \text{ on prend } 7 \text{ mm}$

2. Vérification de la résistance :

o Effet de Nsd et Vsd :

$$\sqrt{2\left(\frac{Nsd}{\Sigma \text{li.ai}}\right)^2 + 3\left(\frac{Vsd}{2l_3.a}\right)^2} \le \frac{Fus}{\beta_w * \gamma_{mw}} \implies 113,61 \text{ MPa} < 389,14 \text{ MPa}$$

o Effet de Nsd et Msd:

$$\sqrt{2} \left(\frac{Nsd}{\sum \text{li.ai}} + \frac{Msd}{\text{ls/yy}} * \frac{h}{2} \right) \le \frac{Fus}{\beta_w * \gamma_{mw}} \implies 295, 39 \text{ MPa} < 389,14 \text{ MPa}$$

3. Choix de diamètre du boulon

Epaisseur de la platine : ép = 16 mm

1.
$$t \le 10 \text{ mm d} = (12; 14) \text{ mm}$$

- 2. $10 \le t \le 25 \text{ mm d} = (16; 20; 24) \text{ mm}$
- 3. $t \ge 25 \text{ mm d} = (24; 27; 30) \text{ mm}$

On à l'épaisseur de la platine t = 16 mm alors on prend $\emptyset = 16 \text{ mm}$

4. Détermination du nombre de boulons nécessaires

Condition de la résistance au cisaillement des boulons :

- Assemblage poteau-platine (boulonnage):
- ✓ Disposition constructive :
- Boulons : On choisit 16 boulons HR de diamètre 24 mm (M24) et de classe HR 10.9
 M24→ d=24mm → d₀=26 mm → As =353 mm²
- ✓ Disposition constructive :

$$1,2d0 \le e1 \le \max (12t \text{ ou } 150 \text{ mm}) \rightarrow 31,2 \text{ mm} \le e1 \le 192 \text{mm} \rightarrow e1 = 50 \text{ mm}.$$

$$1,2d0 \le e2 \le \max (12t \text{ ou } 150 \text{ mm}) \implies 39 \text{ mm} \le e2 \le 192 \text{ mm} \implies e2 = 60 \text{ mm}.$$

$$2,2d0 \le P1 \le \min (14t \text{ ou } 200 \text{ mm}) \implies 57,2 \text{ mm} \le P1 \le 224 \text{ mm} \implies P1 = 100 \text{ mm}.$$

$$3d0 \le P2 \le \min (14t \text{ ou } 200 \text{ mm}) \rightarrow 78 \text{ mm} \le P2 \le 200 \text{ mm} \rightarrow P2 = 160 \text{ mm}.$$

5. Détermination des efforts dans le boulon :

✓ Effort de traction sur les boulons

Ces efforts sont obtenus par la formule : Ftsd= $\frac{Msd.di}{nf*\sum d_i^2}$ avec Msd= 803,35 kN.m

$$d8=50 \text{ mm}$$
, $d7=150 \text{ mm}$, $d6=250 \text{ mm}$, $d5=319 \text{ mm}$, $d4=419 \text{ mm}$, $d3=519 \text{ mm}$

$$d2 = 619 \text{ mm}$$
, $d1 = 719 \text{ mm}$ $\sum d_i^2 = 1,53*10^6 \text{mm}^4$

Il faut vérifier que $N1 \le n$ Fp

Avec n=2 (nombre de boulons par rangés).

$$Fp = 0.7 \times fub \times As$$

Fp : L'effort de précontrainte autorisé dans les boulons

fub: La contrainte de rupture du boulon, vaut 1000MPa pour les boulons H R 10.9.

As: L'aire de la section du boulon

$$N_i = \frac{M.\,d_i}{\sum d_i^2}$$

n. Fp =
$$2 \times 0.7 \times 1000 \times 353 \times 10^{-3} = 494.2$$
 kn.

6. La résistance de l'assemblage sous l'effort tranchant :

Condition à vérifier : Fv,sd ≤ Fv,rd

L'effort tranchant par boulon :

$$Vsd = 771,39 \text{ kN}$$

Fysd =
$$\frac{Vsd}{n_h} = \frac{771.39}{16} = 48.21kN$$

 $Fpcd = 0.7 \times Fub \times As = 0.7 \times 1000 \times 353 \times 10^{-3} = 247.1 \text{ kN}$

7. La résistance au glissement Fy,rd:

Ks=1 Pour des trous avec tolérances nominales normales.

 $\mu = 0.4$ Surfaces nettoyées par Grenaille sable et peint

n = 2 Nombre d'interfaces de frottement ; γms = 1,25 Pour les résistances au glissement à L'ELU.

Il faut que : $F_{vsd} \le F_{vrd}$

Fvrd =
$$\frac{Ks.n.\mu(Fp-0.8Ftr)}{\gamma_{ms}} = \frac{1.2.0.4(247.1-0.8*188,76)}{1.25} = 61,50kN$$

F vsd = 48,21 kn \leq 61,50 kn Donc la condition est vérifiée.

8. Résistance de l'âme du poteau en traction :

Il faut vérifier que : $Ft \le Ft,rd$

$$Ft = fy \times twc \times \frac{beff}{\gamma m0}$$

twc: épaisseur de l'âme du poteau =12 mm

beff = p: Entraxe rangées des boulons =90 mm.

$$Ft,rd = 275 \times \frac{160}{1} \times 19 = 836 \text{ kn}.$$

Avec:

$$F_t = \frac{M}{h - tf}$$
 \Rightarrow $F_t = \frac{803,35}{1000 - 36} = 833,35.$

 $Ft = 833,35 < Ft.Rd = 836 kN \implies Condition vérifiée$.

9. Résistance de l'âme de poteau au cisaillement :

Il faut vérifier que:

$$Fv \leq VRd$$

$$VRd = \frac{0.58 \times fy \times hp \times tw}{1}.$$

Avec : hp : la hauteur de profilé (poteau) hp= 1000 mm.

Tw: épaisseur de l'âme (poteau) tw = 19 mm

$$VRd = \frac{0.58 \times 275 \times 1000 \times 19}{1} \times 10^{-3} = 3030.5$$

L'effort de cisaillement vaut :

$$F_v = \frac{803,35}{1000-36} = 833,35.$$

 $Fv = 833,35 \text{ kN} \le VRd = 3030,5 \text{ kN}$ Condition vérifiée.

10. Résistance de l'âme de poteau en compression

On vérifie : $F_c \le F_{crd}$.

$$F_{c.rd} = \frac{f_y \times t_{wc} \times (1,25 - 0,5 \times \gamma_{m0} \frac{\sigma n}{Fy}) b_{eff}}{\gamma_{m0}}$$

σn : Contrainte normale de compression dans l'âme du poteau.

tfb: Épaisseur semelle poutre HEB 650= 31 mm

tfc: Épaisseur semelle poteau HEB 1000 = 36 mm

tp : Épaisseur platine extrémité = 16 mm

rc: Rayon de raccordement âme semelle de poteau=30 mm

$$\triangleright$$
 beff = tfb + 2tp + 5(tfc + rc).

$$\triangleright$$
 beff = 31 + 2 × 16 + 5(36 + 30) = 393 mm.

$$\sigma n = \frac{VSD}{A} + \frac{Msd}{Wely} = \frac{771,39 \times 10^3}{400 \times 10^2} + \frac{803,35 \times 10^6}{12890 \times 10^3} = 81,60 \text{ mpa}$$

• Calcule F_{crd} :

$$F_{crd} = \frac{275 \times 19 \times (1,25 - 0,5 \times 1 \times \frac{81,60}{275}) \, 393}{1} \times 10^{-3} = 2262,13 \, \text{km}.$$

• Calcule F_c :

$$F_c = \frac{MSd}{beff} = \frac{803,35 \times 10^3}{393} = 2044,15 \text{ kn}$$

 $Fc = 2044,15 \text{ kN} \le Fc.rd = 2262,13 \text{ kN} \implies \text{condition vérifiée}$

➤ Donc l'assemblage poteau-poutre (HEB1000 – HEB650) est vérifié.

B. CAS 2: Moment max

- Moment fléchissant : $M_{sd Max} = 591,007 KN.m$

- Effort tranchant : V_{sd} **comb** = 20,247 KN

1. Calcul de la soudure poutre HEB650

On fixe le cordon de soudure a= 10 mm.

$$L_1 = bs = 300mm$$

$$L_2 = \frac{bs - tw}{2} = 142m$$

$$L3 = h - 2tf = 588 \text{ mm}$$

$$As = \sum li.ai = (2L_1 + 4 L_2 + 2 L_3)a = 23440mm^2$$

Is/yy=
$$2[(a.L_1.d_1^2) + (2 a.L_2.d_2^2)]$$

Avec:

$$d1 = h/2 + a/2 = 330 \text{ mm}$$

$$d2 = h/2 - tf - a/2 = 289 \text{ mm}$$

$$\rightarrow$$
 Is/yy = 1127,799*10⁶mm⁴

a- La semelle

• La nuance d'acier utilisé est S275 donc γ mw = 1,3, fus = 430, β w = 0,85

$$af \ge tf\left(\frac{fy}{\gamma_{m0}}\right)\left(\frac{\beta_w * \gamma_{m2}}{fus\sqrt{2}}\right)$$

af
$$\geq 31 \left(\frac{275}{1.1}\right) \left(\frac{0.85 \times 1.3}{430 \times \sqrt{2}}\right)$$

af ≥14,08 mm ... on prend **14mm**

c- L'âme

$$aw \ge tw \left(\frac{fy}{\gamma_{m0}}\right) \left(\frac{\beta_w * \gamma_{m2}}{fus\sqrt{2}}\right)$$

$$aw \ge 16 \left(\frac{275}{1.1}\right) \left(\frac{0.85 \times 1.3}{430 \times \sqrt{2}}\right)$$

 $aw \ge 7,26 \text{ mm} \dots \text{ on prend } 7 \text{ mm}$

2. Vérification de la résistance :

o Effet de Nsd et Vsd :

$$\sqrt{2\left(\frac{Nsd}{\Sigma \text{li.ai}}\right)^2 + 3\left(\frac{Vsd}{2l_3.a}\right)^2} \le \frac{Fus}{\beta_w * \gamma_{mw}} \implies 2,89 \text{ MPa} < 389,14 \text{ MPa}$$

o Effet de Nsd et Msd:

$$\sqrt{2} \left(\frac{Nsd}{\sum \text{li.ai}} + \frac{Msd}{\text{Is/yy}} * \frac{h}{2} \right) \le \frac{Fus}{\beta_w * \gamma_{mw}} \implies 240,86 \text{ MPa} < 389,14 \text{ MPa}$$

3. Choix de diamètre du boulon

Epaisseur de la platine : ép = 16 mm

4.
$$t \le 10 \text{ mm d} = (12; 14) \text{ mm}$$

5.
$$10 \le t \le 25 \text{ mm d} = (16; 20; 24) \text{ mm}$$

6.
$$t \ge 25 \text{ mm d} = (24; 27; 30) \text{ mm}$$

On à l'épaisseur de la platine t = 16 mm alors on prend $\emptyset = 16$ mm

4. Détermination du nombre de boulons nécessaires

Condition de la résistance au cisaillement des boulons :

- Assemblage poteau-platine (boulonnage):
- ✓ Disposition constructive :
- Boulons : On choisit 12 boulons HR de diamètre 20 mm (M20) et de classe HR 10.9
 M20→ d=20mm → d₀=22 mm → As =245 mm²
- ✓ Disposition constructive :

$$1,2d0 \le e1 \le \max (12t \text{ ou } 150 \text{ mm}) \rightarrow 26,4 \text{ mm} \le e1 \le 192 \text{mm} \rightarrow e1 = 50 \text{ mm}.$$

$$1,2d0 \le e2 \le \max (12t \text{ ou } 150 \text{ mm}) \implies 33 \text{ mm} \le e2 \le 192 \text{ mm} \implies e2 = 60 \text{ mm}.$$

$$2.2d0 \le P1 \le \min (14t \text{ ou } 200 \text{ mm}) \implies 48.4 \text{ mm} \le P1 \le 224 \text{ mm} \implies P1 = 100 \text{ mm}.$$

$$3d0 \le P2 \le \min (14t \text{ ou } 200 \text{ mm}) \implies 66 \text{ mm} \le P2 \le 200 \text{ mm} \implies P2 = 120 \text{ mm}.$$

5. Détermination des efforts dans le boulon :

✓ Effort de traction sur les boulons

Ces efforts sont obtenus par la formule : Ftsd= $\frac{Msd.di}{nf*\Sigma d_i^2}$ avec Msd= 591,007kN.m

$$d6=50 \text{ mm}$$
, $d5=150 \text{ mm}$, $d4=219 \text{ mm}$, $d3=319 \text{ mm}$

$$d2 = 419 \text{ mm}$$
, $d1 = 519 \text{ mm}$ $\sum d_i^2 = 6.20 \times 10^5 \text{mm}^4$

Il faut vérifier que $N1 \le n$ Fp

Avec n=2 (nombre de boulons par rangés).

$$Fp = 0.7 \times fub \times As$$

Fp: L'effort de précontrainte autorisé dans les boulons

fub: La contrainte de rupture du boulon, vaut 1000MPa pour les boulons H R 10.9.

As: L'aire de la section du boulon

$$N_i = \frac{M \cdot d_i}{\sum d_i^2}$$

n. Fp =
$$2 \times 0.7 \times 1000 \times 353 \times 10^{-3} = 343\,$$
 kn.

Fm1 =
$$\frac{M \times d1}{\sum d_i^2}$$
 = $\frac{591,007 \times 519}{2 \times 6,20 \times 10^5}$ = 247,37 kn \leq 343 kncondition vérifiée.

6. La résistance de l'assemblage sous l'effort tranchant :

Condition à vérifier : $Fv,sd \le Fv,rd$

L'effort tranchant par boulon :

$$Vsd = 20,247 \text{ kN}$$

Fvsd =
$$\frac{Vsd}{n_b} = \frac{20,247}{12} = 1,69kN$$

Fpcd =
$$0.7*Fub*As = 0.7*1000*245*\mathbf{10}^{-3} = 171,5 \text{ kN}.$$

7. La résistance au glissement Fy,rd :

Ks=1 Pour des trous avec tolérances nominales normales.

 $\mu = 0.4$ Surfaces nettoyées par Grenaille sable et peint

n = 2 Nombre d'interfaces de frottement ; γms = 1,25 Pour les résistances au glissement à L'ELU.

Il faut que : $F_{vsd} \le F_{vrd}$

Fvrd =
$$\frac{Ks.n.\mu(Fp-0.8Ftr)}{\gamma_{ms}} = \frac{1.2.0.4(171.5-0.8*247)}{1.25} = 16,70kN$$

F vsd = $1,69 \text{ kn} \le 16,70 \text{ kn} \dots$ Donc la condition est vérifiée.

8. Résistance de l'âme du poteau en traction :

Il faut vérifier que : Ft ≤ Ft,rd

$$Ft = fy \times twc \times \frac{beff}{\gamma m0}$$

twc : épaisseur de l'âme du poteau =12 mm

beff = p: Entraxe rangées des boulons =90 mm.

Ft,rd =
$$275 \times \frac{120}{1} \times 19 = 627 \text{ kn}$$
.

Avec:

$$F_t = \frac{M}{h - tf}$$
 \Rightarrow $F_t = \frac{591,007}{1000 - 36} = 613,077.$

 $Ft = 613,077 < Ft.Rd = 627 kN \implies Condition vérifiée.$

9. Résistance de l'âme de poteau au cisaillement :

Il faut vérifier que:

$$Fv \le VRd$$

$$VRd = \frac{0.58 \times fy \times hp \times tw}{1}.$$

Avec : hp : la hauteur de profilé (poteau) hp= 1000 mm.

Tw: épaisseur de l'âme (poteau) tw = 19 mm

$$VRd = \frac{0.58 \times 275 \times 1000 \times 19}{1} \times 10^{-3} = 3030.5$$

L'effort de cisaillement vaut :

$$F_v = \frac{591,007}{1000-36} = 613,077.$$

 $Fv = 613,077 \text{ kN} \le VRd = 3030,5 \text{ kN}$ Condition vérifiée.

10. Résistance de l'âme de poteau en compression

On vérifie : $F_c \leq F_{crd}$.

$$F_{\text{c.rd}} = \frac{f_y \times t_{wc} \times (1,25 - 0,5.\gamma_{m0_{fy}^{\sigma n}}) b_{eff}}{\gamma_{m0}}$$

σn: Contrainte normale de compression dans l'âme du poteau.

tfb: Épaisseur semelle poutre HEB 650= 31 mm

tfc: Épaisseur semelle poteau HEB 1000 = 36 mm

tp : Épaisseur platine extrémité = 16 mm

rc: Rayon de raccordement âme semelle de poteau=30 mm

$$\rightarrow$$
 beff = tfb + 2tp + 5(tfc + rc).

$$\rightarrow$$
 beff = $31 + 2 \times 16 + 5(36 + 30) = 393$ mm.

$$\sigma n = \frac{VSD}{A} + \frac{Msd}{Wely} = \frac{20,247 \times 10^3}{400 \times 10^2} + \frac{591,007 \times 10^6}{12890 \times 10^3} = 46,36 \text{mpa}$$

• Calcule F_{crd} :

$$F_{crd} = \frac{{}^{275\times19\times(1,25-0,5\times1\times\frac{46,36}{275})}\,393}{1} \times 10^{-3} = 2393,696 \; \mathrm{kn} \; .$$

• Calcule F_c :

$$F_c = \frac{MSd}{beff} = \frac{591,007 \times 10^3}{393} = 1503,83 \text{ kn}$$

 $Fc = 1503,83 \text{ kN} \le Fc.rd = 2393,696\text{kN} \implies \text{condition vérifiée}$

Donc l'assemblage poteau-poutre (HEB1000 – HEB650) est vérifié, pour 2em cas.

VI.2.1.3 Vérification de l'assemblage poteau-poutre (HEB 800 – IPE 450)

On doit fixer la poutre à l'aide des boulons qui lient la plaque en platine et le poteau, la poutre doit être soudée sur la plaque. On a une poutre IPE450 et un poteau HEB800 leur caractéristique se résume dont le tableau suivant :

Tableau VI. 3: Caractéristiques géométriques des profilés

| Profilé | h(mm) | b (mm) | $t_f(mm)$ | $t_w(mm)$ | $A(cm^2)$ |
|---------|-------|------------------------|-----------|-----------|-----------|
| HEB800 | 800 | 300 | 33 | 17.5 | 334.2 |
| IPE 450 | 650 | 190 | 14.6 | 9.4 | 98.2 |

VI.2.1.4 Efforts sollicitant

A. CAS 1: VSd max et MSd comb

- Moment fléchissant : $M_{sd} = 117.25 \text{ KN.m}$

- Effort tranchant : $V_{sd} = 36.97 \text{ KN}$

1. Calcul de la soudure poutre IPE 450

On fixe le cordon de soudure a= 10 mm.

$$L_1 = bs = 190 \text{ mm}$$

$$L_2 = \frac{bs - tw}{2} = 36.12mm$$

$$L3 = h - 2tf = 620.8 \text{ mm}$$

$$As = \sum li.ai = (2L_1 + 4 L_2 + 2 L_3)a = 17660.8 \text{ mm}^2$$

$$Is/yy=2[(a.L_1.d_1^2)+(2 a.L_2.d_2^2)]$$



$$d1 = h/2 + a/2 = 330 \text{ mm}$$

$$d2 = h/2 - tf - a/2 = 305.4 \text{ mm}$$

$$\rightarrow$$
 Is/yy = 548.57*10⁶mm⁴

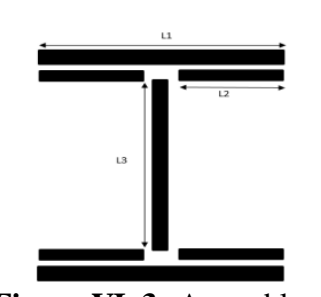


Figure VI. 3: Assemblage soudé poutre- platine.

• Calcule de la soudure poutre IPE 450.

a- La semelle

• La nuance d'acier utilisé est S275 donc γ mw = 1,3, fus = 430, β w = 0,85

$$af \ge tf\left(\frac{fy}{\gamma_{m0}}\right)\left(\frac{\beta_w * \gamma_{m2}}{fus\sqrt{2}}\right)$$

af
$$\geq 14.6 \left(\frac{275}{1,1}\right) \left(\frac{0.85 \times 1.3}{430 \times \sqrt{2}}\right)$$

 $af \ge 6.63 \text{ mm} \dots \text{ on prend } 7 \text{ mm}$

d- L'âme

$$aw \ge tw \left(\frac{fy}{\gamma_{m0}}\right) \left(\frac{\beta_w * \gamma_{m2}}{fus\sqrt{2}}\right)$$

$$aw \ge 9.4 \left(\frac{275}{1,1}\right) \left(\frac{0.85 \times 1.3}{430 \times \sqrt{2}}\right)$$

 $aw \ge 4,27 \text{ } mm \dots \text{ on prend } 5 \text{ } mm$

2. Vérification de la résistance :

o Effet de Nsd et Vsd :

$$\sqrt{2\left(\frac{Nsd}{\sum \text{li.ai}}\right)^2 + 3\left(\frac{Vsd}{2l_3.a}\right)^2} \le \frac{Fus}{\beta_{w}*\gamma_{mw}} \implies 113,61 \text{ MPa} < 389,14 \text{ MPa}$$

o Effet de **Nsd** et M**sd**:

$$\sqrt{2}\left(\frac{Nsd}{\sum \text{li.ai}} + \frac{Msd}{\text{ls/yy}} * \frac{h}{2}\right) \le \frac{Fus}{\beta_w * \gamma_{mw}} \implies 295, 39 \text{ MPa} < 389,14 \text{ MPa}$$

3. Choix de diamètre du boulon

Epaisseur de la platine : ép = 16 mm

$$t \le 10 \text{ mm d} = (12; 14) \text{ mm}$$

$$10 \le t \le 25 \text{ mm d} = (16; 20; 24) \text{ mm}$$

 $t \ge 25 \text{ mm d} = (24; 27; 30) \text{ mm}$

On à l'épaisseur de la platine t = 16 mm alors on prend Ø = 16 mm

4. Détermination du nombre de boulons nécessaires

Condition de la résistance au cisaillement des boulons :

- Assemblage poteau-platine (boulonnage):
- ✓ Disposition constructive :
 - Boulons : On choisit 14 boulons HR de diamètre 16mm (M16) et de classe HR
 10.9

 $M16 \rightarrow d=16mm \rightarrow d_0=18 mm \rightarrow As =157mm^2$

✓ Disposition constructive :

 $1,2d0 \le e1 \le \max (12t \text{ ou } 150 \text{ mm})$ $\Rightarrow 21,6 \text{ mm} \le e1 \le 192 \text{mm}$ $\Rightarrow e1 = 55 \text{ mm}.$ $1,2d0 \le e2 \le \max (12t \text{ ou } 150 \text{ mm})$ $\Rightarrow 21.6 \text{ mm} \le e2 \le 192 \text{ mm}$ $\Rightarrow e2 = 50 \text{ mm}.$ $2,2d0 \le P1 \le \min (14t \text{ ou } 200 \text{ mm})$ $\Rightarrow 39.6 \text{ mm} \le P1 \le 224 \text{ mm}$ $\Rightarrow P1 = 90 \text{ mm}.$

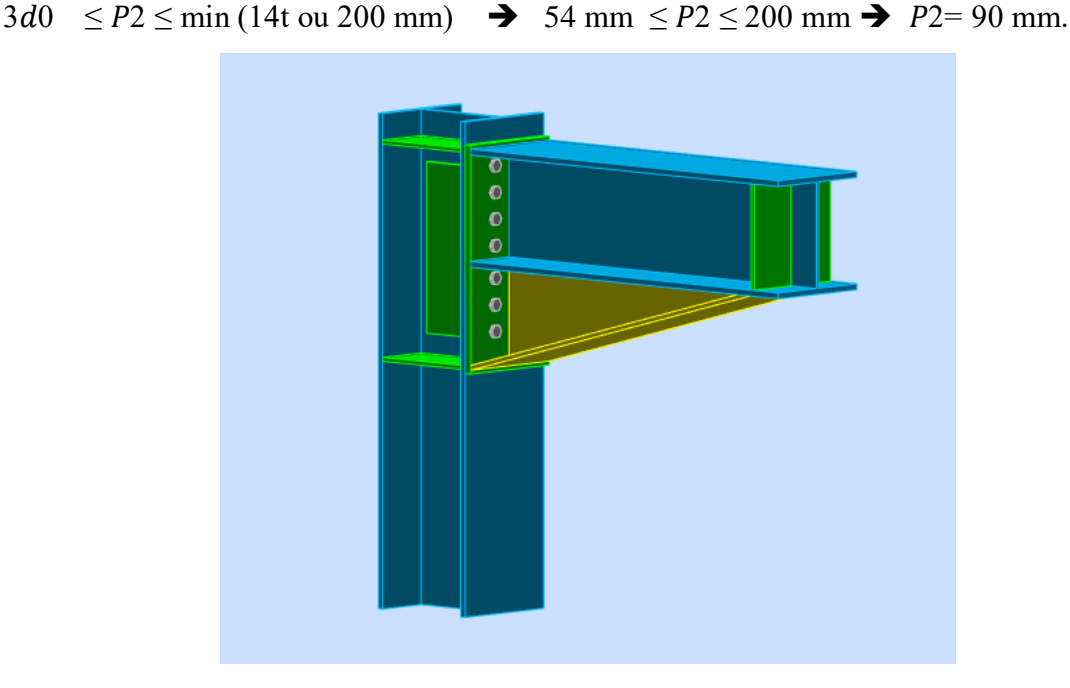


Figure VI. 4: Assemblage poteau – poutre.

6. Détermination des efforts dans le boulon :

✓ Effort de traction sur les boulons

Ces efforts sont obtenus par la formule : Ftsd= $\frac{Msd.di}{nf*\Sigma d_i^2}$ avec Msd= 117.25 kN.m D7= 47.7 mm , d6= 137.7 mm , d5= 227.7 mm , d4 = 317.7 mm , d3= 407.7 mm , d2 = 497.7 mm

d1 = 587.7 mm, $\sum d_i^2 = 9.33*10^5 \text{ mm}^4$

Il faut vérifier que $N1 \le n$ Fp

Avec n=2 (nombre de boulons par rangés).

 $Fp = 0.7 \times fub \times As$

Fp: L'effort de précontrainte autorisé dans les boulons

fub : La contrainte de rupture du boulon, vaut 1000MPa pour les boulons H R 10.9 .

As: L'aire de la section du boulon

$$N_i = \frac{M.\,d_i}{\sum d_i^2}$$

n. $Fp = 2 \times 0.7 \times 1000 \times 157 \times 10^{-3} = 219.8 \text{ kn.}$

Fm1 =
$$\frac{M \times d1}{\sum d_i^2}$$
 = $\frac{117.25 \times 587.7}{2 \times 9.33 \times 10^5}$ = 36,93 kn \leq 219.8 kncondition vérifiée

7. La résistance de l'assemblage sous l'effort tranchant :

Condition à vérifier : Fv,sd ≤ Fv,rd

L'effort tranchant par boulon :

Vsd = 36.97 kN

$$Fvsd = \frac{Vsd}{n_b} = \frac{36.97}{14} = 2.64 \ kN$$

 $Fpcd = 0.7 \times Fub \times As = 0.7 \times 1000 \times 157 \times 10^{-3} = 109.9 \text{ kN}$

8. La résistance au glissement Fv,rd :

Ks=1 Pour des trous avec tolérances nominales normales.

 $\mu = 0.3$ Surfaces nettoyées par Grenaille sable et peint

n = 2 Nombre d'interfaces de frottement ; $\gamma ms = 1,25$ Pour les résistances au glissement à L'ELU.

Il faut que : $F_{vsd} \le F_{vrd}$

Fvrd =
$$\frac{Ks.n.\mu(Fp-0.8Ftr)}{\gamma_{ms}} = \frac{1.2.0.3(109.9-0.8*36.93)}{1.25} = 38,57kN$$

F vsd = 2,64 kn $\leq 38,57$ kn Donc la condition est vérifiée.

9. Résistance de l'âme du poteau en traction :

Il faut vérifier que : Ft ≤ Ft,rd

$$Ft = fy \times twc \times \frac{beff}{\gamma m0}$$

twc: épaisseur de l'âme du poteau =17.5 mm

beff = p: Entraxe rangées des boulons =90 mm.

Ft,rd =
$$275 \times \frac{160}{1} \times 17.5 = 770 \text{ kn}$$
.

Avec:

$$F_t = \frac{M}{h - tf}$$
 \Rightarrow $F_t = \frac{117.25}{1000 - 33} = 121.25.$

Ft = 121.25 < Ft.Rd = 770 kN ⇒ Condition vérifiée.

10. Résistance de l'âme de poteau au cisaillement :

Il faut vérifier que :

$$Fv \le FVRd$$

$$FVRd = \frac{0.58 \times fy \times hp \times tw}{1}.$$

Avec : hp : la hauteur de profilé (poteau) hp= 1000 mm.

Tw: épaisseur de l'âme (poteau) tw = 19 mm

$$FVRd = \frac{0.58 \times 275 \times 1000 \times 17.5}{1} \times 10^{-3} = 4090,625$$

L'effort de cisaillement vaut :

$$F_v = \frac{117.25}{1000-33} = 121.25.$$

 $Fv = 121.25 \text{ kN} \le VRd = 4090,625 \text{ kN}$ Condition vérifiée.

11. Résistance de l'âme de poteau en compression

On vérifie : $F_c \leq F_{crd}$.

$$F_{c.rd} = \frac{f_y \times t_{wc} \times (1,25 - 0,5 \times \gamma_{m0} \frac{\sigma n}{Fy}) b_{eff}}{\gamma_{m0}}$$

σn: Contrainte normale de compression dans l'âme du poteau.

tfb: Épaisseur semelle poutre IPE 450 = 14,6 mm

tfc: Épaisseur semelle poteau HEB 800 = 33 mm

tp : Épaisseur platine extrémité = 16 mm

rc : Rayon de raccordement âme semelle de poteau=30 mm

$$\rightarrow$$
 beff = tfb + 2tp + 5(tfc + rc).

$$\rightarrow$$
 beff = 31 + 2 × 16 + 5(33 + 30) = 361,6mm.

$$\sigma n = \frac{VSD}{A} + \frac{Msd}{Wely} = \frac{36,97 \times 10^3}{334,2 \times 10^2} + \frac{117,25 \times 10^6}{8977 \times 10^3} = 14,17 \text{ mpa}$$

• Calcule F_{crd} :

$$F_{crd} = \frac{275 \times 17,5 \times (1,25 - 0,5 \times 1 \times \frac{14,17}{275}) \ 361,6}{1} \times 10^{-3} = 2130,42 \ \text{kn} \ .$$

• Calcule F_c :

$$\mathbf{F_c} = \frac{MSd}{beff} = \frac{117,25 \times 10^3}{361,6} = 324,25 \text{ kn}$$

Fc = 324,25 $kN \le Fc.rd = 2130,42$ $kN \implies$ condition vérifiée

Donc l'assemblage poteau-poutre (HEB800 – IPE450) est vérifié.

Remarque:

Pour 2em cas on a $(msd_{max}=130 \text{ kn.m/vsd cmob}=31,12\text{kn})$ donc on prend meme asemblage de 1^{er} cas .

VI.2.1.5 <u>Vérification de l'assemblage poteau-poutre secondaire (HEB 800 – IPE 330)</u>

On va traiter cette assemblage par logiciel idea statica :

On doit fixer la poutre à l'aide des boulons qui lient la plaque en platine et le poteau, la poutre doit être soudée sur la plaque. On a une poutre IPE330 et un poteau HEB800.

Et on prend le cas la plus de favorable VSdy max = 255,0886kn / MSdz comb = 143,48 kn.m

Sections transversales

| Nom | Matériau |
|------------|----------|
| 3 - HEB800 | S 275 |
| 4 - IPE330 | S 275 |

Boulons

| Nom | Diamètre [mm] | f_y [MPa] | f _u [MPa] | Superficie brute [mm ²] | |
|---------|------------------|-------------------------------|-------------------------|-------------------------------------|-----|
| M18 8.8 | 18 | 640,0 | 800,0 | | 254 |

Chargements (efforts en équilibre)

| Nom | Élément | N [kN] | Vy [kN] | Vz [kN] | Mx [kNm] | My [kNm] | Mz [kNm] |
|-----|-----------|-----------|-------------------|------------|--------------------|--------------------|-------------|
| LE1 | C / Début | 0,0 | 0,0 | 0,0 | 0,0 | 0,0 | 0,0 |
| | C / Fin | 0,0 | 0,0 | 0,0 | 0,0 | 0,0 | 0,0 |
| | B / Fin | 0,0 | 255,1 | 0,0 | 0,0 | 0,0 | 143,5 |

Efforts non équilibrés

| Nom | X | Y | Z | Mx | My | Mz |
|-----|------|-------|----------|-------|-------|-----------|
| | [kN] | [kN] | [kN] | [kNm] | [kNm] | [kNm] |
| LE1 | 0,0 | 255,1 | 0,0 | 0,0 | 0,0 | 143,5 |

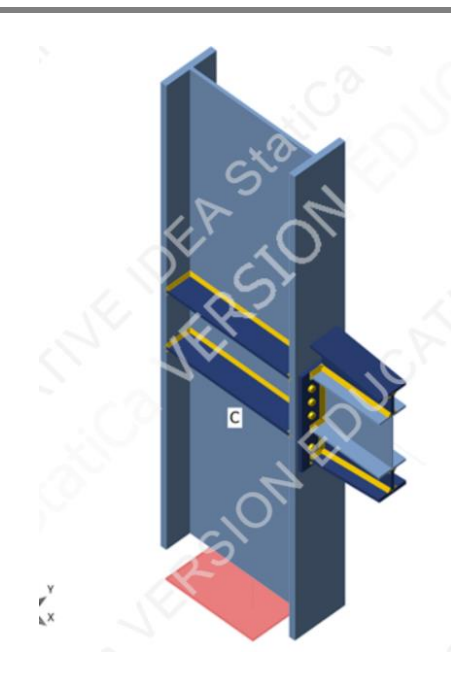


Figure VI. 5: Assemblage poteau – poutre.

Vérification

Résumé

| Nom | Valeur | | Résultat de la vérification |
|-----------|-------------|----|-----------------------------|
| Analyse | 100,0% | OK | |
| Platines | 4,0 < 5,0% | OK | |
| Boulons | 94,7 < 100% | OK | |
| Soudures | 98,3 < 100% | OK | |
| Voilement | 20,01 | | |

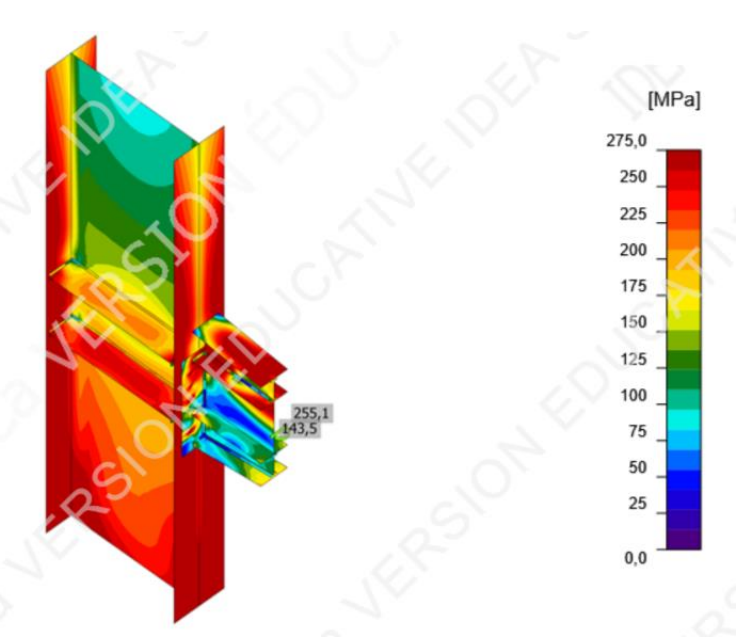


Figure VI. 6: Contrainte èquivalente.

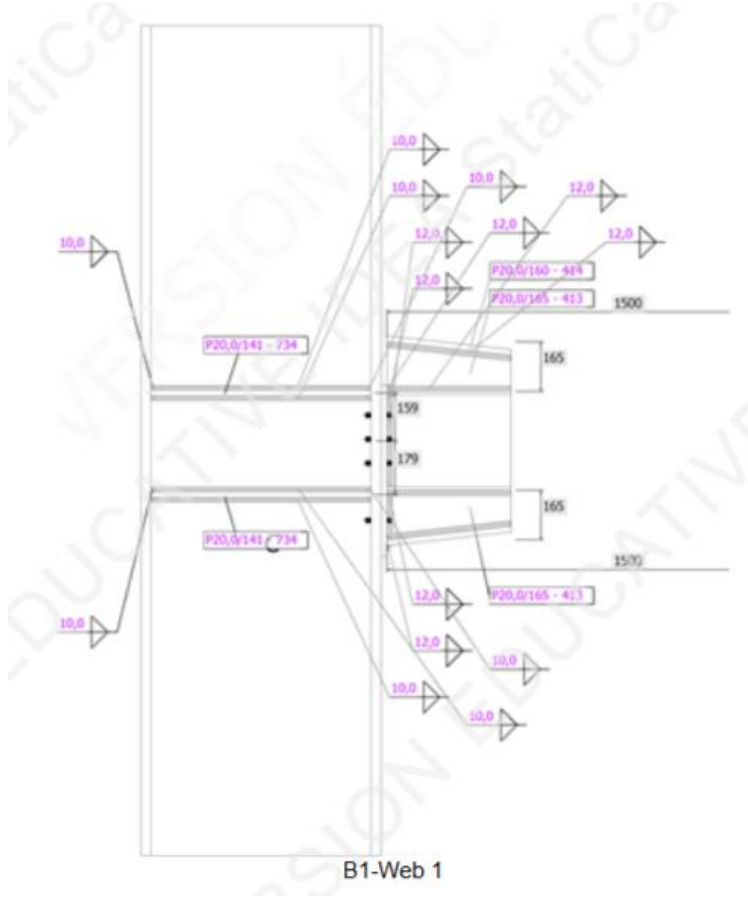


Figure VI. 7: Distribution des boulons sur la platine d'extrémité.

Remarque autres detaille était sur (annexe1).

VI.2.2 Assemblage poutre HEB650 -solive IPE330

On va traiter cet assemblage manuellement.

VI.2.2.1 <u>Assemblages par double cornière</u>

L'assemblage est réalisé à l'aide de deux cornières qui relie l'extrémité de la solive en IPE330 avec l'âme de la poutre en HEB650, avec une file verticale de deux boulons

VI.2.2.2 Caractéristiques géométriques des profilés et données mécaniques

Tableau VI. 4: Les caractéristiques du profilé (HEB650 – **IPE**330)

| Profilé | h(mm) | b (mm) | tf(mm) | tw(mm) | (c m2) |
|---------|----------------|------------------------|--------|--------|----------------|
| HEB650 | 650 | 300 | 31 | 16 | 286.3 |
| IPE330 | 330 | 160 | 11.5 | 7.5 | 62.61 |

1. Choix de diamètre du boulon :

Cornière 200×200×15mm

Epaisseur de la corniére : ép = 15 mm

- $t \le 10 \text{ mm d} = (12; 14) \text{ mm}$
- $10 \le t \le 25 \text{ mm d} = (16; 20; 24) \text{ mm}$
- $t \ge 25 \text{ mm d} = (24; 27; 30) \text{ mm}$

On à l'épaisseur de la cornière t = 15 mm alors on prend $\emptyset = 20$ mm, classe 10.9

2. Le choix des boulons

On choisit 4 boulons de 20mm de diamètre (Ø20) de classe 10.9

$$d0 = d + 2mm = 22mm$$

3. Distance entre axe des boulons :

1.2 d
$$0 \le e \le max(12 t,150 mm) 26.4 mm \le e1 \le 150 mm$$

2 .2 d 0
$$\leq$$
 p \leq min(14 t,200 mm) \Rightarrow 48.4 mm \leq p1 \leq 140 mm

1 .5 d
$$0 \le e \le max(12 t,150 mm)$$
 33 mm $\le e 2 \le 150 mm$

$$3 d 0 \le p \le min(14 t,200 mm) 66 mm \le p2 \le 140 mm$$

$$e1 = 35 \text{ mm}$$
; $p1 = 60 \text{mm}$

$$e2 = 65 \text{mm}$$
; $p2 = 80 \text{ mm}$

VI.2.2.3 <u>Vérification de la résistance des boulons au efforts combinés de traction et de cisaillement</u>

1 er Cas:

Effort tranchant: Vsd = 106.87 KN

Est moment M0 (existe à cause de l'excentricité e2), c'est ce qui rend l'effort Ft,sd présente

Donc il faut vérifier que :
$$\frac{\text{fv,s.}d}{\text{fv,r.}d} + \frac{\text{ft,s}d}{1.4 \times \text{ft,rd}} \le 1$$

$$F_{v.rd} = \frac{0.5 \times 1000 \times 245}{1.25} = 98 \text{ km}$$

$$F_{v.sd} = \frac{V_{sd}}{n} = \frac{106.87}{4} = 26.71$$

$$M0 = 0.5 \times Vsd \times e = 0.5 \times 106.87 \times 0.080 = 4.27 \text{ KN.m}$$

$$F_{t.sd} = \frac{M_{0 \times P_1}}{\text{p1 2}} = \frac{4.27 \times 0.06}{0.06^2} = 71.16 \text{ KN}$$

$$F_{t.rd} = \frac{0.9 \times As \times F_{ub}}{\gamma_{mb}} = \frac{0.9 \times 245 \times 1000}{1.25} \times 10^{-3} = 176.40 \text{ KN}$$

$$\frac{26.71}{98} + \frac{71.16}{1.4 \times 176.40} = 0.56 \le 1...$$
condition vérifiée

- Vérification de la pression diamétrale

Il faut vérifier que : $F_{vsd} \le F_{brd}$

$$F_{brd} = \frac{2.5 \,\alpha \times \text{fu} \times \text{d} \times t}{\gamma_{mb}}$$

 F_{brd} : résistance de calcul à la pression diamétrale par boulon

 F_{vsd} : Effort de cisaillement de calcul par boulon

 F_u : La résistance à la traction des cornières

$$\alpha = \min \left[\frac{e1}{3 \times d0} \cdot \frac{p1}{3 \times d0} - \frac{1}{4} \cdot \frac{F_{ub}}{F_{u}} ou \ 1 \right] = \min (0.53; 0.65; 2.32; 1) = 0.53$$

$$F_{brd} = \frac{2.5 \times 0.53 \times 430 \times 20 \times 15}{1.25} \times 10^{-3} = 136.74 \text{ kn}$$

$$F_{v.sd} = \frac{V_{sd}}{n} = \frac{106.87}{4} = 26.71 \le F_{brd} = 136,74 \text{ kN Donc la pression diamétrale est vérifiée.}$$

2 em Cas :

Effort tranchant: Vsd = 74.33 KN

Est moment M0 (existe à cause de l'excentricité e2), c'est ce qui rend l'effort Ft,sd présente

Donc il faut vérifier que :
$$\frac{\text{fv,s.}d}{\text{fv,r.}d} + \frac{\text{ft,s}d}{1.4 \times \text{ft,rd}} \le 1$$

$$F_{v.rd} = \frac{0.5 \times 1000 \times 245}{1.25} = 98 \text{ km}$$

$$F_{v.sd} = \frac{V_{sd}}{n} = \frac{74.33}{4} = 18.58$$

$$M0 = 0.5 \times Vsd \times e = 0.5 \times 74.33 \times 0.080 = 2.97 \text{ KN.m}$$

$$F_{t.sd} = \frac{M_{0 \times P_1}}{\text{p1 2}} = \frac{2.97 \times 0.06}{0.06^2} = 49.5 \text{ KN}$$

$$F_{t.rd} = \frac{0.9 \times As \times F_{ub}}{\gamma_{mb}} = \frac{0.9 \times 245 \times 1000}{1.25} \times 10^{-3} = 176.40 \text{ KN}$$

$$\frac{18.58}{98} + \frac{49.5}{1.4 \times 176.40} = 0.39 \le 1 \dots$$
 condition vérifiée

- Vérification de la pression diamétrale

Il faut vérifier que : $F_{vsd} \le F_{brd}$

$$F_{brd} = \frac{2.5 \,\alpha \times \text{fu} \times \text{d} \times t}{\gamma_{mb}}$$

$$F_{brd} = \frac{2.5 \times 0.53 \times 430 \times 20 \times 15}{1.25} \times 10^{-3} = 136.74 \text{ km}$$

$$F_{v.sd} = \frac{V_{sd}}{n} = \frac{74.33}{4} = 18.58 \le F_{brd} = 136,74 \text{ kN}$$
 Donc la pression diamétrale est vérifiée

VI.2.3 Assemblages poteau – poteau

On prend:

$$Vsd = 381.6553 \text{ KN}$$
 ; $Msd = 231.539 \text{ KN}$

Dans ce type d'assemblage on distingue 2 cas :

VI.2.3.1 Poteau HEB1000- poteau HEB1000

On va traiter cet assemblage manuellement

1. Assemblage bout à bout

On doit fixer le poteau à l'aide des boulons qui lient la platine et l'autre poteau,le poteau doit être soudé sur la plaque

2. Caractéristiques géométriques des profilés et données mécaniques

Tableau VI. 5: Les caractéristiques du profilé (HEB1000)

| Profilé | h(mm) | b(mm) | $t_f(mm)$ | $t_w(mm)$ | $A(cm^2)$ |
|---------|-------|-------|-----------|-----------|-----------|
| HEB1000 | 1000 | 300 | 36 | 19 | 400 |

b-Boulon

• Eclisse semelle : (8 boulons)

L'assemblage est réalisé avec deux files de 8 boulons Ø27 de classe 8.8 ordinaire.

• Eclisse âme: (12 boulons)

L'assemblage est réalisé avec deux files de 12 boulons Ø27 de classe 8.8 ordinaire.

3. Disposition constructive des boulons

d0 = d + 3mm = 30 mm

$$1,2d0 \le e1 \le \max (12t \text{ ou } 150 \text{ mm}) \rightarrow 36 \text{ mm} \le e1 \le 312 \text{ mm} \rightarrow e1 = 60 \text{ mm}.$$

$$1,2d0 \le e2 \le \max (12t \text{ ou } 150 \text{ mm}) \rightarrow 45 \text{ mm} \le e2 \le 364 \text{ mm} \rightarrow e2 = 60 \text{ mm}.$$

$$2,2d0 \le P1 \le \min (14t \text{ ou } 200 \text{ mm}) \implies 66 \text{ mm} \le P1 \le 312 \text{ mm} \implies P1 = 100 \text{ mm}.$$

$$3d0 \le P2 \le \min (14t \text{ ou } 200 \text{ mm}) \implies 90 \text{ mm} \le P2 \le 200 \text{ mm} \implies P2 = 100 \text{ mm}.$$

D'après la disposition constructive on a choisit une platine de 900×300×26

4. Détermination des efforts dans les boulons

Nous considérons uniquement les boulons tendus

$$Ni = \frac{M d_i}{\sum di2 \ i=1} \le nFp = 3 \times 0.7 \times fup \times As$$
 ; Avec n=3 (nombre de boulons par rangés).

Fp : L'effort de précontrainte autorisé dans les boulons

fub: La contrainte de rupture du boulon, vaut 800 MPa pour les boulons 8.8 ordinaire .

As: L'aire de la section du boulon

- Position de l'axe neutre :

$$X = tf \sqrt{\frac{b}{t_w}} = 36 \times \sqrt{\frac{300}{19}} = 143.05 \text{ mm}$$

d1=60mm; d2=160mm; d3=260mm; d4=380mm; d5=480mm; d6=580mm

$$\sum d_i^2 = d_1^2 + d_2^2 + d_3^2 + d_4^2 + d_5^2 + d_6^2 = 808000 \ mm^2$$

L'effort de précontrainte autorisé dans les boulons : n. $Fp = 3 \times 0.7 \times 800 \times 459 \times 10-3 = 771.12 \text{ Kn}$

$$Ni = \frac{M d_i}{\sum di2 \ i=1} = \frac{231.539 \times 580 \times 10^3}{8.08 \times 10^5} = 166.203 \le \text{ nFp} = 771.12 \text{ kN} \implies \text{condition vérifiée}$$

5. La résistance de l'assemblage sous l'effort tranchant

Condition à vérifier : Fv,sd≤ Fv,rd

• L'effort tranchant par boulon :Vsd = 381.6553 kN

$$Fv,sd = \frac{Vsd}{n} = \frac{381.6553}{24} = 15.90 \text{ KN}$$

• La résistance au glissement Fvrd

$$Fvrd = \frac{Ks \times Fp \times n \times \mu}{\gamma Ms}$$

Ks=1 Pour des trous avec tolérances nominales normales.

 $\mu=0,3$ Surfaces nettoyées par brassage métallique ou à la flamme avec enlèvement de la rouille.

n = 2 Nombre d'interfaces de frottement;

 $\gamma ms = 1,25$ Pour les résistances au glissement à L'ELU Fp= 129,6 kN la résistance du boulon.

Fp= 257.04 kN la résistance du boulon.

$$Fvrd = \frac{1 \times 2 \times 257.04 \times 0.3}{1.25} = 411.264 \text{ kN}$$

Fv,sd = 15.90 Kn ≤ Fv,rd = 411.264 kN Donc la condition est vérifiée

6. Résistance de l'âme du poteau en traction

Il faut vérifier que:

$$f_t \leq f_{trd}$$

$$f_t = f_y \times f_{we} \times \frac{b_{eff}}{\gamma M0}$$

 t_{we} : épaisseur de l'âme du poteau = 19 mm

 b_{eff} = p: Entraxe rangées boulons = mm.

$$F_{trd} = 275 \times 19 \times \frac{100}{1} \times 10^{-3} = 836$$
 Kn

Avec:
$$F_t = \frac{M}{h - t_f}$$
; h = 1000 mm; tf = 36 mm

Donc:

$$F_t = \frac{794.06}{1 - 0.036} \implies F_t = 823 \text{ kN}$$

$$F_t = 823 \text{ kN} < F_{trd} = 836 \text{ kN} \implies \text{Condition vérifiée}$$

7. Résistance de l'âme de poteau en compression

On vérifie : $F_c \leq F_{crd}$

$$F_{crd} = \frac{fy \times twc \times \left(1,25 - 0,5. \text{ } \gamma m0 \frac{\sigma n}{f_y}\right) b_{eff}}{\gamma m0}$$

 σn : Contrainte normale de compression dans l'âme du poteau. 61.74

tp : Épaisseur semelle poteau HEB1000 = 36 mm.

tp: Épaisseur semelle 2 ème poteau HEB1000 = 36 mm

tfc: Épaisseur platine extrémité = 26 mm

rc: Rayon de raccordement âme semelle de poteau = 27 mm

$$b_{eff} = tfb + 2tp + 5(tfc + rc)$$

$$b_{eff} = 36 + 2 \times 36 + 5(26 + 30) = 388 \text{ mm}$$

$$\sigma n = \frac{N_{sd}}{A} + \frac{M_{sd}}{W_{ely}} = \frac{5602.63}{400 \times 10^2} + \frac{794.06}{12890 \times 10^3} = 61.74 \times 10^3 \text{ kN/}m2$$

Fc.rd = 2076.17 Kn

$$Fc = \frac{Msd}{h - tfb} = 823kn$$

$$F_c \le F_{crd}$$
 Donc l'assemblage est vérifié

VI.2.3.2 Assemblage Poteau HEB1000- poteau HEB900 (4)

On va traiter cet assemblage par logiciel idea statica

Eléments

| Nom | Section transversale | β – Direction [°] | γ – Angle [°] | α – Rotation [°] | Décalage ex [mm] | Décalage ey [mm] | Décalage ez [mm] |
|-----|----------------------|----------------------|------------------|---------------------|---------------------|---------------------|---------------------|
| B1 | 3 - HEB900 | 0,0 | 90,0 | -180,0 | 0 | 0 | 0 |
| B2 | 2 - HEB1000 | 0,0 | -90,0 | 0,0 | 0 | 0 | 0 |

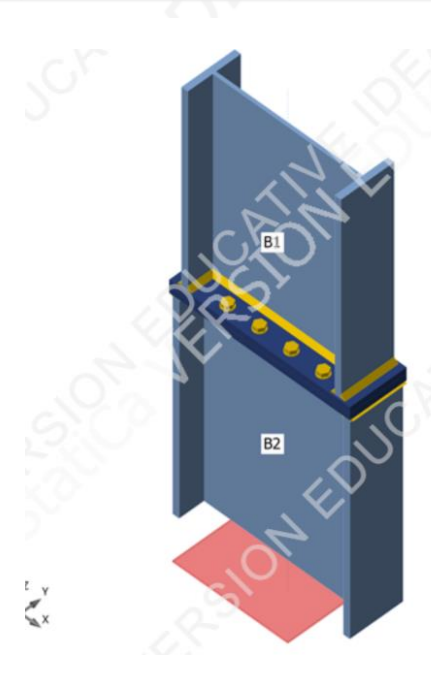


Figure VI. 8: 3d de lassemblage.

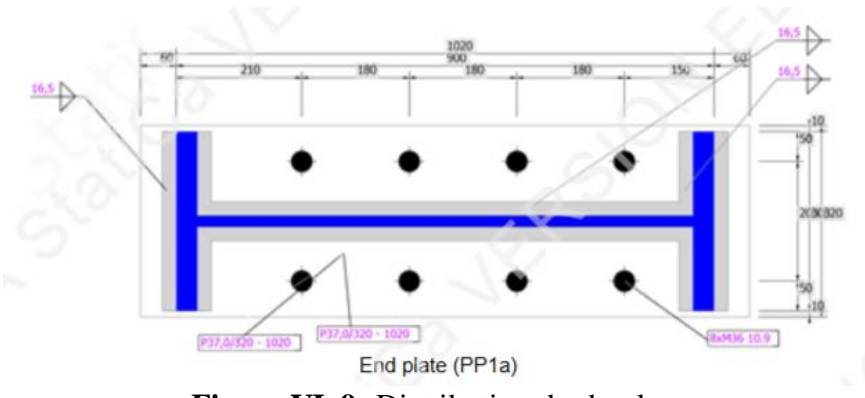


Figure VI. 9: Distribution des boulons.

Boulons

| Nom | Diamètre | fy | f u | Superficie brute |
|----------|----------|-------|------------|--------------------|
| | [mm] | [MPa] | [MPa] | [mm ²] |
| M36 10.9 | 36 | 900,0 | 1000,0 | 1018 |

Chargements (efforts en équilibre)

| Nom | Élément | N [kN] | Vy [kN] | Vz [kN] | Mx [kNm] | My [kNm] | Mz [kNm] |
|-----|----------|------------------|------------|------------|-------------|--------------------|-------------|
| LE1 | B1 / Fin | -5235,0 | -138,7 | -0,1 | 0,0 | 0,7 | -279,7 |
| | B2 / Fin | 0,0 | 0,0 | 30,0 | 0,0 | 50,0 | 0,0 |
| LE2 | B1 / Fin | 2853,9 | 219,6 | 3,3 | 0,0 | 3,8 | 123,3 |
| | B2 / Fin | 0,0 | 0,0 | 0,0 | 0,0 | 0,0 | 0,0 |

Efforts non équilibrés

| Nom | X [kN] | Y [kN] | Z [kN] | Mx [kNm] | My [kNm] | Mz [kNm] |
|-----|-----------|-----------|------------------|-------------|--------------------|--------------------|
| LE1 | 29,9 | 138,7 | -5235,0 | -279,7 | 49,4 | 0,0 |
| LE2 | 3,3 | -219,6 | 2853,9 | 123,3 | -3,8 | 0,0 |

> Vérification

Résume :

| Nom | Valeur | Résultat de la vérification |
|-----------|-------------|-----------------------------|
| Analyse | 100,0% | OK |
| Platines | 1,4 < 5,0% | OK |
| Boulons | 97,9 < 100% | OK |
| Soudures | 99,7 < 100% | OK |
| Voilement | 4,25 | |

Platine:

| Nom | t _p [mm] | Charges | σ _{Ed} [MPa] | ερι [%] | $\sigma_{c,Ed}$ [MPa] | Résultat |
|----------|------------------------|---------|--------------------------|------------|--------------------------|----------|
| B1-bfl 1 | 35,0 | LE1 | 277,7 | 1,3 | 0,0 | OK |
| B1-tfl 1 | 35,0 | LE1 | 277,6 | 1,2 | 0,0 | OK |
| B1-w 1 | 18,5 | LE2 | 275,2 | 0,1 | 0,0 | OK |
| B2-bfl 1 | 36,0 | LE1 | 277,8 | 1,3 | 0,0 | OK |
| B2-tfl 1 | 36,0 | LE1 | 277,9 | 1,4 | 0,0 | OK |
| B2-w 1 | 19,0 | LE1 | 275,7 | 0,3 | 0,0 | OK |
| PP1a | 37,0 | LE2 | 276,9 | 0,9 | 140,3 | OK |
| PP1b | 37,0 | LE2 | 277,7 | 1,3 | 140,3 | OK |

Donnes et conception :



Figure VI. 10: Verfication globale de lassemblage.

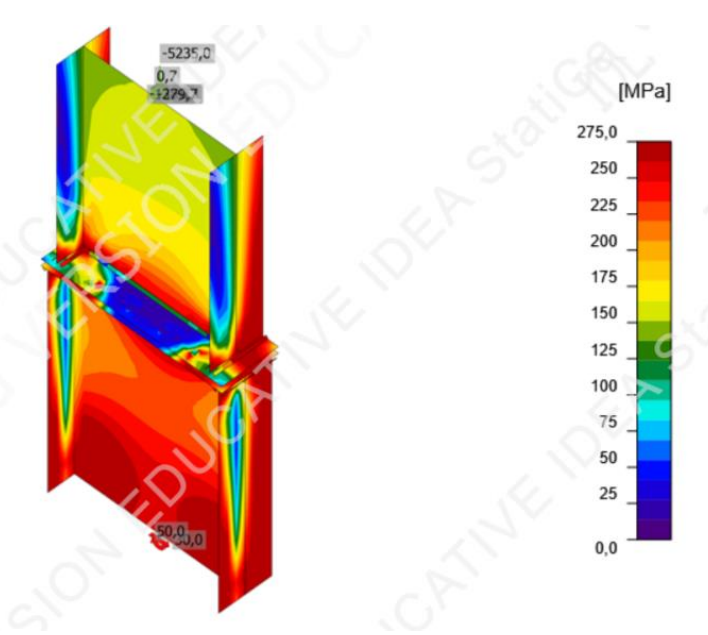


Figure VI. 11: Contrainte équivalente.

Remarque autres détaille était sur (annexe2).

VI.2.4 Assemblages pied de poteau

La base des poteaux ce sont des dispositifs de liaison qui lient la superstructure à l'infrastructure, ils doivent assurer la transmission les charges et les efforts de la superstructure aux fondations. Ces dispositifs sont articulés soit encastrer, ils sont constitués d'une plaque métallique appelée : « platine », fixées aux pieds des poteaux par des tiges d'ancrage sur le béton d'appui. Dans notre cas, les poteaux sont encastrés à leur base.

VI.2.4.1 Pied de poteau HEB1000

On va traiter cet assemblage par logiciel ROBOT, c'est un assemblage qui lie la base du poteau métallique **HEB1000** et le poteau en béton armé.

VI.2.4.2 Caractéristiques géométriques des profilés et données mécaniques

| Profilé | h(mm) | b (mm) | tf(mm) | t _W (mm) | $A(cm^2)$ |
|---------|-------|------------------------|--------|---------------------|-----------|
| HEB1000 | 1000 | 300 | 36 | 19 | 400 |

Remarque

Dans le pied de poteau en utilise 6 cas d'effort car le poteau travaille **en traction** et en **cisaillement et en compression.**

VI.2.4.3 Données de calcul

➤ Selon la combinaison « G+0,3Q+Ey+0,3 EX » c'est le cas la **plus de favorable** on a les valeurs suivantes :

- Effort normal: $N_{sd} = (-7200,0903 \text{ Kn compression})$

- Moment fléchissant : $M_{SdZ} = -187,43 \text{ kN.m}$ selon y: $M_{Sdy} = -17,99 \text{ kn.m}$

- Effort tranchant : Vsdy = -30,9118 KNselon z : Vsdz=-3,57kn

| Fieille | iiio | | | | | | | |
|----------|----------------------|----------------------|------------------|---------------------|---------------------|---------------------|------------------|----|
| Géomét | trie | | | | | | | |
| Nom | Section transversale | β – Direction [°] | γ – Angle [°] | α – Rotation [°] | Décalage ex [mm] | Décalage ey [mm] | Décalage [mm] | ez |
| B1 | 2 - HEB1000 | 0,0 | 90,0 | 0,0 | 0 | 0 | | 0 |
| Appuis | et efforts | | | | | | | |
| | Nom | Appui | | Effo | rts dans | | X [mm] | |
| B1 / fin | 1 | | Boulo | ins | | | | 0 |



Autodesk Robot Structural Analysis Professional 2021

Calcul du Pied de Poteau encastré

Eurocode 3: NF EN 1993-1-8:2005/NA:2007/AC:2009



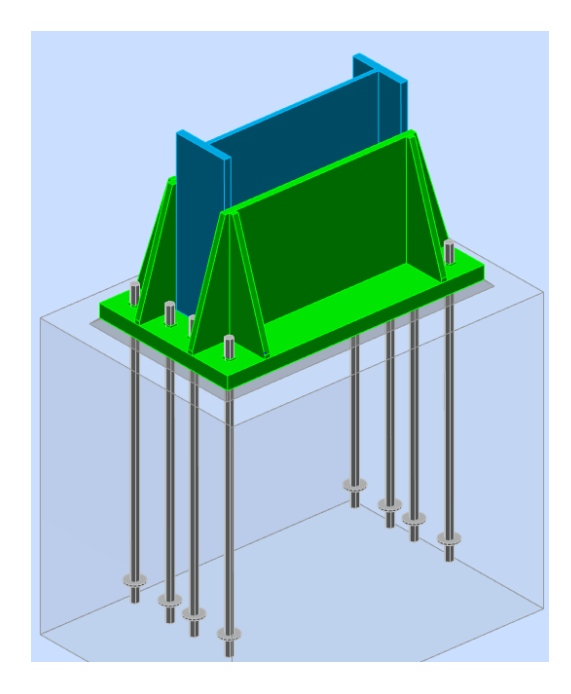


Figure VI. 12: 3d de l'assemblage pied de poteau.

Les charge et les cas utilise

| Nom | Élément | N [kN] | Vy [kN] | Vz [kN] | Mx [kNm] | My [kNm] | Mz [kNm] |
|-----|----------|-----------|------------|------------|-------------|--------------------|-------------|
| LE1 | B1 / Fin | -4370,0 | -259,8 | -6,2 | 0,0 | -13,3 | -556,9 |
| LE2 | B1 / Fin | -7200,0 | -30,9 | -3,6 | 0,0 | -18,0 | -187,4 |
| LE3 | B1 / Fin | -1080,7 | -7,4 | -35,3 | 0,0 | -72,5 | -70,8 |
| LE4 | B1 / Fin | -173,8 | 29,0 | 33,9 | 0,0 | 69,8 | 106,9 |
| LE5 | B1 / Fin | -6431,1 | 97,1 | 6,0 | 0,0 | 10,7 | -56,7 |
| LE6 | B1 / Fin | -1100,3 | 161,1 | 1,8 | 0,0 | 7,3 | 446,5 |

VI.2.4.4 <u>Caracteristique de l'assemblage</u>

- ightharpoonup Platine $1400 \times 800 \times 70 \text{ mm}$
- > M42 de classe HR 6.8
- \triangleright Raidisseur 1400 × 800 × 30 mm
- Soudure 30 mm

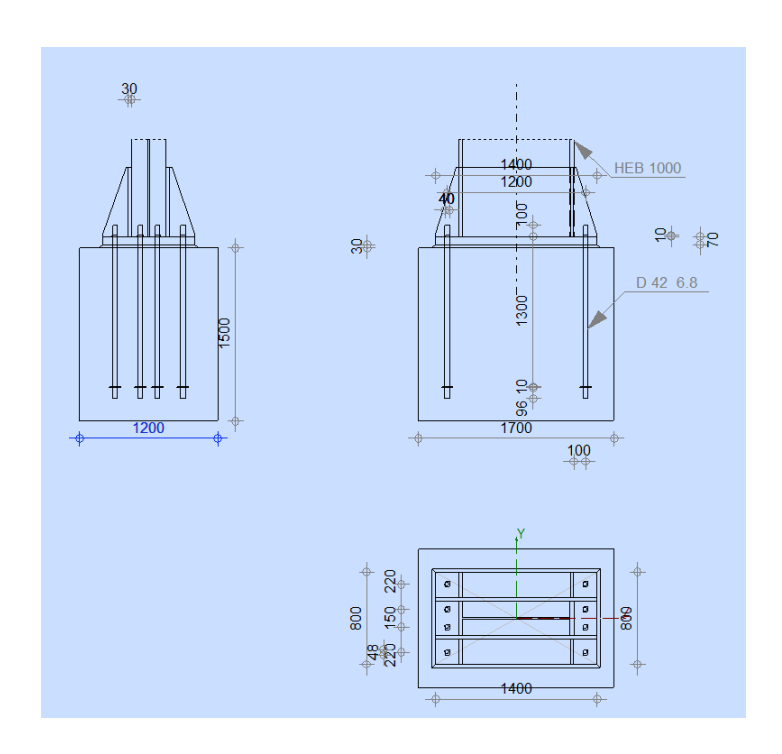


Figure VI. 13: disposition constructive de l'assemblage pied de poteau

Assemblage satisfaisant vis à vis de la Norme Ratio 0,94

Remarque: autres detaille était sur (annexe3).

VI.2.5 Assemblage de contreventement en v

Pour notre cas les diagonales les plus sollicitées sont formées par des tubes, sa dimension $360 \times 360 \times 25$ ce qui fait les boulons de l'assemblage diagonale-gousset Vu la capacité des assemblages on a opté les résultats manuellement.

• Boulons

Tableau VI. 6: Caractéristiques des boulons

| Nom | Groupe de boulons | Diamètre [mm] | fub [MPa] | Section resistante AS[mm ²] |
|----------|-------------------|-------------------------|--------------|-----------------------------------------|
| M30 10.9 | M30 10.9 | 30 | 1000,0 | 561 |

Tableau VI. 7: Caractéristique des profilés assemblés

| Profilé | h (mm) | b (mm) | tf (mm) | tw (mm) | A (cm ²) |
|-----------------|--------|--------|---------|---------|----------------------|
| HEB 650 | 650 | 300 | 31 | 16 | 286,3 |
| TUBE 360*360*25 | 360 | 360 | 25 | / | / |

VI.2.5.1 <u>Dimensionnement d'assemblage</u>

Tableau VI. 8: Coordonnées géométriques

| Nom | Section | β – | γ – | α – | Décalage | Décalage | Décalage | Efforts |
|-----|--------------|-----------|-------|----------|----------|----------|----------|---------|
| | transversale | Direction | Angle | Rotation | ex [mm] | ey [mm] | ez | dans |
| | | 101 | [0] | [0] | | | [mmm] | |
| | | l [s] | [آ | [آ | | | [mm] | |



Figure VI. 14: L'attache de la diagonale tube 360*360*25 - HEB650.

VI.2.5.2 Données de calcul

L'assemblage ci-dessous est sollicité par : Un effort de compression ; $N_{sd} = -2909,0094$ kN Ks = 1 ; trous nominaux, $\gamma ms = 1.25$

L'assemblage est assuré par des boulons HR de diamètre 30 mm (M30) de classe 10.9.

-Nombre des boulons nécessaires : on utilise 12 boulon .

$$Fpcd = 0.7*Fub*As = 0.7*1000*561*10^{-3} = 392.7 \text{ kN}.$$

Ftsd N =
$$\frac{2909,0094}{12}$$
 = 242,42kn

$$Fsrd = \frac{Ks.n.u.Fpcd}{1,25}$$

Ks=1 Pour des trous avec tolérances nominales normales.

 $\mu = 0.4$ Surfaces nettoyées par Grenaille sable et peint

n = 2 Nombre d'interfaces de frottement ; γms = 1,25 Pour les résistances au glissement à L'ELU.

Il faut que : $F_{tsd} \le F_{srd}$

• Fsrd =
$$\frac{1.2.0.4(392,7)}{1.25}$$
 = 251,328 kN. Donc condition vérifie.

VI.2.5.3 Disposition constructive

La disposition des boulons dans une pièce est réglementée par l'Euro code 3 est calculer comme suite :

| La disposition | La méthode de calcul | Le calcule | Choix [mm] |
|----------------|----------------------------------------------|------------------------|------------|
| <i>e</i> 1 | $1.2d0 \le e_1 \le \max(12t, 150mm)$ | $39,6 \le e_1 \le 240$ | 80 |
| P1 | $2.2d0 \le P_1 \le \max(14t, 200mm)$ | $72,6 \le P_1 \le 280$ | 90 |
| <i>e</i> 2 | $1.5d0 \le e2 \le \max(12t, 150mm)$ | $49,5 \le e_2 \le 240$ | 60 |
| P2 | $3d0 \le P2 \le \max\left(14t, 200mm\right)$ | $99 \le P_2 \le 200$ | 90 |

Avec:

- d_0 : diamètre de trou , $d_0 = d + 3 = 33mm$
- t: épaisseur de la platine, t = 20 mm.

VI.2.5.4 <u>Vérification de la pression diamétrale</u>

Il faut vérifier que : $F_{vsd} \le F_{brd}$

$$F_{brd} = \frac{2.5 \,\alpha \times \text{fu} \,\times \text{d} \,\times t}{\gamma_{mb}}$$

 F_{brd} : résistance de calcul à la pression diamétrale par boulon

 F_{vsd} : Effort de cisaillement de calcul par boulon

 F_u : La résistance à la traction des cornières

$$\alpha = \min \left[\frac{\text{e1}}{3 \times \text{d0}} \cdot \frac{\text{p1}}{3 \times \text{d0}} - \frac{1}{4} \cdot \frac{F_{ub}}{F_u} ou \ 1 \right] = \min (0.8; 0.65; 2.33; 1) = 0.65$$

$$F_{brd} = \frac{2.5 \times 0.65 \times 430 \times 20 \times 30}{1.25} \times 10^{-3} = 335,4 \text{kn}$$

✓
$$F_{t.sd} = \frac{n_{sd}}{n} = \frac{2909,0094}{12} = 242,42 \le F_{brd} = 335,4 \text{ kN Donc la pression diamétrale est vérifiée.}$$

Donc l'assemblage est vérifié.

VI.3 Conclusion

- Le but essentiel de ces exemples est d'expliquer la méthode de calcul en vue de faciliter la pratique.
- l'utilisation des deux logiciels nous a permis de mieux comprendre leurs fonctionnalités respectives tout en facilitant la réalisation du travail. Cette approche nous offre une vision plus complète et un gain d'efficacité notable.

Chapitre VII: Etude des fondations

Chapitre VII

Etude des fondations

VII.1 Introduction

Les fondations sont des éléments qui sont directement en contact avec le sol, elles assurent

ainsi la transmission des charges de la superstructure a ce dernier, donc elles constituent la

partie essentielle de l'ouvrage.

Cette transmission peut être directement (cas des semelles reposant sur le sol comme le cas

des radiers) ou être assurée par l'intermédiaire d'autres organes (par exemple, cas des

semelles sur pieux).

Le calcul des fondations se fait en fonction de la charge totale transmise aux fondations ainsi

que les caractéristiques du sol sur lequel doit reposer la structure.

Il existe plusieurs types de fondation

- Semelle isolée

-Semelle filante

-Radier général

VII.2 Choix du type de fondations

Plusieurs facteurs sont pris en considération lors du calcul des fondations. On peut citer :

-Contraintes du sol σ sol.

- La classification du sol.

- Les efforts transmis à la base.

L'étude géotechnique du site d'implantation de notre ouvrage, a donné une contrainte

admissible égale à 2,25 bars (voir annexe).

VII.3 Calcul des fondations

Afin de satisfaite la sécurité et l'économie, tout en respectant les caractéristiques de

l'ouvrage ; la charge que comporte l'ouvrage – la portance du sol – l'ancrage et les

différentes données du rapport du sol.

On commence le choix de fondation par les semelles isolées – filantes et radier, chaque

étape fera l'objet de vérification.

VII.3.1 Semelles isolées

Combinaison de charge (ELS)

On adoptera une semelle homothétique, c'est-à-dire :

Le rapport de A sur B est égal au rapport a sur b : $\frac{a}{b} = \frac{A}{R}$

Pour les poteaux carrés : a=b donc A=B → S=A2

A est déterminé par : σ sol = $\frac{N}{S}$ dou, $S = \frac{N}{\sigma}$ sol

Avec : A \square \sqrt{s} $\sigma sol = 2,25$ bars.

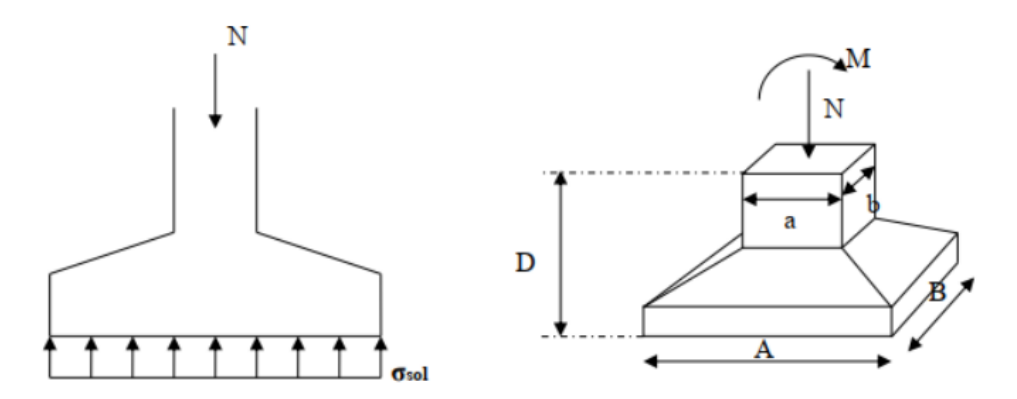


Figure VII. 1: Semelle isolée sous poteau.

Anser: Effort normal appliqué sur la fondation, obtenu par le logiciel ETABS20 à L'ELS.

Anser: -7625,2406 (compression).

$$S \ge \frac{7625,2406}{225} = 33,89$$

$$B = \sqrt{s} = 5.82 \text{ m}^2$$

Il faut vérifie que : L min $>1,5 \times B$

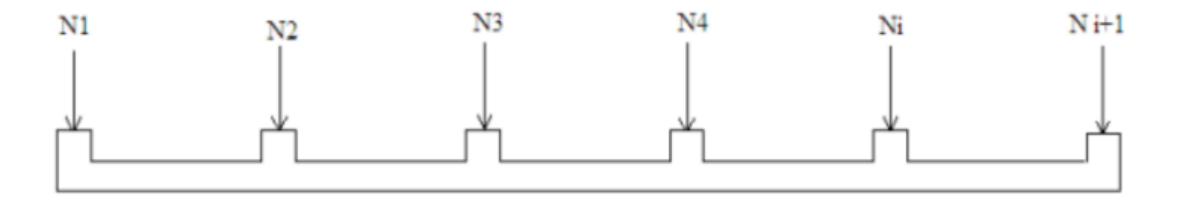
On a : L min = $2m > 1.5 \times 5.82 = 8.73 \text{ m} \dots \text{non vérifie}$.

Remarque:

On remarque qu'il y a chevauchement des semelles, on passe alors à l'étude des semelles Filantes.

VII.3.2 Semelles filantes

L'effort normal supporté par la semelle filante est la somme des efforts normaux de tous les poteaux qui se trouve dans la même ligne.



On doit vérifier que : , σ sol = $\frac{Nser}{S}$

Tel que : $N = \Sigma Ni$ de chaque fil de poteaux, avec Anser = 39991,81 KN (valeur obtenue à partir du logiciel ETABS) .

 $S=B \times L$.

B: Largeur de la semelle.

L: Longueur du fil considéré, avec L= 8m

D'où:

$$B \ge \frac{Nser}{l*\sigma sol} = 3,57 \text{ m}$$

 $L < 2 \times B = 7,14 \text{ m}$

Condition non vérifiée car L= 8 m

VII.3.2.1 Les charges qui reviennent pour chaque fille

Tableau VII. 1: Sections des semelles filantes continues sens y-y

| File | Nser(kN) | L(m) | B (m) | Bchoisit(m) | $S(m^2)$ |
|----------|-----------|------|-----------------------|-------------|----------|
| A | 10784,31 | 24 | 1,997 | 2 | 48 |
| В | 1949,31 | 4 | 2,16 | 2 | 8 |
| С | 30386,72 | 36 | 3,75 | 4 | 126 |
| D | 3723,86 | 8 | 2,068 | 2 | 16 |
| Е | 40079,29 | 49,8 | 3,57 | 3,5 | 174,3 |
| F | 2340,12 | 5,8 | 1,79 | 2 | 11,6 |
| G | 24211,705 | 44 | 2,44 | 2,5 | 110 |
| $\sum S$ | | | | | 511,9 |

Tableau VII. 2: Sections des semelles filantes continues sens x-x

| File | Nser(kN) | L(m) | B (m) | Bchoisit(m) | S (m ²) |
|----------|-----------|------|-----------------------|-------------|------------------------------------|
| 1 | 8342,68 | 16 | 2,29 | 2,5 | 40 |
| 2 | 4979,98 | 8 | 2,76 | 3 | 24 |
| 3 | 21195,58 | 24 | 3,92 | 4 | 96 |
| 4 | 21818,309 | 24 | 4,04 | 4 | 96 |
| 5 | 17573,31 | 24 | 3,25 | 3 | 72 |
| 6 | 14523,70 | 21,2 | 3,04 | 3 | 63,6 |
| 7 | 15042,87 | 16 | 4,17 | 4 | 64 |
| 8 | 8513,8941 | 14 | 2,70 | 3 | 42 |
| 9 | 1484,9441 | 3 | 2,19 | 2 | 6 |
| $\sum S$ | | | | | 503,6 |

On a:

| Ssemelle (m²) | Sens | Spatiment (m²) | % |
|---------------|------|----------------|-------|
| 503,6 | X | 902,2 | 55,8% |
| 511,9 | у | 902,2 | 56,7% |

VII.3.2.2 <u>Vérification</u>

$$\frac{S_s}{S_b} \le 50$$
Il faut vérifier que : \frac{S_s}{S_b}

Le rapport entre la surface du bâtiment et la surface des semelles vaut :

Sens x :
$$\frac{503.6}{902.2}$$
 = 55.8% > 50%

Sens y:
$$\frac{511,9}{902,2} = 56,7\% > 50\%$$

Donc on passe de vérification de semelle filantes croisées.

VII.3.3 Semelles filantes croisées

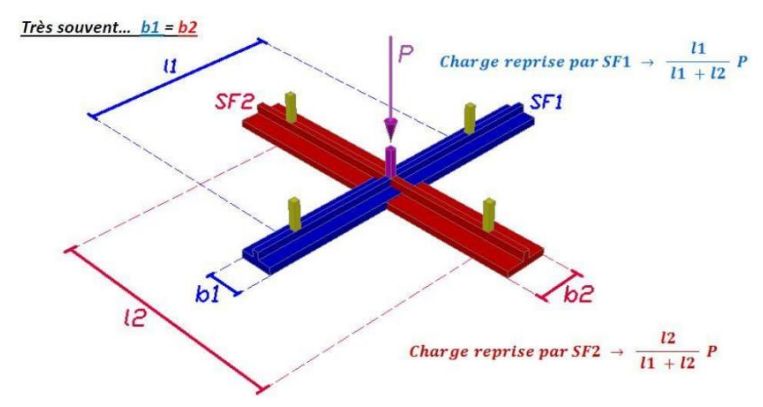


Figure VII. 2: Pourcentage de la charge pour chaque nervure dans un poteau central

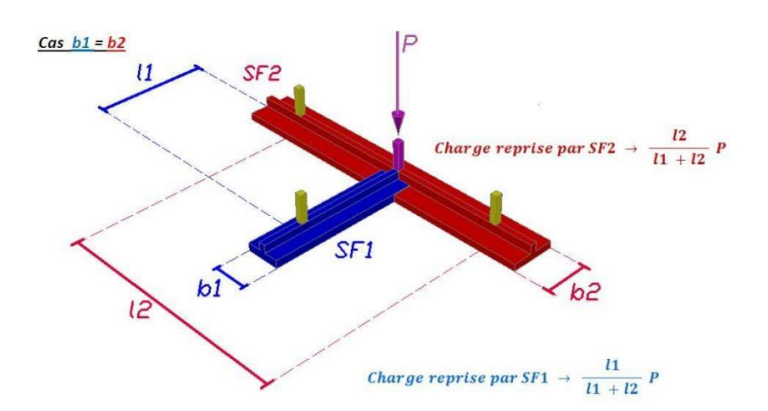


Figure VII. 3: Pourcentage de la charge pour chaque nervure dans un poteau de rive.

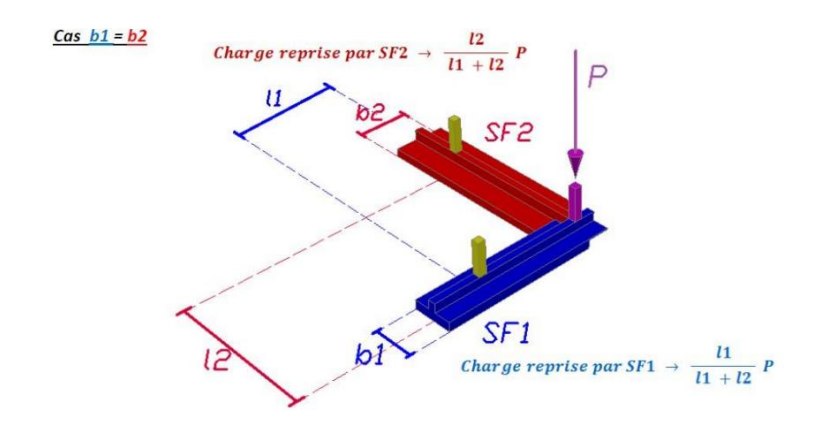


Figure VII. 4: Pourcentage de la charge pour chaque nervure dans un poteau central.

VII.3.3.1 <u>Les charges qui reviennent pour chaque fille</u>

Tableau VII. 3: Section des semelles filante sens x-x

| Fille | P (kN) | σ (KN/m²) | L(m) | B calcul (m) | B choisi (m) | Sf (m²) |
|----------|----------|-----------|------|--------------|--------------|---------|
| SF1 | 5437,32 | 225 | 16 | 1,51 | 1,5 | 24 |
| SF2 | 2621 | 225 | 8 | 1,45 | 1,5 | 12 |
| SF3 | 10302,54 | 225 | 24 | 1,91 | 2 | 48 |
| SF4 | 9650,08 | 225 | 24 | 1,79 | 2 | 48 |
| SF5 | 8619,31 | 225 | 24 | 1,59 | 2 | 48 |
| SF6 | 7470,42 | 225 | 21,2 | 1,57 | 2 | 42,4 |
| SF7 | 5820,15 | 225 | 16 | 1,62 | 2 | 32 |
| SF8 | 3869,81 | 225 | 14 | 1,22 | 1,5 | 21 |
| SF9 | 506,23 | 225 | 3 | 0,74 | 1 | 3 |
| $\sum S$ | | | | | | 278,4 |

Tableau VII. 4: Section des semelles filante sens y-y

| Fille | P (kN) | $\sigma (KN/m^2)$ | L (m) | B calcul (m) | B chois 2 (m) | Sf (m²) |
|----------|-----------|-------------------|-------|--------------|---------------|---------|
| SF1 | 6834,6 | 225 | 24 | 1,27 | 1,5 | 36 |
| SF2 | 847,42 | 225 | 4 | 0,94 | 1 | 4 |
| SF3 | 12509,52 | 225 | 36 | 1,54 | 1,5 | 54 |
| SF4 | 1983,283 | 225 | 8 | 1,10 | 1,5 | 12 |
| SF5 | 19398,17 | 225 | 49,8 | 1,73 | 2 | 99,6 |
| SF6 | 1165,94 | 225 | 5,8 | 0,89 | 1 | 5,8 |
| SF7 | 15099,814 | 225 | 44 | 1,52 | 1,5 | 66 |
| $\sum S$ | | | • | | | 277,4 |

VII.3.3.2 Vérification

Il faut vérifier que :
$$\frac{S_s}{S_b} \le 50$$

Le rapport entre la surface du bâtiment et la surface des semelles vaut :

$$ightharpoonup$$
 Sens x : $\frac{555,8}{902,2} = 62\% > 50\%$

La surface totale de la semelle dépasse 50% de la surface d'emprise du bâtiment, ce qui induit le chevauchement de ces semelles, Pour cela on a opté pour un radier général comme type de fondation pour fonder l'ouvrage, Ce type de fondation présente plusieurs avantages qui sont :

- L'augmentation de la surface de la semelle qui minimise la forte pression apportée par la structure ;
- La réduction des tassements différentiels;
- La facilité d'exécution,

VII.3.4 Radier générale

VII.3.4.1 Introduction

Le radier sera muni de nervures reliant les poteaux et sera calculé comme des panneaux de dalles pleines sur quatre appuis continus (nervures) chargés par une pression uniforme qui représente la pression maximale du sol résultante de l'action du poids du bâtiment

L'effort normal supporté par le radier est la somme des efforts normaux de tous les poteaux et les voiles.

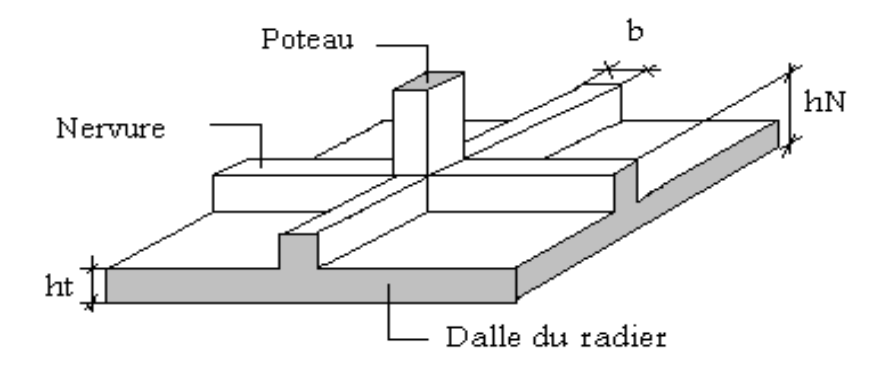


Figure VII. 5: Disposition des nervures par rapport au radier et aux poteaux.

VII.3.4.2 Surface nécessaire

Pour déterminer la surface du radier in faut que: $\sigma_{\max} \leq \sigma_{sol}$

$$\sigma_{\max} = \frac{N}{S_{nec}} \le \sigma_{sol} \Rightarrow S_{nec} \ge \frac{N}{\sigma_{sol}}$$

Pour: N=113475,2737 Kn et σ sol = 2,25 bars

Snec
$$\geq 504,33 \text{ m}^2$$

Donc:

$$S_{\text{nécessaire}} = 504,33 < S_b = 902,2m^2$$

S_b: La surface du bâtiment

Alors on prend un débord de 60cm sur le périmètre du bâtiment

Donc la surface totale du radier est de 1008,2 m²

VII.3.4.3 Pré dimensionnement de radier

1- Dalle:

L'épaisseur de la dalle du radier doit satisfaire aux conditions suivantes

a. Condition forfaitaire [4]

$$h_1 \ge \frac{L_{\text{max}}}{20}$$

Avec

 L_{max} = La longueur maximale entre les axes des poteaux,

Lmax=8m hd
$$\geq \frac{800}{20} = 40$$
cm

Alors

On prend : h=50 cm, pour l'épaisseur de la dalle,

2- Nervure:

1, La hauteur de nervure

a- Condition de la flèche

La hauteur des nervures se calcule par la formule de la flèche

$$\frac{L_{\max}}{15} \le h_{N1} \le \frac{L_{\max}}{10}$$

On a $L_{max} = 8 \text{ m}$

$$ho \frac{800}{15} \le \text{hn}_1 \le \frac{800}{10} \implies 53{,}33 \le \text{hn}_1 \le 80\text{On prend} \quad \text{h}_{\text{nl}} = 80\text{cm},$$

b- Condition de rigidité :

Pour un radier rigide on doit vérifier :

$$L_{\max} \leq \frac{\pi}{2} L_e$$

$$L_e = \sqrt[4]{\frac{4*E*I}{b*K}}$$

Avec

Le : longueur élastique (m);

K : coefficient de raideur du sol 4 Kg/cm3 (cas d'un sol moyen);

- K=0,5[kg/cm³]...., pour un très mauvais sol,
- K=4 [kg/cm³]pour un sol de densité moyenne,
- $K=12[kg/cm^3]...$, pour un très bon sol,

E: Module de Yong équivalent (E=20 000 MPa),

b : largeur de radier par bande d'un mètre (b=1m),

I: Inertie de la section transversale du radier $I = \frac{bh^3}{12}$

L: distance maximale entre deux poteaux: 8 m

Nous avons une sol de densité moyenne $k = 4 [kg/cm^3]$,

Après la simplification on adopte pour :

$$Hn2 = \sqrt[3]{\frac{3\times0.04}{20000} \times (\frac{2\times8000^4}{\pi})} = 159,22cm$$

⇒1,6m

A partir des deux conditions:

 $h_N \ge \max(h_{N1}; h_{N2}) = \max(0.8; 1.6) \text{ m}^2$,

On prend: h = 1.6m,

c- Condition de coffrage: [4]

$$b \ge \frac{800}{10} = 80 \text{ cm}$$

Donc

b = 80 cm dans les deus sens (x-x et y-y)

Conclusion

 $h_n = 160 \text{ cm}$

b = 80cm dans le sens x-x

b = 80cm dans le sens y-y

Résumé

- Epaisseur de la dalle du radier h = 50 cm
- Les dimensions de la nervure $\begin{cases} hn = 1,6m \\ bn = 0,8m \text{ sur les deux sens} \end{cases}$

VII.3.4.4 Les vérifications nécessaires

• Vérification vis-à-vis de la stabilité au renversement :

Chaque bâtiment doit être vérifié vis-vis de la stabilité au renversement par rapport au niveau de ses fondations,

Selon RPA/version 2024 on doit vérifier que :

$$e = \frac{M}{N} < \frac{B}{4}$$
. et $\frac{Ms}{mrx} > 1.3$

Ms: Moment stabilisateur sous l'effet du poids propre,

MR: Moment de renversement dû aux forces sismique,

 $MR = \sum M0 + V0h$,

h: la hauteur de fondation jusqu niveau 0,=5m

M0: Moment à la base de la structure,

V0 : L'effort tranchant à la base de la structure,

N : Poids de la structure (y compris le radier),

N = NG + NR

N1: Poids de la structure

N2: Poids du radier nervuré,

• Suivant X-X

N = N1 (structure) +N2 poid propre du radier),

 $N1=234175,0201 \text{ kN,} \Longrightarrow \text{Elu} \Longrightarrow \text{selon rpa } 2024.$

 $N_2 = [1008,2 \times 25 \times 0,50] + [25 \times 1,6 \times 0,8 \times 321,8].$

N2 = 22900,1 kn

Done N = 257075,1201 Kn,

$$Mr = 7948,57+9755,54 *5 = 56726,27 kn,m$$

$$\Rightarrow$$
 ex = $\frac{56726,27}{257075,1201}$ = 0,22 < $\frac{25,2}{4}$ = 6,3 Bx = $\frac{25,2}{4}$ = 6,3 **m**,,vérifie

$$Msx = N*xg = 114459,35*13,92 = 1593274,152$$

-
$$ms = \frac{1593274,152}{56726,27} = 28,08 > 1,3$$
 vérifie,

• Suivant Y-Y:

$$Msy = N*yg = 114459,35*23,14 = 2648589,36$$

$$> ey = \frac{106201,165}{114459,35} = 0.92 < \frac{51}{4} = 12.7 \text{ Bx} = \frac{51}{4} = 12.75 \text{m}, \dots, \text{v\'erifie}$$

- ms =
$$\frac{2648589,36}{106201.165}$$
 = 24,94 > 1,3 vérifie,

Conclusion

Le rapport des forces verticales gravitaires et des forces sismiques est inférieur à la moitié centrale de la base de la structure, donc notre bâtiment est stable dans les deux sens,

VII.3.4.5 Caractéristiques géométriques du radier

a- Position du centre de gravité:

$$x_G = 13,92m$$

$$y_G = 23.14$$
m

b- Moments d'inertie:

$$I_{xx} = 278567,1 \text{ m}^4$$

$$I_{yy} = 68012,784 \text{m}^4$$

• Calcul des contraintes :

$$\sigma_{sol}$$
 = 2,25 bars

Les contraintes du sol sont données par:

À l'ELS:
$$\sigma ser = \frac{N ser}{S rad} = \frac{113475,2737}{1008,2} = 112,55 mpa$$

$$\sigma ser = 112,55mpa < 225 mpa,,,,, verfiee,$$

A l'ELU:

On doit vérifier les contraintes sous le radier $(\sigma_1; \sigma_2)$.

Avec:

$$\sigma_{1,2} = \frac{N}{S_{rad}} \pm \frac{M_{rev}}{I_{yy}} X_G$$

$$\sigma_{1,2} = \frac{N}{S_{rad}} \pm \frac{M_{rev}}{I_{xx}} Y_G$$

$$\sigma_{1,2} = \frac{N}{S_{rad}} \pm \frac{M_{rev}}{I_{xx}} Y_G$$

Figure VII. 6: Contraintes sous le radier

On vérifie que:

 σ_1 : Ne doit pas dépasser 1,5 σ_{sol}

 σ_2 : Reste toujours positif pour éviter des tractions sous le radier,

$$\sigma_m \left(\frac{L}{4}\right) = \frac{3\sigma_1 + \sigma_2}{4}$$
 Reste toujours inférieur à 1,33 σ_{sol} [1]

Sollicitation du second genre :

On doit vérifier les contraintes sous le radier (σ 1; σ 2)

Al'ELU:

NELU= Nu (structure) +1,35 × poids propre de radier nervuré

 $NELU = 234175,0201+1,35 \times 22900,1$

NELU= 265090,155 kN

MRx = 56726,27 kN,m

MRy = 106201,165kN,m

 $Srad = 1008,2 \text{ m}^2$,

Le tableau suivant regroupe tous les résultats:

Tableau VII. 5: Contraintes sous le radier à l'ELU

| | σ1(kN/m²) | σ ₂ (kN/m ²) | $\sigma_{m} \left(\frac{L}{4}\right)_{(\mathbf{kN/m^2})}$ |
|--------------|-------------------------------------------------------------|-------------------------------------|--------------------------------------------------------------------|
| Sens x-x | 265,77 | 260,099 | 264,35 |
| Sens y-y | 299,07 | 226,80 | 281,0025 |
| Vérification | $\sigma_1^{\text{max}} < 1,5 \ \sigma_{\text{sol}} = 337,5$ | $\sigma_2^{\min} > 0$ | $\sigma\left(\frac{L}{4}\right)\langle 1,33\sigma_{sol} = 299,25$ |

A l'ELS:

 A_{nser} = 113475,2737 kN ; S = 1008,2 m²

NELS= Ns (structure) +1,35 × poids propre de radier nervuré

NELS = $113475,2737 + 1,35 \times 22900,1$

NELS= 144390,41 kN

 $\sigma_{sol} = 225 \text{ kN/m}^2$

Le tableau suivant regroupe tous les résultats:

Tableau VII. 6: Vérification des contraintes à l'ELS

| | σ ₁ (kN/m ²) | σ ₂ (kN/m ²) | $\sigma_m \left(\frac{L}{4}\right)_{(\mathbf{kN/m^2})}$ |
|--------------|-------------------------------------------------------------|-------------------------------------|--------------------------------------------------------------------|
| Sens x-x | 146,051 | 140,38 | 144,63 |
| Sens y-y | 179,35 | 107,08 | 161,28 |
| Vérification | $\sigma_1^{\text{max}} < 1,5 \ \sigma_{\text{sol}} = 337,5$ | $\sigma_2^{\min} > 0$ | $\sigma\left(\frac{L}{4}\right)\langle 1,33\sigma_{sol} = 299,25$ |

Les contraintes sont vérifiées dans les deux sens (xx'_yy') à l'ELU et à l'ELS, donc pas de risque de soulèvement,

VII.3.4.6 Ferraillage du radier

Le radier fonctionne comme un plancher renversé, donc le ferraillage de la dalle du radier se fait comme celui d'une dalle de plancher,

La fissuration est considérée préjudiciable,

- ***** Ferraillage de la dalle du radier:
- Détermination des efforts: [1]

$$0.4 < \frac{L_x}{L_y} < 1.0 \Longrightarrow$$
 La dalle travaille dans les deux sens, et les moments au centre de la dalle,

Si
$$\frac{L_x}{L_y} < 0.4 \Rightarrow$$
La dalle travaille dans un seul sens,

Lx/Ly = 8/8=1 donc on prend premier cas

Pour une largeur unitaire, sont définis comme suit:

$$M_x = \mu_x q L_x^2$$
sens de la petite portée,

$$M_y = \mu_y M_x$$
.....sens de la grande portée,

Pour le calcul, on suppose que les panneaux soient encastrés aux niveaux des appuis, d'ou on déduit les moments en travée et les moments sur appuis,

> Panneau de rive:

• Moment en travée: M_{tx}=0,85M_x

$$M_{ty} = 0.85 M_y$$

• Moment sur appuis: $M_{ax}=M_{ay}=0.3M_x$ (appui de rive),

$$M_{ax}=M_{ay}=0.5M_x$$
 (autre appui),

> Panneau intermédiaire:

Moment en travée:

$$M_{tx} = 0.75 M_x$$

$$M_{ty} = 0.75 M_{y}$$

- Moment sur appuis: $M_{ax}=M_{ay}=0.5M_x$
- Moment en travée: $M_t=0.85M_0$

$$M_0 = \frac{ql^2}{8}$$

- Moment sur appuis: $M_a=0.5M_0$
- Avec:

Valeur de la pression sous radier :

ELU:
$$q_u = \sigma_m \times 1ml =$$

281,002 ELS:
$$q_{ser} = \sigma_m x$$

1ml = 161,28

■ Moment en travée et sur appuis pour le panneau le plus sollicité l'ELU (v=0) :

On a le rapport des panneaux Lx/Ly = 8/8=1 donc la dalle travaille dans les deux sens,

Les résultats des moments sont regroupés dans le tableau suivant:

Tableau VII. 7: Calcul des moments à l'ELU

| Panneau | Lx | Ly | L _x /L _y | μx | μу | qи | $\mathbf{M}_{\mathbf{x}}$ | M _{tx} | My | Mty | Ma |
|-----------|-----|-----|--------------------------------|--------|-------|---------|---------------------------|-----------------|--------|--------|---------|
| le plus | (m) | (m) | | | | (kN/m) | (kNm) | (kNm) | (kNm) | (kNm) | (kNm) |
| sollicité | 8 | 8 | 1 | 0,0368 | 1,000 | 281,002 | 661,81 | 562,54 | 661,81 | 562,54 | 330,905 |

■ Moment en travée et sur appuis à l'ELS (v=0,2):

Les résultats des moments sont regroupés dans le tableau suivant :

Tableau VII. 8: Calcul des moments à l'ELS

| Panneau | Lx | Ly | L _x /L _y | μx | μ_{y} | q ser | M _x | M _{tx} | My | Mty | $\mathbf{M}_{\mathbf{a}}$ |
|-----------|-----|-----|--------------------------------|-------|-----------|--------------|----------------|-----------------|--------|---------|---------------------------|
| le plus | (m) | (m) | | | | (kN/m) | (kNm) | (kNm) | (kNm) | (kNm) | (kNm) |
| sollicité | 8 | 8 | 1 | 0,044 | 1,000 | 161,28 | 454,16 | 386,036 | 454,16 | 386,036 | 227,08 |

❖ Calcul du ferraillage

Le ferraillage se fait avec le moment maximum en travée et sur appuis de panneau le plus sollicité, on applique l'organigramme d'une section rectangulaire soumise à la flexion simple (organigramme I, voire annexe),

Les résultats sont regroupés dans le tableau suivant:

• f_{c28} =25MPa ; f_{t28} =2,1MPa ; σ_{bc} =17,71MPa f_e =500MPa ; σ_s =500MPa ; b=100cm ; h=50cm ; d=0,9h=45cm ,

Tableau VII. 9: Ferraillage de panneau le plus sollicité du radier

| • | Sens | M _u (kNm) | μ | α | Z(cm) | As ^{cal} (cm ²) | Choix | Asadp(cm2) | S _t (cm) |
|--------|------|----------------------|-------|-------|-------|--------------------------------------|-------|------------|---------------------|
| Travée | х-х | 562,54 | 0,157 | 0,215 | 41,13 | 27,35 | 9T20 | 28,27 | 10 |
| | у-у | 562,54 | 0,157 | 0,215 | 41,13 | 27,35 | 9T20 | 28,27 | 10 |
| Appui | х-х | 330,905 | 0,092 | 0,12 | 42,85 | 15,45 | 8T16 | 16,08 | 12 |
| | у-у | | | | | | | | |

Espacement:

 $ESP \le Min (3h; 33cm) \Longrightarrow St \le Min(150cm; 33cm) = 33cm,$

o Sens x-x

$$St = \frac{100}{9} = 11,11 < 33cm$$
.

On prend S_t=10cm dapres le rpa 2024 il exige decpacment minimale 10cm.

o Sens y-y:

$$\mathbf{St} = \frac{100}{8} = 12.5 < 33$$
cm.

On prend St=12cm

Vérifications nécessaires :

1- Condition de non fragilité :

$$A_s^{min} = 0.23bd \frac{f_{t28}}{f_e} = 0.93cm^2 < 16.08cm^2$$

2- Vérification des contraintes à l'ELS:

Il faut vérifier que:

$$\sigma bc < \overline{\sigma}_{bc} = 0.6 \text{ fc} 28 \text{ et } \sigma s < \overline{\sigma}_{s}$$

$$\sigma_{s} = \xi = Min \left\{ \frac{2}{3} f_{e}; Max(0.5 f_{e}; 110 \sqrt{\eta.f_{ij}}) \right\}$$
 si fissuration préjudiciable

 $\sigma_{s} = 0.8\xi$ si fissuration très préjudiciable

Tableau VII. 10: Vérification des contraintes

| | Sens | Mser | A _s (cm ²) | σbc | $ar{\sigma}_{\!\scriptscriptstyle bc}$ | Vérific- | σs | $ar{\sigma}_{\scriptscriptstyle s}$ | Vérific- |
|--------|------|---------|-----------------------------------|-------|----------------------------------------|----------|--------|-------------------------------------|----------|
| | | (kNm) | | (MPa) | (MPa) | ation | (MPa) | (MPa) | ation |
| Travée | х-х | 386,036 | 21,28 | 12,33 | 15 | Ok | 206,12 | 250 | OK |
| | у-у | 386,036 | 21,28 | 12,33 | 15 | Ok | 206,12 | 250 | OK |
| Appuis | х-х | 227,08 | 12,51 | 8,88 | 15 | Ok | 184,52 | 250 | OK |
| | у-у | | | | | | | | |

VII.3.5 Ferraillage des nervures

VII.3.5.1 Calcul des efforts

Pour le calcul des efforts, on utilise la méthode forfaitaire (BAEL91 modifier 99 [1]),

On a :
$$M_0 = \frac{PL^2}{8}$$

En travée: $M_t=0.85M_0$

Sur appuis : $M_a=0.50M_0$

VII.3.5.2 <u>Calcul des armatures</u>

Le ferraillage se fait avec le moment maximum en travée et sur appuis du panneau le plus sollicité.

On applique l'organigramme d'une section rectangulaire soumise à la flexion simple, avec : b= 80 cm; h=160 cm; d= 144cm

• Sens (x-x):

L= 8 m; p(qu)=281,002 kN/ml; $M_0=2248,016 \text{ kN.m}$

Tableau VII. 11: Ferraillage des nervures suivant x-x

| | M _u (kNm) | μ | α | Z(cm) | $A_s^{cal}(cm^2)$ | Choix | $A_s^{adp}(cm^2)$ |
|--------|----------------------|--------|--------|--------|-------------------|-------|-------------------|
| Travée | 1910,81 | 0,065 | 0,0840 | 139,16 | 27,46 | 9T20 | 28,27 |
| Appuis | 1124,008 | 0,0382 | 0,047 | 141,18 | 15,92 | 8T16 | 16,08 |

• Sens (y-y).

L= 8 m; p(qu)=281,002 kN/ml; $M_0=2248,016 \text{ kN.m}$

Tableau VII. 12: Ferraillage des nervures suivant y-y

| | M _u (kNm) | μ | α | Z(cm) | As ^{cal} (cm ²) | Choix | Asadp(cm2) |
|--------|----------------------|--------|--------|--------|--------------------------------------|-------|------------|
| Travée | 1910,81 | 0,065 | 0,0840 | 139,16 | 27,46 | 9T20 | 28,27 |
| Appuis | 1124,008 | 0,0382 | 0,047 | 141,18 | 15,92 | 8T16 | 16,08 |

b,3, Vérifications nécessaires :

1. Condition de non fragilité :

$$A_S^{min} = 0.23bd \frac{f_{t28}}{f_e} = 11.12 < 16.08 \text{ cm}^2...., \text{ vérifiée.}$$

2, Vérification des contraintes à l'ELS:

L= 8 m;
$$p(qs)$$
= 161,28 kN/ml; M_0 = 1290,24kN.m

Tableau VII. 13: Vérification des contraintes

| | Sens | Mser | As | σbc | $ar{\sigma}_{\!\scriptscriptstyle bc}$ | σ_{s} | $ar{\sigma}_{\scriptscriptstyle s}$ | Vérification |
|--------|------|---------|--------------------|-------|----------------------------------------|--------------|-------------------------------------|--------------|
| | | (kNm) | (cm ²) | (MPa) | (MPa) | (MPa) | (MPa) | |
| Travée | X-X | 1096,70 | 18,30 | 6,06 | 15 | 175,51 | 250 | OK |
| | у-у | 1096,70 | 18,30 | 6,06 | 15 | 175,51 | 250 | OK |
| Appuis | X-X | 645,12 | 9,28 | 3,86 | 15 | 136,17 | 250 | OK |
| | у-у | 645,12 | 9,28 | 3,86 | 15 | 136,17 | 250 | Ok |

3. Vérification de la contrainte tangentielle du béton : [1]

On doit vérifier que :
$$\tau_u \langle \overline{\tau}_u = Min(0.1f_{c28}; 4MPa) = 2.5MPa$$

Avec:

$$\tau_{\rm u} = \frac{T_{\rm u}}{hd}$$

$$T_u = \frac{P_u L}{2} = \frac{281,002 \times 8}{2} = 1124,008 \text{ KN}$$

$$\tau_{\rm u} = \frac{1124,008 \times 10^3}{800 \times 1440} = 0,98 \text{ MPa} < \overline{\tau_{\rm u}} = 2,5 \text{ MPa} \dots \text{vérifiée}$$

4. Armatures transversales:

• BAEL 91 modifié 99 [1] :

$$\begin{split} \frac{A_t}{b_0 \times S_t} &\geq \frac{\tau_u - 0.3 \ f_{tj} K}{0.8 \ f_e} \end{split} \quad (\text{ K= 1 pas de reprise de bétonnage }) \\ S_t &\leq \text{Min (0.9d ; 40 cm)} = 40 \ \text{cm} \end{split}$$

$$\frac{A_t f_e}{b_0 \times S_t} \ge \text{Max} \left(\frac{\tau_u}{2}; 0.4 \text{ MPa}\right) = 0.4 \text{Mpa}$$

• Selon Le RPA 2024 :

$$*\frac{A_t}{S_t} \ge 0,003b_0$$

L'espacement maximum, entre Jes armatures transversales, est determine comme suit:

Zone courante
$$\begin{cases} *\ s' = Min\left(\frac{h}{4}; 1\ 2\varphi_I\right) = 24\ cm.. \\ *\ s' \leq \frac{h}{2} = 80\ cm...... \end{cases}$$

Zone Nodale

Avec:

- h : hauteur de la poutre

- $arphi_t$: diametre des armatures de confinement

-, φ_I : diametre minimal des barres longitudinales

 $f_e=500MPa$; $\tau_u=0.98$ Mpa; $f_{t28}=2.1$ Mpa; b=80cm; d=144cm

On trouve:

Tableau VII. 14: Espacement des armatures transversales

| | Section [cm ²] | Zone | St RPA2024 [cm] | St BAEL91 [cm] | S _t choisit [cm] |
|----------|----------------------------|----------|--------------------|----------------|--------------------------------|
| Nervure | 80 ×160 | Courante | 80 | 40 | 25 |
| Sens x-x | 80 ^100 | Nodale | 15 | 40 | 15 |
| Nervure | 80 ×160 | Courante | 80 | 40 | 25 |
| Sens y-y | | Nodale | 15 | | 15 |

Tableau VII. 15: Choix des armatures transversales

| | Section [cm²] | Zone | St [cm] | $\acute{\mathcal{O}}_t$ | At calculée [cm²] | At choisit [cm²] | Choix des barres |
|----------|---------------|----------|---------|-------------------------|----------------------|------------------|---------------------|
| Nervure | 80 × 160 | Courante | 25 | 11 | 6 | 6,79 | 6T12 |
| Sens x-x | 80 ^ 100 | Nodale | 15 | 11 | 3,6 | 6,79 | 6T12 |
| Nervure | 80 ×160 | Courante | 25 | 11 | 6 | 6,79 | 6T12 |
| Sens y-y | | Nodale | 15 | | 3,6 | 6,79 | 6T12 |

Justification des armatures transversales

$$\frac{A_{t}.f_{e}}{b.S_{t}} \ge \min \left\{ \frac{\tau_{u}}{2}; 0,4MPa \right\}_{t=0,40 \text{ MPa}}$$

- Zone courante 1,69 MPa > 0,40 MPa Vérifié.

- Zone nodale 2,82 MPa > 0,40 MPa Vérifié.

VII.3.6 Armature de peau

Pour les poutres de grande hauteur, il y a lieu de prévoir une armature de peau dont la section dépend du préjudice de la fissuration. En effet on risquerait en l'absence de ces armatures d'avoir des fissures relativement ouvertes en dehors des zones armées par les armatures longitudinales inférieures et supérieures. Pour ces armatures, les barres à haute adhérence sont plus efficaces que le ronds lisses

Selon Le RPA 2024

Armatures en section courante (armatures de peau) : Les armatures longitudinales intermédiaires ou de peau Ac (2 nappes) doivent être au total d'un minimum égal a 0.20%.

Donc:
$$\frac{80 \times 160 \times 0.20}{100} = 25,6$$

Donc on prend $2 \times 9T14 = 27,71 \text{ cm}^2$

VII.3.7 Schéma de ferraillage de la dalle

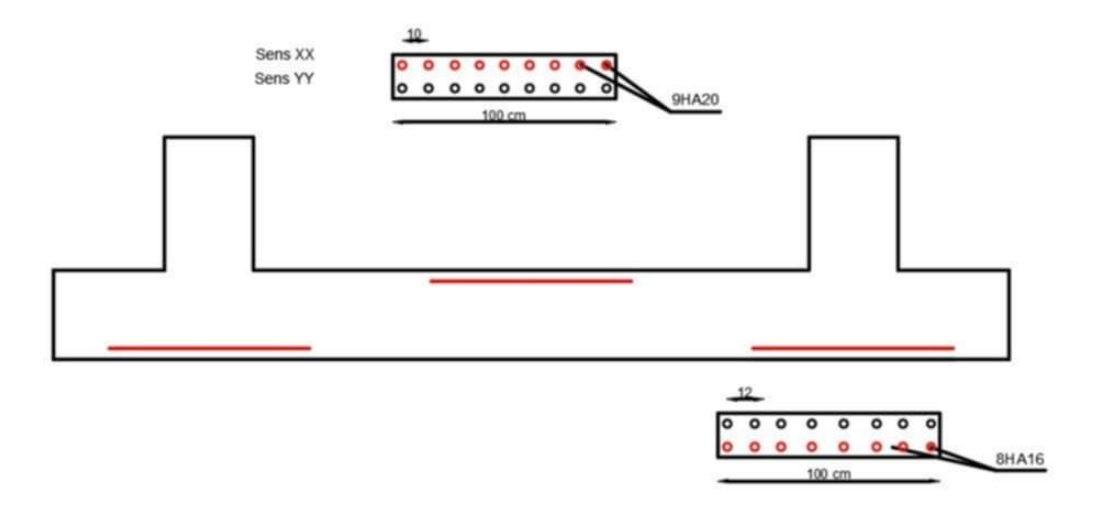


Figure VII. 7: Ferraillage de la dalle

VII.3.8 Schéma de ferraillage des nervures

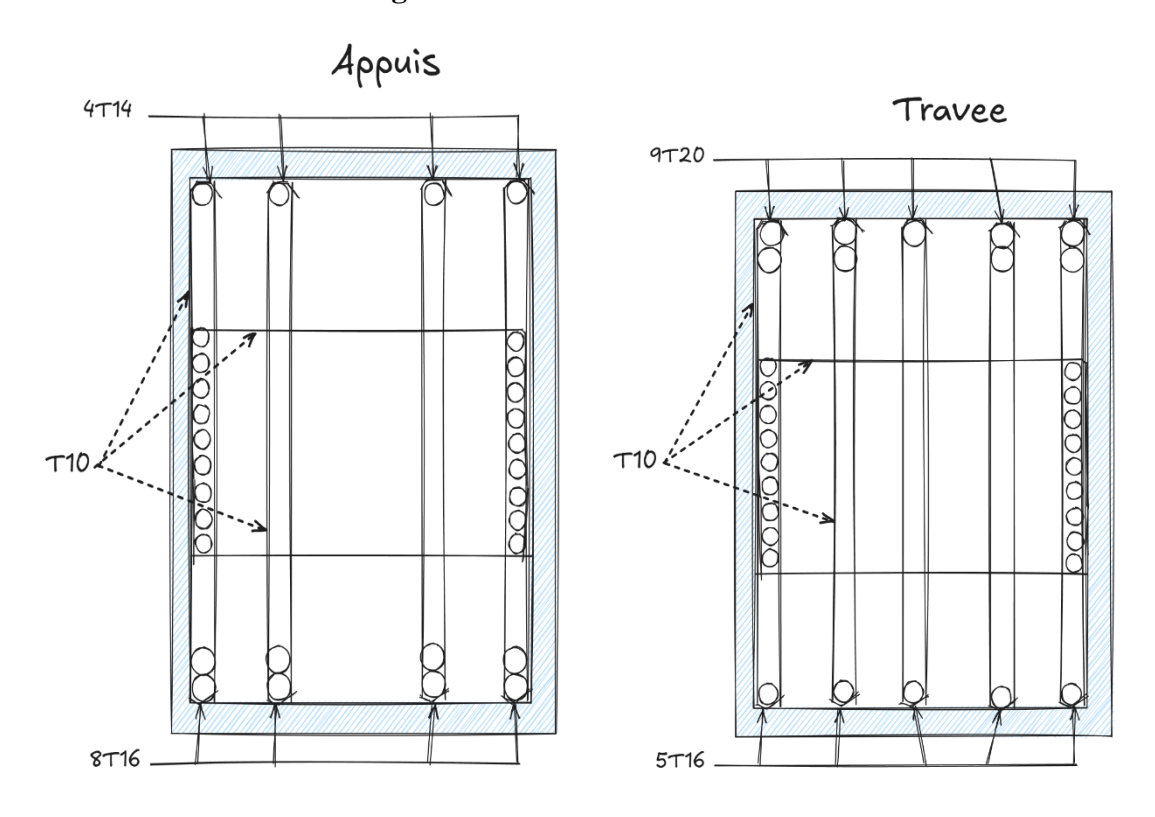


Figure VII. 8: Ferraillage des nervures sens y-y.

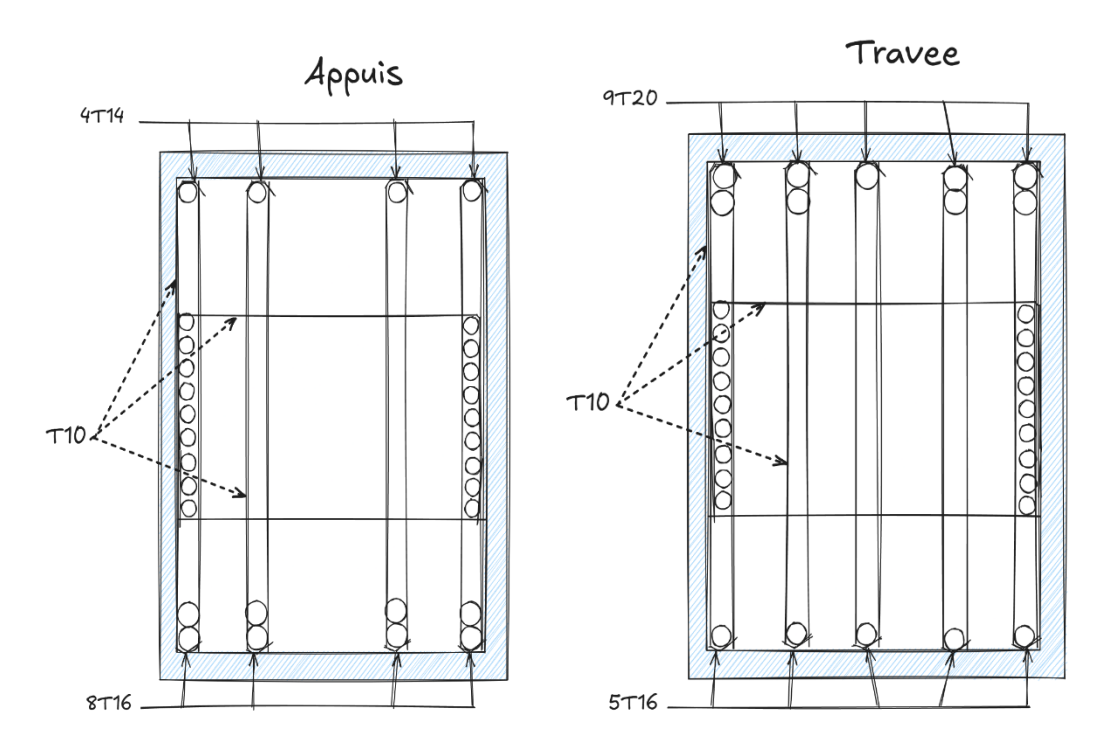


Figure VII. 9: Ferraillage des nervures sens x-x

VII.4 Voile périphérique

VII.4.1 Introduction

La structure comprend un voile périphérique de soutènement s'étendant depuis le niveau des fondations jusqu'au plancher du rez-de-chaussée.

Grâce à sa grande rigidité, ce voile forme, avec les planchers du RDC et les fondations, un caisson rigide et indéformable à la base de l'édifice.

VII.4.2 Pré dimensionnement

Pour le pré dimensionnement du voile périphérique, on se réfère aux prescriptions du **RPA** version 2024, qui stipule d'après l'article 10.1.2.

Les ossatures au-dessous du niveau de base, formées de poteaux courts (par exemple les vides sanitaires) doivent comporter un voile périphérique continu entre le niveau des

Fondations (semelles, radiér, etc.) et le niveau de base. Toutefois, en zones I, II et III, cette prescription est facultative pour les maisons individuelles et bâtiments assimiles ou pour toute autre construction de hauteur Inférieure ou égale à 10m, au-dessus du niveau moyen du sol.

Dans le cas de blocs sépares par des joints de rupture, le voile périphérique doit ceinturer chaque bloc.

Ce voile doit avoir les caractéristiques minimales ci-dessous :

- épaisseur ≥ 15 cm
- les armatures sont constituées de deux nappes.

Le pourcentage minimum des armatures est de 0.10% dans les deux sens (horizontal et vertical).

Les ouvertures dans ce voile ne doivent pas réduire sa rigidité d'une manière importante.

VII.4.3 Evaluation des charges

On considère le voile comme une dalle pleine reposant sur quatre appuis, et qui supporte les charges horizontales dues aux poussées des terres. On considère le tronçon le plus défavorable.

Les charges et surcharges prise uniformément répartie sur une bande de 1m se situe à la base du voile (cas le plus défavorable).

 $L_x=3,23 \text{ m}$; $L_y=8 \text{ m}$; e=20 cm.

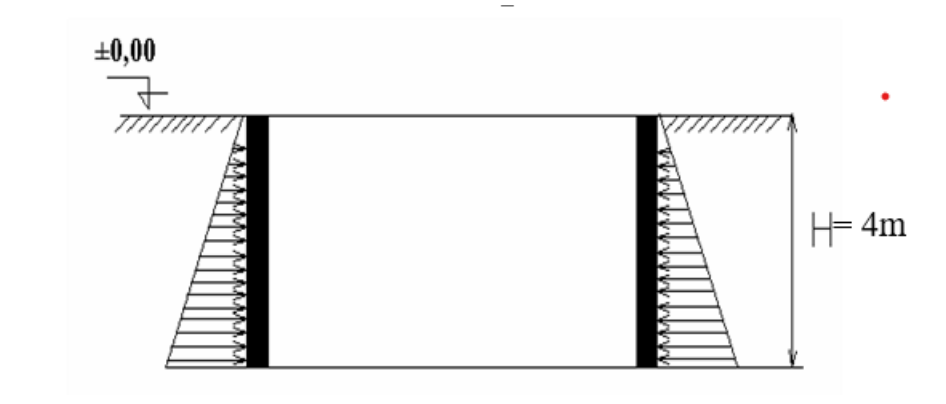


Figure VII. 10: Poussées des terres.

La charge de poussées des terres est données par:

$$O=A \times \gamma \times h$$

Avec:

Q: Contrainte sur une bande de 1m.

 $^{\gamma}$: Poids spécifique des terres (γ =20KN/m³).

h: Hauteur du voile.

A: coefficient numérique en fonction de l'angle de frottement interne.

$$\varphi = 28 \Rightarrow A = f(\varphi) = tg^{2}(\frac{\pi}{4} - \frac{\varphi}{2}) = 0,44$$

$$Q=A \times \gamma \times h = 37 \text{ KN/ml}$$

$$Qu = 1.35 \times 25 = 49.95 \text{ KN/ml}$$

VII.4.4 Effort dans la dalle

 $\rho = \frac{lx}{ly} = \frac{4}{8} = 0.50 \ge 0.40 \implies$ La dalle travaille dans les deux sens.

- Dans le sens de la petite portée : $M_x = \mu_x q_u L_x^2$
- Dans le sens de la grande portée : $M_y = \mu_y M_x$

Les coefficients μ_x et μ_y sont fonction de $\rho = \frac{L_x}{L_y}$ et de ν .

v: Coefficient de poisson
$$\begin{cases} 0 & \grave{a} \, l' ELU \\ 0.2 & \grave{a} \, l' ELS \end{cases}$$

 μ_x et μ_y sont donnés par l'abaque de calcul des dalles rectangulaire

Le tableau suivant donne les valeurs de μ_x et μ_y pour l'ELU (v= 0) et l'ELS (v = 0.2).

| | ELU | $\nu = 0$ | ELS ν | = 0.2 |
|-----------|---------|-----------|-----------|---------|
| l_x/l_y | μ_x | μ_y | μ_x | μ_y |
| 0.40 | 0.1101 | 0.2500 | 0.1121 | 0.2854 |
| 0.45 | 0.1036 | 0.2500 | 0.1063 | 0.3234 |
| 0.50 | 0.0966 | 0.2500 | 0.1000 | 0.3671 |
| 0.55 | 0.0894 | 0.2500 | 0.0936 | 0.4150 |
| 0.60 | 0.0822 | 0.2948 | 0.0870 | 0.4672 |
| 0.65 | 0.0751 | 0.3613 | 0.0805 | 0.5235 |
| 0.70 | 0.0684 | 0.4320 | 0.0743 | 0.5817 |
| 0.75 | 0.0621 | 0.5105 | 0.0684 | 0.6447 |
| 0.80 | 0.0561 | 0.5959 | 0.0628 | 0.7111 |
| 0.85 | 0.0506 | 0.6864 | 0.0576 | 0.7794 |
| 0.90 | 0.0456 | 0.7834 | 0.0528 | 0.8502 |
| 0.95 | 0.0410 | 0.8875 | 0.0483 | 0.9236 |
| 1.00 | 0.0368 | 1.0000 | 0.0441 | 1.0000 |

$$\rho = \frac{lx}{ly} \Longrightarrow \begin{cases} \mu x = 0.0966 \\ \mu y = 0.2500 \end{cases}$$

$$M_x = \mu_x q_u L_x^2 = 77.20 \text{ KNm}$$

$$M_y = \mu_y M_x = 19.30 \text{ KNm}$$

• Moments en travées :

$$M_{tx}=0.85M_x=65.62$$
 kNm.

$$M_{ty}=0.85M_{y}=16.40 \text{ kNm}.$$

• Moments sur appuis :

$$M_{ax} = M_{ay} = 0.5 M_x = 38.6 \text{ kNm}$$

VII.4.5 Ferraillage de la dalle

 $b=100cm\;;\;h=20cm\;;\;d=0,9h=18cm\;;\;f_{e}=500MPa\;;\;f_{c28}=25MPa\;;\;f_{t28}=2,1MPa\;;\sigma_{s}=500MPa\;;\;f_{c28}=25MPa\;;\;f_{c28}=2,1MPa\;;\;\sigma_{s}=500MPa\;;\;f_{c28}=25MPa\;;\;f_{c28}=2,1MPa\;;\;\sigma_{c28}=25MPa\;;\;f_{c28}=2,1MPa\;;\;\sigma_{c28}=25MPa\;;\;f_{c28}=2,1MPa\;;\;\sigma_{c28}=25MPa\;;\;f_{c28}=2,1MPa\;;\;\sigma_{c28}=25MPa\;;\;f_{c28}=2,1MPa\;;\;\sigma_{c28}=25MPa\;;\;f_{c28}=2,1MPa\;;\;\sigma_{c28}=25MPa\;;\;f_{c28}=2,1MPa\;;\;\sigma_{c28}=25MPa\;;\;f_{c28}=2,1MPa\;;\;\sigma_{c28}=25MPa\;;\;f_{c28}=2,1MPa\;;\;\sigma_{c28}=25MPa\;;\;f_{c28}=2,1MPa\;;\;\sigma_{c28}=25MPa\;;\;f_{c28}=2,1MPa\;;\;\sigma_{c28}=25MPa\;;\;f_{c28}=2,1MPa\;;\;\sigma_{c28}=25MPa\;;\;f_{c28}=2,1MPa\;;\;\sigma_{c28}=25MPa\;;\;f_{c28}=2,1MPa\;;\;\sigma_{c28}=25MPa\;;\;f_{c28}=2,1MPa\;;\;\sigma_{c28}=25MPa\;;\;f_{c28}=2,1MPa\;;\;\sigma_{c28}=2,1MPa\;;\;\sigma_{c28}=2,1MPa\;;\;\sigma_{c28}=2,1MPa\;;\;\sigma_{c28}=2,1MPa\;;\;\sigma_{c28}=2,1MPa\;;\;\sigma_{c28}=2,1MPa\;;\;\sigma_{c28}=2,1MPa\;;\;\sigma_{c28}=2,1MPa\;;\;\sigma_{c28}=2,1MPa\;;\;\sigma_{c28}=2,1MPa\;;\;\sigma_{c28}=2,1MPa\;;\;\sigma_{c28}=2,1MPa\;;\;\sigma_{c28}=2,1MPa\;;\;\sigma_{c28}=2,1MPa\;;\;\sigma_{c28}=2,1MPa\;;\;\sigma_{c28}=2,1MPa\;;\;\sigma_{c28}=2,1MPa\;;\;\sigma_{c28}=2,1MPa\;;\;\sigma_{c28}=2,1MPa\;;\;\sigma_{c28}=2,1MPa\;;\;\sigma_{c28}=2,1MPa\;;\;\sigma_{c28}=2,1MPa\;;\;\sigma_{c28}=2,1MPa\;;\;\sigma_{c28}=2,1MPa\;;\;\sigma_{c28}=2,1MPa\;;\;\sigma_{c28}=2,1MPa\;;\;\sigma_{c28}=2,1MPa\;;\;\sigma_{c28}=2,1MPa\;;\;\sigma_{c28}=2,1MPa\;;\;\sigma_{c28}=2,1MPa\;;\;\sigma_{c28}=2,1MPa\;;\;\sigma_{c28}=2,1MPa\;;\;\sigma_{c28}=2,1MPa\;;\;\sigma_{c28}=2,1MPa\;;\;\sigma_{c28}=2,1MPa\;;\;\sigma_{c28}=2,1MPa\;;\;\sigma_{c28}=2,1MPa\;;\;\sigma_{c28}=2,1MPa\;;\;\sigma_{c28}=2,1MPa\;;\;\sigma_{c28}=2,1MPa\;;\;\sigma_{c28}=2,1MPa\;;\;\sigma_{c28}=2,1MPa\;;\;\sigma_{c28}=2,1MPa\;;\;\sigma_{c28}=2,1MPa\;;\;\sigma_{c28}=2,1MPa\;;\;\sigma_{c28}=2,1MPa\;;\;\sigma_{c28}=2,1MPa\;;\;\sigma_{c28}=2,1MPa\;;\;\sigma_{c28}=2,1MPa\;;\;\sigma_{c28}=2,1MPa\;;\;\sigma_{c28}=2,1MPa\;;\;\sigma_{c28}=2,1MPa\;;\;\sigma_{c28}=2,1MPa\;;\;\sigma_{c28}=2,1MPa\;;\;\sigma_{c28}=2,1MPa\;;\;\sigma_{c28}=2,1MPa\;;\;\sigma_{c28}=2,1MPa\;;\;\sigma_{c28}=2,1MPa\;;\;\sigma_{c28}=2,1MPa\;;\;\sigma_{c28}=2,1MPa\;;\;\sigma_{c28}=2,1MPa\;;\;\sigma_{c28}=2,1MPa\;;\;\sigma_{c28}=2,1MPa\;;\;\sigma_{c28}=2,1MPa\;;\;\sigma_{c28}=2,1MPa\;;\;\sigma_{c28}=2,1MPa\;;\;\sigma_{c28}=2,1MPa\;;\;\sigma_{c28}=2,1MPa\;;\;\sigma_{c28}=2,1MPa\;;\;\sigma_{c28}=2,1MPa\;;\;\sigma_{c28}=2,1MPa\;;\;\sigma_{c28}=2,1MPa\;;\;\sigma_{c28}=2,1MPa\;;\;\sigma_{c28}=2,1MPa\;;\;\sigma_{c28}=2,1MPa\;;\;\sigma_{c28}=2,1MPa\;;\;\sigma_{c28}=2,1MPa\;;\;\sigma_{c28}=2,1MPa\;;\;\sigma_{c28}=2,1MPa\;;\;\sigma_{c28}=2,1MPa\;;\;\sigma_{c28}=2,1MP$

MPa; F_{bc}=17.71MPa (organigramme I voir annexe)

Les résultats sont récapitulés dans le tableau suivant :

Tableau VII. 16: Ferraillage de la dalle pleine

| | Sens | Mu | μ | A_s | α | Z(cm) | Ascal | Choix | Asadp | Esp |
|--------|------------|-------|-------|----------|------|-------|----------|--------|-------|------|
| | | (kNm) | | (cm^2) | | | (cm^2) | | (cm²) | (cm) |
| Travée | х-х | 65,62 | 0,11 | 0 | 0,14 | 16.99 | 7,72 | 2×6T12 | 13,48 | 15 |
| | у-у | 16,40 | 0,028 | 0 | 0,04 | 17.71 | 1.93 | 2×4T12 | 9,05 | 25 |
| Appuis | <i>x-x</i> | 38,6 | 0,067 | 0 | 0,09 | 17,35 | 4.54 | 2×5T12 | 11,31 | 20 |
| | <i>y-y</i> | | | | | | | | | |

VII.4.6 Condition exigée par les RPA/version 2024

Le RPA préconise un pourcentage minimum de 0,1% de la section dans les deux sens disposés en deux nappes.

$$A_L \ge 0.1 \times 20 \times 100 = 2.0 cm^2$$
......Vérifiée
$$A_T \ge 0.1 \times 20 \times 100 = 2.0 cm^2$$
.....Vérifiée

VII.4.7 Condition de non fragilité

Pour les dalles travaillant dans les deux sens et dont l'épaisseur est compté entre 12 et 30cm.

On a:

 $12cm \le e \le 30cm$

h=e=20cm; b=100cm.

$$\begin{cases} A_x \ge A_x^{\min} \; ; \quad A_x^{\min} = \rho_0 \left[3 - \frac{L_x}{L_y} \right] \frac{bh}{2} \\ A_y \ge A_y^{\min} \; ; \quad A_y^{\min} = \rho_0 bh \end{cases} \qquad \rho_0 = 0,0008 \text{ pour les barres de FeE500}$$

$$A_x^{mim} = 0,0008 \left(3 - \frac{4}{8} \right) \frac{100 \times 20}{2} = 2 \ cm^2$$

$$A_y^{mim} = 0,0008 \times 100 \times 20 = 1,6~cm^2$$

> En travée :

$$\begin{cases} A_{x=} 4.52 \ cm^2 > A_x^{mim} = 2 \ cm^2 \\ A_{y=} 2.26 \ cm^2 > A_y^{mim} = 1,6 \ cm^2 \end{cases}$$
 Vérifiée

> Sur appuis:

$$\begin{cases} A_{x} = 3.08 \ cm^2 > A_x^{mim} = 2 \ cm^2 \\ A_{y} = 3.08 \ cm^2 > A_y^{mim} = 1,6 \ cm^2 \end{cases}$$
 Vérifiée

VII.4.8 Vérification de l'effort tranchant

Il faut vérifier que:

$$\tau_u = \frac{T_u^{\text{max}}}{bd} < \bar{\tau}_u = 0.05 f_{c28} = 1.25 MPa$$

$$T_x = \frac{q_u L_x L_y}{2L_x + L_y} = \frac{49.95 \times 4 \times 8}{2 \times 4 + 8} = 99.9 \text{ kN}$$

$$T_y = \frac{q_u L_x}{3} = 66.6 \text{ kN}$$

$$T_u^{max} = \text{Max}\left(T_x; T_y\right) = 99.9 \text{ kN}$$

$$\tau_u = \frac{99.9 \times 10^3}{1000 \times 180} = 0.55 \text{ MPa} < \overline{\tau_u} = 1.25 \dots$$
 Vérifiée

VII.4.9 Vérification à L'ELS

a. Evaluation des sollicitations à l'ELS:

$$q_{ser} = q1 = 37 \text{ kn/ml}$$

$$\rho = \frac{lx}{ly} \Longrightarrow \begin{cases} \mu x = 0.0966 \\ \mu y = 0.2500 \end{cases}$$

$$M_x = \mu_x q_u L_x^2 = 57.18 \text{ KNm}$$

$$M_y = \mu_y M_x = 14.30 \text{ KNm}$$

• Moments en travées :

$$M_{tx}$$
=0,85 M_x = 48,60 kNm.

$$M_{ty}=0.85M_y=12.15 \text{ kNm}.$$

• Moments sur appuis :

$$M_{ax} = M_{ay} = 0.5 M_x = 28.57 \text{ kNm}$$

b. Vérification des contraintes :

Il faut vérifier que :
$$\sigma_{bc} \leq \overline{\sigma}_{bc} = 0.6 f_{c28} = 15 MPa$$

Le tableau suivant récapitule les résultats trouvés :

| | Sens | Mser (kNm) | A_s (cm^2) | σ _{bc} (MPa) | $\overline{\sigma}_{bc}$ (MPa) | σ _s (MPa) | $\overline{\sigma}_s$ (MPa) | Vérification |
|--------|------|---------------|----------------|-----------------------|--------------------------------|----------------------|-----------------------------|--------------|
| Travée | X-X | 48,60 | 9,04 | 10,49 | 15 | 178,33 | 250 | OK |
| | у-у | 12,15 | 4,52 | 3,41 | 15 | 43,27 | 250 | OK |
| Appuis | х-х | 28,57 | 6,16 | 9,60 | 15 | 102,11 | 250 | OK |
| | у-у | | | | | | | |

Tableau VII. 17: Vérification des contraintes à l'ELS

VII.4.10 Schéma de feraillage du voile péripherique

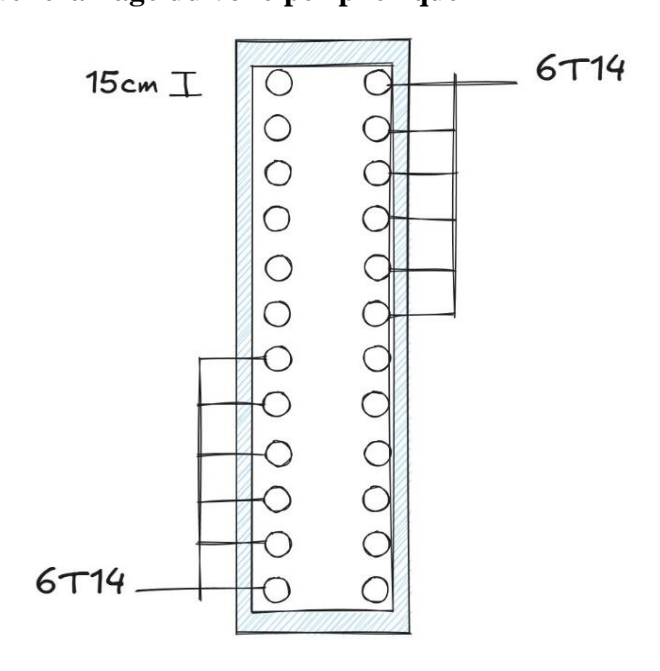


Figure VII. 11: Ferraillage du voile péripherique en travée (sens x-x).

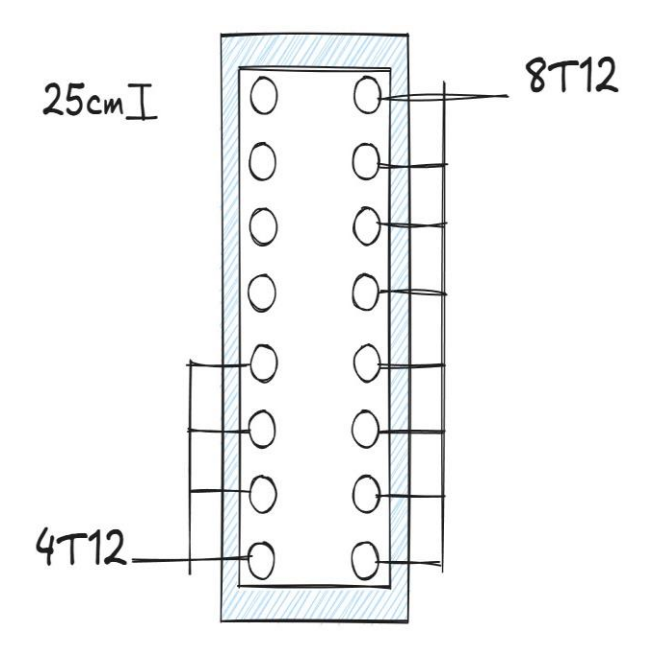


Figure VII. 12: Ferraillage du voile péripherique en travée (sens y-y).

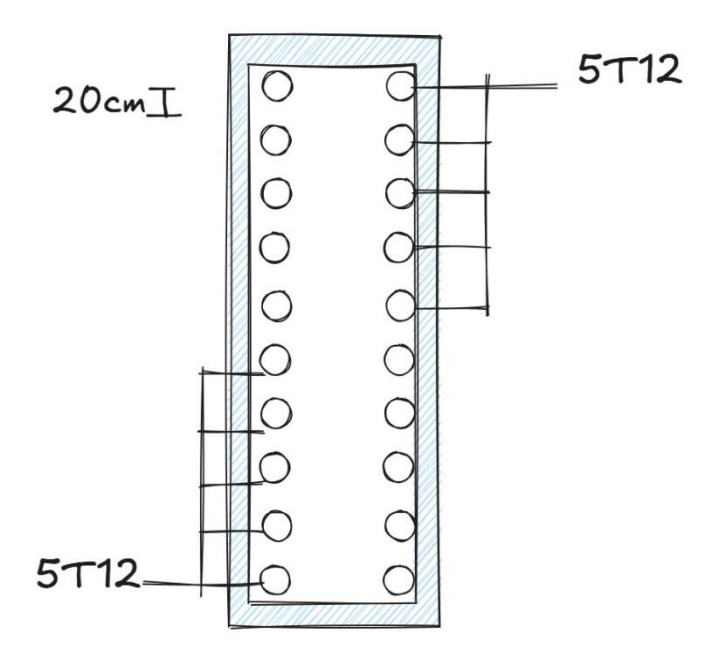


Figure VII. 13: Ferraillage du voile péripherique en appuis (sens x-x); (sens y-y).

Chapitre VIII : Contribution –

Développement d'une Application

pour l'Optimisation de Découpe de

Profilés en Acier

VIII.1 Introduction

Dans le domaine de la construction métallique, la maîtrise des coûts et l'optimisation des ressources sont des enjeux primordiaux. L'acier, bien que matériau de choix pour sa résistance et sa modularité, représente un investissement financier considérable. Une part non négligeable des coûts est directement liée à la gestion des matériaux, depuis l'approvisionnement jusqu'à la mise en œuvre.

Un des défis majeurs rencontrés dans les ateliers de fabrication est l'optimisation de la découpe des profilés en acier. Les profilés sont généralement livrés en longueurs standards (par exemple 12 mètres), alors que les projets de construction requièrent une multitude de pièces de longueurs variées.

Une planification de découpe (calepinage) non optimisée engendre des chutes de matière importantes. Ces chutes, en plus de représenter une perte financière directe, ont également un impact environnemental négatif en générant des déchets.

Face à cette problématique, ce chapitre présente une contribution pratique sous la forme d'une application logicielle, "Cutting-Optimization Pro". Développée en collaboration par l'ingénieur en génie civil et développeur, cette application a pour objectif de résoudre le problème de l'optimisation de la découpe, offrant ainsi un outil puissant aux ingénieurs, techniciens et gestionnaires de projets.

VIII.2 Présentation de l'Application "Cutting-Optimization Pro"

"Cutting-Optimization Pro" est une application de bureau conçue pour automatiser et optimiser le processus de calepinage des profilés en acier. En utilisant un algorithme d'optimisation avancé, l'application détermine la manière la plus efficace de découper les pièces requises à partir des barres standards, dans le but de minimiser le taux de chute et, par conséquent, les coûts de matière.

VIII.2.1 Fonctionnalités Clés

L'application intègre plusieurs fonctionnalités conçues pour répondre aux besoins concrets des professionnels de la construction métallique :

1. **Importation Automatisée des Données** : Pour éviter la saisie manuelle fastidieuse et les risques d'erreur, l'application peut importer directement la liste des débits (profilés

et longueurs requises) à partir de rapports générés par le logiciel de modélisation de structures **Tekla Structures** (fichiers. xsr), ou depuis des fichiers Excel.

- 2. Paramètres Configurables : L'utilisateur a le contrôle sur les paramètres essentiels du processus :
 - Longueur des barres standards disponibles en stock.
 - Épaisseur du trait de scie (kerf), pour une précision accrue dans les calculs.
 - Prix de l'acier au kilogramme, permettant une estimation financière précise.
- 3. Algorithme d'Optimisation : Le cœur de l'application repose sur une implémentation de l'algorithme de "Bin Packing", un problème d'optimisation classique. L'algorithme analyse des milliers de combinaisons de découpe pour trouver la solution qui utilise le moins de barres et génère le minimum de déchet.
- 4. **Visualisation des Résultats** : Les résultats sont présentés de manière claire et intuitive, incluant :
 - Un plan de découpe détaillé pour chaque barre standard, sous forme de tableau et de graphique.
 - Le nombre total de barres standards nécessaires pour réaliser l'ensemble des pièces.
 - Le poids total d'acier requis et le coût global estimé.
 - Le pourcentage de chute (déchet), permettant de quantifier l'efficacité de l'optimisation.
- 5. Exportation de Rapports: L'application peut générer un rapport complet au format PDF. Ce document synthétise tous les résultats et les plans de découpe, et peut être facilement partagé, archivé ou transmis à l'atelier pour exécution.

VIII.2.2 Technologies et Interface Utilisateur

"Cutting-Optimization Pro" a été développé en langage **Python**, en s'appuyant sur la bibliothèque **PyQt5** pour créer une interface graphique (GUI) robuste et conviviale. Le choix de ces technologies permet d'offrir une application multiplateforme, performante et facile à utiliser, même pour des utilisateurs non-experts en informatique.

L'interface est conçue pour être intuitive, avec une section dédiée à la saisie des paramètres et à l'importation des données, et une autre section pour l'affichage détaillé des résultats de l'optimisation.

VIII.3 Avantages et Impact sur le Terrain

L'utilisation de "Cutting-Optimization Pro" dans le cadre de projets de construction métallique offre plusieurs avantages significatifs :

- Avantage Économique: La réduction du taux de chute, qui peut passer de 15-20% dans un processus manuel à moins de 5% avec l'optimisation, se traduit par des économies substantielles sur l'achat de la matière première.
- Gain de Temps et d'Efficacité : L'automatisation du calcul du calepinage libère les ingénieurs et les techniciens d'une tâche longue et complexe, leur permettant de se concentrer sur d'autres aspects critiques du projet.
- **Fiabilité et Précision** : L'application élimine les erreurs humaines potentielles lors des calculs manuels et assure une planification précise et fiable.
- Développement Durable : En minimisant le gaspillage de l'acier, l'application contribue à des pratiques de construction plus durables et respectueuses de l'environnement.

VIII.4 Evaluation fonctionnelle de l'Application

Exemple de teste :

Ont choisie deux types de profilé (HEA140, IPE270) le calcule est dans le tableau suivante :

Weight/m (kg) Stock Length QTY Total Weight (kg) Type Percentage **Total Price** 99.343 31.7% **HEA140** 12000 14 1390,8 222528.000 **IPE270** 149.950 12000 6 899,7 20.5% 143952.000 TOTAL 4389.500 100% 702320.000 ED TOTAL (+{0}%) (12.0%) 4916.240 112% 786598.400

Tableau VIII. 1: Récapitulatif du calcul des profils métalliques

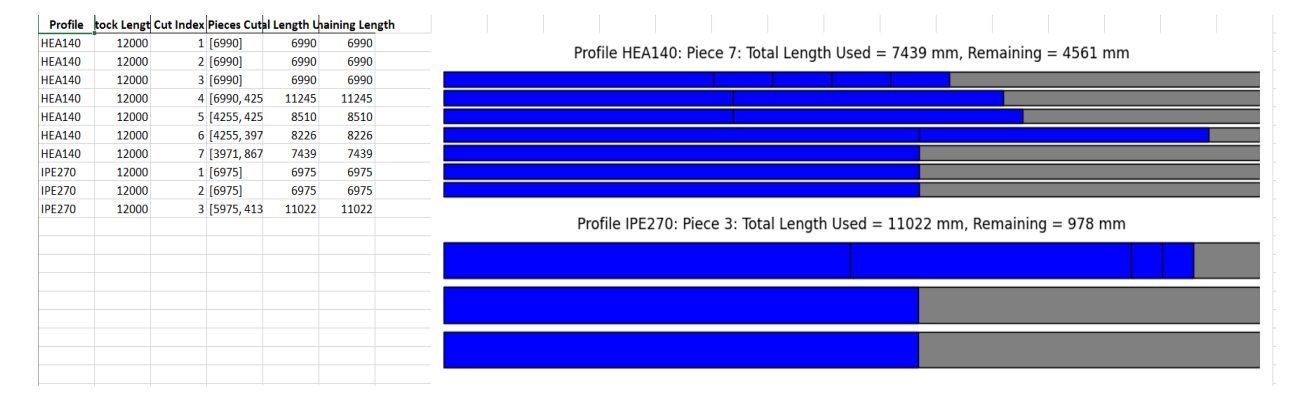


Figure VIII. 1: Optimisation de coupe des profilè.

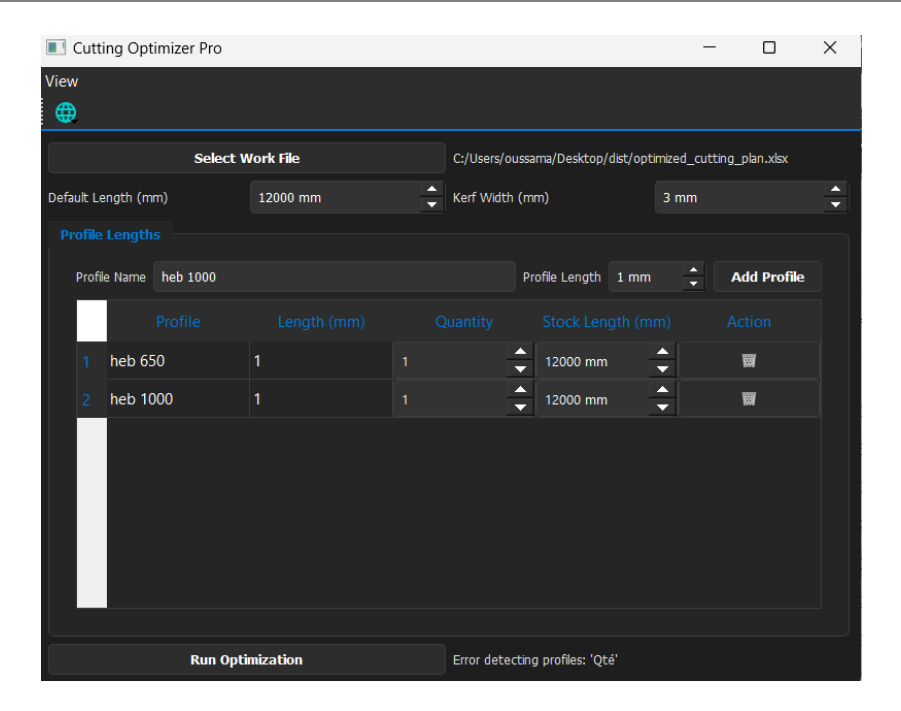


Figure VIII. 2: Interface de saisie des profils dans cutting optimizer pro.

VIII.5 Conclusion

- "Cutting-Optimization Pro" représente une contribution concrète à l'interface entre le génie civil et l'informatique. En apportant une solution numérique à un problème pratique et universel dans la construction métallique, cette application démontre comment la technologie peut être mise au service de l'efficacité, de l'économie et de la durabilité.
- Cet outil constitue un atout précieux pour les entreprises de construction, en leur permettant de mieux contrôler leurs coûts, de rationaliser leurs opérations d'atelier et de renforcer leur compétitivité. Son développement s'inscrit parfaitement dans la démarche de l'ingénieur moderne, qui doit non seulement concevoir des structures sûres et fonctionnelles, mais aussi chercher en permanence à optimiser les processus de leur réalisation.
- Cette recherche peut être prise en considération pour le développement par les entreprises. De plus, la fonctionnalité de l'application peut également être améliorée et réadaptée.

Conclusion générale

Ce projet de fin d'études a consisté en l'étude complète d'un bâtiment commercial (R+9+S/S) en charpente métallique, situé à Blida, une région de forte sismicité (Zone VI). La conception a été menée en stricte conformité avec le règlement parasismique algérien RPA99 (version 2024) pour assurer la sécurité et la stabilité de l'ouvrage.

La démarche a débuté par un pré-dimensionnement des éléments, suivi d'une analyse dynamique modale spectrale sur ETABS. Le processus itératif a démontré la nécessité d'intégrer un système de contreventement par palées en V pour satisfaire les critères réglementaires de déplacement et d'efforts. Tous les éléments structurels, les assemblages et les fondations, pour lesquels un radier général a été retenu, ont été vérifiés selon les normes en vigueur (Eurocodes, CCM97).

Au-delà de l'étude de conception, ce travail se distingue par une contribution pratique : le développement de l'application "Cutting-Optimization Pro". Cet outil répond à un enjeu industriel majeur en optimisant la découpe des profilés métalliques, permettant ainsi une réduction significative des chutes de matière et des coûts associés, tout en promouvant une approche de construction plus durable.

Ce projet a non seulement permis de valider la conception d'une structure complexe en zone sismique, mais il ouvre également des perspectives pour des analyses plus poussées (études non-linéaires) et pour l'amélioration continue de l'outil d'optimisation développé. Il représente l'aboutissement de notre formation, alliant la rigueur du calcul réglementaire, la modélisation avancée et l'innovation pratique.

Références bibliographiques

- Règles Parasismiques Algériennes RPA99 version 2024.
- Règles techniques de conception et de calcul des ouvrages et des constructions en béton armé suivant la méthode des états limites « BAEL 91 révisées 99 » MINISTERE DE L'HABITAT ET DEL'URBANISME, Ed : CSTB 2000, (Algérie).
- D.T.R B.C 2.2 « Charges permanentes et sur charges d'exploitations ».
- Document Technique Réglementaire Algérienne D.T.R-BC-2-44, REGLES DE CONCEPTIONET DE CALCUL DES STRUCTURES EN ACIER « CCM 97 »,
- EUROCODE 3 : Calcul des structures en acier : Règles générales et règles pour les bâtiments
- EUROCODE 4 partie 1 : « Conception et dimensionnement des structures mixtes acierbéton ».
- Recommandations pour l'application de la nf en 1991-1-4 aux charpentes et ossatures en acier de batiment juillet 2017.
- C.B.A.93, règles de conception et de calcul des structures en béton armé.
- Cours charpente métallique (Master 1) : « Mr. B. MENADI » et« Mr. SETHI ».
- Cours du béton armé (2ème; 3ème; Master 1).
- Cours de la dynamique des structures (Master 1) : « Mme. CHERFA ».
- Cours de la résistance des matériaux (2^{ème}; 3^{ème}; Master 1).
- https://www.optimalprograms.com/cutting-optimization/
- Cours de bâtiments « Mr. A. ZEHAF ».
- Cours construction mixte (Master 1): «Mr. A. ZAHAF» et« Mme.W. BADIS ».
- Cour mécanique des sols (Fondations) (Licence) : « Mr.Y.SAIL ».
- Cours Calcul des fondations (Master 2) : « Mme .N .AOUALI ».
- Université Saad Dahleb de Blida, guide de rédaction d'un projet de fin d'études.

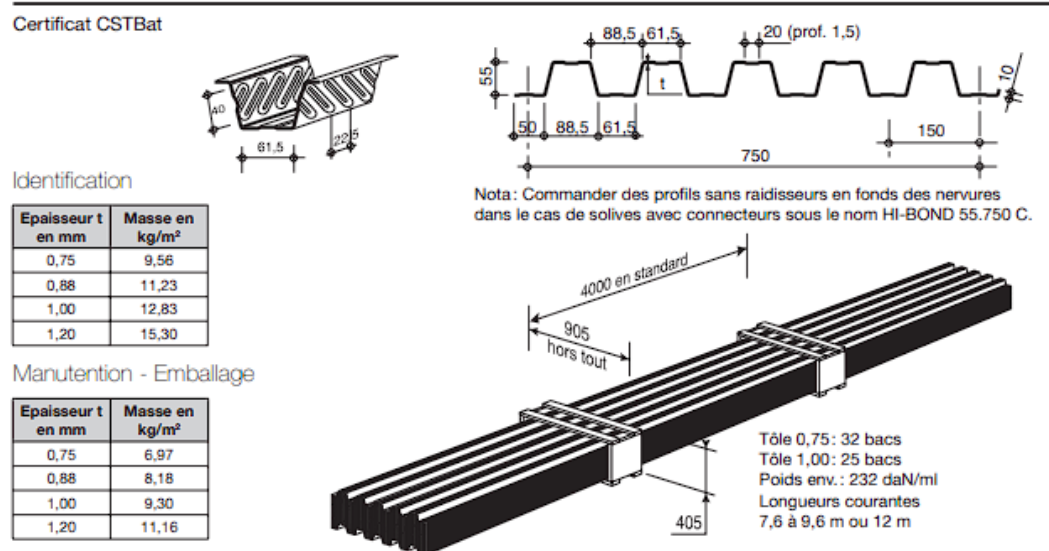
Annexes

Annexe A

Fiche technique tôle Hi-bond 55:



HI-BOND 55.750



Valeurs de calcul

| Epaisseur t en mm | Epaisseur acier en mm | Aire d'acier en cm²/m | Position fi | bre neutre | Mt d'inertie | Modules de | résistance |
|----------------------|--------------------------|--------------------------|----------------------|------------|--------------|------------------|-------------------|
| en min | acier en min | CIII /III | v _i en cm | v, en cm | Tencin | i.v _i | 1/ V ₃ |
| 0,75 | 0,71 | 11,18 | 2,75 | 2,75 | 57,54 | 20,92 | 20,92 |
| 0,88 | 0,84 | 13,23 | 2,75 | 2,75 | 68,08 | 24,76 | 24,76 |
| 1,00 | 0,96 | 15,12 | 2,75 | 2,75 | 77,80 | 28,29 | 28,29 |
| 1,20 | 1,16 | 18,27 | 2,75 | 2,75 | 94,01 | 34,19 | 34,19 |

PORTÉES ADMISSIBLES AU COULAGE EN MÈTRES

Distances maximales franchissables par la tôle HI-BOND, telles que mesurées selon la figure de la colonne de gauche, admissibles sans étaiement, pour chaque épaisseur de plancher, en fonction de l'épaisseur nominale t de la tôle et du nombre de travées couvertes par la tôle, pour une déformation admissible du coffrage de 1/240 ème de la portée. Les colonnes de droite indiquent la distance maximale de part et d'autre d'une file d'étais éventuelle.



pour les valeurs en italique. l'élancement du plancher est supérieur à 36

Ces valeurs maximales conviennent lorsque les arrêts de coulage éventuels sont au droit des supports, aux extrémités des tôles et si toutes les précautions utiles sont prises au moment du coulage pour éviter une surépaisseur de béton même localisée, même temporaire, sur la tôle. En cas contraires, choisir des portées moindres. Fixer les tôles par deux fixations au moins par bac à chaque extrémité.

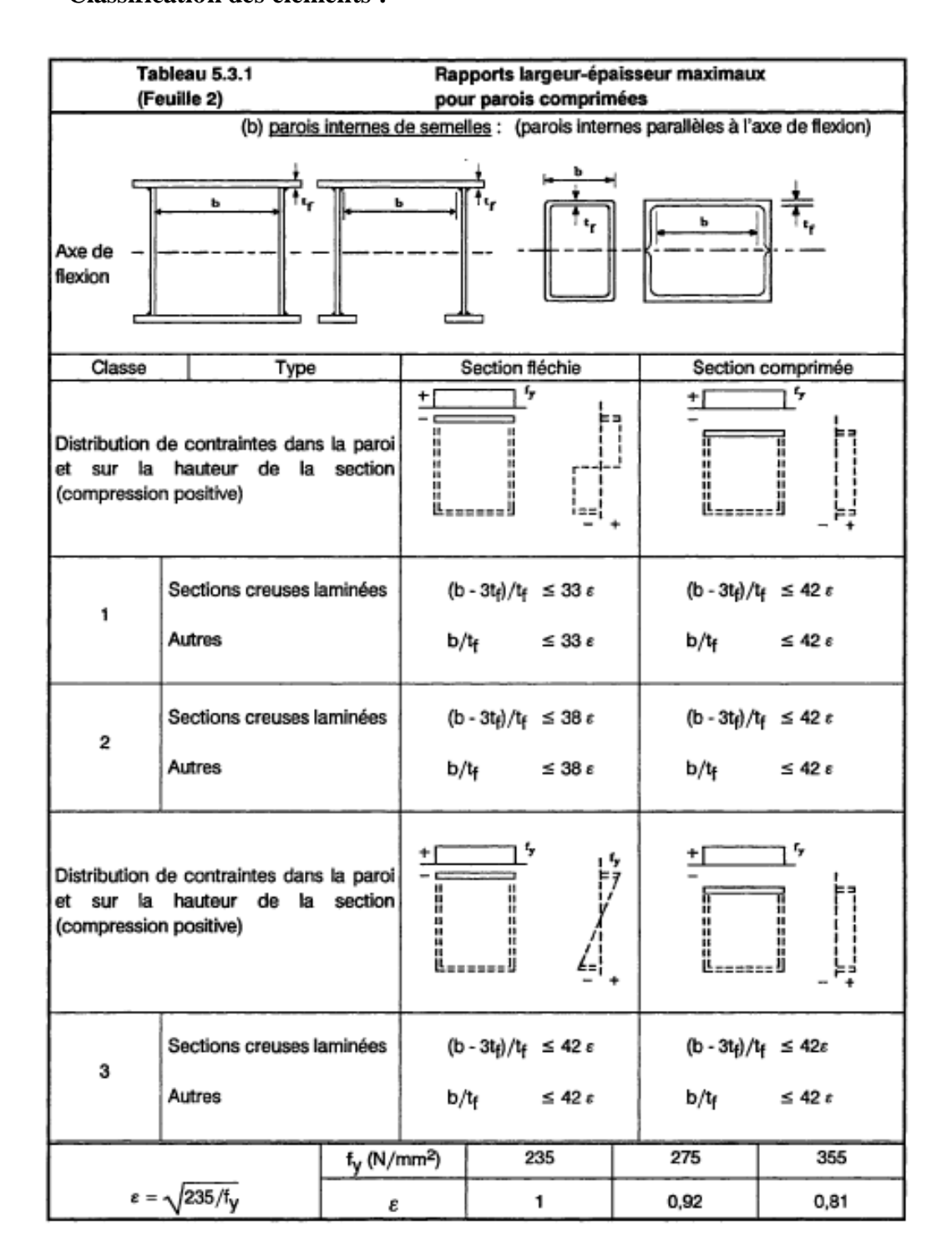
Annexe B

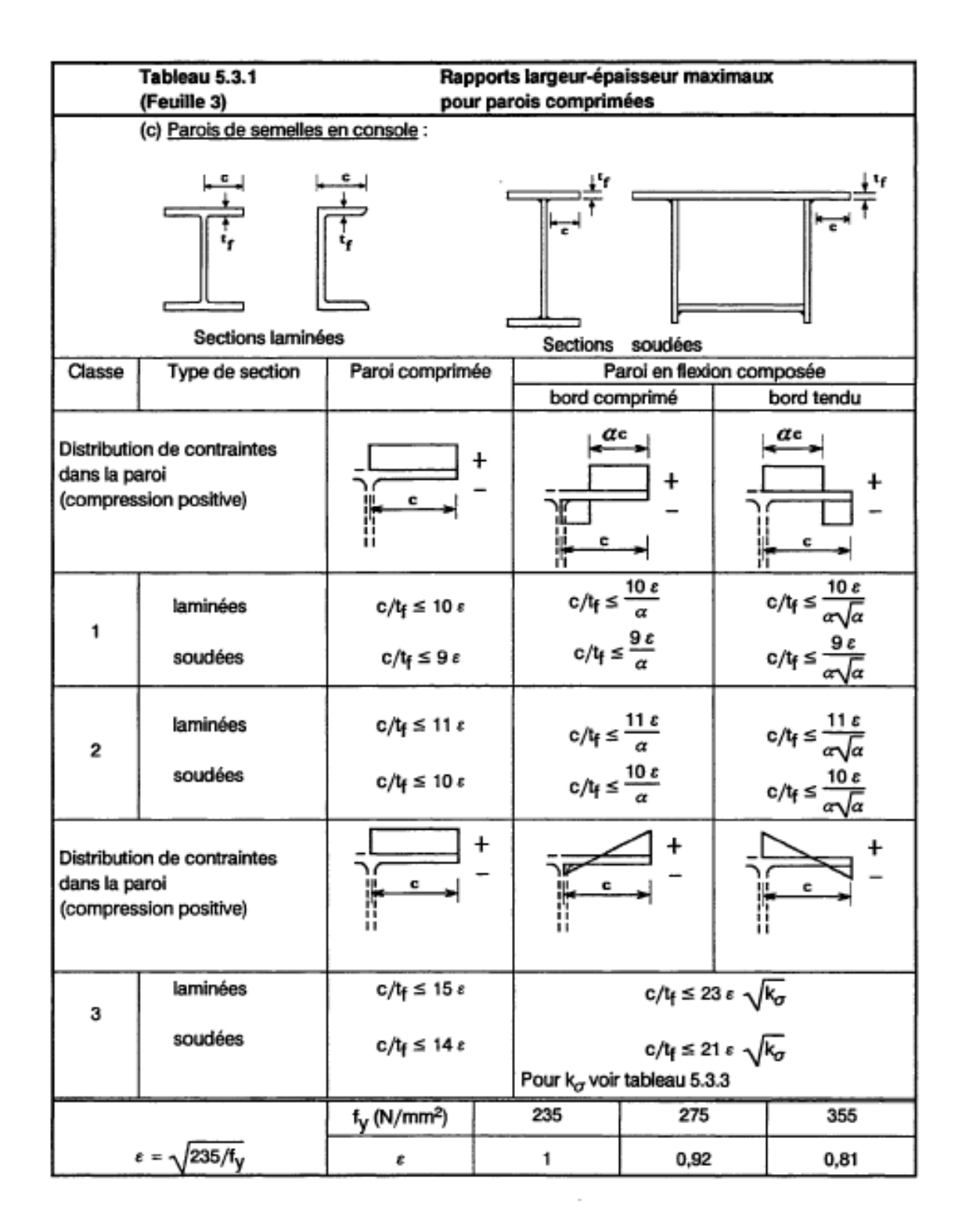
Coefficient relative aux résistances :

2. COEFFICIENTS RELATIFS AUX RESISTANCES

| | Tableau 3 - Valeurs des coefficients partiels de sécurité $\gamma_{	extbf{M}}$ sur les résistances | | | | | |
|------------|----------------------------------------------------------------------------------------------------|----------------------------|----------------------------------------------------------------------------|----------------------|----------------------|--|
| Référence | Résistance | Symbole | Domaine | Valeurs | | |
| dans l'EC3 | concernée | utilisé | d'application | ENV 1993-1-1 | EC3-DAN | |
| . , . | · | ., | - Résistance des sections | | | |
| | Résistance des sections | γ _{M0} | . de Classe 1, 2 ou 3 | 1,1 | 1,0 ou 1,1 | |
| 5.1.1(2) | des sections | γ_{M1} | . de Classe 4 | 1,1 | 1,1 | |
| | | γ_{M2} | - Résistance de section nette au droit des trous de boulons | 1,25 | 1,25 | |
| 5.1.1(2) | Résistance des éléments | ,γ _{M1} | - Résistance aux instabilités | 1,1 | 1,1 | |
| | | γ_{Mb} | - Assemblages boulonnés | | | |
| 6.1.1(2) | | - 140 | . résistance au cisaillement | 1,25 | 1,25 | |
| | | | . résistance à la traction | 1,25 | 1,50 | |
| | Résistance des assemblages | $\gamma_{\rm Mr}$ | - Assemblages rivés | 1,25 | 1,25 | |
| | assemolages | | - Résistance des axes d'articulation | 1,25 | 1,25 | |
| | | γ_{Mw} | - Assemblages soudés . acier Fe 360 . acier Fe 430 . acier Fe 510 | 1,25 1,25 1,25 | 1,25 1,30 1,35 | |
| K.1 | | γ_{Mj} | - Assemblages tubulaires | γ _{M1} /1,1 | 1,0 | |
| | | $\gamma_{Ms,ult}$ | - aux ELU | 1,25 | 1,10 | |
| 6.5.8.1(3) | Résistance des boulons HR au glissement | $\gamma_{ m Ms,ult}$ | - aux ELU, avec trous surdi- mensionnés et trous oblongs | 1,40 | 1,25 | |
| - | | $\gamma_{\mathrm{Ms,ser}}$ | - aux ELS | 1,10 | 1,20 | |
| 9.3.4(4) | Résistance à la fatigue | γ_{Mf} | - Eléments "redondants" | 1,00 à 1,15 | 1,00 à 1,15 | |
| | | / Mf | - Eléments "non redondants" | 1,25 à 1,35 | 1,25 à 1,35 | |
| | | | - Poids propre | 1,00 | 1,00 | |
| Y.4.1(3) | Coefficient pour charge d'essai de réception | - | - Autres charges permanentes | 1,15 | 1,00 | |
| | de reception | | - Charges variables | 1,25 | 1,00 | |

Classification des éléments :





• Choix de courbe de flambement :

| Tableau 5.5.3 Choix de la courbe de flambement correspondant à une section | | | | | |
|------------------------------------------------------------------------------|------------------------------------------------------|-------------------------|------------|--|--|
| Type de Section | limites | axe de | courbe de | | |
| Sections en I laminées | h / b > 1,2 : t _f ≤ 40 mm | flambement y - y | flambement | | |
| h yy | 40 mm < t _f ≤ 100 mm | z - z y - y z - z | b c | | |
| | h / b ≤ 1,2 : t _f ≤ 100 mm | y - y z - z | b c | | |
| | t _f > 100 mm | y - y z - z | d d | | |
| Sections en I soudées | t _f ≤ 40 mm | y - y z - z | b c | | |
| | t _f > 40 mm | y - y z - z | c d | | |
| Sections creuses | laminées à chaud | quel qu'il soit | a | | |
| | formées à froid - en utilisant f _{yb} *) | quel qu'il soit | ь | | |
| | formées à froid - en utilisant f _{ya} *) | quel qu'il soit | С | | |
| Caissons soudés | d'une manière générale (sauf ci-dessous) | quel qu'il soit | b | | |
| T T T T T | Soudures épaisses et | | | | |
| z | b / t _f < 30 h / t _w < 30 | y - y z - z | c | | |
| Sections en U, L, T et sections pleines *) Voir 5.5.1.4 (4) et figure 5.5.2 | · | quel qu'il soit | С | | |

• Facteur de moment uniforme équivalent :

| Diagramme de moment | Facteur de moment uniforme équivalent eta_{M} | | | |
|-----------------------------------------------------|--------------------------------------------------------------------------------------|--|--|--|
| Moments d'extrémités | | | | |
| M ₁ ψM ₁ | $eta_{M,\psi}$ = 1,8 - 0,7 ψ | | | |
| -1 ≤ ψ ≤ 1 | | | | |
| Moments dus à des charges transversales | | | | |
| M _O | β _{M,Q} = 1,3 | | | |
| Mo | $\beta_{M,Q} = 1.4$ | | | |
| Moments dus à des charges | | | | |
| transversales | | | | |
| plus des moments d'extrémités | | | | |
| M ₁ ΔM ↑ | M- | | | |
| M₁ ↓ ΔM ↑ | $\beta_{M} = \beta_{M,\psi} + \frac{M_{Q}}{\Delta M} (\beta_{M,Q} - \beta_{M,\psi})$ | | | |
| м ₁ | M _Q = max M dû aux charges transversales seulement | | | |
| T _{Mq} T | pour diagramme de moment sans changement de signe | | | |
| <u></u> | AM = < | | | |
| М1 | max M + min M pour diagramme de moment avec changement de signe | | | |
| Figure 5.5.3 Facteurs de moment uniforme équivalent | | | | |

Coefficient C1 C2 :

| dans le cas de moment Diagramme de moment de flexion # = - 1 # = - 1/2 | s d'extrémités Valeur de k 1,0 0,7 0,5 1,0 0,7 0,5 1,0 0,7 0,5 1,0 0,7 0,5 | C ₁ 1,000 1,000 1,000 1,141 1,270 1,305 1,323 1,473 1,514 1,563 1,739 | Coefficients C2 | C ₃ 1,000 1,113 1,144 0,998 1,565 2,283 0,992 1,556 2,271 |
|--------------------------------------------------------------------------|---------------------------------------------------------------------------------|----------------------------------------------------------------------------------------|--------------------------------------------------------|-------------------------------------------------------------------------------|
| # 1/2 | 1,0 0,7 0,5 1,0 0,7 0,5 1,0 0,7 0,5 | C ₁ 1,000 1,000 1,000 1,141 1,270 1,305 1,323 1,473 1,514 1,563 1,739 | C ₂ | C ₃ 1,000 1,113 1,144 0,998 1,565 2,283 0,992 1,556 2,271 |
| \$ 1/2 \$ 1/2 | 1,0 0,7 0,5 1,0 0,7 0,5 1,0 0,7 0,5 | 1,000 1,000 1,000 1,000 1,141 1,270 1,305 1,323 1,473 1,514 | - | 1,000 1,113 1,144 0,998 1,565 2,283 0,992 1,556 2,271 |
| ¥ - · 1/2 | 0,7 0,5 1,0 0,7 0,5 1,0 0,7 0,5 | 1,000 1,000 1,141 1,270 1,305 1,323 1,473 1,514 1,563 1,739 | | 1,113 1,144 0,998 1,565 2,283 0,992 1,556 2,271 |
| ¥ - · 1/2 | 0,5 1,0 0,7 0,5 1,0 0,7 0,5 | 1,000 1,141 1,270 1,305 1,323 1,473 1,514 1,563 1,739 | | 1,144 0,998 1,565 2,283 0,992 1,556 2,271 |
| ¥ - · 1/2 | 1,0 0,7 0,5 1,0 0,7 0,5 | 1,141 1,270 1,305 1,323 1,473 1,514 1,563 1,739 | | 0,998 1,565 2,283 0,992 1,556 2,271 |
| ¥ - · 1/2 | 0,7 0,5 1,0 0,7 0,5 1,0 0,7 | 1,270 1,305 1,323 1,473 1,514 1,563 1,739 | - | 1,565 2,283 0,992 1,556 2,271 |
| * 1/4 | 0,5 1,0 0,7 0,5 1,0 0,7 | 1,305 1,323 1,473 1,514 1,563 1,739 | - | 2,283 0,992 1,556 2,271 |
| * 1/4 | 1,0 0,7 0,5 1,0 0,7 | 1,323 1,473 1,514 1,563 1,739 | - | 0,992 1,556 2,271 |
| * 1/4 | 0,7 0,5 1,0 0,7 | 1,473 1,514 1,563 1,739 | - | 1,556 2,271 |
| | 0,5 1,0 0,7 | 1,514 1,563 1,739 | - | 2,271 |
| | 1,0 0,7 | 1,563 1,739 | | |
| | 0,7 | 1,739 | | 0.077 |
| | | | | 0,977 |
| | 0,5 | | | 1,531 |
| | 1 1 | 1,788 | • | 2,235 |
| ψ = · · · | 1,0 | 1,879 | | 0,939 |
| | 0,7 | 2,092 | | 1,473 |
| | 0,5 | 2,150 | - | 2,150 |
| ♥ = -1/4 | 1,0 | 2,281 | | 0,855 |
| TT | 0,7 | 2,538 | | 1,340 |
| | 0,5 | 2,609 | - | 1,957 |
| ψ = - 1/2 | 1,0 | 2,704 | | 0,676 |
| T | 0,7 | 3,009 | | 1,059 |
| | 0,5 | 3,093 | | 1,546 |
| ₩ = - 3/4 | 1,0 | 2,927 | | 0,366 |
| h- | 0,7 | 3,258 | | 0,575 |
| | 0,5 | 3,348 | | 0,837 |
| V =-1 | 1.0 | 2,752 | | 0,000 |
| | | | | 0,000 |
| <u></u> | 0,5 | 3,149 | | 0,000 |
| | •••• | 0,7 0,5 | 0,7 3,258 3,348 0,5 3,348 1,0 2,752 0,7 3,063 | 0,7 3,258 0,5 3,348 - |

| Tableau F.1.2 | Coefficients C ₁ , C ₂ et C dans le cas de charges | - | | rs de k, | |
|----------------------------------------------|-----------------------------------------------------------------------------|-----------|----------------|----------------|-------|
| Chargement et | Diagramme de | Valeur de | | Coefficients | |
| conditions d'appuis | moment de flexion | k | C ₁ | C ₂ | C3 |
| ************************************** | | 1,0 | 1,132 | 0,459 | 0,525 |
| | | 0,5 | 0,972 | 0,304 | 0,980 |
| w | | 1,0 | 1,285 | 1,562 | 0,753 |
| | | 0,5 | 0,712 | 0,652 | 1,070 |
| 1 ^F | | 1,0 | 1,365 | 0,553 | 1,730 |
| <u>' </u> | | 0,5 | 1,070 | 0,432 | 3,050 |
| F | | 1,0 | 1,565 | 1,267 | 2,640 |
| a si | | 0,5 | 0,938 | 0,715 | 4,800 |
| ę. | | 1,0 | 1,046 | 0,430 | 1,120 |
| F F | | 0,5 | 1,010 | 0,410 | 1,890 |
| , , , , , , , , , , , , , , , , , , , | | | | | |

• Coeficient de reduction :

| 7 | Tableau 5.5.2 | Coefficie | nts de réductio | nχ |
|-----|---------------|-----------|-----------------|--------|
| | | Courbe de | flambement | |
| 1 | а | b | С | d |
| 0,2 | 1,0000 | 1,0000 | 1,0000 | 1,0000 |
| 0,3 | 0,9775 | 0,9641 | 0,9491 | 0,9235 |
| 0,4 | 0,9528 | 0,9261 | 0,8973 | 0,8504 |
| 0,5 | 0,9243 | 0,8842 | 0,8430 | 0,7793 |
| 0,6 | 0,8900 | 0,8371 | 0,7854 | 0,7100 |
| 0,7 | 08477 | 0,7837 | 0,7247 | 0,6431 |
| 0,8 | 0,7957 | 0,7245 | 0,6622 | 0,5797 |
| 0,9 | 0,7339 | 0,6612 | 0,5998 | 0,5208 |
| 1,0 | 0,6656 | 0,5970 | 0,5399 | 0,4671 |
| 1,1 | 0,5960 | 0,5352 | 0,4842 | 0,4189 |
| 1,2 | 0,5300 | 0,4781 | 0,4338 | 0,3762 |
| 1,3 | 0,4703 | 0,4269 | 0,3888 | 0,3385 |
| 1,4 | 0,4179 | 0,3817 | 0,3492 | 0,3055 |
| 1,5 | 0,3724 | 0,3422 | 0,3145 | 0,2766 |
| 1,6 | 0,3332 | 0,3079 | 0,2842 | 0,2512 |
| 1,7 | 0,2994 | 0,2781 | 0,2577 | 0,2289 |
| 1,8 | 0,2702 | 0,2521 | 0,2345 | 0,2093 |
| 1,9 | 0,2449 | 0,2294 | 0,2141 | 0,1920 |
| 2,0 | 0,2229 | 0,2095 | 0,1962 | 0,1766 |
| 2,1 | 0,2036 | 0,1920 | . 0,1803 | 0,1630 |
| 2,2 | 0,1867 | 0,1765 | 0,1662 | 0,1508 |
| 2,3 | 0,1717 | 0,1628 | 0,1537 | 0,1399 |
| 2,4 | 0,1585 | 0,1506 | 0,1425 | 0,1302 |
| 2,5 | 0,1467 | 0,1397 | 0,1325 | 0,1214 |
| 2,6 | 0,1362 | 0,1299 | 0,1234 | 0,1134 |
| 2,7 | 0,1267 | 0,1211 | 0,1153 | 0,1062 |
| 2,8 | 0,1182 | 0,1132 | 0,1079 | 0,0997 |
| 2,9 | 0,1105 | 0,1060 | 0,1012 | 0,0937 |
| 3,0 | 0,1036 | 0,0994 | 0,0951 | 0,0882 |

| Φ (mm) | 5 | 6 | 8 | 10 | 12 | 14 | 16 | 20 | 25 | 32 | 40 |
|--------|------|------|-------|-------|-------|-------|-------|-------|-------|--------|--------|
| 1 | 0,20 | 0,28 | 0,50 | 0,79 | 1,13 | 1,54 | 2,01 | 3,14 | 4,91 | 8,04 | 12,57 |
| 2 | 0,39 | 0,57 | 1,01 | 1,57 | 2,26 | 3,08 | 4,02 | 6,28 | 9,82 | 16,08 | 25,13 |
| 3 | 0,59 | 0,85 | 1,51 | 2,36 | 3,39 | 4,62 | 6,03 | 9,42 | 14,73 | 24,13 | 37,7 |
| 4 | 0,79 | 1,13 | 2,01 | 3,14 | 4,52 | 6,16 | 8,04 | 12,57 | 19,64 | 32,17 | 50,27 |
| 5 | 0,98 | 1,41 | 2,51 | 3,93 | 5,65 | 7,72 | 10,05 | 15,71 | 24,54 | 40,21 | 62,83 |
| 6 | 1,18 | 1,70 | 3,02 | 4,71 | 6,79 | 9,24 | 12,06 | 18,85 | 29,45 | 48,25 | 75,40 |
| 7 | 1,37 | 1,98 | 3,52 | 5,50 | 7,92 | 10,78 | 14,07 | 21,99 | 34,36 | 56,30 | 87,96 |
| 8 | 1,57 | 2,26 | 4,02 | 6,28 | 9,05 | 12,32 | 16,08 | 25,13 | 39,27 | 64,34 | 100,53 |
| 9 | 1,77 | 2,54 | 4,52 | 7,07 | 10,18 | 13,85 | 18,10 | 28,27 | 44,18 | 72,38 | 113,10 |
| 10 | 1,96 | 2,83 | 5,03 | 7,85 | 11,31 | 15,39 | 20,11 | 31,42 | 49,09 | 80,42 | 125,66 |
| 11 | 2,16 | 3,11 | 5,53 | 8,64 | 12,44 | 16,93 | 22,12 | 34,56 | 54,00 | 88,47 | 138,23 |
| 12 | 2,36 | 3,39 | 6,03 | 9,42 | 13,57 | 18,47 | 24,13 | 37,70 | 58,91 | 96,51 | 150,80 |
| 13 | 2,55 | 3,68 | 6,53 | 10,21 | 14,70 | 20,01 | 26,14 | 40,84 | 63,81 | 104,55 | 163,36 |
| 14 | 2,75 | 3,96 | 7,04 | 11,00 | 15,38 | 21,55 | 28,15 | 43,98 | 68,72 | 112,59 | 175,93 |
| 15 | 2,95 | 4,24 | 7,54 | 11,78 | 16,96 | 23,09 | 30,16 | 47,12 | 73,63 | 120,64 | 188,50 |
| 16 | 3,14 | 4,52 | 8,04 | 12,57 | 18,10 | 24,63 | 32,17 | 50,27 | 78,54 | 128,68 | 201,06 |
| 17 | 3,34 | 4,81 | 8,55 | 13,35 | 19,23 | 26,17 | 34,18 | 53,41 | 83,45 | 136,72 | 213,63 |
| 18 | 3,53 | 5,09 | 9,05 | 14,14 | 20,36 | 27,71 | 36,19 | 56,55 | 88,36 | 144,76 | 226,20 |
| 19 | 3,73 | 5,37 | 9,55 | 14,92 | 21,49 | 29,25 | 38,20 | 59,69 | 93,27 | 152,81 | 238,76 |
| 20 | 3,93 | 5,65 | 10,05 | 15,71 | 22,62 | 30,79 | 40,21 | 62,83 | 98,17 | 160,85 | 251,33 |

EL MEHDI DRIOUICH

CALCULE BETON ARMEE T.S.G.O et T.D.B

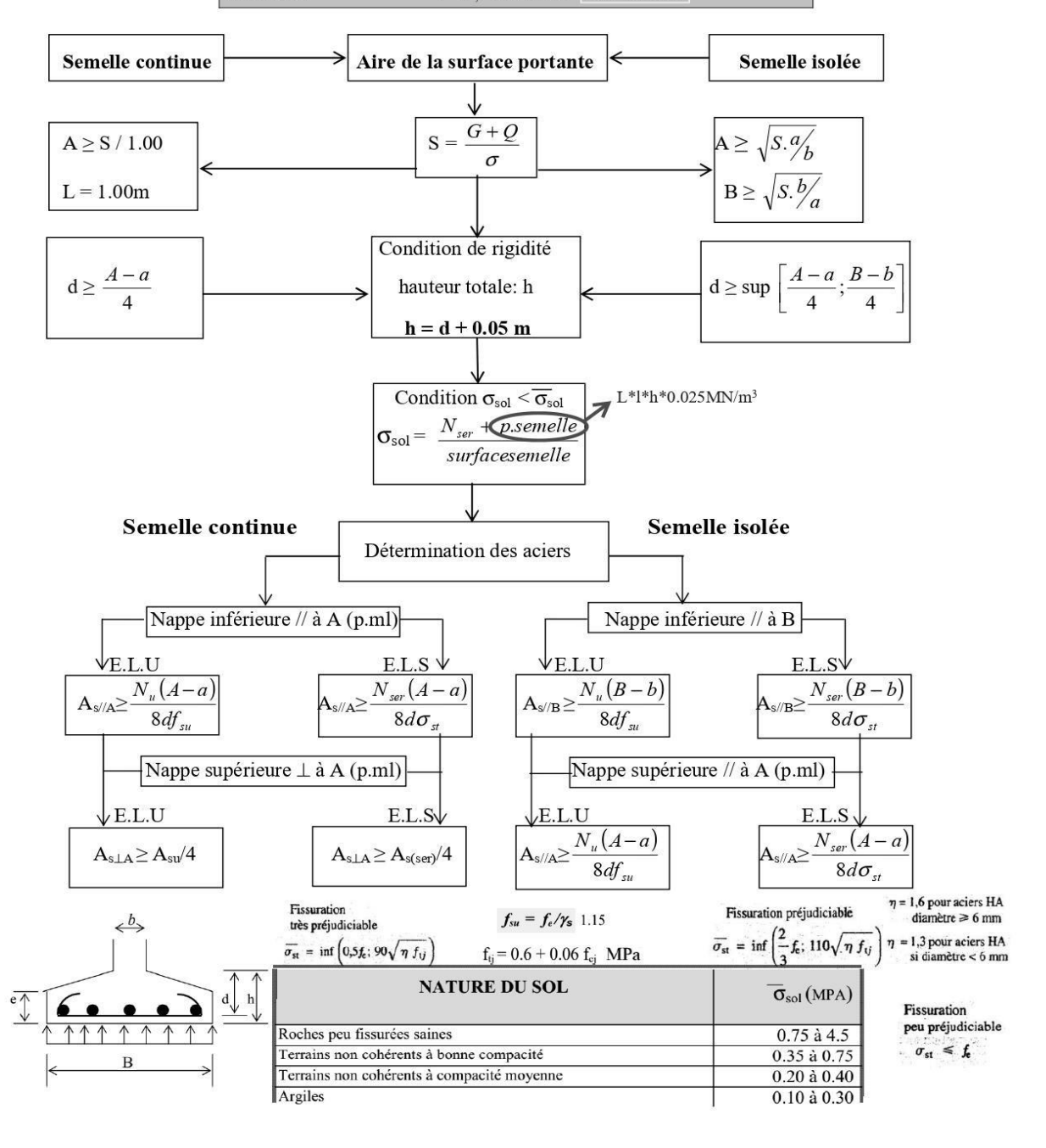
SEMELLES DE FONDATION

Nu = 1.35G + 1.5QDonnées:

: N_{ser} ; N_u 1N=10⁻³KN=10⁻⁶MN : A; B Combinaison de base

Section de la semelle Section du poteau : a; b

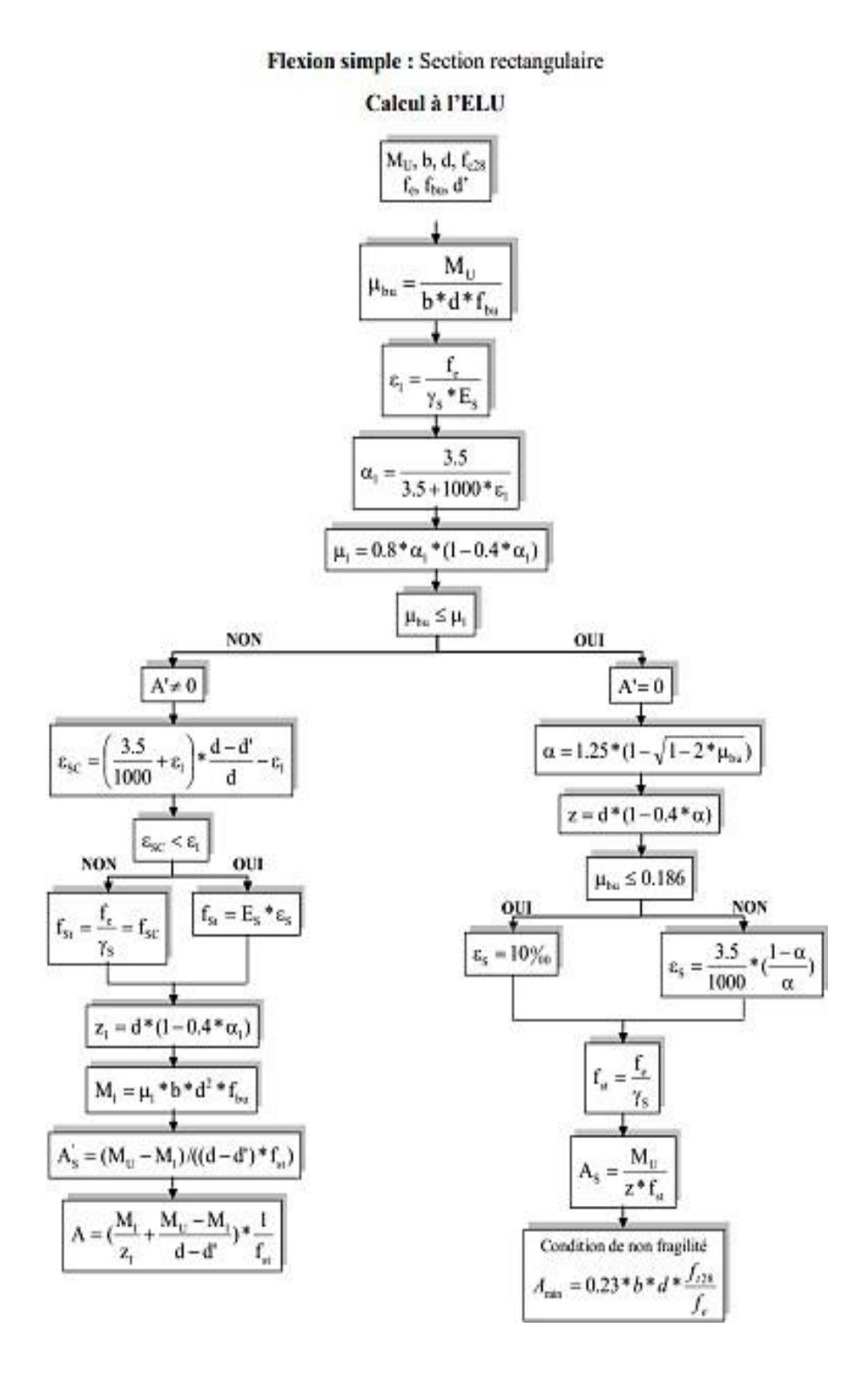
: $f_{e\,;} \overline{\sigma}_{sol}; \overline{\sigma}_{st}$ | 1Bar=0.1MPa Matériaux



Dalles rectangulaires uniformément chargées articulées sur leur contour

| | ELU | $\nu = 0$ | ELS v | =0.2 |
|-----------|---------|-----------|---------|---------|
| l_x/l_y | μ_x | μ_y | μ_z | μ_g |
| 0.40 | 0.1101 | 0.2500 | 0.1121 | 0.2854 |
| 0.45 | 0.1036 | 0.2500 | 0.1063 | 0.3234 |
| 0.50 | 0.0966 | 0.2500 | 0.1000 | 0.3671 |
| 0.55 | 0.0894 | 0.2500 | 0.0936 | 0.4150 |
| 0.60 | 0.0822 | 0.2948 | 0.0870 | 0.4672 |
| 0.65 | 0.0751 | 0.3613 | 0.0805 | 0.5235 |
| 0.70 | 0.0684 | 0.4320 | 0.0743 | 0.5817 |
| 0.75 | 0.0621 | 0.5105 | 0.0684 | 0.6447 |
| 0.80 | 0.0561 | 0.5959 | 0.0628 | 0.7111 |
| 0.85 | 0.0506 | 0.6864 | 0.0576 | 0.7794 |
| 0.90 | 0.0456 | 0.7834 | 0.0528 | 0.8502 |
| 0.95 | 0.0410 | 0.8875 | 0.0483 | 0.9236 |
| 1.00 | 0.0368 | 1,0000 | 0.0441 | 1.0000 |

Organigramme flexion simple



II. Annexe 1 assemblage poteau poutre secondaire

Platines

| Nom | t _p [mm] | Charges | σ Ed [MPa] | ε ρι [%] | σ _{c,Ed} [MPa] | Résultat |
|---------|------------------------|---------|----------------------|--------------------|----------------------------|----------|
| C-bfl 1 | 33,0 | LE1 | 276,0 | 0,5 | 24,9 | OK |
| C-tfl 1 | 33,0 | LE1 | 275,8 | 0,4 | 0,0 | OK |
| C-w 1 | 17,5 | LE1 | 275,1 | 0,0 | 0,0 | OK |
| B-bfl 1 | 11,5 | LE1 | 272,2 | 0,2 | 0,0 | OK |
| B-tfl 1 | 11,5 | LE1 | 279,5 | 2,1 | 0,0 | OK |
| B-w 1 | 7,5 | LE1 | 276,6 | 0,8 | 0,0 | OK |
| EP1 | 20,0 | LE1 | 275,2 | 0,1 | 53,1 | OK |
| WID1a | 20,0 | LE1 | 283,4 | 4,0 | 0,0 | OK |
| WID1b | 20,0 | LE1 | 275,1 | 0,1 | 0,0 | OK |
| WID1c | 20,0 | LE1 | 170,4 | 0,0 | 0,0 | OK |
| WID1d | 20,0 | LE1 | 275,7 | 0,3 | 0,0 | OK |
| RAID1a | 20,0 | LE1 | 275,1 | 0,1 | 0,0 | OK |
| RAID1b | 20,0 | LE1 | 275,1 | 0,1 | 0,0 | OK |
| RAID2a | 20,0 | LE1 | 275,3 | 0,1 | 0,0 | OK |
| RAID2b | 20,0 | LE1 | 275,3 | 0,1 | 0,0 | OK |

Données de conception

| Matériau | f_y [MPa] | ε lim [%] |
|----------|-------------------------------|---------------------|
| S 275 | 275,0 | 5,0 |

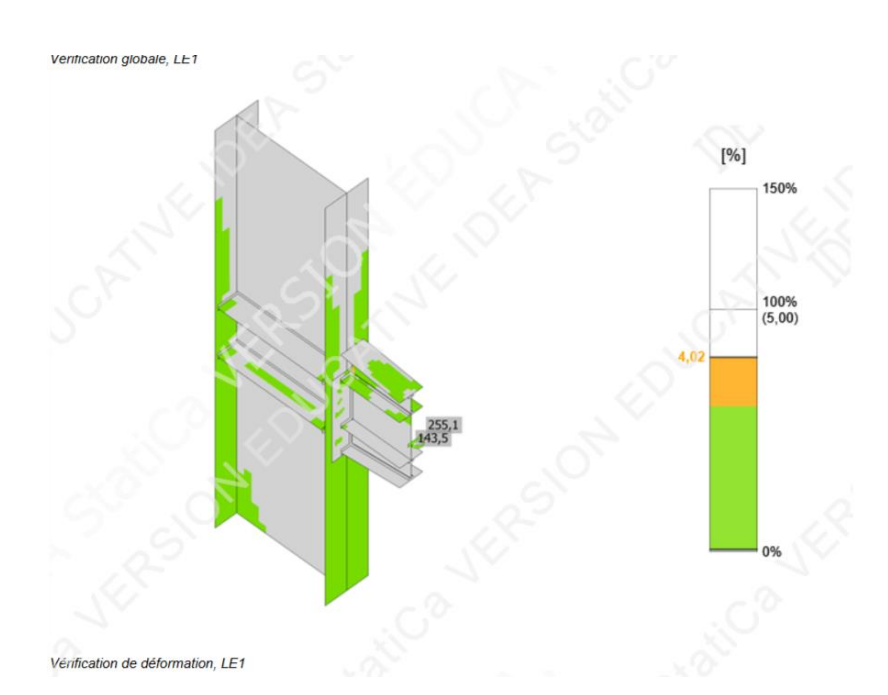
Explication des symboles

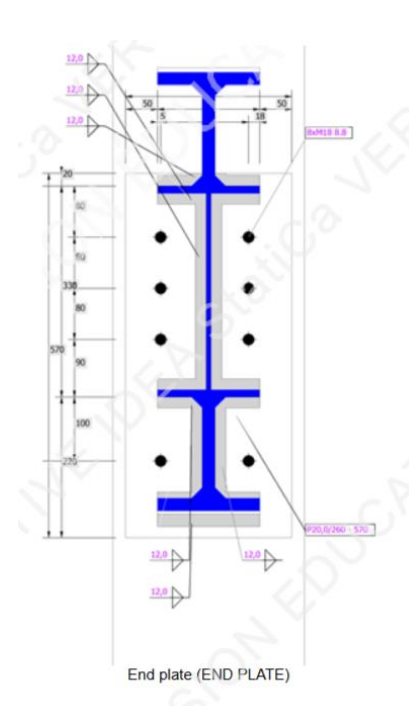
| tp | Épaisseur de platine |
|----------------------|---------------------------|
| σ_{Ed} | Contrainte équivalente |
| ٤р | Déformation plastique |
| $\sigma_{c,Ed}$ | Contrainte de contact |
| f _y | Limite d'élasticité |
| C., | Déformation plactique lim |

Elim Déformation plastique limite



Fig de verfication globale EL1





Boulons

| Form | ne | | Élément | Classe | Charges | F _{t,Ed} [kN] | F _{v,Ed} [kN] | F _{b,Rd} [kN] | Ut _t [%] | Ut _s [%] | Ut _{ts} | Principes de construction | Résulta |
|----------------|-----|----|---------|----------------|---------|---------------------------|---------------------------|---------------------------|------------------------|------------------------|------------------|------------------------------|---------|
| | | | B1 | M18 8.8 - 1 | LE1 | 10,3 | 51,5 | 309,6 | 9,4 | 69,8 | 76,5 | OK | ОК |
| | | | B2 | M18 8.8 - 1 | LE1 | 32,0 | 54,6 | 286,2 | 29,0 | 74,0 | 94,7 | OK | ОК |
| - + | 4 | Ņ, | В3 | M18 8.8 - 1 | LE1 | 23,1 | 39,1 | 309,6 | 20,9 | 53,0 | 67,9 | OK | ОК |
| 444 | 3 5 | | B4 | M18 8.8 - 1 | LE1 | 15,7 | 41,9 | 288,2 | 14,2 | 56,8 | 67,0 | OK | OK |
| | | | B5 | M18 8.8 - 1 | LE1 | 26,3 | 34,4 | 309,6 | 23,8 | 46,6 | 63,6 | ОК | ОК |
| - p | + | | B6 | M18 8.8 - 1 | LE1 | 81,6 | 26,4 | 283,9 | 73,8 | 35,8 | 88,6 | ОК | ОК |
| | | | B7 | M18 8.8 - 1 | LE1 | 45,4 | 38,1 | 309,6 | 41,0 | 51,6 | 80,9 | ОК | ОК |
| | | | B8 | M18 8.8 | LE1 | 104,3 | 15,8 | 283,8 | 94,3 | 21,5 | 88,88 | ОК | ОК |

Données de conception

| Classe | F _{t,Rd} | B _{p,Rd} | F _{v,Rd} |
|-------------|-------------------|-------------------|-------------------|
| | [kN] | [kN] | [kN] |
| M18 8.8 - 1 | 110,6 | 370,5 | 73,7 |

Données de conception

| Classe | F _{t,Rd} | B _{p,Rd} | F _{v,Rd} |
|-------------|-------------------|-------------------|-------------------|
| | [kN] | [kN] | [kN] |
| M18 8.8 - 1 | 110,6 | 370,5 | 73,7 |

Explication des symboles

F_{t,Ed} Effort de traction

F_{v,Ed} Résultante des efforts de cisaillement Vy et Vz de boulon aux plans de cisaillement

F_{b,Rd} Résistance à la pression diamétrale de platine EN 1993-1-8 – Tab. 3.4

Ut_t Usage en traction
Ut_s Utilisation en cisaillement

 $\begin{array}{ll} \mbox{Ut}_{ts} & \mbox{Interaction de traction et cisaillement EN 1993-1-8 - Tab. 3.4} \\ \mbox{F}_{tRd} & \mbox{Résistance à la traction de boulon EN 1993-1-8 - Tab. 3.4} \end{array}$

B_{p,Rd} Résistance au cisaillement par poinçonnement EN 1993-1-8 – Tab. 3.4

 $F_{v,Rd}$ Résistance au cisaillement de boulon EN 1993-1-8 – Tab. 3.4

Soudures

| Joudane | - | | | | | | | | | | | | |
|---------|---------|---------------------|-----------|---------|----------------------------|------------------------|-------------------------|-------------------------|--------------------------|-----------|------------------------|---------------------------|----------|
| Élément | Bord | T _w [mm] | L [mm] | Charges | σ _{w,Ed} [MPa] | ε _{ΡΙ} [%] | σ ₁ [MPa] | T ₁ [MPa] | T _{II} [MPa] | Ut [%] | Ut _c [%] | Principes de construction | Résultat |
| EP1 | B-bfl 1 | 12,0 | 160 | LE1 | 274,4 | 0,0 | -88,8 | -121,7 | -87,5 | 67,8 | 45,5 | ок | ок |
| | | 12,0 | 160 | LE1 | 287,1 | 0,0 | -119,8 | 86,8 | 123,1 | 70,9 | 45,3 | ок | ок |
| EP1 | B-tfl 1 | 12,0 | 159 | LE1 | 185,4 | 0,0 | -42,6 | -15,4 | 103,0 | 45,8 | 36,1 | ок | ок |
| | | 12,0 | 160 | LE1 | 275,4 | 0,0 | -160,3 | 89,4 | 93,4 | 68,0 | 54,3 | ок | ок |
| EP1 | B-w 1 | 12,0 | 317 | LE1 | 120,4 | 0,0 | 21,7 | 23,0 | -64,4 | 29,7 | 18,4 | ок | ок |
| | | 12,0 | 317 | LE1 | 136,0 | 0,0 | -19,0 | 7,3 | -77,4 | 33,6 | 20,2 | ок | ок |
| EP1 | WID1a | 12,0 | 20 | LE1 | 398,0 | 0,9 | -216,0 | -3,4 | -193,0 | 98,3 | 86,5 | ок | ок |
| | | 12,0 | 20 | LE1 | 397,7 | 0,7 | 194,8 | 58,8 | -191,4 | 98,3 | 85,8 | ОК | ок |
| B-tfl 1 | WID1a | 12,0 | 411 | LE1 | 398,0 | 0,9 | -144,0 | 8,0 | 214,2 | 98,3 | 75,2 | ок | ок |
| | | 12,0 | 411 | LE1 | 398,0 | 0,9 | 150,9 | -7,3 | 212,5 | 98,3 | 73,8 | ок | ок |
| WID1b | WID1a | 12,0 | 413 | LE1 | 220,9 | 0,0 | -2,1 | -5,0 | -127,4 | 54,6 | 40,8 | ок | ок |
| | | 12,0 | 413 | LE1 | 223,6 | 0,0 | 2,2 | -5,1 | -129,0 | 55,2 | 40,6 | ок | ок |
| EP1 | WID1c | 12,0 | 164 | LE1 | 118,0 | 0,0 | 32,8 | 20,1 | -62,3 | 29,2 | 18,2 | ОК | ок |
| | | | | | | | | | | | | | |

| | | 4 | | | | | | | | | | | |
|---------|--------|------|-----|-----|-------|-----|--------|--------|-------|------|------|----|----|
| C-bfl 1 | RAID1b | 10,0 | 141 | LE1 | 173,6 | 0,0 | -79,7 | -30,6 | 83,6 | 42,9 | 32,2 | OK | OK |
| | | 10,0 | 141 | LE1 | 179,4 | 0,0 | 116,1 | -40,3 | 67,8 | 44,3 | 32,2 | ок | ОК |
| C-w 1 | RAID1b | 10,0 | 732 | LE1 | 194,0 | 0,0 | -7,7 | -8,1 | 111,8 | 47,9 | 30,5 | ок | ОК |
| | | 10,0 | 732 | LE1 | 197,0 | 0,0 | -5,8 | 4,6 | 113,6 | 48,7 | 31,1 | ок | ОК |
| C-tfl 1 | RAID1b | 10,0 | 141 | LE1 | 209,9 | 0,0 | 101,4 | 49,3 | 94,0 | 51,9 | 39,1 | ок | ОК |
| | | 10,0 | 141 | LE1 | 184,8 | 0,0 | -115,0 | 25,8 | 79,4 | 45,7 | 36,4 | OK | ОК |
| C-bfl 1 | RAID2a | 10,0 | 141 | LE1 | 343,1 | 0,0 | -221,4 | -116,8 | 96,2 | 84,8 | 52,2 | ок | ок |
| | | 10,0 | 141 | LE1 | 148,5 | 0,0 | 4,7 | -28,5 | 80,8 | 36,7 | 30,4 | ок | ок |
| C-w 1 | RAID2a | 10,0 | 732 | LE1 | 210,8 | 0,0 | -9,0 | -7.5 | 121,3 | 52,1 | 32,9 | ок | ок |
| | | 10,0 | 732 | LE1 | 249,9 | 0,0 | 7,6 | -8,1 | 144,1 | 61,8 | 40,7 | ок | ок |
| C-tfl 1 | RAID2a | 10,0 | 141 | LE1 | 217,1 | 0,0 | 133,7 | 46,2 | 87,3 | 53,7 | 41,7 | ок | ок |
| | | 10,0 | 141 | LE1 | 193,2 | 0,0 | -104,5 | 41,3 | 84,2 | 47.7 | 37,3 | ок | ок |
| C-bfl 1 | RAID2b | 10,0 | 141 | LE1 | 196,7 | 0,0 | -36,0 | -5,8 | 111,5 | 48,6 | 37,5 | ок | ок |
| | | 10,0 | 141 | LE1 | 286,3 | 0,0 | 129,9 | -99,6 | 108,5 | 70,7 | 53,1 | OK | ок |
| C-w 1 | RAID2b | 10,0 | 732 | LE1 | 251,5 | 0,0 | -7,8 | -6,3 | 145,0 | 62,2 | 40,4 | ок | ок |
| | | 10,0 | 732 | LE1 | 209,1 | 0,0 | 8,8 | -7,4 | 120,4 | 51,7 | 33,0 | ок | ок |
| C-tfl 1 | RAID2b | 10,0 | 141 | LE1 | 194,4 | 0,0 | 105,2 | 41,8 | 84,6 | 48,0 | 37,4 | OK | ок |
| | | 10,0 | 141 | LE1 | 217,6 | 0,0 | -133,9 | 46,1 | 87,6 | 53,8 | 41,8 | ОК | ок |

Données de conception

| Matériau | f _u | β _w | σ _{w,Rd} | 0.9 σ |
|----------|----------------|----------------|-------------------|--------------|
| | [MPa] | [-] | [MPa] | [MPa] |
| S 275 | 430,0 | 0,85 | 404,7 | 309,6 |

Explication des symboles

T_w Épaisseur a L Longueur

 $\sigma_{w, \text{Ed}}$ Contrainte équivalente

ε_{Pl} Déformation

 σ_{\perp} Contrainte perpendiculaire

 ${f T}_{\perp}$ Contrainte de cisaillement perpendiculaire à l'axe de soudure ${f T}_{||}$ Contrainte de cisaillement parallèle à l'axe de soudure

Ut Utilisation

Ut_c Estimation de capacité de la soudure

■ Soudure d'angle

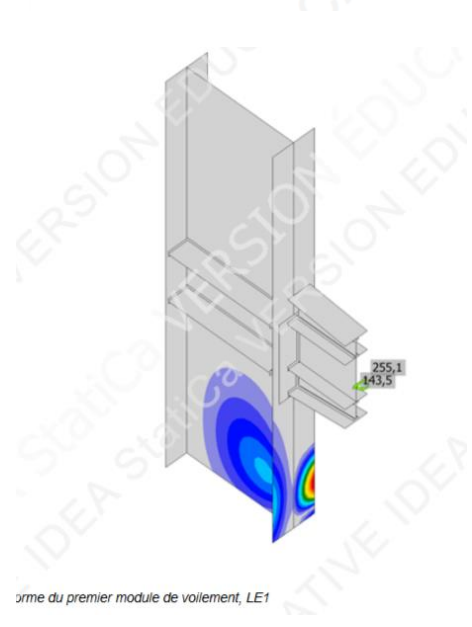
f_u Résistance ultime de soudure

 $\begin{array}{ll} \beta_W & \text{Facteur de corrélation EN 1993-1-8} - \text{Tab. 4.1} \\ \sigma_{\text{W,Rd}} & \text{Résistance aux contraintes équivalentes} \end{array}$

 $0.9\,\sigma$ Résistance de contrainte perpendiculaire : 0.9^* fu/ γ M2

Voilement

| Charges | Forme | Coefficient [-] | |
|---------|-------|--------------------|-------|
| LE1 | 1 | | 20,01 |
| | 2 | | 21,00 |
| | 3 | | 22,50 |
| | 4 | | 25,72 |
| | 5 | | 30,35 |
| | 6 | | 34,28 |



Paramétrage de norme

| Élément | Valeur | Unité | Référence |
|------------------------------------------------------------------|-------------|-------|-------------------------------------------------|
| Facteur de sécurité y _{M0} | 1,00 | - | EN 1993-1-1 - 6.1 |
| Facteur de sécurité γ _{M1} | 1,00 | - | EN 1993-1-1 – 6.1 |
| Facteur de sécurité Y _{M2} | 1,25 | 0 | EN 1993-1-1 – 6.1, EN 1993-1-8 – Tableau 2.1 |
| Facteur de sécurité y _{M3} | 1,25 | - | EN 1993-1-8 – Tableau 2.1 |
| Facteur de sécurité γ _C | 1,50 | - | EN 1992-1-1 – 2.4.2.4 |
| Facteur de sécurité y _{Inst} | 1,20 | - | EN 1992-4 – Tableau 4.1 |
| Coefficient du matériau de scellement βj | 0,67 | - | EN 1993-1-8 - 6.2.5(7) |
| Zone effective – influence de taille de maillage | 0,10 | - | |
| Coefficient de frottement - béton | 0,25 | - | EN 1993-1-8 |
| Coefficient de frottement en résistance au glissement | 0,30 | - | EN 1993-1-8 - Tableau 3.7 |
| Déformation plastique limite | 0,05 | - | EN 1993-1-5 |
| Principes de construction | Oui | | |
| Entraxe [d0] | 2,20 | - | EN 1993-1-8 - Tableau 3.3 |
| Pince [d0] | 1,20 | - | EN 1993-1-8 – Tableau 3.3 |
| Résistance à l'éclatement du béton | Les deux | | |
| Utiliser αb calculé dans la vérification de pression diamétrale. | Oui | | EN 1993-1-8 – Tableau 3.4 |
| Béton fissuré | Oui | | EN 1992-4 |
| Vérification de déformation locale | Oui | | |
| Limite de déformation locale | 0,03 | - | CIDECT DG 1, 3 – 1.1 |
| Non-linéarité géométrique (GMNA) | Oui | | Grandes déformations des sections creuses |
| Structure contreventée | Non | | EN 1993-1-8 - 5.2.2.5 |

III. Annexe 2 assemblage poteau poteau

Donnes et conception :

| Matériau | f_y [MPa] | ε _{lim} [%] |
|----------|-------------------------------|-------------------------|
| S 275 | 275,0 | 5,0 |

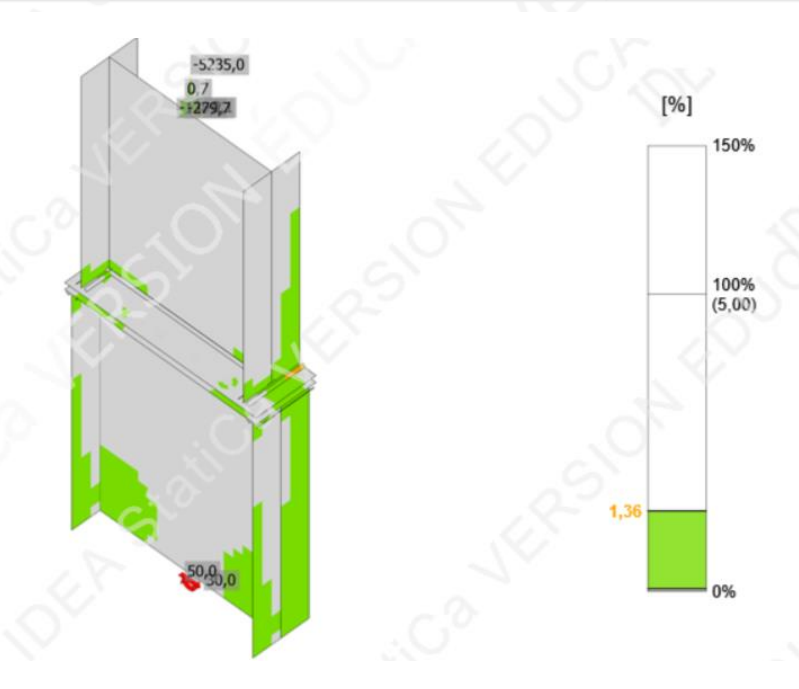


Fig de vèrification deformation

Boulons

| Forme | Élément | Classe | Charges | F _{t,Ed} [kN] | F _{v,Ed} [kN] | F _{b,Rd} [kN] | Ut _t [%] | Ut _s [%] | Ut _{ts} [%] | Principes de construction | Résultat |
|------------|---------|-----------------|---------|---------------------------|---------------------------|---------------------------|------------------------|------------------------|-------------------------|------------------------------|----------|
| | B1 | M36 10.9 - 1 | LE2 | 527,6 | 47,2 | 587,4 | 89,7 | 14,4 | 78,5 | OK | ОК |
| | B2 | M36 10.9 - 1 | LE2 | 553,2 | 19,7 | 587,4 | 94,0 | 6,0 | 73,2 | OK | ОК |
| ₽ ₽ | В3 | M36 10.9 - 1 | LE2 | 533,7 | 20,3 | 587,4 | 90,7 | 6,2 | 71,0 | OK | ОК |
| 4 4 | B4 | M36 10.9 - 1 | LE2 | 535,4 | 12,2 | 587,4 | 91,0 | 3,7 | 68,7 | OK | ОК |
| ₽ ₽ ₽ ₹ | B5 | M36 10.9 - 1 | LE2 | 540,3 | 25,6 | 587,4 | 91,8 | 7,8 | 73,4 | OK | ОК |
| T T | B6 | M36 10.9 - 1 | LE2 | 541,8 | 18,0 | 587,4 | 92,1 | 5,5 | 71,3 | ОК | OK |
| | B7 | M36 10.9 - 1 | LE2 | 546,6 | 53,8 | 587,4 | 92,9 | 16,5 | 82,9 | ОК | ОК |
| | B8 | M36 10.9 - 1 | LE2 | 575,7 | 26,5 | 587,4 | 97,9 | 8,1 | 78,0 | ОК | ОК |

Données de conception

| Classe | F _{t,Rd} | В _{р,Rd} | F _{v,Rd} |
|--------------|-------------------|-------------------|-------------------|
| | [kN] | [kN] | [kN] |
| M36 10.9 - 1 | 588,2 | 1389,0 | 326,8 |

Soudures

| | 300000 | | | | | | | | | | | | |
|---------|--------------|------------------------|-----------|---------|----------------------------|------------------------|-------------------------|-------------------------|--------------------------|-----------|------------------------|------------------------------|----------|
| Élément | Bord | T _w [mm] | L [mm] | Charges | σ _{w,Ed} [MPa] | ε _{ρι} [%] | σ _⊥ [MPa] | T _⊥ [MPa] | τ [MPa] | Ut [%] | Ut _c [%] | Principes de construction | Résultat |
| PP1a | B1- bfl 1 | 16,5 | 299 | LE1 | 401,9 | 3,2 | -183,0 | -205,4 | 21,6 | 99,3 | 93,4 | ОК | ОК |
| | | 16,5 | 299 | LE1 | 403,5 | 4,3 | -212,9 | 195,7 | -29,7 | 99,7 | 93,4 | OK | ОК |
| PP1a | B1-tfl 1 | 16,5 | 299 | LE1 | 403,3 | 4,1 | -214,0 | -195,5 | 26,9 | 99,7 | 93,7 | ОК | ОК |
| | | 16,5 | 299 | LE1 | 401,6 | 3,1 | -181,8 | 205,9 | -18,3 | 99,2 | 93,8 | ОК | OK |
| PP1a | B1-w 1 | 16,5 | 864 | LE1 | 359,0 | 0,0 | -109,2 | -173,6 | 94,2 | 88,7 | 52,9 | ОК | OK |
| | | 16,5 | 864 | LE1 | 396,9 | 0,2 | -217,7 | 184,1 | -53,2 | 98,1 | 77,1 | ОК | OK |
| PP1b | B2- bfl 1 | 16,5 | 299 | LE1 | 401,5 | 3,0 | -190,1 | -181,2 | -93,9 | 99,2 | 93,9 | ОК | OK |
| | | 16,5 | 300 | LE1 | 399,4 | 1,7 | -171,2 | 186,0 | 93,7 | 98,7 | 90,5 | ОК | OK |
| PP1b | B2-tfl 1 | 16,5 | 300 | LE1 | 399,2 | 1,6 | -173,2 | -186,5 | -91,3 | 98,7 | 8,00 | ок | ОК |
| | | 16,5 | 299 | LE1 | 401,1 | 2,8 | -189,6 | 181,4 | 93,5 | 99,1 | 93,9 | ок | ОК |
| PP1b | B2-w 1 | 16,5 | 962 | LE1 | 396,7 | 0,1 | -105,8 | -210,0 | -68,1 | 98,0 | 84,7 | ок | ОК |
| | | 16,5 | 962 | LE1 | 364,9 | 0,0 | -82,2 | 135,6 | 154,1 | 90,2 | 52,7 | ОК | ок |
| | | | | | | | | | | | | | |

Données de conception

| Matériau | f _u | β _w | σ _{w,Rd} | 0.9 σ |
|----------|----------------|----------------|-------------------|-------|
| | [MPa] | [-] | [MPa] | [MPa] |
| S 275 | 430,0 | 0,85 | 404,7 | 309,6 |

• Voilement

| Charges | Forme | Coefficient |
|---------|-------|-------------|
| LE1 | 1 | 4,25 |
| | 2 | 4.30 |
| | 3 | 4,80 |
| | 4 | 4,90 |
| | 5 | 6,35 |
| | 6 | 7,33 |
| LE2 | 1 | 47.15 |
| | 2 | 50,60 |
| | 3 | 51,41 |
| | 4 | 51,78 |
| | 5 | 55,58 |
| | 6 | 57,75 |



IV. Annexe 3 : assembalge pied de potau



Autodesk Robot Structural Analysis Professional 2021

Calcul du Pied de Poteau encastré

Eurocode 3: NF EN 1993-1-8:2005/NA:2007/AC:2009



Ratio **0,94**



GENERAL

Assemblage N°: 2

Nom de l'assemblage : Pied de poteau encastré

GEOMETRIE

POTEAU

| Profilé: | | | HEB 1000 |
|-------------------|--------------------|--------------------|---------------------------------------------|
| $L_c =$ | 5,00 | [m] | Longueur du poteau |
| $\alpha =$ | 0,0 | [Deg] | Angle d'inclinaison |
| hc = | 1000 | [mm] | Hauteur de la section du poteau |
| $b_{fc} =$ | 300 | [mm] | Largeur de la section du poteau |
| $t_{\text{wc}} =$ | 19 | [mm] | Epaisseur de l'âme de la section du poteau |
| $t_{fc} =$ | 36 | [mm] | Epaisseur de l'aile de la section du poteau |
| r _c = | 30 | [mm] | Rayon de congé de la section du poteau |
| $A_c =$ | 400,05 | [cm ²] | Aire de la section du poteau |
| $I_{yc} =$ | 644748,00 | [cm ⁴] | Moment d'inertie de la section du poteau |
| Matéria | au: ACIER | E28 | |
| $f_{yc} =$ | 275 , 00 [N | ИРа] Re | ésistance |
| $f_{uc} =$ | 405,00 [N | ΜPa] Re | ésistance ultime du matériau |

PLATINE DE PRESCELLEMENT

Matériau: ACIER E24

 $f_{ypd} = 215,00 \text{ [MPa] Résistance}$

f_{upd} = 365,00 [MPa] Résistance ultime du matériau

ANCRAGE

Le plan de cisaillement passe par la partie NON FILETÉE du boulon

Classe = 6.8 Classe de tiges d'ancrage

 $f_{yb} = 410,00$ [MPa] Limite de plasticité du matériau du boulon $f_{ub} = 600,00$ [MPa] Résistance du matériau du boulon à la traction

d = 42 [mm] Diamètre du boulon

 $A_s = 11,20$ [cm²] Aire de la section efficace du boulon

 A_V = 13,85 [cm²] Aire de la section du boulon n_H = 2 Nombre de colonnes des boulons n_V = 4 Nombre de rangéss des boulons

Ecartement $e_{Hi} = 1200 \text{ [mm]}$ Entraxe $e_{Vi} = 150;220 \text{ [mm]}$

Dimensions des tiges d'ancrage

 $L_1 = 100$ [mm] $L_2 = 1300$ [mm] $L_3 = 96$ [mm]

Plaque d'ancrage

 $\begin{array}{lll} d = & 100 & [mm] & Diamètre \\ t_p = & 10 & [mm] & Epaisseur \end{array}$

Matériau: ACIER

 $f_y = 275,00$ [MPa] Résistance

Platine

RAIDISSEUR

| $I_s =$ | 1400 | [mm] | Longueur |
|---------|------|------|-----------|
| $w_s =$ | 800 | [mm] | Largeur |
| $h_s =$ | 600 | [mm] | Hauteur |
| $t_s =$ | 30 | [mm] | Epaisseur |
| $d_1 =$ | 20 | [mm] | Grugeage |
| $d_2 =$ | 20 | [mm] | Grugeage |

COEFFICIENTS DE MATERIAU

| γ MO = | 1,00 | Coefficient de sécurité partiel |
|---------------|------|---------------------------------|
| γм2 = | 1,25 | Coefficient de sécurité partiel |
| γc = | 1,50 | Coefficient de sécurité partiel |

SEMELLE ISOLEE

| L = | 1700 | [mm] | Longueur de la semelle |
|-----|------|------|------------------------|
| B = | 1200 | [mm] | Largeur de la semelle |
| H = | 1500 | [mm] | Hauteur de la semelle |

Béton

Classe BETON30

 $f_{ck} = 30,00$ [MPa] Résistance caractéristique à la compression

Mortier de calage

 $t_g = 30$ [mm] Epaisseur du mortier de calage

f_{ck,g} = 12,00 [MPa] Résistance caractéristique à la compression

 $C_{f,d} = 0$, 30 Coef. de frottement entre la plaque d'assise et le béton

SOUDURES

 $a_p = 30$ [mm] Plaque principale du pied de poteau

 $a_s = 15$ [mm] Raidisseurs

EFFORTS

RESULTATS

 $N_{j,Rd} = F_{c,Rd,n} \\$

ZONE COMPRIMEE

COMPRESSION DU BETON

| f _{cd} = 20,00 [MPa] Résistance de calcul à la compression | EN 1992-1:[3.1.6.(1)] | | | | |
|------------------------------------------------------------------------------------------------------------|------------------------|--|--|--|--|
| f _j = 17,99 [MPa] Résistance de calcul du matériau du joint sous la plaque d'assise [6.2.5.(7)] | | | | | |
| $C = t_p \sqrt{(f_{yp}/(3^*f_j^*\gamma_{MO}))}$ | | | | | |
| c = 140 [mm] Largeur de l'appui additionnelle | [6.2.5.(4)] | | | | |
| b _{eff} = 315 [mm] Largeur efficace de la semelle de tronçon T | [6.2.5.(3)] | | | | |
| leff = 579 [mm] Longueur efficace de la semelle de tronçon en T | [6.2.5.(3)] | | | | |
| $A_{c0} = 1827$, 36 [cm ²] Zone de contact de la plaque d'assise avec la fondation | EN 1992-1:[6.7.(3)] | | | | |
| A _{c1} = 8832,00 [cm ²] Aire de calcul maximale de la répartition de la charge | EN 1992-1:[6.7.(3)] | | | | |
| $F_{rdu} = A_{c0} f_{cd} \sqrt{(A_{c1}/A_{c0})} \le 3 A_{c0} f_{cd}$ | | | | | |
| F _{rdu} = 8034,73 [kN] Résistance du béton à l'appui rigide | EN 1992-1:[6.7.(3)] | | | | |
| $\beta_j = 0$, 67 Coefficient réducteur pour la compression | [6.2.5.(7)] | | | | |
| $f_{jd} = \beta_j^* F_{rdu} / (b_{eff}^* I_{eff})$ | | | | | |
| f _{jd} = 29,31 [MPa] Résistance de calcul du matériau du joint | [6.2.5.(7)] | | | | |
| $A_{c,n} = 9920, 45$ [cm ²] Aire de compression efficace | [6.2.8.2.(1)] | | | | |
| $A_{c,y} = 2876, 47$ [cm ²] Aire de flexion My | [6.2.8.3.(1)] | | | | |
| $A_{c,z} = 4828, 40$ [cm ²] Aire de flexion Mz | [6.2.8.3.(1)] | | | | |
| $F_{c,Rd,i} = A_{c,i} * f_{jd}$ | | | | | |
| $F_{c,Rd,n} = 29079,57$ [kN] Résistance du béton à la compression | [6.2.8.2.(1)] | | | | |
| $F_{c,Rd,y} = 8431,72$ [kN] Résistance du béton à la flexion My | [6.2.8.3.(1)] | | | | |
| $F_{c,Rd,z} = 14153$, 36 [kN] Résistance du béton à la flexion Mz | [6.2.8.3.(1)] | | | | |
| AILE ET AME DU POTEAU EN COMPRESSION | | | | | |
| CL = 4,00 Classe de la section | EN 1993-1-1:[5.5.2] | | | | |
| $W_{el,y} = 37684,86$ [cm ³] Facteur élastique de la section | EN1993-1-1:[6.2.5.(2)] | | | | |
| $M_{c,Rd,y} = 10363$, 34 [kN*m] Résistance de calcul de la section à la flexion | EN1993-1-1:[6.2.5] | | | | |
| $h_{f,y} = 1014$ [mm] Distance entre les centres de gravité des ailes | [6.2.6.7.(1)] | | | | |
| $F_{c,fc,Rd,y} = M_{c,Rd,y} / h_{f,y}$ | | | | | |
| F _{c,fc,Rd,y} = 10221, 83 [kN] Résistance de l'aile et de l'âme comprimées | [6.2.6.7.(1)] | | | | |
| W _{el,z} = 10867,69 [cm ³] Facteur élastique de la section | EN1993-1-1:[6.2.5.(2)] | | | | |
| M _{c,Rd,z} = 2988,62 [kN*m] Résistance de calcul de la section à la flexion | EN1993-1-1:[6.2.5] | | | | |
| $h_{f,z} = 370$ [mm] Distance entre les centres de gravité des ailes | [6.2.6.7.(1)] | | | | |
| $F_{c,fc,Rd,z} = M_{c,Rd,z} / h_{f,z}$ | | | | | |
| $F_{c,fc,Rd,z} = 8075,05$ [kN] Résistance de l'aile et de l'âme comprimées [6.2.6.7.(1)] | | | | | |
| RESISTANCE DE LA SEMELLE DANS LA ZONE COMPRIMEE | | | | | |

| N _{j,Rd} = 29079,57 [kN] Résistance de la semelle à l'effort axial | [6.2.8.2.(1)] |
|--------------------------------------------------------------------------------------------------------------------------------------------------------------------------------------------------------------------------------------------------------------------------------------------------------------------------------------------------------------------------------------------------------------------------------------------------------------------------------------------------------------------------------------------------------------------------------------------------------------------------------------------------------------------------------------------------------------------------------------------------------------------------------------------------------------------------------------------------------------------------------------------------------------------------------------------------------------------------------------------------------------------------------------------------------------------------------------------------------------------------------------------------------------------------------------------------------------------------------------------------------------------------------------------------------------------------------------------------------------------------------------------------------------------------------------------------------------------------------------------------------------------------------------------------------------------------------------------------------------------------------------------------------------------------------------------------------------------------------------------------------------------------------------------------------------------------------------------------------------------------------------------------------------------------------------------------------------------------------------------------------------------------------------------------------------------------------------------------------------------------------------------------------------------------------------------------------------------------------------------------------------------------------------------------------------------------------------------------------------------------------------------------------------------------------------------------------------------------------------------------------------------------------------------------------------------------------------------------------------------------------------------------------------------------------------------------------------------------------------------------------------------------------------------------------------------------------------------------------------------------------------------------------------------------------------------------------------------------------------------------------------------------------------------------------------------------------------------------------------------------------------|--------------------------------------------------------------------------------------------------------------------------------------------------------------------------------------------------------------------------------------------------------------------------------------------------------------------------------------------------------------------------------------------------------------------------------------------------------------------------------------------------------------------------------------------------------------------------------------------------------------------------------------------------------------------------------------------------------------------------------------------------------------------------------------------------------------------------------------------------------------------------------------------------------------------------------------------------------------------------------------------------------------------------------------------------------------------------------------------------------------------------------------------------------------------------------------------------------------------------------------------------------------------------------------------------------------------------------------------------------------------------------------------------------------------------------------------------------------------------------------------------------------------------------------------------------------------------------------------------------------------------------------------------------------------------------------------------------------------------------------------------------------------------------------------------------------------------------------------------------------------------------------------------------------------------------------------------------------------------------------------------------------------------------------------------------------------------------------------------------------------------------|
| $F_{C,Rd,y} = \min(F_{c,Rd,y},F_{c,fc,Rd,y})$ | |
| F _{C,Rd,y} = 8431,72 [kN] Résistance de la semelle dans la zone comprimée | [6.2.8.3] |
| $F_{C,Rd,z} = \min(F_{c,Rd,z},F_{c,fc,Rd,z})$ | |
| F _{C,Rd,z} = 8075,05 [kN] Résistance de la semelle dans la zone comprimée | [6.2.8.3] |
| | |
| CONTROLE DE LA RESISTANCE DE L'ASSEMBLAGE | |
| $N_{j,Ed} / N_{j,Rd} \le 1,0 (6.24)$ 0,25 < 1,00 vérifié | (0,25) |
| ey = 3 [mm] Excentricité de l'effort axial | [6.2.8.3] |
| $z_{c,y} = 507$ [mm] Bras de levier Fc,Rd,y | [6.2.8.1.(2)] |
| $z_{t,y} = 600$ [mm] Bras de levier $F_{T,Rd,y}$ | [6.2.8.1.(3)] |
| $M_{j,Rd,y} = 41,95$ [kN*m] Résistance de l'assemblage à la flexion | [6.2.8.3] |
| $M_{j,Ed,y} / M_{j,Rd,y} \le 1,0 $ (6.23) 0,43 < 1,00 vérifié | (0,43) |
| $e_z = 26$ [mm] Excentricité de l'effort axial | [6.2.8.3] |
| $z_{c,z} = 185$ [mm] Bras de levier $F_{c,Rd,z}$ | [6.2.8.1.(2)] |
| $z_{t,z} = 295$ [mm] Bras de levier $F_{T,Rd,z}$ | [6.2.8.1.(3)] |
| $M_{j,Rd,z} = 368,52$ [kN*m] Résistance de l'assemblage à la flexion | [6.2.8.3] |
| $M_{j,Ed,z} / M_{j,Rd,z} \le 1,0 $ (6.23) 0,51 < 1,00 vérifié | (0,51) |
| $M_{j,Ed,2} / M_{j,Rd,2} = 1,0 $ (0.23) $0,91 < 1,00$ Vérifié | (0,94) |
| $\text{IVI}_{j,\text{Ed},y} / \text{IVI}_{j,\text{Rd},y} + \text{IVI}_{j,\text{Ed},z} / \text{IVI}_{j,\text{Rd},z} \le 1,0$ Verifie | (0,94) |
| CISAILLEMENT | |
| OIOAILLEIMENT | |
| PRESSION DU BOULON D'ANCRAGE SUR LA PLAQUE D'ASSISE | |
| Cisaillement par l'effort V _{j,Ed,y} | |
| $\alpha_{d,y} = 0$, 80 Coef. d'emplacement des boulons en direction du cisaillement | [Tableau 3.4] |
| $\alpha_{b,y} = 0$, 80 Coef. pour les calculs de la résistance $F_{1,vb,Rd}$ | [Tableau 3.4] |
| k _{1,y} = 2,50 Coef. d'emplacement des boulons perpendiculairement à la direction du cisailleme | |
| " 1 1 | |
| $F_{1,vb,Rd,y} = k_{1,y}^* \alpha_{b,y}^* f_{up}^* d^*t_p / \gamma_{M2}$ | int[rabioaa o. i] |
| $F_{1,vb,Rd,y} = k_{1,y}^* \alpha_{b,y}^* f_{up}^* d^* t_p / \gamma_{M2}$ $F_{1,vb,Rd,y} = 1707, 20$ [kN] Résistance du boulon d'ancrage à la pression sur la plaque d'assis | |
| $F_{1,vb,Rd,y} = k_{1,y}^* \alpha_{b,y}^* f_{up}^* d^*t_p / \gamma_{M2}$ $F_{1,vb,Rd,y} = 1707, 20$ [kN] Résistance du boulon d'ancrage à la pression sur la plaque d'assis Cisaillement par l'effort $V_{j,Ed,z}$ | |
| $F_{1,vb,Rd,y} = 1707,20$ [kN] Résistance du boulon d'ancrage à la pression sur la plaque d'assis Cisaillement par l'effort $V_{j,Ed,z}$ | se [6.2.2.(7)] |
| $F_{1,vb,Rd,y} = 1707,20$ [kN] Résistance du boulon d'ancrage à la pression sur la plaque d'assis Cisaillement par l'effort $V_{j,Ed,z}$ $\alpha_{d,z} = 0,76$ Coef. d'emplacement des boulons en direction du cisaillement | ie [6.2.2.(7)] [Tableau 3.4] |
| $F_{1,vb,Rd,y} = 1707$, 20 [kN] Résistance du boulon d'ancrage à la pression sur la plaque d'assis Cisaillement par l'effort $V_{j,Ed,z}$ $\alpha_{d,z} = 0$, 76 Coef. d'emplacement des boulons en direction du cisaillement $\alpha_{b,z} = 0$, 76 Coef. pour les calculs de la résistance $F_{1,vb,Rd}$ | [Tableau 3.4] |
| $F_{1,vb,Rd,y} = 1707$, 20 [kN] Résistance du boulon d'ancrage à la pression sur la plaque d'assis Cisaillement par l'effort V _{j,Ed,z} $\alpha_{d,z} = 0$, 76 Coef. d'emplacement des boulons en direction du cisaillement $\alpha_{b,z} = 0$, 76 Coef. pour les calculs de la résistance $F_{1,vb,Rd}$ $k_{1,z} = 2$, 50 Coef. d'emplacement des boulons perpendiculairement à la direction du cisaillement | [Tableau 3.4] |
| $F_{1,vb,Rd,y} = 1707$, 20 [kN] Résistance du boulon d'ancrage à la pression sur la plaque d'assis Cisaillement par l'effort $V_{j,Ed,z}$ $\alpha_{d,z} = 0$, 76 Coef. d'emplacement des boulons en direction du cisaillement $\alpha_{b,z} = 0$, 76 Coef. pour les calculs de la résistance $F_{1,vb,Rd}$ | [Tableau 3.4] [Tableau 3.4] ent [Tableau 3.4] |
| $F_{1,vb,Rd,y} = 1707$, 20 [kN] Résistance du boulon d'ancrage à la pression sur la plaque d'assis Cisaillement par l'effort V _{j,Ed,z} $\alpha_{d,z} = 0$, 76 Coef. d'emplacement des boulons en direction du cisaillement $\alpha_{b,z} = 0$, 76 Coef. pour les calculs de la résistance $F_{1,vb,Rd}$ $k_{1,z} = 2$, 50 Coef. d'emplacement des boulons perpendiculairement à la direction du cisaillement $F_{1,vb,Rd,z} = k_{1,z} * \alpha_{b,z} * f_{up} * d^* t_p / \gamma_{M2}$ | [Tableau 3.4] [Tableau 3.4] ent [Tableau 3.4] |
| $F_{1,vb,Rd,y} = 1707,20 [kN] \text{Résistance du boulon d'ancrage à la pression sur la plaque d'assis } \\ \textbf{Cisaillement par l'effort V}_{j,Ed,z} \\ \alpha_{d,z} = 0,76 \text{Coef. d'emplacement des boulons en direction du cisaillement} \\ \alpha_{b,z} = 0,76 \text{Coef. pour les calculs de la résistance F}_{1,vb,Rd} \\ k_{1,z} = 2,50 \text{Coef. d'emplacement des boulons perpendiculairement à la direction du cisaillement} \\ F_{1,vb,Rd,z} = k_{1,z} \alpha_{b,z} f_{up} d^*t_p / \gamma_{M2} \\ F_{1,vb,Rd,z} = 1625,91 [kN] \text{Résistance du boulon d'ancrage à la pression sur la plaque d'assistance} \\ F_{1,vb,Rd,z} = 1625,91 [kN] \text{Résistance du boulon d'ancrage à la pression sur la plaque d'assistance} \\ F_{1,vb,Rd,z} = 1625,91 [kN] \text{Résistance du boulon d'ancrage à la pression sur la plaque d'assistance} \\ F_{1,vb,Rd,z} = 1625,91 [kN] \text{Résistance du boulon d'ancrage à la pression sur la plaque d'assistance} \\ F_{1,vb,Rd,z} = 1625,91 [kN] \text{Résistance du boulon d'ancrage à la pression sur la plaque d'assistance} \\ F_{1,vb,Rd,z} = 1625,91 [kN] \text{Résistance du boulon d'ancrage à la pression sur la plaque d'assistance} \\ F_{1,vb,Rd,z} = 1625,91 [kN] \text{Résistance} \\ F_{1,vb,Rd,z} = 1625,91 [kN] $ | [Tableau 3.4] [Tableau 3.4] ent [Tableau 3.4] |
| F _{1,vb,Rd,y} = 1707 , 20 [kN] Résistance du boulon d'ancrage à la pression sur la plaque d'assis Cisaillement par l'effort V _{j,Ed,z} $\alpha_{d,z} = 0$, 76 Coef. d'emplacement des boulons en direction du cisaillement $\alpha_{b,z} = 0$, 76 Coef. pour les calculs de la résistance F _{1,vb,Rd} $k_{1,z} = 2$, 50 Coef. d'emplacement des boulons perpendiculairement à la direction du cisailleme F _{1,vb,Rd,z} = $k_{1,z}^*\alpha_{b,z}^*f_{up}^*d^*t_p$ / γ_{M2} F _{1,vb,Rd,z} = 1625 , 91 [kN] Résistance du boulon d'ancrage à la pression sur la plaque d'assis CISAILLEMENT DU BOULON D'ANCRAGE | [Tableau 3.4] [Tableau 3.4] [Tableau 3.4] ent [Tableau 3.4] ene [6.2.2.(7)] |
| F _{1,vb,Rd,y} = 1707, 20 [kN] Résistance du boulon d'ancrage à la pression sur la plaque d'assis Cisaillement par l'effort V _{j,Ed,z} $α_{d,z} = 0$, 76 Coef. d'emplacement des boulons en direction du cisaillement $α_{b,z} = 0$, 76 Coef. pour les calculs de la résistance F _{1,vb,Rd} $k_{1,z} = 2$, 50 Coef. d'emplacement des boulons perpendiculairement à la direction du cisailleme F _{1,vb,Rd,z} = k _{1,z} *α _{b,z} *f _{up} *d*t _p / γ _{M2} F _{1,vb,Rd,z} = 1625, 91 [kN] Résistance du boulon d'ancrage à la pression sur la plaque d'assis CISAILLEMENT DU BOULON D'ANCRAGE $α_b = 0$, 32 Coef. pour les calculs de la résistance F _{2,vb,Rd} | [Tableau 3.4] [Tableau 3.4] [Tableau 3.4] [Tableau 3.4] [Tableau 3.4] [Tableau 3.4] |
| F _{1,vb,Rd,y} = 1707, 20 [kN] Résistance du boulon d'ancrage à la pression sur la plaque d'assis Cisaillement par l'effort V _{j,Ed,z} $α_{d,z} = 0$, 76 Coef. d'emplacement des boulons en direction du cisaillement $α_{b,z} = 0$, 76 Coef. pour les calculs de la résistance F _{1,vb,Rd} $k_{1,z} = 2$, 50 Coef. d'emplacement des boulons perpendiculairement à la direction du cisailleme F _{1,vb,Rd,z} = k _{1,z} *α _{b,z} *f _{up} *d*t _p / γ _{M2} F _{1,vb,Rd,z} = 1625, 91 [kN] Résistance du boulon d'ancrage à la pression sur la plaque d'assis CISAILLEMENT DU BOULON D'ANCRAGE $α_b = 0$, 32 Coef. pour les calculs de la résistance F _{2,vb,Rd} Av _b = 13, 85 [cm ²] Aire de la section du boulon | [Tableau 3.4] |
| F _{1,vb,Rd,y} = 1707 , 20 [kN] Résistance du boulon d'ancrage à la pression sur la plaque d'assis Cisaillement par l'effort V _{j,Ed,z} $\alpha_{d,z} = 0$, 76 Coef. d'emplacement des boulons en direction du cisaillement $\alpha_{b,z} = 0$, 76 Coef. pour les calculs de la résistance F _{1,vb,Rd} $k_{1,z} = 2$, 50 Coef. d'emplacement des boulons perpendiculairement à la direction du cisailleme F _{1,vb,Rd,z} = $k_{1,z}$ * $\alpha_{b,z}$ * f_{up} * d * t_p / γ_{M2} F _{1,vb,Rd,z} = $k_{1,z}$ * $\alpha_{b,z}$ * f_{up} * d * t_p / γ_{M2} F _{1,vb,Rd,z} = 1625 , 91 [kN] Résistance du boulon d'ancrage à la pression sur la plaque d'assis CISAILLEMENT DU BOULON D'ANCRAGE $\alpha_{b} = 0$, 32 Coef. pour les calculs de la résistance F _{2,vb,Rd} $A_{vb} = 13$, 85 [cm ²] Aire de la section du boulon fub = 600 , 00 [MPa] Résistance du matériau du boulon à la traction | [Tableau 3.4] [Tableau 3.4] [Tableau 3.4] [Tableau 3.4] [Tableau 3.4] [Tableau 3.4] [G.2.2.(7)] [G.2.2.(7)] [G.2.2.(7)] |
| F _{1,vb,Rd,y} = 1707 , 20 [kN] Résistance du boulon d'ancrage à la pression sur la plaque d'assis Cisaillement par l'effort V _{j,Ed,z} α _{d,z} = 0 , 76 Coef. d'emplacement des boulons en direction du cisaillement α _{b,z} = 0 , 76 Coef. pour les calculs de la résistance F _{1,vb,Rd} k _{1,z} = 2 , 50 Coef. d'emplacement des boulons perpendiculairement à la direction du cisailleme F _{1,vb,Rd,z} = $k_{1,z}$ *α _{b,z} *f _{up} *d*t _p / γ _{M2} F _{1,vb,Rd,z} = 1625 , 91 [kN] Résistance du boulon d'ancrage à la pression sur la plaque d'assis CISAILLEMENT DU BOULON D'ANCRAGE α _b = 0 , 32 Coef. pour les calculs de la résistance F _{2,vb,Rd} A _{vb} = 13 , 85 [cm²] Aire de la section du boulon f _{ub} = 600 , 00 [MPa] Résistance du matériau du boulon à la traction γ _{M2} = 1 , 25 Coefficient de sécurité partiel | [Tableau 3.4] [Tableau 3.4] [Tableau 3.4] [Tableau 3.4] [Tableau 3.4] [Tableau 3.4] [G.2.2.(7)] [G.2.2.(7)] [G.2.2.(7)] |
| F _{1,vb,Rd,y} = 1707, 20 [kN] Résistance du boulon d'ancrage à la pression sur la plaque d'assis Cisaillement par l'effort V _{j,Ed,z} $α_{d,z} = 0$, 76 Coef. d'emplacement des boulons en direction du cisaillement $α_{b,z} = 0$, 76 Coef. pour les calculs de la résistance F _{1,vb,Rd} k _{1,z} = 2, 50 Coef. d'emplacement des boulons perpendiculairement à la direction du cisailleme F _{1,vb,Rd,z} = k _{1,z} *α _{b,z} *f _{up} *d*t _p / γ _{M2} F _{1,vb,Rd,z} = 1625, 91 [kN] Résistance du boulon d'ancrage à la pression sur la plaque d'assis CISAILLEMENT DU BOULON D'ANCRAGE α _b = 0, 32 Coef. pour les calculs de la résistance F _{2,vb,Rd} A _{vb} = 13, 85 [cm²] Aire de la section du boulon f _{ub} = 600, 00 [MPa] Résistance du matériau du boulon à la traction γ _{M2} = 1, 25 Coefficient de sécurité partiel F _{2,vb,Rd} = α _b *f _{ub} *A _{vb} /γ _{M2} | [Tableau 3.4] [Tableau 3.4] [Tableau 3.4] [Tableau 3.4] [Tableau 3.4] [Tableau 3.4] [Gant [Tableau 3.4] [G |
| F _{1,vb,Rd,y} = 1707, 20 [kN] Résistance du boulon d'ancrage à la pression sur la plaque d'assis Cisaillement par l'effort V _{j,Ed,z} $α_{d,z} = 0$, 76 Coef. d'emplacement des boulons en direction du cisaillement $α_{b,z} = 0$, 76 Coef. pour les calculs de la résistance F _{1,vb,Rd} k _{1,z} = 2, 50 Coef. d'emplacement des boulons perpendiculairement à la direction du cisailleme F _{1,vb,Rd,z} = k _{1,z} *α _{b,z} *f _{up} *d*t _p / γ _{M2} F _{1,vb,Rd,z} = 1625, 91 [kN] Résistance du boulon d'ancrage à la pression sur la plaque d'assis CISAILLEMENT DU BOULON D'ANCRAGE α _b = 0, 32 Coef. pour les calculs de la résistance F _{2,vb,Rd} A _{vb} = 13, 85 [cm²] Aire de la section du boulon f _{ub} = 600, 00 [MPa] Résistance du matériau du boulon à la traction γ _{M2} = 1, 25 Coefficient de sécurité partiel F _{2,vb,Rd} = α _b *f _{ub} *A _{vb} /γ _{M2} F _{2,vb,Rd} = 210, 81 [kN] Résistance du boulon au cisaillement - sans bras de levier | [Tableau 3.4] [Tableau 3.4] [Tableau 3.4] [Tableau 3.4] [Tableau 3.4] [Tableau 3.4] [Gant [Tableau 3.4] [G |
| F _{1,vb,Rd,y} = 1707, 20 [kN] Résistance du boulon d'ancrage à la pression sur la plaque d'assis Cisaillement par l'effort V _{j,Ed,z} $α_{d,z} = 0$, 76 Coef. d'emplacement des boulons en direction du cisaillement $α_{b,z} = 0$, 76 Coef. pour les calculs de la résistance F _{1,vb,Rd} k _{1,z} = 2, 50 Coef. d'emplacement des boulons perpendiculairement à la direction du cisailleme F _{1,vb,Rd,z} = k _{1,z} * $α_{b,z}$ *f _{up} *d*t _p / γ _{M2} F _{1,vb,Rd,z} = 1625, 91 [kN] Résistance du boulon d'ancrage à la pression sur la plaque d'assis CISAILLEMENT DU BOULON D'ANCRAGE $α_b = 0$, 32 Coef. pour les calculs de la résistance F _{2,vb,Rd} A _{vb} = 13, 85 [cm²] Aire de la section du boulon f _{ub} = 600,00 [MPa] Résistance du matériau du boulon à la traction γ _{M2} = 1,25 Coefficient de sécurité partiel F _{2,vb,Rd} = $α_b$ *f _{ub} *A _{vb} /γ _{M2} F _{2,vb,Rd} = $α_b$ *f _{ub} *A _{vb} /γ _{M2} Résistance du boulon au cisaillement - sans bras de levier GLISSEMENT DE LA SEMELLE | [Tableau 3.4] [Tableau 3.4] [Tableau 3.4] [Tableau 3.4] [Tableau 3.4] [Ent [Tableau 3.4] |
| Cisaillement par l'effort V _{j,Ed,z} $\alpha_{d,z} = 0,76 \text{ Coef. d'emplacement des boulons en direction du cisaillement}$ $\alpha_{b,z} = 0,76 \text{ Coef. pour les calculs de la résistance } F_{1,vb,Rd}$ $k_{1,z} = 2,50 \text{ Coef. d'emplacement des boulons perpendiculairement à la direction du cisaillement}$ $F_{1,vb,Rd,z} = k_{1,z} * \alpha_{b,z} * f_{up} * d * t_p / \gamma_{M2}$ $F_{1,vb,Rd,z} = k_{1,z} * \alpha_{b,z} * f_{up} * d * t_p / \gamma_{M2}$ $F_{1,vb,Rd,z} = 1625,91 \text{ [kN]} \text{ Résistance du boulon d'ancrage à la pression sur la plaque d'assis}$ $CISAILLEMENT DU BOULON D'ANCRAGE$ $\alpha_{b} = 0,32 \text{ Coef. pour les calculs de la résistance } F_{2,vb,Rd}$ $A_{vb} = 13,85 \text{ [cm}^{2}] \text{ Aire de la section du boulon}$ $f_{ub} = 600,00 \text{ [MPa]} \text{ Résistance du matériau du boulon à la traction}$ $\gamma_{M2} = 1,25 \text{ Coefficient de sécurité partiel}$ $F_{2,vb,Rd} = \alpha_{b} * f_{ub} * A_{vb} / \gamma_{M2}$ $F_{2,vb,Rd} = \alpha_{b} * f_{ub} * A_{vb} / \gamma_{M2}$ $F_{2,vb,Rd} = 210,81 \text{ [kN]} \text{ Résistance du boulon au cisaillement - sans bras de levier}$ $GLISSEMENT DE LA SEMELLE$ $C_{f,d} = 0,30 \text{ Coef. de frottement entre la plaque d'assise et le béton}$ | [Tableau 3.4] [Tableau 3.4] [Tableau 3.4] [Tableau 3.4] [Tableau 3.4] [Ent [Tableau 3.4] [G.2.2.(7)] [G.2.2.(7)] [G.2.2.(7)] [G.2.2.(7)] [G.2.2.(7)] [G.2.2.(7)] [G.2.2.(7)] |
| F _{1,vb,Rd,y} = 1707, 20 [kN] Résistance du boulon d'ancrage à la pression sur la plaque d'assis Cisaillement par l'effort V _{j,Ed,z} α _{d,z} = 0, 76 Coef. d'emplacement des boulons en direction du cisaillement α _{b,z} = 0, 76 Coef. pour les calculs de la résistance F _{1,vb,Rd} k _{1,z} = 2, 50 Coef. d'emplacement des boulons perpendiculairement à la direction du cisaillement F _{1,vb,Rd,z} = k _{1,z} *α _{b,z} *f _{up} *d*t _p / γ _{M2} F _{1,vb,Rd,z} = k _{1,z} *α _{b,z} *f _{up} *d*t _p / γ _{M2} F _{1,vb,Rd,z} = 1625, 91 [kN] Résistance du boulon d'ancrage à la pression sur la plaque d'assis CISAILLEMENT DU BOULON D'ANCRAGE α _b = 0, 32 Coef. pour les calculs de la résistance F _{2,vb,Rd} A _{vb} = 13, 85 [cm²] Aire de la section du boulon f _{ub} = 600, 00 [MPa] Résistance du matériau du boulon à la traction γ _{M2} = 1, 25 Coefficient de sécurité partiel F _{2,vb,Rd} = α _b *f _{ub} *A _{xb} /γ _{M2} F _{2,vb,Rd} = α _b *f _{ub} *A _{xb} /γ _{M2} F _{2,vb,Rd} = 210, 81 [kN] Résistance du boulon au cisaillement - sans bras de levier GLISSEMENT DE LA SEMELLE C _{f,d} = 0, 30 Coef. de frottement entre la plaque d'assise et le béton N _{c,Ed} = 7200, 00 [kN] Effort de compression F _{f,Rd} = C _{f,d} *N _{c,Ed} F _{f,Rd} = 2160, 00 [kN] Résistance au glissement | [Tableau 3.4] [Tableau 3.4] [Tableau 3.4] [Tableau 3.4] [Tableau 3.4] [Ent [Tableau 3.4] [G.2.2.(7)] [G.2.2.(7)] [G.2.2.(7)] [G.2.2.(7)] [G.2.2.(7)] [G.2.2.(7)] [G.2.2.(7)] |
| F _{1,vb,Rd,y} = 1707, 20 [kN] Résistance du boulon d'ancrage à la pression sur la plaque d'assis Cisaillement par l'effort V _{j,Ed,z} $α_{d,z} = 0$, 76 Coef. d'emplacement des boulons en direction du cisaillement $α_{b,z} = 0$, 76 Coef. d'emplacement des boulons perpendiculairement à la direction du cisaillement $α_{b,z} = 2$, 50 Coef. d'emplacement des boulons perpendiculairement à la direction du cisailleme F _{1,vb,Rd,z} = k _{1,z} * $α_{b,z}$ *flup*d*tlp / γ _{M2} F _{1,vb,Rd,z} = 1625, 91 [kN] Résistance du boulon d'ancrage à la pression sur la plaque d'assis CISAILLEMENT DU BOULON D'ANCRAGE $α_{b} = 0$, 32 Coef. pour les calculs de la résistance F _{2,vb,Rd} $A_{vb} = 13$, 85 [cm²] Aire de la section du boulon flub = 600, 00 [MPa] Résistance du matériau du boulon à la traction γ _{M2} = 1, 25 Coefficient de sécurité partiel F _{2,vb,Rd} = $α_{b}$ *flub* A_{vb} /γ _{M2} F _{2,vb,Rd} = $α_{b}$ *flub* A_{vb} /γ _{M2} Résistance du boulon au cisaillement - sans bras de levier GLISSEMENT DE LA SEMELLE Cf,d = 0, 30 Coef. de frottement entre la plaque d'assise et le béton N _{c,Ed} = 7200, 00 [kN] Effort de compression Ff,Rd = Cf,d*N _{c,Ed} Ff,Rd = 2160, 00 [kN] Résistance au glissement CONTROLE DU CISAILLEMENT | [Tableau 3.4] [Tableau 3.4] [Tableau 3.4] [Tableau 3.4] [Tableau 3.4] [Tableau 3.4] [Gant [Tableau 3.4] [G |
| F _{1,vb,Rd,y} = 1707 , 20 [kN] Résistance du boulon d'ancrage à la pression sur la plaque d'assis Cisaillement par l'effort V _{i,Ed,z} α _{d,z} = 0, 76 Coef. d'emplacement des boulons en direction du cisaillement α _{b,z} = 0, 76 Coef. pour les calculs de la résistance F _{1,vb,Rd} k _{1,z} = 2, 50 Coef. d'emplacement des boulons perpendiculairement à la direction du cisailleme F _{1,vb,Rd,z} = k _{1,z} *α _{b,z} *f _{up} *d*t _p / γ _{M2} F _{1,vb,Rd,z} = 1625, 91 [kN] Résistance du boulon d'ancrage à la pression sur la plaque d'assis CISAILLEMENT DU BOULON D'ANCRAGE α _b = 0, 32 Coef. pour les calculs de la résistance F _{2,vb,Rd} A _{vb} = 13, 85 [cm²] Aire de la section du boulon f _{ub} = 600, 00 [MPa] Résistance du matériau du boulon à la traction γ _{M2} = 1, 25 Coefficient de sécurité partiel F _{2,vb,Rd} = α _b *f _{ub} *A _{vb} /γ _{M2} F _{2,vb,Rd} = 210, 81 [kN] Résistance du boulon au cisaillement - sans bras de levier GLISSEMENT DE LA SEMELLE C _{1,d} = 0, 30 Coef. de frottement entre la plaque d'assise et le béton N _{c,Ed} = 7200, 00 [kN] Effort de compression F _{1,Rd} = C _{1,d} *N _{c,Ed} F _{1,Rd} = 2160, 00 [kN] Résistance au glissement CONTROLE DU CISAILLEMENT V _{i,Rd,y} = n _b *min(F _{1,vb,Rd,y} , F _{2,vb,Rd}) + F _{1,Rd} | [Tableau 3.4] [Tableau 3.4] [Tableau 3.4] [Tableau 3.4] [Tableau 3.4] [Tableau 3.4] [Gant [Tableau 3.4] [G |
| F1,vb,Rd,y = 1707 , 20 [kN] Résistance du boulon d'ancrage à la pression sur la plaque d'assis Cisaillement par l'effort V _{j,Ed,z} $\alpha_{d,z} = 0$, 76 Coef. d'emplacement des boulons en direction du cisaillement $\alpha_{b,z} = 0$, 76 Coef. pour les calculs de la résistance F1,vb,Rd k1,z = 2 , 50 Coef. d'emplacement des boulons perpendiculairement à la direction du cisaillement F1,vb,Rd,z = k_1 ,z* $\alpha_{b,z}$ *fup*d*tp/ γ_{MZ} F1,vb,Rd,z = k_1 ,z* $\alpha_{b,z}$ *fup*d*tp/ γ_{MZ} F1,vb,Rd,z = 1625 , 91 [kN] Résistance du boulon d'ancrage à la pression sur la plaque d'assis CISAILLEMENT DU BOULON D'ANCRAGE $\alpha_b = 0$, 32 Coef. pour les calculs de la résistance F2,vb,Rd $A_{vb} = 13$, 85 [cm²] Aire de la section du boulon fub en entre la plaque d'assis coefficient de sécurité partiel $F_{2,vb,Rd} = \alpha_{b}$ *fub* A_{vb} / γ_{MZ} F2,vb,Rd = α_{b} *fub* A_{vb} / γ_{MZ} F2,vb,Rd = α_{b} *fub* α_{vb} * α_{vb} | [Tableau 3.4] [Tableau 3.4] [Tableau 3.4] [Tableau 3.4] [Tableau 3.4] [Tableau 3.4] [Gant [Tableau 3.4] [G |
| F _{1,wb,Rd,y} = 1707, 20 [kN] Résistance du boulon d'ancrage à la pression sur la plaque d'assis Cisaillement par l'effort $V_{j,Ed,z}$ $\alpha_{d,z} = 0$, 76 Coef. d'emplacement des boulons en direction du cisaillement $\alpha_{b,z} = 0$, 76 Coef. pour les calculs de la résistance F _{1,wb,Rd} k _{1,z} = 2, 50 Coef. d'emplacement des boulons perpendiculairement à la direction du cisaillement F _{1,wb,Rd,z} = k _{1,z} * $\alpha_{b,z}$ *fup*d*t* $\epsilon_{b,z}$ *fup*d*t* $\epsilon_$ | [Tableau 3.4] [Tableau 3.4] [Tableau 3.4] [Tableau 3.4] [Tableau 3.4] [Tableau 3.4] [Gant [Tableau 3.4] [G |
| F _{1,vb,Rd,y} = 1707, 20 [kN] Résistance du boulon d'ancrage à la pression sur la plaque d'assis Cisaillement par l'effort $V_{j,Ed,z}$ $\alpha_{d,z} = 0$, 76 Coef. d'emplacement des boulons en direction du cisaillement $\alpha_{b,z} = 0$, 76 Coef. pour les calculs de la résistance F _{1,vb,Rd} $k_{1,z} = 2$, 50 Coef. d'emplacement des boulons perpendiculairement à la direction du cisaillement F _{1,vb,Rd,z} = $k_{1,z}^*\alpha_{b,z}^*f_{up}^*d^*t_p$ / γ_{MZ} Coef. pour les calculs de la résistance F _{2,vb,Rd} A _{vb} = $k_{1,z}^*\alpha_{b,z}^*f_{up}^*d^*t_p$ Aire de la section du boulon fuboulon fube = $k_{1,z}^*\alpha_{b,z}^*f_{up}^*d^*t_p$ Aire de la section du boulon $k_{1,z}^*f_{up}^*d^*t_p$ Coefficient de sécurité partiel F _{2,vb,Rd} = $k_{1,z}^*\alpha_{b,z}^*f_{up}^*d^*t_p$ Résistance du boulon au cisaillement - sans bras de levier GLISSEMENT DE LA SEMELLE C _{1,d} = $k_{1,z}^*f_{up}^*d^*t_p$ Coef. de frottement entre la plaque d'assise et le béton N _{0,Ed} = $k_{1,z}^*f_{up}^*d^*t_p$ Coef. de frottement entre la plaque d'assise et le béton N _{0,Ed} = $k_{1,z}^*f_{up}^*d^*t_p$ Résistance au glissement CONTROLE DU CISAILLEMENT V _{j,Rd,y} = $k_{1,z}^*f_{up}^*d^*t_p$ [kN] Résistance de l'assemblage au cisaillement V _{j,Rd,y} = $k_{1,z}^*f_{up}^*d^*t_p$ (kN) Résistance de l'assemblage au cisaillement V _{j,Rd,y} = $k_{1,z}^*f_{up}^*d^*t_p$ (kN) Résistance de l'assemblage au cisaillement V _{j,Rd,z} = $k_{1,z}^*f_{up}^*d^*t_p$ (kN) Pé _{j,Rd,z} + $k_{1,z}^*f_{up}^*d^*t_p$ (kN) Pé _{j,Rd,z} | [Tableau 3.4] [Tableau 3.4] [Tableau 3.4] [Tableau 3.4] [Tableau 3.4] [Tableau 3.4] [Gant [Tableau 3.4] [G |
| F _{1,vb,Rdy} = 1707, 20 [kN] Résistance du boulon d'ancrage à la pression sur la plaque d'assis Cisaillement par l'effort V _{j,Ed,z} $\alpha_{d,z} = 0$, 76 Coef. d'emplacement des boulons en direction du cisaillement $\alpha_{b,z} = 0$, 76 Coef. pour les calculs de la résistance F _{1,vb,Rd} $k_{1,z} = 2$, 50 Coef. d'emplacement des boulons perpendiculairement à la direction du cisaillement F _{1,vb,Rd,z} = $k_{1,z}$ * $\alpha_{b,z}$ *f _{up} *d*t _p / γ_{M2} F _{1,vb,Rd,z} = $k_{1,z}$ * $\alpha_{b,z}$ *f _{up} *d*t _p / γ_{M2} F _{1,vb,Rd,z} = 1625 , 91 [kN] Résistance du boulon d'ancrage à la pression sur la plaque d'assis CISAILLEMENT DU BOULON D'ANCRAGE $\alpha_b = 0$, 32 Coef. pour les calculs de la résistance F _{2,vb,Rd} $A_{vb} = 13$, 85 [cm²] Aire de la section du boulon fub = $k_{vb} = k_{vb} = k_{vb}$ Résistance du matériau du boulon à la traction $k_{vb} = k_{vb} = k_{vb} = k_{vb}$ Résistance du matériau du boulon à la traction $k_{vb} = k_{vb} = k_{vb} = k_{vb}$ Résistance du boulon au cisaillement - sans bras de levier GLISSEMENT DE LA SEMELLE $k_{vb} = k_{vb} = k_{vb} = k_{vb} = k_{vb}$ Résistance au glissement $k_{vb} = k_{vb} = k_{vb}$ Résistance au glissement $k_{vb} = k_{vb} = k_{vb} = k_{vb}$ Résistance au glissement $k_{vb} = k_{vb} = k_{vb} = k_{vb}$ Résistance de l'assemblage au cisaillement $k_{vb} = k_{vb} = k_{vb}$ Résistance de l'assemblage au cisaillement $k_{vb} = k_{vb} = k_{vb}$ Résistance de l'assemblage au cisaillement $k_{vb} = k_{vb} = k_{vb}$ Résistance de l'assemblage au cisaillement $k_{vb} = k_{vb} = k_{vb}$ Résistance de l'assemblage au cisaillement $k_{vb} = k_{vb} = k_{vb}$ Résistance de l'assemblage au cisaillement $k_{vb} = k_{vb}$ Résistance d | [Tableau 3.4] [Tableau 3.4] [Tableau 3.4] [Tableau 3.4] [Tableau 3.4] [Tableau 3.4] [Georgia 1.4] [G |
| F _{1,vb,Rd,y} = 1707, 20 [kN] Résistance du boulon d'ancrage à la pression sur la plaque d'assis Cisaillement par l'effort $V_{j,Ed,z}$ $\alpha_{d,z} = 0$, 76 Coef. d'emplacement des boulons en direction du cisaillement $\alpha_{b,z} = 0$, 76 Coef. pour les calculs de la résistance F _{1,vb,Rd} $k_{1,z} = 2$, 50 Coef. d'emplacement des boulons perpendiculairement à la direction du cisaillement F _{1,vb,Rd,z} = $k_{1,z}^*\alpha_{b,z}^*f_{up}^*d^*t_p$ / γ_{MZ} Coef. pour les calculs de la résistance F _{2,vb,Rd} A _{vb} = $k_{1,z}^*\alpha_{b,z}^*f_{up}^*d^*t_p$ Aire de la section du boulon fuboulon fube = $k_{1,z}^*\alpha_{b,z}^*f_{up}^*d^*t_p$ Aire de la section du boulon $k_{1,z}^*f_{up}^*d^*t_p$ Coefficient de sécurité partiel F _{2,vb,Rd} = $k_{1,z}^*\alpha_{b,z}^*f_{up}^*d^*t_p$ Résistance du boulon au cisaillement - sans bras de levier GLISSEMENT DE LA SEMELLE C _{1,d} = $k_{1,z}^*f_{up}^*d^*t_p$ Coef. de frottement entre la plaque d'assise et le béton N _{0,Ed} = $k_{1,z}^*f_{up}^*d^*t_p$ Coef. de frottement entre la plaque d'assise et le béton N _{0,Ed} = $k_{1,z}^*f_{up}^*d^*t_p$ Résistance au glissement CONTROLE DU CISAILLEMENT V _{j,Rd,y} = $k_{1,z}^*f_{up}^*d^*t_p$ [kN] Résistance de l'assemblage au cisaillement V _{j,Rd,y} = $k_{1,z}^*f_{up}^*d^*t_p$ (kN) Résistance de l'assemblage au cisaillement V _{j,Rd,y} = $k_{1,z}^*f_{up}^*d^*t_p$ (kN) Résistance de l'assemblage au cisaillement V _{j,Rd,z} = $k_{1,z}^*f_{up}^*d^*t_p$ (kN) Pé _{j,Rd,z} + $k_{1,z}^*f_{up}^*d^*t_p$ (kN) Pé _{j,Rd,z} | [Tableau 3.4] [Tableau 3.4] [Tableau 3.4] [Tableau 3.4] [Tableau 3.4] [Tableau 3.4] [Gant [Tableau 3.4] [G |

CONTROLE DES RAIDISSEURS

| CONT | KULE | DES | KAIDI33EUR3 | | |
|---------------------------|-------------|-------------------------|--------------------------------------------------------------|-----------------|---------------------------|
| Plaque tr | - | - | allèle à l'âme du poteau | | |
| $M_1 =$ | | | Moment fléchissant du raidisseur | | |
| $Q_1 =$ | | | Effort tranchant du raidisseur | | |
| z _s = | | | Position de l'axe neutre (à partir de la base de | la plaque) | |
| $l_s = 178$ | | | Moment d'inertie du raidisseur | | |
| $\sigma_d =$ | | | Contrainte normale au contact du raidisseur et | | EN 1993-1-1:[6.2.1.(5)] |
| $\sigma_g =$ | | | Contrainte normale dans les fibres supérieures | 3 | EN 1993-1-1:[6.2.1.(5)] |
| τ = | | | Contrainte tengentielle dans le raidisseur | | EN 1993-1-1:[6.2.1.(5)] |
| σz = | | | Contrainte équivalente au contact du raidisseu | r et de la dall | e EN 1993-1-1:[6.2.1.(5)] |
| max (σg, τ | τ / (0.58), | , σ _z) / (1 | $_{yp}/\gamma_{M0}) \le 1.0 (6.1) 0,38 < 1,00$ | vérifié | (0,38) |
| Raidisse | ur perpe | endicula | iire à l'âme (sur le prolongement des ailes d | u poteau) | |
| M ₁ = | 103,50 | [kN*m] | Moment fléchissant du raidisseur | | |
| $Q_1 =$ | 940,94 | [kN] | Effort tranchant du raidisseur | | |
| Zs = | 125 | [mm] | Position de l'axe neutre (à partir de la base de | la plaque) | |
| $l_s = 203$ | | | Moment d'inertie du raidisseur | | |
| $\sigma_d =$ | | | Contrainte normale au contact du raidisseur et | | EN 1993-1-1:[6.2.1.(5)] |
| σ_g = | | | Contrainte normale dans les fibres supérieures | 3 | EN 1993-1-1:[6.2.1.(5)] |
| τ = | | | Contrainte tengentielle dans le raidisseur | | EN 1993-1-1:[6.2.1.(5)] |
| σz = | 90,59 | [MPa] | Contrainte équivalente au contact du raidisseu | r et de la dall | e EN 1993-1-1:[6.2.1.(5)] |
| max (σg, τ | τ / (0.58), | , σ _z) / (1 | $_{\text{yp}}/_{\text{YMO}}) \le 1.0 (6.1) 0,42 < 1,00$ | vérifié | (0,42) |
| SOUD | URES | ENT | RE LE POTEAU ET LA PLAQU | E D'ASS | <u>ISE</u> |
| | 20 21 | 2 [N] | la]. Cantrainta namala dana la saudura | | [4 = 0 /7) |
| σ⊥ = | 28,23 | • | _ | | [4.5.3.(7)] |
| τ⊥ = | 28,23 | • | | | [4.5.3.(7)] |
| τyII = | -0,05 | - | - · · · · · · · · · · · · · · · · · · · | | [4.5.3.(7)] |
| τ _z = | -0,22 | - | | | [4.5.3.(7)] |
| $\beta W =$ | 0,85 | | Coefficient dépendant de la résistance | ک :کانب کی ر | [4.5.3.(7)] |
| σ_{\perp} / (0.9*f | | | | vérifié | (0,11) |
| | | | $\omega(\beta_W^*\gamma_{M2}))) \le 1.0 (4.1) 0.16 < 1.00$ | vérifié | (0,16) |
| | | | $\omega/(\beta_W^*\gamma_{M2}))) \le 1.0 (4.1) 0, 11 < 1,00$ | vérifié | (0,11) |
| | | | TICALES DES RAIDISSEURS | | |
| = | - | = | allèle à l'âme du poteau | | [4 = 0 /7) |
| σ⊥ = | 0,00 | [MPa | | | [4.5.3.(7)] |
| τ⊥ = | 0,00 | [MPa | | | [4.5.3.(7)] |
| | 166,33 | [MPa | | | [4.5.3.(7)] |
| $\sigma_z =$ | 0,00 | [MPa | • | | [4.5.3.(7)] |
| βw = | 0,85 | \ / (c // | Coefficient dépendant de la résistance | | [4.5.3.(7)] |
| - | | | . ,, | vérifié | (0,84) |
| | | | ire à l'âme (sur le prolongement des ailes d | u poteau) | [4 E O /7\] |
| σ⊥ = | 40,66 | [MPa | • | | [4.5.3.(7)] |
| τ⊥ = | 40,66 | [MPa | | | [4.5.3.(7)] |
| τιι = | 52,27 | [MPa | · · · · · · · · · · · · · · · · · · · | | [4.5.3.(7)] |
| | 121,70 | [MPa | • | | [4.5.3.(7)] |
| βw = | 0,85 | \ / / · · · · | Coefficient dépendant de la résistance | | [4.5.3.(7)] |
| max (σ⊥, ′ | τιι * √3, σ | sz) / (tu/(| $3w^*\gamma_{M2}) \le 1.0 (4.1) 0,35 < 1,00$ | vérifié | (0,35) |
| SOUD | URES | HOF | RIZONTALES DES RAIDISSEUF | <u>RS</u> | |
| Plaque tr | anézoïd | ale nar | allèle à l'âme du poteau | | |

Plaque trapézoïdale parallèle à l'âme du poteau

| - | • | • | • | |
|--------------------|----------------|-------|-----------------------------------------|-------------|
| σ_{\perp} = | 100,81 | [MPa] | Contrainte normale dans la soudure | [4.5.3.(7)] |
| $\tau_{\perp} =$ | 100,81 | [MPa] | Contrainte tengentielle perpendiculaire | [4.5.3.(7)] |
| τιι = | 58 , 72 | [MPa] | Contrainte tengentielle parallèle | [4.5.3.(7)] |

| $\sigma_{\perp} = 100,81$ | [MPa] | Contrainte normale dans la soudure | | [4.5.3.(7)] | | | |
|--------------------------------------------------------------------------------------------------------------------------------------------------------------------------------------------------------------------------------------------------------------------------------------------------------------------------------------------------------------------------------------------------------------------------------------------------------------------------------------------------------------------------------------------------------------------------------------------------------------------------------------------------------------------------------------------------------------------------------------------------------------------------------------------------------------------------------------------------------------------------------------------------------------------------------------------------------------------------------------------------------------------------------------------------------------------------------------------------------------------------------------------------------------------------------------------------------------------------------------------------------------------------------------------------------------------------------------------------------------------------------------------------------------------------------------------------------------------------------------------------------------------------------------------------------------------------------------------------------------------------------------------------------------------------------------------------------------------------------------------------------------------------------------------------------------------------------------------------------------------------------------------------------------------------------------------------------------------------------------------------------------------------------------------------------------------------------------------------------------------------------|----------------------------------------------------------------------------------------------------------------------------------|--------------------------------------------------------------------------------|------------|-----------------------------|--|--|--|
| | [MPa] | Contrainte totale équivalente | | [4.5.3.(7)] | | | |
| $\beta w = 0,85$ | [1111 4] | Coefficient dépendant de la résistance | | [4.5.3.(7)] | | | |
| | / (f/(B\\/ | $(*_{\text{YM2}}) \le 1.0 (4.1) 0,66 < 1,00$ | vérifié | (0,66) | | | |
| | | e à l'âme (sur le prolongement des ailes | | (0)00) | | | |
| | [MPa] | Contrainte normale dans la soudure | aa potoaa, | [4.5.3.(7)] | | | |
| | [MPa] | Contrainte tengentielle perpendiculaire | | [4.5.3.(7)] | | | |
| | [MPa] | Contrainte tengentielle parallèle | | | | | |
| | | | | [4.5.3.(7)] | | | |
| | [MPa] | Contrainte totale équivalente | | [4.5.3.(7)] | | | |
| , | 115 110 3 | Coefficient dépendant de la résistance | (.: (: (| [4.5.3.(7)] | | | |
| $\max (\sigma_{\perp}, \tau_{\parallel} \ \ \sqrt[n]{3}, \sigma_{z})$ | / (Tu/(BW) | $^{*}_{\text{YM2}})) \le 1.0 (4.1) 0,68 < 1,00$ | vérifié | (0,68) | | | |
| RIGIDITE DE | L'AS | <u>SEMBLAGE</u> | | | | | |
| Moment fléchissan | t Mi.Ed.v | | | | | | |
| | | geur efficace de la semelle de tronçon T | | [6.2.5.(3)] | | | |
| | | ngueur efficace de la semelle de tronçon er | Т | [6.2.5.(3)] | | | |
| $k_{13,y} = E_c^* \sqrt{(b_{eff}^* l_{eff})/(2)}$ | - | - | | [(-/] | | | |
| | - | Coef. de rigidité du béton comprimé | | [Tableau 6.11] | | | |
| | | gueur efficace pour un boulon pour le mode | ւ 1 | [6.2.6.5] | | | |
| m = 41 [mr] | _ | ce boulon-bord de renforcement | , 1 | [6.2.6.5] | | | |
| $k_{15,y} = 0.425 \text{ leff} t_p^3/(r_0^2)$ | | se boulon bord de remoleciment | | [0.2.0.0] | | | |
| | | ef. de rigidité de la plaque d'assise en tracti | on | [Tableau 6.11] | | | |
| · · | - | Longueur efficace du boulon d'ancrage | | [Tableau 6.11] | | | |
| $k_{16,y} = 1.6*Ab/Lb$ | [111111] | Longueur emcace du boulon d'ancrage | | [Tableau 0.11] | | | |
| | ım] Co | ef. de rigidité du boulon d'ancrage en tracti | nn . | [Tableau 6.11] | | | |
| | - | | JII | - | | | |
| • | | Elancement du poteau | | [5.2.2.5.(2)] | | | |
| | _ | n] Rigidité en rotation initiale | | [Tableau 6.12] | | | |
| $S_{j,rig,y} = 0123024$, 00 $S_{j,rig,y} < S_{j,rig,y}$ SEMI-F | - | n] Rigidité de l'assemblage rigide | | [5.2.2.5] | | | |
| | | | | [5.2.2.5.(2)] | | | |
| Moment fléchissan $k_{13,z} = E_c^* \sqrt{(A_{c,z})/(1.2)}$ | | | | | | | |
| | - | Coof do rigidité du béton comprimé | | (Toblesu 6 11) | | | |
| | | Coef. de rigidité du béton comprimé gueur efficace pour un boulon pour le mode | . 2 | [Tableau 6.11] [6.2.6.5] | | | |
| $ \begin{array}{lll} $ | - | ce boulon-bord de renforcement | ; | [6.2.6.5] | | | |
| $k_{15,z} = 0.425 * l_{eff} * t_p^3 / (r_{eff} * t$ | - | de boulon-bord de remoleement | | [0.2.0.5] | | | |
| | - | ef. de rigidité de la plaque d'assise en tracti | on | [Tableau 6.11] | | | |
| | _ | Longueur efficace du boulon d'ancrage | OII | [Tableau 6.11] | | | |
| $k_{16,z} = 1.6*A_b/L_b$ | [] | Longada, emodoc da bodion a anorage | | [145]044 0.11] | | | |
| | nm] Co | ef. de rigidité du boulon d'ancrage en tracti | on | [Tableau 6.11] | | | |
| $\lambda_{0,z} = 0,90$ | | Elancement du poteau | J., | [5.2.2.5.(2)] | | | |
| · | |] Rigidité en rotation initiale | | [6.3.1.(4)] | | | |
| • | - | | | | | | |
| $S_{j,rig,z} = 2000757000$ $S_{j,rig,z} \ge S_{j,rig,z}$ RIGIDE | $S_{j,rig,z} = 205075,08$ [kN*m] Rigidité de l'assemblage rigide [5.2.2.5] $S_{j,rig,z} \ge S_{j,rig,z}$ RIGIDE [5.2.2.5.(2)] | | | | | | |
| Oj, mi, z = Oj, ng, z raiolot | _ | | | [0.2.2.0.(2)] | | | |

COMPOSANT LE PLUS FAIBLE:

AILE DU POTEAU EN COMPRESSION

Assemblage satisfaisant vis à vis de la Norme Ratio 0,94